



A-21-7  
K-g-156  
K-g-158

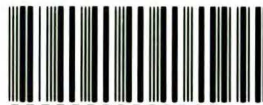
Marek Łuszczuk

RÓWNOWAGA CIECZ-CIECZ-PARA W OTOCZENIU PUNKTU KRYTYCZNEGO  
MIESZALNOŚCI



Biblioteka Instytutu Chemii Fizycznej PAN

**F-B.297/1992**



**60000000000682**

Praca doktorska

wykonana w Instytucie Chemii Fizycznej  
Polskiej Akademii Nauk

Promotor: Prof. dr hab. S. Malanowski

Warszawa 1992



B 297/92

**Mojej Żonie  
za okazaną pomoc i cierpliwość**

## SPIS TREŚCI

Rozdział	str.
I WPROWADZENIE . . . . .	1
II CEL PRACY . . . . .	3
III PODSTAWY TERMODYNAMIKI ROZTWORÓW O OGRANICZONEJ MIESZALNOŚCI . . . . .	4
1. Klasyfikacja układów niemieszających się . . . . .	4
2. Termodynamika układów z luką mieszalności. . . . .	6
3. Równowaga ciecz-ciecz-para . . . . .	10
IV TERMODYNAMIKA ROZTWORÓW W OTOCZENIU PUNKTU KRYTYCZNEGO. . . . .	12
1. Punkt krytyczny w układach jednoskładnikowych. . . . .	13
2. Punkt krytyczny w układach dwu- i wieloskładnikowych . . . . .	15
3. Nieklasyczne zachowanie w otoczeniu punktu krytycznego . . . . .	17
3.1. Prawa wykładnicze. . . . .	20
3.2. Drogi dojścia do punktu krytycznego i wykładniki krytyczne. . . . .	21
3.3. Skalowane równanie stanu . . . . .	24
3.4. Parametryczne równanie stanu . . . . .	25
4. Nieklasyczne modele siatkowe punktu krytycznego. . . . .	27
4.1. Model sieci podwójnej 'decorated lattice model'. . . . .	28
4.2. Model Walkera-Vause. . . . .	30
V DOŚWIADCZALNE BADANIA OTOCZENIA PUNKTU KRYTYCZNEGO MIESZALNOŚCI. . . . .	34
1. Specyfika badań w otoczeniu punktu krytycznego . . . . .	34
2. Krzywa współistnienia. Nukleacja. . . . .	35
2.1. Analiza i opis krzywej współistnienia. . . . .	38
3. Ciepło właściwe. . . . .	39
4. Entalpia mieszania . . . . .	41
5. Nadmiarowa objętość mieszania. . . . .	41
6. Zjawiska transportowe. . . . .	42
7. Inne wielkości fizykochemiczne . . . . .	44
VI CZĘŚĆ DOŚWIADCZALNA . . . . .	46
1. Wybór układu. Pomiary wstępne. . . . .	46
1.1 Krzywa współistnienia . . . . .	46
1.2 Nadmiarowa objętość mieszania . . . . .	48
2. Przegląd metod pomiarów równowagi ciecz-para . . . . .	49
2.1 Metody dynamiczne . . . . .	49

2.1 Metody statyczne. . . . .	49
3. Wybór i opis zastosowanej metody . . . . .	50
4. Budowa i opis stanowiska badawczego. . . . .	51
4.1. Metodyka pomiaru . . . . .	57
4.2. Algorytm obliczania prężności pary z danych pomiarowych. . . . .	59
5. Pomiary testowe. . . . .	64
5.1. Wybór układu testowego . . . . .	64
5.2. Przygotowanie pomiarów testowych . . . . .	65
5.3. Wyniki testowania przyrządu. . . . .	65
5.4. Omówienie wyników testowych. . . . .	71
6. Pomiary właściwe . . . . .	72
6.1. Przygotowanie odczynników. . . . .	72
6.2. Stałość i stabilność temperatury . . . . .	73
6.3. Stan równowagi termodynamicznej. . . . .	74
6.4. Równowaga ciecz-para układu {3-MOPN(1) + woda(2)}. . . . .	74
6.3. Rezultaty pomiarów . . . . .	75
VII KORELACJE. . . . .	85
1. Metoda Barkera . . . . .	85
1.1. Równanie Redlicha-Kistera. . . . .	86
1.2. Równanie NRTL i LEMF . . . . .	87
1.3. Równanie UNIQUAC . . . . .	90
2. Funkcja celu i algorytmy obliczeń. . . . .	91
3. Korelacje równowagi ciecz-para . . . . .	92
4. Korelacje równowagi ciecz-ciecz. . . . .	113
VIII DYSKUSJA I WNIOSKI. . . . .	121
1. 3-metoksypropionitryl. . . . .	121
2. Korelacje VLE i LLE. . . . .	122
3. Kształt krzywej prężności pary dla izotermy krytycznej . . . . .	139
4. Wpływ poprawki objętościowej na korelację izotermicznych równowag ciecz-para. . . . .	141
IX PODSUMOWANIE WYNIKÓW PRACY. . . . .	143
X SPIS LITERATURY. . . . .	145
ZAŁĄCZNIK A. . . . .	153
ZAŁĄCZNIK B. . . . .	165
ZAŁĄCZNIK C. . . . .	169
ZAŁĄCZNIK D. . . . .	172
ZAŁĄCZNIK E. . . . .	178
ZAŁĄCZNIK F. . . . .	190

## I WPROWADZENIE

W literaturze światowej dotyczącej termodynamiki roztworów można znaleźć informacje o ponad tysiącu układów dwu- i trójskładnikowych wykazujących ograniczoną wzajemną rozpuszczalność. W większości są one jednak mało precyzyjne, uzyskane bez zwracania uwagi na dokładność pomiaru parametrów, czystość stosowanych substancji i.t.d. W rezultacie informacje o tym samym układzie mogą różnić się znacznie w zależności od źródła. Klasycznym przykładem jest układ {metanol(1) + cykloheksan(2)}, dla którego podawana temperatura krytyczna mieszalności różni się o kilkadziesiąt stopni. Danych podających np. precyzyjne temperatury krytyczne rozpuszczalności czy też składy krytyczne jest znacznie mniej. Ich liczba zawiera się w granicy kilkadziesiątu, natomiast danych dotyczących innych wielkości termodynamicznych, właściwości optycznych, elektrycznych, akustycznych i innych danych fizykochemicznych ogranicza się do kilkunastu układów dwuskładnikowych, w których przeważająca liczba to układy wodne.

W ostatnich latach obserwuje się wzrost zainteresowania w badaniach układów wykazujących niemieszalność. Wynika to z zapotrzebowania technologów (zwłaszcza dla układów wodnych ze względu na ochronę środowiska), rozwoju technologicznego pozwalającego mierzyć szybciej i z większą dokładnością, powstawania nowych teorii stanu ciekłego i roztworów, które wymagają weryfikacji doświadczalnej.

Na tym tle badania równowag fazowych, a zwłaszcza równowag ciecz-ciecz-para w otoczeniu punktu krytycznego mieszalności, są rzadkością. Przyczyną tego jest najprawdopodobniej czasochłonność takich pomiarów. Układ, w którym współistnieją trzy fazy jednocześnie, ze swej natury długo dochodzi do stanu równowagi termodynamicznej. Stąd wynika konieczność utrzymywania stabilnej i dokładnie zdefiniowanej temperatury przez dłuższe okresy czasu, co jeszcze do niedawna nie było łatwe. Rozwój elektroniki pozwolił na budowę kontrolerów temperatury, termometrów cyfrowych i.t.d., co ułatwia prowadzenie długich doświadczeń.

Punkt krytyczny, jako zjawisko przejścia pary w równowadze z cieczą w gaz, został zaobserwowany już w ubiegłym wieku. (Stanley 1971, Sengers i Levelt-Sengers, 1978) Istnienie punktu krytycznego mieszalności w dwuskładnikowych układach ciekłych zostało stwierdzone doświadczalnie przez Alexeva już w 1886 roku. Van der Waals w swojej pracy doktorskiej założył ciągłość między stanem ciekłym i gazowym i przedstawił równanie stanu, którego forma matematyczna przewiduje występowanie punktu krytycznego czyli spełnienie warunku  $dP/dV=0$ . Odkrycie przejścia lambda w ciele stałym i podobnego mu przy przejściu helu w stan nadciekły z jednej strony, a ukazanie się prac teoretycznych Osangera nad modelem Isinga - z drugiej - wzmogły zainteresowanie punktami krytycznymi. Ponadto zwrócono uwagę na analogie pomiędzy przejściami fazowymi i ich punktami krytycznymi występującymi w ciałach stałych i w cieczach.

Dotychczasowy kierunek badań równowag fazowych w aspekcie osobliwości punktu krytycznego, zarówno eksperymentalny jak i teoretyczny, koncentrował się na układach jednoskładnikowych oraz dwuskładnikowych w pobliżu ich linii pseudokrytycznych. Lata ostatnie przyniosły kilka prac dotyczących zachowań się układów dwuskładnikowych w pobliżu krytycznej temperatury mieszalności, lecz w dalszym ciągu brak jest dokładnych danych o równowagach ciecz-ciecz-para z tego rejonu, które byłyby w stanie zweryfikować przewidywania teoretyczne. Co prawda, zasadność weryfikacji osiągnięć teoretycznych metodami doświadczalnymi jest poddawana w wątpliwość (Levelt-Sengers, 1983). Niemniej, chęć empirycznego sprawdzenia przewidywań teoretycznych wymusza stosowanie coraz bardziej wyrafinowanych metod.



## II CEL PRACY

Celem pracy była próba stworzenia konsystentnego opisu termodynamicznego zjawiska rozpuszczalności ciekłych układów dwuskładnikowych w bezpośrednim otoczeniu górnego punktu krytycznego mieszalności. Wobec braku w literaturze dokładnych danych o równowadze ciecz-ciecz-para zbudowano stanowisko do pomiarów prężności par metodą statyczną nad roztworem tworzącym dwie fazy ciekłe oraz zbadano wybrany układ. Na tej podstawie, oraz wykonując badania dodatkowe dokonano próby konsystentnego opisu układu.

### III PODSTAWY TERMODYNAMIKI ROZTWORÓW O OGRANICZONEJ MIESZALNOŚCI

Szczegółowy opis termodynamiki roztworów można znaleźć w wielu monografiach, podręcznikach akademickich i specjalistycznych (na przykład: McGlashan, 1979; Rowlinson i Swinton, 1982; Prausnitz i wsp. 1986; Malanowski i Anderko, 1991). Pojęcia stosowane w tej pracy, takie jak molowe wielkości cząstkowe, funkcje nadmiarowe i mieszania, współczynniki aktywności i.t.d. nie będą dyskutowane. Ich definicje i zależności można znaleźć, w formie bardzo skondensowanej, w wielu pracach doktorskich dotyczących termodynamiki roztworów (ostatnio Antosik, 1991).

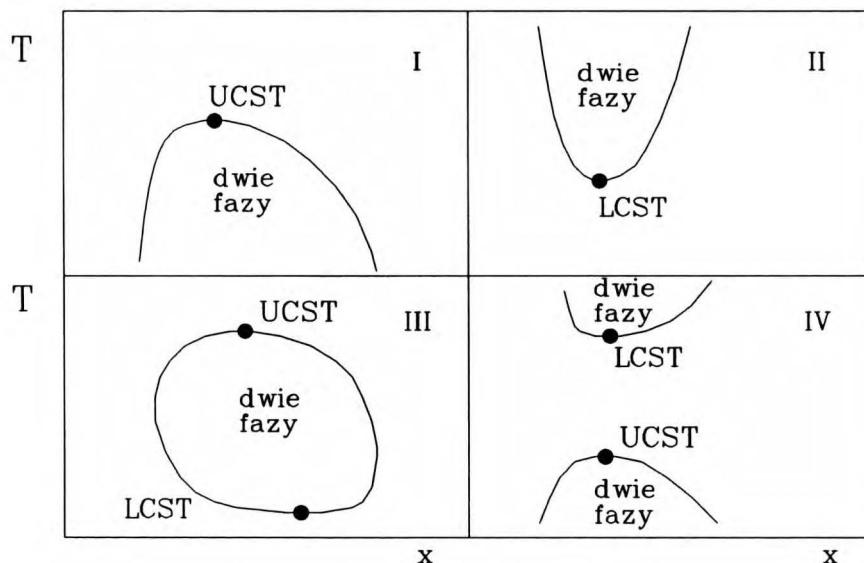
W rozdziale tym przedstawione zostały w sposób skrótowy termodynamikę (w ujęciu klasycznym) roztworów dwuskładnikowych posiadających na tyle duże odchylenia od doskonałości, że prowadzą one do rozpadu homogenicznego roztworu na dwie fazy.

#### III.1. KLASYFIKACJA UKŁADÓW NIEMIESZAJĄCYCH SIĘ.

Ze zjawiskiem niemieszania się dwóch cieczy spotykamy się bardzo często. W przybliżeniu zerowym (Eckert, 1976) zjawisko to tłumaczy się tym, że cząsteczki tego samego rodzaju oddziałują ze sobą mocniej niż z cząsteczkami drugiego rodzaju, co powoduje, że w pewnych zakresach parametrów  $P, T, x$  istnieją dwie fazy ciekłe.

Na rysunku III-1 przedstawione są schematycznie podstawowe typy równowag fazowych ciecz-ciecz (tzw. luki mieszalności) w układach dwuskładnikowych znajdujące się pod stałym ciśnieniem. Najczęściej spotykanym typem jest typ I. Krzywa współistnienia zamknięta jest, w miarę wzrostu temperatury, górną temperaturą krytyczną mieszalności (ang. UCST), natomiast obniżanie temperatury powoduje wypadanie fazy stałej w postaci roztworu stałego, eutektyku czy też składnika czystego. Mechanizm powstawania drugiej fazy ciekłej jest tłumaczony tym, że poniżej UCST oddziaływania pomiędzy cząsteczkami tego samego rodzaju przewa-

żają nad czynnikiem entropowym przeciwdziałającym tym oddziaływaniom.



Rys III-1. Podstawowe typy równowag ciecz-ciecz. (Schematycznie)

Typ II, spotykany bardzo często w układach wodnych, posiada dolny punkt krytyczny (ang. LCST). Hirschfelder, Stevenson i Eyring (1937) pierwsi postawili hipotezę, że ten typ równowagi jest wynikiem istnienia silnych oddziaływań specyficznych np. typu wiązania wodorowego. W niższych temperaturach cząsteczki różnego rodzaju silnie oddziałują ze sobą właśnie poprzez te wiązania powodując wymieszanie cieczy. W miarę wzrostu temperatury w pierwszej kolejności zrywane są te wiązania i znaczenia nabierają oddziaływania van der Waalsa molekuł podobnych. Dalszy wzrost temperatury powoduje nałożenie się równowagi ciecz-ciecz na linię krytyczną przejścia ciecz-gaz. Według Rowlinsona (1969) układy takie należą do III typu jego klasyfikacji wysokociśnieniowych równowag fazowych.

Układ {nikotyna(1) + woda(2)} jest klasycznym przykładem równowagi typu III. Oba mechanizmy podane wyżej występują w tym przypadku. Najczęściej skład krytyczny UCST jest przesunięty względem LCST jak jest uwidocznione na rysunku. Wynika to najprawdopodobniej z różnicy między oboma mechanizmami rozwarstwienia. Z hipotezy Hirschfeldera wynika również wniosek, że pewnego rodzaju cząsteczki oddziałują ze sobą przy pomocy przynajmniej dwóch rodzajów sił, z których jedna jest silnie specyficzna i skierowana w wybranym kierunku względem geometri cząsteczki.

Typ IV spotykany jest pod wysokimi ciśnieniami. Przegląd tego typu

równowag przedstawiony jest w pracach Schneidera (1972, 1978). Zachowanie takie wykazuje np. układ {butanol-2(1) + woda(2)} (Moriyoshi i wsp, 1975) czy też roztwory polimerów w niektórych niskocząsteczkowych węglowodorach ({polistyren(1) + cykloheksan(2)}, Freeman i Rowlinson, 1960) czy rozpuszczalnikach ({polistyren(1) + aceton(2)}, Szydłowski i Van Hook, 1991).

W przeglądowej pracy Sørensen i wsp. (1979) występuje, jako osobna grupa, tzw. luka wstęgowa, dla której obszar niemieszalności rozciąga się od równowagi ciecz-ciało stałe aż do linii krytycznej przejścia ciecz-gaz. W układach tych nie występuje punkt krytyczny mieszalności i dlatego ten typ luki nie jest dyskutowany w niniejszej pracy.

### III-2 TERMODYNAMIKA UKŁADÓW Z LUKĄ MIESZALNOŚCI

Rozpatrując układ wykazujący ograniczoną mieszalność w warunkach izotermiczno-izobarycznych przebieg funkcji mieszania Gibbsa  $G^M$  w funkcji składu ma analogiczny kształt jak funkcja Helmholtza dla układu jednoskładnikowego w funkcji objętości (np. Rowlinson i Swinton, 1982). W obu przypadkach krzywa jest wklęsła. Należy podkreślić, że funkcja Gibbsa ( $G$ ) układu wieloskładnikowego w przestrzeni parametrów  $P$  i  $T$  jest funkcją wypukłą, analogicznie jak dla układu jednoskładnikowego. Wklęsłość funkcji jest warunkiem stabilności materiałowej, która obok stabilności termicznej i mechanicznej warunkuje obecność fazy homogenicznej. Na rysunku III-2 przedstawiony jest (schematycznie) przebieg funkcji  $G^M$  dla krytycznej temperatury rozpuszczalności  $T_c$  oraz dla temperatur powyżej i poniżej  $T_c$ . Dla temperatury  $T < T_c$  linia styczna wyznacza składy równowagowe współistniejących faz. Z rozważań termodynamiki wiemy, że fazy znajdują się w równowadze gdy potencjały chemiczne składników w poszczególnych fazach są sobie równe. Jeśli dla roztworu dwuskładnikowego potencjały te przedstawimy w postaci:

$$\mu_1 = g - x_2 (\partial g / \partial x_2)_{P,T} \quad \text{III-1}$$

$$\mu_2 = g + x_1 (\partial g / \partial x_2)_{P,T} \quad \text{III-2}$$

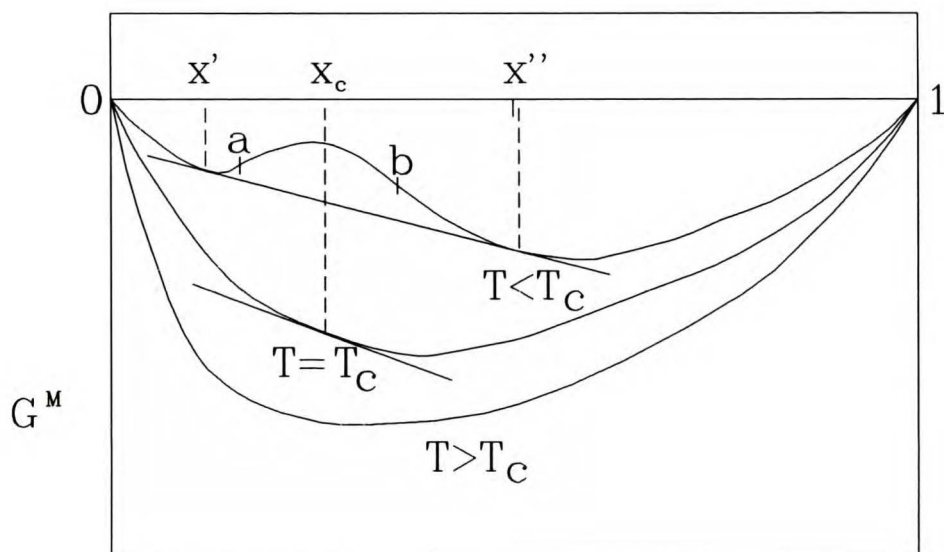
gdzie  $g = G^E/RT$ , to po odpowiednim przekształceniu i oznaczeniu poszczególnych faz ' i '' oraz odjęciu stronami powstałych równań uzyskujemy:

$$\left( \frac{\partial g}{\partial x_2} \right)'_{P,T} = \left( \frac{\partial g}{\partial x_2} \right)''_{P,T} \quad \text{III-3}$$

Jest to termodynamiczne przedstawienie warunku równowagi fazowej. Można wykazać, że warunek ten jest równoważny równości aktywności składnika  $i$  w każdej fazie:

$$x'_1 \gamma'_1 = x''_1 \gamma''_1 \quad \text{III-4}$$

gdzie  $\gamma_1$  jest współczynnikiem aktywności składnika  $i$ . Część krzywej zawarta między punktami  $a$  i  $b$  przedstawia zakres stężeń, dla których homogeniczna faza jest bezwarunkowo niestabilna, natomiast zawarta między  $x'$  i  $a$  oraz  $b$  i  $x''$  zakres stężeń metastabilnych.



Rys. III-2. Schematyczny przebieg swobodnej entalpii mieszania dla układu dwuskładnikowego wykazującego niemieszalność.

Aby spełnione były warunki stabilności materiałowej układu homogenicznego druga pochodna funkcji mieszania Gibbsa względem składu musi być dodatnia.

$$\partial^2 G^M / \partial x^2 > 0 \quad \text{III-5}$$

W miarę obniżania temperatury roztworu o składzie krytycznym, jeśli układ wykazuje tendencję do rozdzielenia się na dwie fazy, wartość tej pochodnej będzie się zmniejszać, aż w punkcie krytycznym osiągnie zero. Dalsze obniżanie temperatury powoduje, że dla pewnego zakresu stężeń, krzywa  $G^M$  staje się wypukła i następuje rozpad na dwie fazy. Dla roztworów rzeczywistych energia mieszania Gibbsa jest sumą dwóch udziałów:

energii mieszania roztworów idealnych i nadmiarowej energii Gibbsa ( $G^E$ ). Układy z odpowiednio dużymi, dodatnimi odchyleniami od doskonałości będą wykazywały tendencję do rozpadu na dwie fazy.

Tak więc warunkiem istnienia dwóch faz ciekłych jest aby:

$$\partial^2 G^{1d} / \partial x^2 + \partial^2 G^E / \partial x^2 = RT / (x_1 x_2) + \partial^2 G^E / \partial x^2 < 0 \quad \text{III-6}$$

czyli

$$\partial^2 G^E / \partial x^2 < -RT / (x_1 x_2) < 0 \quad \text{III-7}$$

Jak powiedziano, w punkcie krytycznym

$$\partial^2 G^{1d} / \partial x^2 + \partial^2 G^E / \partial x^2 = 0 \quad \text{III-8}$$

Najprostrzą formą reprezentacji nadmiarowej energii Gibbsa jest wyrażenie uzyskane na podstawie teorii roztworów regularnych i które może być łatwo wyprowadzone z modelu siatkowego cieczy (Guggenheim, 1952).

$$G^E = A RT x_1 x_2 \quad \text{III-9}$$

Z różniczkowania tego równania, na podstawie warunku stanu krytycznego III-8 wynika, że w punkcie krytycznym wartość  $A$  wynosi 2. Dla wartości niższych mamy do czynienia z roztworem jednofazowym, a dla wartości wyższych - dwufazowym. Jeśli stała  $A$  jest zależna od temperatury, i maleje ze jej wzrostem to mamy do czynienia z górnym punktem krytycznym mieszalności, natomiast w przypadku odwrotnym - z dolnym. Można sobie również wyobrazić temperaturową zależność stałej  $A$  w postaci np. paraboli. W tym przypadku może przyjąć dwukrotnie wartość krytyczną i mamy do czynienia z luką zamkniętą. Szczegółowo takie zachowanie zostało rozpatrzone przez Buchowskiego (1982) w podręczniku "Chemia fizyczna".

Z rozważań powyższych wynikają dwie ważne konsekwencje. W przypadku górnego punktu krytycznego układ będzie posiadał dodatnią entalpię mieszania i nadmiarową entropię większą niż  $(-R/2)$ , układy z dolnym punktem krytycznym - odwrotnie - ujemną entalpię mieszania i entropię nadmiarową mniejszą niż  $(-R/2)$ .

Ciepło właściwe pod stałym ciśnieniem w układzie dwuskładnikowym jest analogiem ciepła właściwego w stałej objętości układu jednoskładnikowego. Na jego wielkość składają się dwa udziały: pierwszy, związany z poszczególnymi indywiduami tworzącymi roztwór i jego zachowanie jest ciągłe przy przejściu przez punkt krytyczny, oraz drugi, związany ze

zmianami stężeń w każdej fazie i różnicy cząstkowych ciepł molowych. Ten drugi składnik jest różny w układzie jedno- i dwufazowym. Różnica ta, przy założeniu niezerowej wartości czwartej pochodnej  $G^M$  względem składu, wynosi:

$$(C_2 - C_1)_P|_c = \frac{3T_c \left( \frac{\partial^2 s}{\partial x^2} \Big|_c \right)^2}{\left( \frac{\partial^4 g}{\partial x^4} \Big|_c \right)} \quad \text{III-10}$$

Ciepło właściwe oznaczone subskryptem 2 oznacza układ dwufazowy natomiast 1 - jednofazowy;  $|_c$  oznacza wartość w punkcie krytycznym. Jak widać różnica ta ma wartość skończoną. Podobnie wygląda różnica we współczynniku ściśliwości izotermicznej:

$$(\beta_2 - \beta_1)_P|_c = \frac{3 \left( \frac{\partial^2 v}{\partial x^2} \Big|_c \right)}{v_c \left( \frac{\partial^4 g}{\partial x^4} \Big|_c \right)} \quad \text{III-11}$$

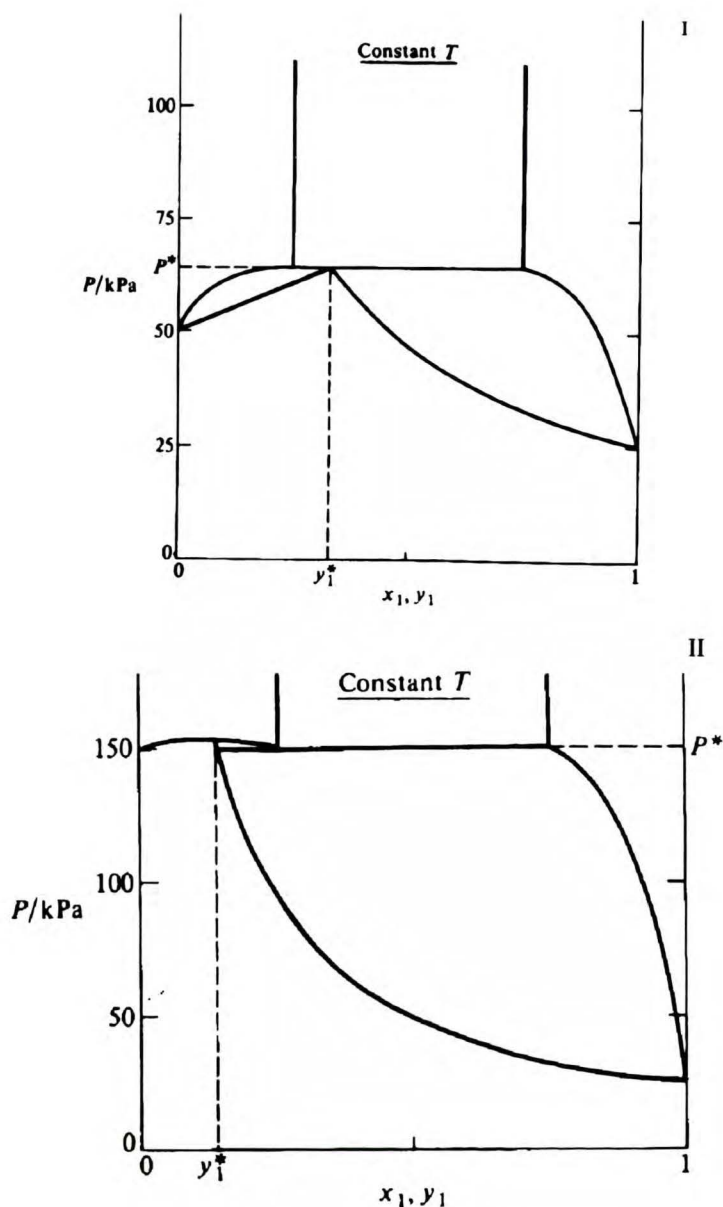
oraz dla współczynnika rozszerzalności izobarycznej:

$$(\alpha_2 - \alpha_1)_T|_c = \frac{3 \left( \frac{\partial^2 v}{\partial x^2} \Big|_c \right) \left( \frac{\partial^2 s}{\partial x^2} \Big|_c \right)}{v_c \left( \frac{\partial^4 g}{\partial x^4} \Big|_c \right)} \quad \text{III-12}$$

Z powyższych wzorów wynika, że w przypadku ciepła właściwego i współczynnika ściśliwości różnica jest dodatnia, tzn. wielkość w układzie dwufazowym jest większa niż w jednofazowym. Dla współczynnika rozszerzalności zależy ona od znaków drugich pochodnych w liczniku.

Jak wiadomo, na skutek wprowadzenia dodatkowego składnika, w przypadku roztworów punkt krytyczny będzie zależny od ciśnienia, pod którym znajduje się układ. Zależność tę można określić również na podstawie drugich pochodnych objętości i entropii w punkcie krytycznym.

$$\frac{dT_c}{dP} = \left( \frac{\partial^2 v}{\partial x^2} \Big|_c \right) / \left( \frac{\partial^2 s}{\partial x^2} \Big|_c \right) \quad \text{III-13}$$



Rys. III-3. Przykłady heteroazeotropii pierwszego (I) i drugiego (II) rodzaju (gwiazdka oznacza parametry azeotrupu).

### III-3. RÓWNOWAGA CIECZ-CIECZ-PARA

Układy posiadające lukę mieszalności wykazują zjawisko heteroazeotropii. Związane to jest z tym, że wrzący układ nie wykazuje zmiany temperatury wrzenia do czasu zaniku jednej z faz ciekłych. Zjawisko to jest zewnętrznie podobne do prawdziwej azeotropii, gdy brak zmiany temperatury wrzenia spowodowany jest jednakowym składem fazy parowej i ciekłej. Van Ness i Abbott (1982) sklasyfikowali dwa rodzaje układów posiadających tę własność ponieważ obok heteroazeotropii może występować azeotro-



bia homogeniczna dla stężenia, w którym istnieją tylko dwie fazy - ciekła i parowa. Badany w tej pracy układ wykazuje heteroazeotropię drugiego odzaju. Przykładem dla pierwszego jest układ {metanol(1) + heksan(2)}. Ilustruje to rysunek III-3.

Pnieważ prężność pary roztworu w zakresie stężeń wewnątrz luki mieszalności pozostaje stała (*de facto*, w miarę zmiany stężenia nominalnego rzeczywiste stężenia w obu fazach pozostają stałe, a zmieniają się jedynie względne ich ilości aż do zaniku jednej z faz) uzyskujemy cztery wyrażenia wiążące ciśnienie nad roztworem z jego składem:

$$P = \sum_i \frac{x_{ij} \gamma_{ij} P_i^{\circ}}{\varphi_{ij}(Y)} \quad i, j = 1, 2 \quad \text{III-14}$$

gdzie indeks  $i$  oznacza numer składnika, a  $j$  numer fazy. Z punktu widzenia obliczeń równowagowych, wg. Van Nessa i Abbotta (1982), najlepsze jest obliczanie ciśnienia całkowitego z ciśnień cząstkowych dla każdego składnika w innej fazie.

$$P = \frac{x_{12} \gamma_{12} P_1^{\circ}}{\varphi_{12}(Y)} + \frac{x_{21} \gamma_{21} P_2^{\circ}}{\varphi_{21}(Y)} \quad \text{III-15}$$

Jest to szczególnie ważne, gdy mamy do czynienia z praktycznym niemieszaniem się dwóch składników. Wtedy graniczny współczynnik aktywności pierwszego składnika rośnie do nieskończoności, a dla drugiego jest praktycznie równy jedności.

#### IV TERMODYNAMIKA ROZTWORÓW W OTOCZENIU PUNKTU KRYTYCZNEGO

Występowanie osobliwości w otoczeniu punktu krytycznego przejścia ciecz-gaz i w otoczeniu punktu krytycznego mieszalności w układach dwuskładnikowych było znane już w końcu ubiegłego wieku (np. Alexev, 1886). Niestosowalność się danych doświadczalnych do równania van der Waalsa zostało eksperymentalnie potwierdzone przez Michaels'a dopiero w 1937 roku. Ta rozbieżność pomiędzy teorią a eksperymentem przyjęto nazywać nieklasycznym zachowaniem się układów w otoczeniu punktów krytycznych. Od tamtego czasu zbadano i zmierzono wiele układów, ukazało się wiele prac prezentujących zjawiska krytyczne zarówno pod względem teoretycznym jak i doświadczalnym. Większość tych prac jednak dotyczy układów jedno-składnikowych (Levelt-Sengers, 1975; Sengers i Levelt-Sengers, 1978) lub zjawisk dotyczących innych układów niż ciekłe (Gopal, 1981). Ostatnio ukazały się także przeglądowe prace dotyczące punktu krytycznego równowagi ciecz-ciecz układów dwu- i trójskładnikowych (Scott, 1978; Levelt-Sengers, 1983; Levelt-Sengers i wsp., 1983a).

Każda ze współistniejących faz scharakteryzowana jest przez wielkości intensywne i ekstensywne. Lecz istnieją takie wielkości intensywne, jak na przykład cząstkowe wielkości molowe czy gęstość, które dla każdej ilości fazy są jednakowe w całym jej obrębie, lecz są różne dla każdej ze współistniejących faz. Aby uniknąć związanych z tym niejednoznaczności Griffiths i Wheeler (1970) nazwali je "gęstościami" natomiast rzeczywiste wielkości intensywne "polami". Nomenklatura ta jest szeroko stosowana w termodynamice punktów krytycznych. Punkt krytyczny w świetle powyższych definicji może być określony jako taki punkt w przestrzeni pole-gęstość, w którym zanikają różnice pomiędzy gęstościami poszczególnych faz w równowadze.

Innym pojęciem, wprowadzonym również przez Griffiths'a i Wheelera (1970), jest pojęcie słabej i silnej dywergencji<sup>†</sup>. O danej własności

---

<sup>†</sup> Pojęcie dywergencja jest anglikanizmem. Angielskie słowo *diverge* oznacza rozbiega się. Kojarzy się to z brakiem zbieżności. Stosowane w ra-

mówimy, że posiada silną dywergencję jeśli jej wartość zmienia się tak, jak odwrotność różnicy temperatury  $|T - T_c|$ .

W dalszych częściach tego rozdziału zostaną porównane zachowania się układów jedno i dwuskładnikowych w otoczeniu ich punktów krytycznych, rozpatrywanych pod względem termodynamiki fenomenologicznej i nieklasycznej, analogie i różnice pomiędzy nimi.

#### IV.1. PUNKT KRYTYCZNY W UKŁADACH JEDNOSKŁADNIKOWYCH

Rozważając układ jednoskładnikowy w stanie gazowym, podczas obniżania temperatury do bliskiej krytycznej, zbliża się on do stanu marginalnej stabilności. Zaburzenie parametrów stanu układu powoduje odpowiedź w postaci zaburzeń wielkości pochodnych jego parametrów. Zakładając, że funkcje stanu oraz ich pochodne są funkcjami analitycznymi można je rozwinąć w szeregi Taylora w otoczeniu punktu krytycznego.

Powszechnie znane równanie stanu van der Waalsa jest klasycznym równaniem opartym na teorii pola uśrednionego, tzn. pod uwagę brane są tylko oddziaływania krótkiego zasięgu. Ponieważ to równanie jest analityczne w punkcie krytycznym pod względem temperatury i objętości znakomicie nadaje się do demonstrowania dróg dojścia do stanu krytycznego i wpływu wspomnianych zaburzeń. Warunki stanu krytycznego, wyrażone jako pochodne energii swobodnej względem objętości wynoszą:

$$\left( \frac{\partial^2 A}{\partial V^2} \right)_T = - \left( \frac{\partial P}{\partial V} \right)_T = 0; \quad \left( \frac{\partial^3 A}{\partial V^3} \right)_T = - \left( \frac{\partial^2 P}{\partial V^2} \right)_T = 0 \quad \text{IV-1}$$

Równanie Gibbsa-Duhema dla jednej fazy po przeskalowaniu objętością i transformacji Legendra (Beegle i wsp. 1974) przybiera postać:

$$d(A/V) = -sdT + \mu dp \quad \text{IV-2}$$

Wprowadzenie zmiennych zredukowanych względem parametrów krytycznych:

$$A^* = A/VP_c; \quad T^* = T/T_c; \quad \rho^* = \rho/\rho_c; \quad P^* = P/P_c \quad \mu^* = \mu\rho_c/P_c \quad \text{IV-3}$$

---

chunku wektorowym pojęcie rozbieżności nie wydaje się adekwatne do zjawiska.

pozwała rozwinąć w szereg Taylora zredukowaną energię Helmholtza, ciśnienie i potencjał chemiczny.

$$X^* = \sum_{m=0}^{\infty} \sum_{n=0}^{\infty} \frac{1}{m!n!} X_{mn} (\Delta\rho^*)^m (\Delta T^*)^n \quad \text{IV-4}$$

gdzie za  $X^*$  mogą być podstawione  $A^*$ ,  $\rho^*$  lub  $P^*$  natomiast  $X_{mn}$  oznacza  $m$ -tą pochodną względem  $\rho^*$  i  $n$ -tą pochodną względem  $T^*$ .  $\Delta$  oznacza  $T^* - 1$  lub  $\rho^* - 1$ . Ponieważ  $\mu^* = (\partial A^* / \partial \rho^*)$  i  $P^* = \mu^* \rho^* - A^*$  to współczynniki rozwinięcia są między sobą współzależne:

$$\left. \begin{aligned} \mu_{mn} &= A_{m+1, n}; \quad m \geq 0 \\ P_{mn} &= A_{m+1, n} + (m-1)A_{mn}; \quad m \geq 0 \\ P_{mn} &= \mu_{mn} + (m-1)\mu_{m-1, n}; \quad m \geq 1 \end{aligned} \right\} \quad \text{IV-5}$$

Warunki stanu krytycznego (IV-1) narzucają współczynniki:

$$A_{20} = A_{30} = 0; \quad \mu_{10} = \mu_{20} = 0; \quad P_{10} = P_{20} = 0 \quad \text{IV-6}$$

natomiast warunki mechanicznej stabilności:

$$P_{30} = \mu_{30} = A_{40} > 0 \quad \text{i} \quad P_{11} > 0 \quad \text{IV-7}$$

a warunki stabilności termicznej:

$$A_{02} < 0 \quad \text{IV-8}$$

Z powyższych warunków wynikają zachowania się wielkości zredukowanych przy pewnych ustalonych parametrach:

Izoterma krytyczna  $(\Delta T^*) = 0$

$$P^* - P_c^* = \mu^* - \mu_c^* = P_{30} (\Delta\rho^*)^3 / 6 + \dots \quad \text{IV-9}$$

Izochora krytyczna  $(\Delta\rho^*) = 0$ ,  $T^* \geq 0$

$$1/K_T^* = P_{11} \Delta T^* + \dots \quad \text{IV-10}$$

$$C_V^* / T^* = -A_{02} \dots \quad \text{IV-11}$$

Wzdłuż krzywej współistnienia

$$\Delta\rho = \pm B_1 |\Delta T^*|^{1/2} + B_2 |\Delta T^*| + \dots \quad \text{IV-12}$$

$$(\Delta\rho_L^* + \Delta\rho_V^*) / 2 = B_2 |\Delta T^*| + \dots \quad \text{IV-13}$$

gdzie współczynniki  $B_1$ ,  $B_2$ .. są kombinacjami współczynników rozwinięcia Taylora.  $\Delta\rho$  oznacza różnicę gęstości fazy parowej (indeks V) i ciekłej

(indeks L).

W punkcie krytycznym wyznacznik

$$\begin{vmatrix} \left( \frac{\partial^2 U}{\partial S^2} \right)_V & \left( \frac{\partial^2 U}{\partial S \partial V} \right) \\ \left( \frac{\partial^2 U}{\partial S \partial V} \right) & \left( \frac{\partial^2 U}{\partial V^2} \right)_S \end{vmatrix} = \begin{vmatrix} \frac{T}{C_V} & -\frac{T\alpha_p}{K_T C_V} \\ -\frac{T\alpha_p}{K_T C} & \frac{C_p}{VK_T C_V} \end{vmatrix} = D(S, V) \quad \text{IV-14}$$

$$D(S, V) = \left( \frac{\partial^2 U}{\partial S^2} \right)_V \left( \frac{\partial^2 U}{\partial V^2} \right)_S - \left( \frac{\partial^2 U}{\partial S \partial V} \right)^2 = \frac{T}{VK_T C_V} \Rightarrow 0 \quad \text{IV-15}$$

gdzie:  $T$  - temperatura,  $\alpha_p$  - współczynnik rozszerzalności termicznej pod stałym ciśnieniem,  $C_V$  - ciepło właściwe w stałej objętości,  $C_p$  - ciepło właściwe pod stałym ciśnieniem,  $K_T$  - współczynnik ściśliwości izotermicznej,  $V$  - objętość. Dwie wielkości w powyższym wyznaczniku mają szczególne znaczenie w termodynamice punktu krytycznego i zostaną omówione w dalszych rozdziałach.

#### IV.2. PUNKT KRYTYCZNY W UKŁADACH DWU- I WIELOSKŁADNIKOWYCH

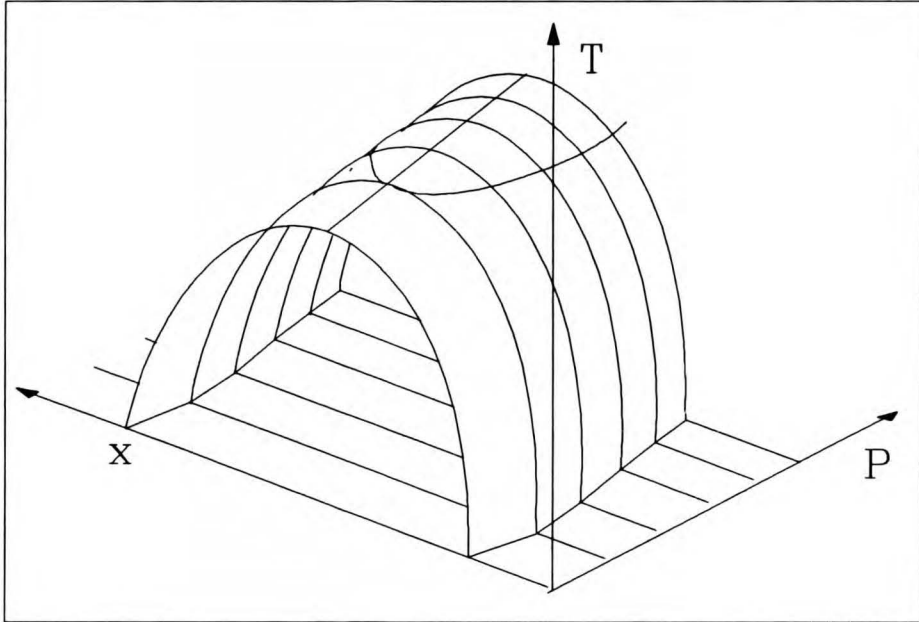
Układy dwu- i wieloskładnikowe wykazujące tendencję do rozwarstwienia mogą posiadać conajmniej dwa punkty krytyczne (dla mieszaniny o ustalonym składzie krytycznym), z których jeden jest punktem krytycznym przejścia gaz-ciecz, analogiczny do tego przejścia w układzie jednoskładnikowym. Pozostałe natomiast są punktami krytycznymi mieszalności dwóch faz ciekłych. Zachowanie się funkcji termodynamicznych w otoczeniu tego punktu jest podobne do wspomnianego przejścia ciecz-gaz i podlegają takim samym prawom. Warunkami stanu krytycznego w przypadku mieszanin są:

$$\left( \frac{\partial^2 G}{\partial x^2} \right)_{T, P} = - \left( \frac{\partial \Delta}{\partial x} \right)_{T, P} = 0; \quad \left( \frac{\partial^3 G}{\partial x^3} \right)_{T, P} = - \left( \frac{\partial^2 \Delta}{\partial x^2} \right)_{T, P} = 0 \quad \text{IV-16}$$

Zastosowanie entalpii swobodnej jest bardziej odpowiednie gdyż pozostawia w dalszym ciągu zależność od jednej gęstości.

Powyższe rozważania odnoszą się do procesu izobaryczno - izoter-

micznego. W procesie ogólnym w przestrzeni P,T,x konsekwencją wprowadzenia dodatkowego składnika jest przekształcenia się krzywej współistnienia w powierzchnię a punktu krytycznego w linię<sup>†</sup>. Ilustruje to rysunek IV-1.



Rys. IV-1. Diagram fazowy układu dwuskładnikowego w przestrzeni P,T,x.

W układach dwuskładnikowych w okolicy punktu krytycznego również musi być spełniony warunek zerowania się wyznacznika macierzy drugich pochodnych entalpii swobodnej Gibbsa względem jej parametrów charakterystycznych T i -P, tzw. "macierzy podatności" (porównaj IV-14 i IV-15).

$$\begin{vmatrix} -\left(\frac{\partial^2 G}{\partial T^2}\right)_{P,x} & \left(\frac{\partial^2 G}{\partial T \partial P}\right)_x \\ \left(\frac{\partial^2 G}{\partial T \partial P}\right)_x & -\left(\frac{\partial^2 G}{\partial P^2}\right)_{T,x} \end{vmatrix} = \begin{vmatrix} \frac{C_P}{T} & V\alpha_p \\ V\alpha_p & VK_T \end{vmatrix} = D(T,P) \quad \text{IV-17}$$

$$D(T,P) = \left(\frac{\partial^2 G}{\partial T^2}\right)_{P,x} \left(\frac{\partial^2 G}{\partial P^2}\right)_{T,x} - \left(\frac{\partial^2 G}{\partial T \partial P}\right)_x^2 = VK_T C_V / T \Rightarrow 0 \quad \text{IV-18}$$

<sup>†</sup> Podobnie dzieje się z punktem krytycznym przejścia ciec-z-gaz. Linia krytyczna łączy punkty krytyczne czystych składników.

Funkcje termodynamiczne w układzie  $k$ -składnikowym określone są, jak wiemy, w przestrzeni  $k+1$  parametrów. Stąd, układ dwuskładnikowy posiada trzy parametry niezależne. Parametry te są bądź gęstościami, bądź polami stosując nomenklaturę Griffiths'a i Wheelera (1970). W tabelicy IV-1 przedstawione jest za Scott'em (1978) zestawienie funkcji dla układów jedno i dwuskładnikowych.

Tablica IV-1

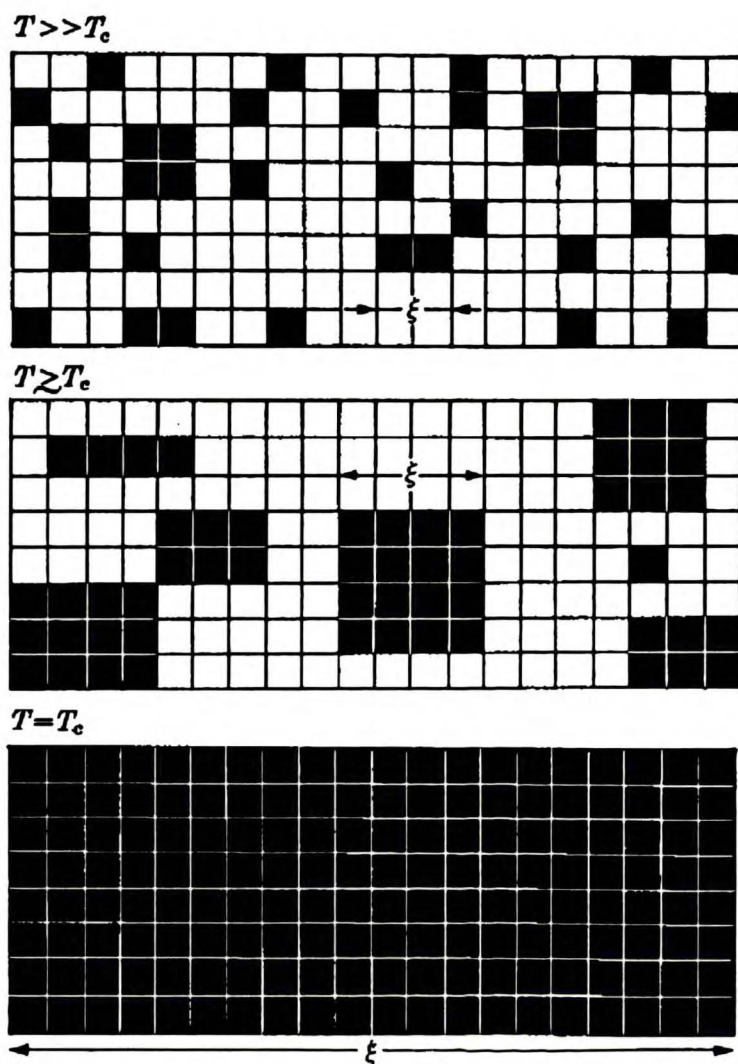
Podział funkcji termodynamicznych ze względu na stosowanie zmiennych niezależnych.

Liczba gęst.	Układ jednoskładnikowy	Układ dwuskładnikowy
2	$U(S, V)$	$A(T, V, x); H(S, P, x)$ $P(T, V, x); T(S, P, x)$ $S(T, V, x); V(S, P, x)$ $C_V(T, V, x); K_S(S, P, x)$
1	$A(T, V); H(S, P)$ $P(T, V); T(S, P)$ $S(T, V); V(S, P)$ $C_V(T, V); K_S(S, P)$	$G(T, P, x)$ $\Delta(T, P, x)$ $S(T, P, x); V(T, P, x)$ $C_P(T, P, x); K_T(T, P, x); \alpha_P(T, P, x)$
0	$G(T, P) = \mu(T, P)$ $S(T, P); V(T, P)$ $C_P(T, P); K_T(T, P); \alpha_P(T, P)$	$\mu(T, P, \Delta)$ $S(T, P, \Delta); V(T, P, \Delta); x(T, P, \Delta)$ $C_P(T, P, \Delta); K_T(T, P, \Delta); \alpha_P(T, P, \Delta)$ $Q(T, P, \Delta)$

#### IV. 3. NIEKLASYCZNE ZACHOWANIE W OTOCZENIU PUNKTU KRYTYCZNEGO

Powszechnie znane jest tzw. nieklasyczne zachowanie się funkcji termodynamicznych w otoczeniu punktu krytycznego. Termin "nieklasyczne zachowanie" oznacza, że rzeczywisty przebieg pewnych funkcji termodynamicznych nie jest zgodny z obliczonym czy przewidzianym przez klasyczne równanie stanu typu Van der Waalsa. Osobliwości tego punktu nie ograniczają się do wielkości termodynamicznych w potocznym tego słowa znaczeniu. Tak więc obserwuje się również silny wzrost rozpraszania światła, wzrost lepkości, zwiększone pochłanianie dźwięku czy też zmiany własności elektrycznych. Ponadto, jak już wspomniano, nie dotyczy to tylko układów ciekłych, lecz podobne zachowanie obserwuje się w wielu innych układach, dalekich fizycznie od stanu ciekłego, jak np. przejście ferromagnetyk - paramagnetyk w temperaturze Curie.

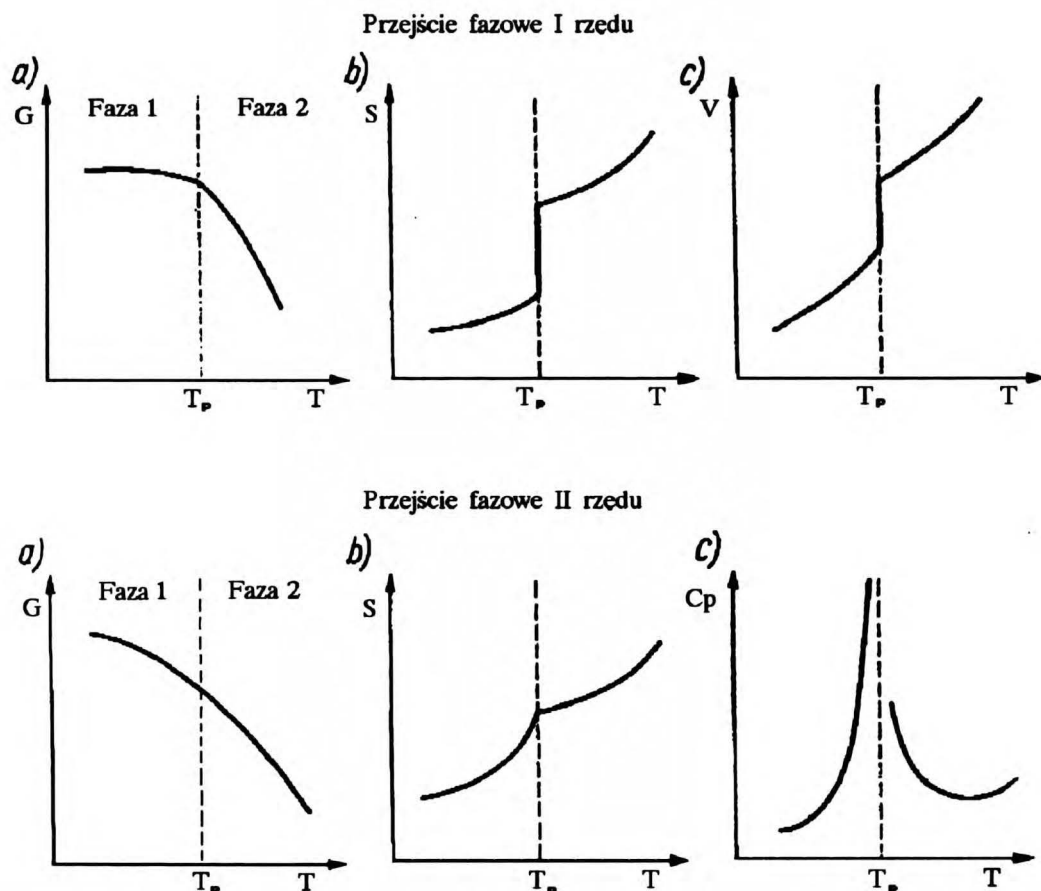




Rys. IV-2. Ilustracja pojęcia długości korelacji.

Według współczesnej termodynamiki (Levelt-Sengers 1983) anomalie związane z punktem krytycznym wynikają ze wzrostu długości korelacji, co powoduje wzrost fluktuacji w układzie. Na rysunku IV-2 przedstawiony jest, na przykładzie rozkładu cząsteczek w prostej sieci, wzrost długości korelacji  $\xi$  w miarę dochodzenia do temperatury krytycznej. W myśl teorii, funkcja charakteryzująca anomalie w punkcie krytycznym jest zależna od jednej zmiennej, która jest kombinacją temperatury i gęstości (składu). Takie zredukowanie ilości zmiennych nosi nazwę skalowania. Ponadto, ponieważ długości korelacji są dużo dłuższe niż zasięg sił międzycząsteczkowych, zachowanie się układu nie zależy od budowy cząsteczek wchodzących w jego skład. Zjawisko ma więc charakter uniwersalny i zależy tylko od tego, do której klasy uniwersalności należy układ. Na przykład punkt krytyczny mieszalności i w przejściu fazowym ciec-z-gaz zachowują się podobnie gdyż należą do tej samej klasy, nato-





Rys. IV-3. Zachowanie się energii Gibbsa i jej pochodnych w temperaturze przejścia dla przejść fazowych pierwszego i drugiego rodzaju.

miast przejścia fazowe w ciekłych kryształach mają inne charakterystyki.

Dzisiaj obowiązuje teza, że układy należące do tej samej klasy uniwersalności wyrażonej m.in. takim samym parametrem uporządkowania charakteryzują się podobnym przebiegiem funkcji termodynamicznych czy też diagramów fazowych.

Wszystkie wymienione anomalie wskazują na to, że punkt krytyczny mieszalności w układach ciekłych jest przejściem drugiego rodzaju. Ilustruje to rys. IV-3. Rozpatrując pochodne entalpii swobodnej w funkcji temperatury, w przypadku przemiany pierwszego rodzaju nieciągłość obserwowana jest już dla pierwszych pochodnych funkcji  $G$  (rys. IV-3 b i c). Dla przemiany drugiego rodzaju natomiast otrzymujemy zamiast skoku entropii - załamanie funkcji (rys. IV-3. b), a nieciągłość występuje w cieple właściwym (rys. IV-3 c), które jest drugą pochodną. Inną, ciekawą własnością punktu krytycznego jest to, że przejście zachodzi, w przeciwieństwie do przejść pierwszego rodzaju, w wąskim zakresie temperatur

lecz za to w całej objętości układu.

#### IV.3.1. Prawa wykładnicze

Przedstawione w punkcie IV-2 równania od IV-9 do IV-13 definiują tzw. prawa wykładnicze (ang. *power laws*) dla klasycznego punktu krytycznego. Wykładniki potęgowe zmiennych  $\Delta T^*$  i  $\Delta \rho^*$  oznaczane są literami alfabetu greckiego. Wymienione równania przyjmują więc postać ogólną:

$$P^* - P_c^* = \mu^* - \mu_c^* = P_{30} (\Delta \rho^*)^\delta / 6 + \dots \quad \text{IV-19}$$

$$1/K_T^* = P_{11} (\Delta T^*)^\gamma + \dots \quad \text{IV-20}$$

$$C_V^*/T^* = -A_{02} (\Delta T^*)^\alpha \dots \quad \text{IV-21}$$

$$\Delta \rho = \pm B_1 |\Delta T^*|^\beta + \dots \quad \text{IV-22}$$

$$(\Delta \rho_L^* + \Delta \rho_V^*)/2 = B_2 |\Delta T^*|^{(1-\alpha)} + \dots \quad \text{IV-23}$$

Zgodnie z teorią uniwersalności zjawisk krytycznych równania te mogą być przeniesione do opisu punktu krytycznego mieszalności. Wymaga to jednak zastąpienia pewnych wielkości charakteryzujących układ jednoskładnikowy przez ich odpowiedniki charakterystyczne dla układu wieloskładnikowego. Tak więc ciśnienie zastępowane jest przez różnicę potencjałów chemicznych składników, a gęstości faz, spełniające rolę parametru uporządkowania, zastępowane są przez stężenia jednego ze składników w poszczególnych fazach.

W przypadku układów dwuskładnikowych sytuacja jest bardziej skomplikowana. Jak wynika z tablicy IV-1 poszczególne funkcje zależne są od trzech parametrów i ich określenie w funkcji jednego z nich wymaga utrzymania stałości dwóch pozostałych. Konsekwencją tego jest różne zachowanie się funkcji, a zatem różne wykładniki w prawach wykładniczych, w zależności od wzajemnej relacji między gęstościami a polami jako jej parametrami.

Tablica IV-2

Porównanie niektórych wielkości termodynamicznych układu jedno i dwuskładnikowego

	Układ	
	jednoskładnikowy	dwuskładnikowy ciekły P = const.
Równanie fundamentalne	$P(T, \mu)$	$\mu_2(T, \Delta)$
'Gęstość'	$\rho = (\partial P / \partial \mu)_T$	$x = -(\partial \mu_2 / \partial \Delta)_{T, P}$
Krzywa współlistnienia	$\rho(T)$	$x(T)$
Równanie stanu	$\mu(\rho, T)$	$\Delta(x, T)$
Wsp. ściśliwości	$K_T = (\partial^2 P / \partial \mu^2)_T$	$K_T = -(\partial^2 \mu_2 / \partial \Delta^2)_{T, P}$
Ciepło właściwe	$C_V / V = T(\partial^2 P / \partial T^2)$	$C_{P, T} = -T(\partial^2 \mu_2 / \partial T^2)_{x, T}$

Dla układu dwuskładnikowego, przykładowo dla niektórych własności, prawa wykładnicze przyjmują więc postać:

$$\Delta - \Delta_c = D (\Delta x^*)^\delta + \dots \quad T = T_c, P = P_c \quad \text{IV-24}$$

gdzie  $\Delta = \mu_1 - \mu_2$ ;  $\Delta x^* = |x - x_c| / x_c$

$$K_T = G (\Delta T^*)^{-\gamma} + \dots \quad P = P_c, x = x_c \quad \text{IV-25}$$

$$C_P = A (\Delta T^*)^\alpha \dots \quad P = P_c, x = x_c \quad \text{IV-26}$$

$$x' - x'' = B_1 |\Delta T^*|^\beta + \dots \quad P = \text{const.} \quad \text{IV-27}$$

$$(x' + x'') / 2 = B_2 |\Delta T^*|^{(1-\alpha)} + \dots \quad P = \text{const} \quad \text{IV-28}$$

Współczynniki proporcjonalności oznaczone literami noszą nazwę amplitud i są charakterystyczne dla układu. Wartości ich nie są jednak dowolne lecz są powiązane pomiędzy sobą.

#### IV.3.2. Drogi dojścia do punktu krytycznego i wykładniki krytyczne

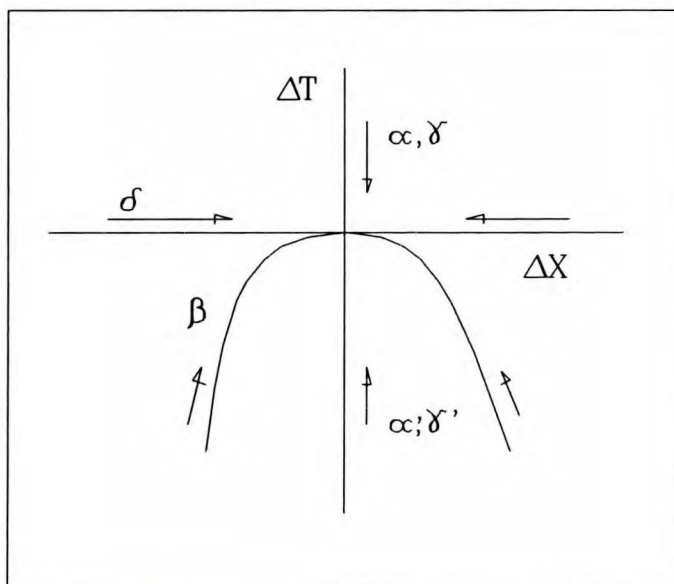
Według Griffiths'a i Wheelera (1970), to czy dana własność będzie miała silną czy słabą dywergencję jest wynikiem kierunku zbliżania się do punktu krytycznego. Wielkości mierzone asymptotycznie równoległe do krzywej współlistnienia będą wykazywały słabą dywergencję, natomiast prostopadle do niej - silną.

Jeśli punkt krytyczny obierzemy jako początek układu współrzędnych zdefiniowanych następująco:

$$\Delta T = T - T_c \quad \text{IV-29}$$

$$\Delta X = X - X_c \quad \text{IV-30}$$

to badania zachowania się układu w jego otoczeniu prowadzi się wzdłuż wybranych kierunków przedstawionych na rysunku IV-4. Przedstawiony jest tutaj stan pożądany, który w praktyce jest niezmiernie trudno spełnić. Zagadnienie to jest omówione szerzej w następnym rozdziale.



Rys. IV-4. Drogi dojścia do punktu krytycznego i związane z nimi wykładniki.

Na rysunku VI-4 przedstawione są również wykładniki charakteryzujące dywergencje pewnych własności badanych wzdłuż wybranego kierunku. Jak widać wykładniki  $\alpha$  i  $\gamma$  mogą być wyznaczone powyżej i poniżej temperatury krytycznej. Nie ma jednoznacznego, eksperymentalnego potwierdzenia równości pomiędzy wykładnikami z i bez apostrofu. Np.  $\alpha'$  może być wyznaczony z pomiaru symetralnej krzywej współlistnienia, natomiast  $\alpha$  - na podstawie pomiarów ciepła właściwego.

Wykładnik krytyczny powinien być obliczany w granicy gdy parametr zredukowany  $\epsilon$  zdąża do zera (Stanley, 1971; Scott, 1978).

$$\lim_{\epsilon \rightarrow 0} \frac{d(\ln Y^*)}{d(\ln \epsilon)} = \Phi \quad \text{IV-31}$$

gdzie:  $\Phi$  jest poszukiwanym wykładnikiem,  $Y^* = |Y - Y_c|/Y_c$  - zmianą wielkości sprzężonej,  $\epsilon$  - parametrem zredukowanym  $\epsilon = |E - E_c|/E_c$ . Pod wielkość  $E$  może być podstawione stężenie, temperatura czy ciśnienie. Należy podkreślić, że jest to wartość graniczna i może silnie zależeć od odległości od punktu krytycznego mierzonej parametrem  $\epsilon$ . W przypadku temperatury jako parametru  $\epsilon$  najmniejsza jego wartość osiągnięta eksperymentalnie wynosi  $10^{-6}$  co odpowiada różnicy pomiędzy temperaturą pomiaru a  $T_c$  rzędu kilku milikelwinów.

W tabelicy IV-3 przedstawione są wartości wykładników związanych z własnościami termodynamicznymi uzyskanymi eksperymentalnie, wynikającymi z modelu van der Waalsa oraz obliczonymi metodą renormalizacji grup z modelu Isinga.

Tablica IV-3

Wartości niektórych wykładników krytycznych.

Wykł.	Własność	Eksperyment.	Model v.d.W.	Model Isinga
$\alpha$	Ciepło właściwe	0.1	0	0.05
$\beta$	Krzywa współistnienia	0.335	0.5	0.325
$\gamma$	Współczynnik ściśliwości	1.24	1	1.28
$\delta$	Potencjał chemiczny	4.5	3	4.89

Z warunków stabilności oraz rozważań termodynamiki statystycznej wynika, że poszczególne wykładniki są ze sobą powiązane słabymi nierównościami. Zgodnie natomiast z teorią klasyczną odpowiednie wykładniki są sobie równe bez względu na kierunek pomiaru. Ponadto, tylko dwa z nich, a mianowicie  $\beta$  i  $\delta$  są od siebie niezależne. Pozostałe wynikają wprost z poniższych zależności.

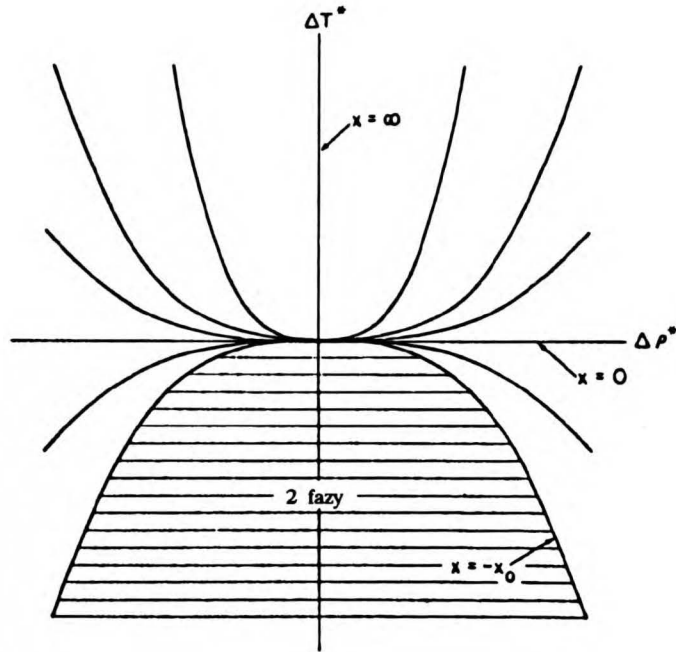
$$\alpha' + 2\beta + \gamma' \geq 2 \quad \text{IV-32}$$

$$\alpha' + \beta(\delta + 1) \geq 2 \quad \text{IV-33}$$

$$\gamma' - \beta(\delta - 1) \geq 0 \quad \text{IV-34}$$

$$\alpha' + \gamma'(\delta + 1)/(\delta - 1) \geq 2 \quad \text{IV-35}$$

Eksperymentalnie nie potwierdzono jednoznacznie i nie obalono powyższych



Rys. IV-5. Wartości zmiennej skalującej  $x$  w otoczeniu punktu krytycznego.

nierówności. Dla klasycznego modelu jednak nierówności te stają się równościami.

#### IV.3.3. Skalowane równanie stanu

Wspomniane trudności w zachowaniu kierunków dojścia do punktu krytycznego nakazywały opracować metodę pozwalającą stosować do weryfikacji teorii dane uzyskane w dowolnie wybranych kierunkach. Naturalnym narzędziem jest równanie stanu. Griffiths (1964) zaproponował skalowane równanie stanu stosując redukcję (skalowanie) zmiennych niezależnych.

W termodynamice punktu krytycznego zakłada się, że na każdą wielkość termodynamiczną składają się dwa udziały: część regularna, dająca się opisać wyrażeniami analitycznymi, oraz anomalna - wynikająca z istoty samego punktu krytycznego. Np. zredukowana energia Helmholtza może być przedstawiona w postaci:

$$A^* = A_0^*(T^*) + \rho^* \mu^*(\rho_c^*, T^*) + A_{\text{sing}}^*(\Delta\rho^*, \Delta T^*) \quad \text{IV-36}$$

gdzie  $A_0^*$  jest właśnie funkcją analityczną. Term anomalny można wyrazić

jako funkcję zmiennej skalującej  $x$ .

$$\frac{A_{\text{sing}}^*(\Delta\rho^*, \Delta T^*)}{|\Delta\rho^*|^{\delta+1}} = A_{\text{sing}}^*(1, x) \quad \text{IV-37}$$

gdzie  $x = \Delta T^*/|\Delta\rho^*|^{1/\beta}$ . W monografii Sengers i Levelt-Sengers (1978) podane są wyrażenia jako funkcje  $x$  na takie wielkości jak ciśnienie, entropia, ciepło właściwe i.t.d.

Praktyczną, szeroko stosowaną w NBS (Vicentini-Missoni i wsp., 1969), formą równania stanu jest:

$$\Delta\mu^* = \Delta\rho^* |\Delta\rho^*|^{\delta-1} E_1 \left(1 + \frac{x}{x_0}\right) \left[1 + E_2 \left(1 + \frac{x}{x_0}\right)^{2\beta}\right]^{(\gamma-1)/2\beta} \quad \text{IV-38}$$

$$E_1 = D/(1 + E_2)^{(\gamma-1)/2\beta} \quad \text{IV-39}$$

$D$  jest amplitudą opisującą zachowanie się potencjału chemicznego wzdłuż izotermy krytycznej, a  $E_2$  jest dobieralnym parametrem.

Wadą tego równania jest konieczność numerycznego całkowania danych w celu uzyskania potencjału chemicznego przed dopasowaniem do danych PTV.

#### IV.3.4. Parametryczne równanie stanu

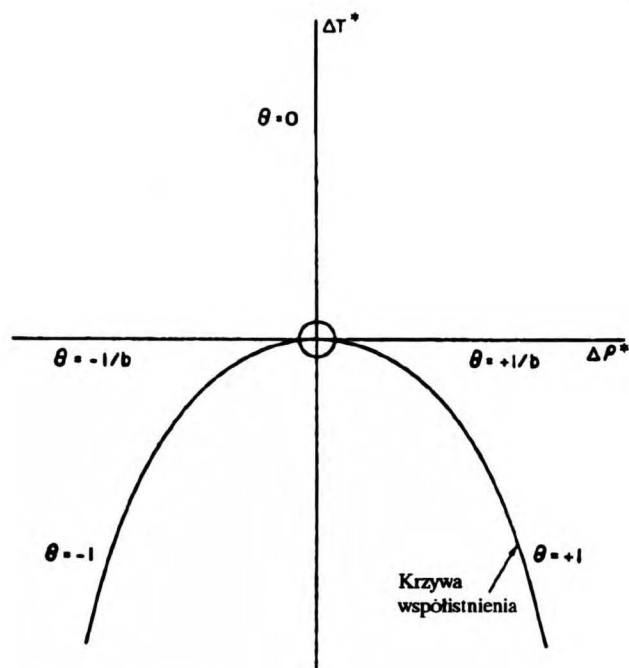
Wobec wspomnianych niedogodności modelu NBS (Lentini i Vincentini-Missoni, 1973), Schofield zaproponował w 1969 roku parametryczne równanie stanu, które definiuje położenie punktu w przestrzeni  $P, T, x$  za pomocą dwóch parametrów:  $r$  określającym odległość od punktu krytycznego i  $\theta$  podającego kierunek do 'warstwy' o stałym  $r$ . Funkcje wiążące zredukowane zmienne doświadczalnej parametry równania, spełniające prawa skalowania, są wybrane następująco:

$$\Delta T^* = r T(\theta) \quad T(\theta) = 1 - b^2 \theta^2 \quad \text{IV-40}$$

$$\Delta\rho^* = r^\beta M(\theta) \quad M(\theta) = k \theta \quad \text{IV-41}$$

$$\Delta\mu^* = r^{\beta\delta} H(\theta) \quad H(\theta) = a \theta(1 - \theta^2) \quad \text{IV-42}$$

Powyżej przedstawione funkcje  $T$ ,  $M$  i  $H$  zdefiniowane są dla modelu liniowego (Schofield, 1969).



Rys. IV-6. Współzależność parametrów parametrycznego równania stanu w otoczeniu punktu krytycznego.

Jak widać na rysunku IV-6, parametr  $\theta$  zmienia swą wartość od 1 do -1 wzdłuż krzywej współistnienia. Na izotermie krytycznej  $\theta$  jest ujemną lub dodatnią odwrotnością parametru  $b$ , który jest obliczany na podstawie wykładników krytycznych  $\beta$  i  $\delta$ .

W tabelicy IV-4 przedstawione są wyrażenia uzyskane dla modelu liniowego, opisujące znane wielkości termodynamiczne za pomocą parametrów  $r$  i  $\theta$ . Należy jednak pamiętać, że opisują one tylko udział anomalny. Dla uzyskania pełnego opisu konieczne jest dodanie składowych regularnych, które podane są w pełnej formie w pracy Levelt-Sengers (1983).

Parametryczne równanie stanu jest obecnie szeroko stosowane nie tylko do opisu własności substancji czystych w otoczeniu punktu krytycznego, lecz również, przy zastosowaniu wykładnika korekcyjnego  $\Delta$ , wprowadzonego przez Wegnera (1972), w szerokim zakresie temperatur, ciśnień i gęstości. Uzyskiwana jest doskonała zgodność obliczonych wielkości z danymi eksperymentalnymi np. dla wody (Kamgar-Parsi i wsp., 1983), ciężkiej wody (Levelt-Sengers i wsp., 1983), tlenu i gazów szlachetnych (Levelt-Sengers i wsp., 1976). Tam też można znaleźć kompletny zbiór wyrażań na części regularną i anomalną parametrycznego równania stanu.



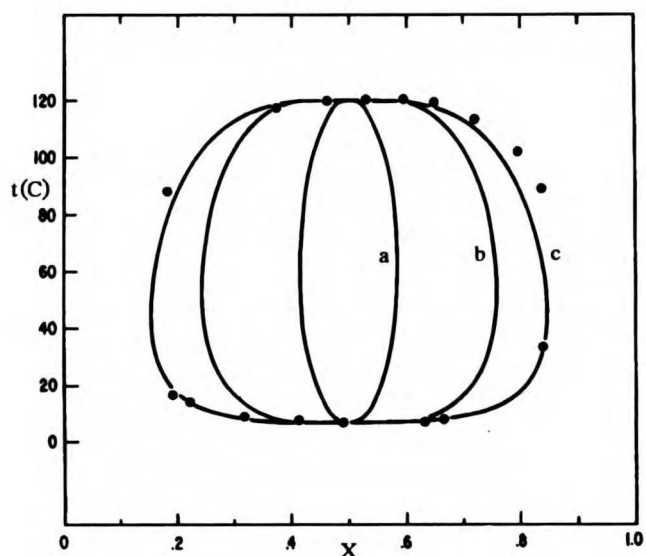
Tablica IV-4

Równania modelu liniowego dla układów dwuskładnikowych ciekłych

Potencjał	$-\mu_2(T, P, \Delta)$ $-d\mu_2 = SdT + x d\Delta - VdP$
$\Delta T^* = [T - T_c(P)]/T_c(P)$	$r(1 - b^2\theta^2)$
$x - x_c(P)$	$kr^{\beta}\theta$
$\Delta^* - \Delta_0(T^*)$	$ar^{\beta\delta}\theta(1 - \theta^2)$
$-\mu_{2(anom)}^*$	$akr^{2-\alpha}p(\theta)$
$S^{E*}$	$akr^{1-\alpha}s(\theta)$
$G^{E*}$	$akr^{2-\alpha}[\theta^2(1 - \theta^2) - p(\theta)]$
$H^{E*}$	$akr^{1-\alpha}s(\theta) + akr^{2-\alpha}[(1-b^2\theta^2)s(\theta) + \theta^2(1-\theta^2)-p(\theta)]$
$V^{E*}$	$-(a_p k_0 + a_0 k_p)r^{2-\alpha}p(\theta) + akr^{1-\alpha}s(\theta)\left(\frac{\partial T}{\partial P}\right)_\lambda + kr^{\beta}\theta\left(\frac{\partial \Delta}{\partial P}\right)_\lambda$
$p(\theta) = p_0 + p_2(\theta)^2 + p_4\theta^4$	$p_0 = \frac{\beta\delta - 3\beta - b^2\alpha\gamma}{2b^4(2-\alpha)(1-\alpha)\alpha}$ $p_2 = \frac{\beta\delta - 2\beta - b^2\alpha(2\beta\delta - 1)}{2b^2(1-\alpha)\alpha}$ $p_4 = (2\beta\delta - 3)/2\alpha$
$s(\theta) = s_0 + s_2\theta^2$	$s_0 = (2-\alpha)p_0$ $s_2 = \frac{\beta\delta - 3\delta}{2b^2\alpha}$
$b^2 = \frac{\delta - 3}{(\delta - 1)(1 - 2\beta)}$	

#### IV.4. NIEKLASYCZNE MODELE SIATKOWE PUNKTU KRYTYCZNEGO

Powszechnie wiadome jest, że modele siatkowe dają diagramy fazowe odbiegające od uzyskiwanych doświadczalnie. Przyczyny tego leżą w założeniach teoretycznych modeli. Poniżej podane są skrótowo własności dwóch modeli opracowanych początkowo dla układów wodnych, które opisane są szerzej (aczkolwiek również skrótowo) w załączniku A.



Rys. IV-7. Porównanie modelu sieci podwójnej i modelu Barkera-Focka

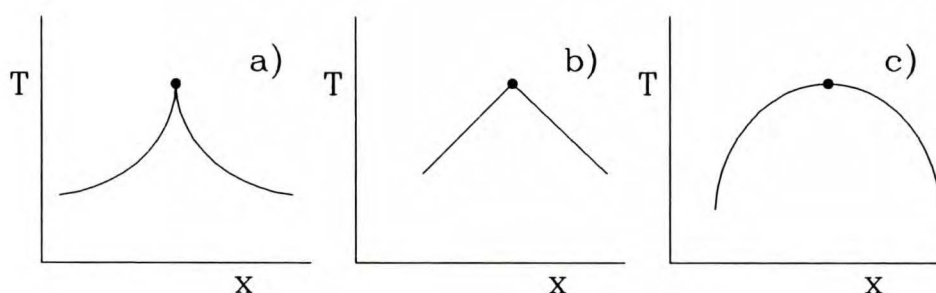
#### IV.4.1. Model sieci podwójnej; "decorated lattice model"

Idea "sieci w sieci" była znana od dawna (patrz artykuł przeglądowy Wheelera, 1977). Zasadniczą zaletą modelu jest możliwość jego rozwiązania, gdyż łatwo jest go przetransformować do modelu gazu sieciowego (model Isinga), który jest rozwiązywalny za pomocą rozwijania w szeregi czy przez renormalizację grup. (Uproszczone rozwiązanie modelu Isinga przedstawione jest w załączniku A.)

Na rysunku IV-7. pokazana jest możliwość opisu za pomocą tego modelu realnego układu posiadającego lukę zamkniętą. Obliczenia przeprowadzono dla układu {gliceryna(1) + *m*-toluidyna(2)} stosując różne liczby koordynacyjne  $\omega$ . W przypadku zastosowania  $\omega = 6$  (wartość najczęściej stosowana, również w rozwiązaniu modelu Barkera-Focka (1953) (patrz załącznik C) autorzy uzyskali krzywą (b). Powiększenie tej liczby do  $\omega = 5000$  daje krzywą (c). opisującą dane eksperymentalne z zadowalającą dokładnością. Dla porównania krzywa (a) przedstawia rozwiązanie za pomocą modelu Barkera-Focka dla tego układu (czytaj, dla takiego samego stosunku górnej i dolnej temperatury krytycznej). Autorzy opisali również inne układy zawierające glicerynę. Z każdym razem stosowali tę samą liczbę koordynacyjną. Stwierdzili również, że obliczone wartości energii oddziaływania mają wielkości rzędu siły wiązania wodorowego, co według nich świadczy o fizycznym znaczeniu zarówno liczby ko-

ordynacyjnej jak i energii oddziaływań.

Możliwości modelu były badane przez wielu autorów w zagadnieniach związanych z przejściami fazowymi i zagadnieniami osobliwości punktu krytycznego. Tak więc przejście fazowe ciecz-para i punkt krytyczny ciecz-gaz badali Widom (1967) i Neece (1967). Rozszerzenia na układ dwuskładnikowy i azeotropię krytyczną dokonał Wheeler (1972). Układy dwu i trójskładnikowe były szeroko badane przez Widoma i Wheelera (Widom, 1967; Wheeler i Widom, 1968, 1970) i wykazano analogię pomiędzy punktem krytycznym mieszalności i tzw. plait point'em. Clark (1968) badał wykładniki krytyczne natomiast Zollweg i Mulholland (1974) wykazali możliwość anomalii w przebiegu symetralnej krzywej współistnienia. Bartis i Hall (1975) uzyskali diagram fazowy, w którym występuje równowaga "gaz-gaz" i związany z tym zjawiskiem podwójny punkt krytyczny.



Rys. IV-8. Krzywa współistnienia w okolicy temperatury krytycznej uzyskanych za pomocą modelu sieci podwójnej.

Seria prac Wheelera i Andersena (Andersen i Wheeler, 1978a,b,1979; Wheeler i Andersen, 1980) pokazała możliwość konstrukcji diagramów fazowych typu III i IV pokazanych w rozdz. III; zastosowali go do opisu krzywej współistnienia układów wodnych wykazujących krzywą zamkniętą. Ponadto (Wheeler i Anderson, 1980) model przewiduje kilka ciekawych przebiegów krzywej współistnienia w bezpośrednim otoczeniu temperatury krytycznej.

Zachowanie się krzywej współistnienia tak, jak pokazano na rys. IV-8, możliwe jest w przypadku gdy nowy, skalowany wykładnik krytyczny  $\beta^{**} = 3\beta$  przyjmuje wartości: nieco mniejszą niż (a), równą (b) i nieco większą niż 1 (c). Według autorów zachowanie takie występuje nadzwyczaj blisko

temperatury krytycznej i dlatego nie może być stwierdzone eksperymentalnie. Jeśli wykładnik  $\beta=0.325$ , uzyskany teoretycznie z trójwymiarowego modelu Isinga jest prawdziwy, to wierzchołek krzywej współlistnienia powinien wyglądać jak przypadek (a) na rys.IV-8. Z drugiej strony, wykładnik  $\beta=0.335$  z tablicy IV-2, określony doświadczalnie, daje  $\beta^{**} > 1$ , a wtedy kształt krzywej współlistnienia przewidywany przez model (c) jest zgodny ze stwierdzonym doświadczalnie.

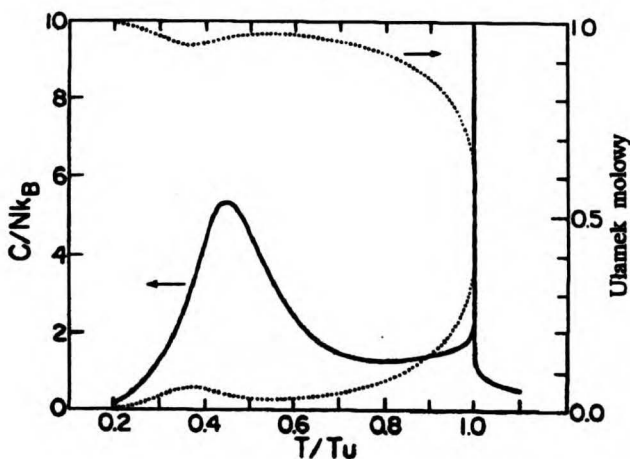
#### IV.4.2. Model Walker'a i Vause

Prawie równocześnie z modelem sieci podwójnej Walker i Vause (1980, 1983) zaproponowali nowe podejście do definicji energii oddziaływania międzycząsteczkowego poprzez hamiltonian.

$$\mathcal{H} = \frac{1}{2} \sum_{\langle i,j \rangle} (1 - s_i s_j) [K_2 + (K_1 - K_2) \delta_{\sigma_i \sigma_j}] \quad \text{IV-43}$$

gdzie  $K_1$  i  $K_2$  są energiami oddziaływania cząsteczek,  $s$  definiuje obecność w sąsiedniej komórce molekuly tego samego ( $i=j$ ) lub różnego ( $i \neq j$ ) rodzaju, natomiast  $\delta$  jest deltą Kroneckera, za pomocą której definiowana jest orientacja oddziałujących cząsteczek. Założenia i podstawowe własności modelu przedstawione są w załączniku A.

Istotną cechą, różniącą go od modelu sieci podwójnej, jest włączenie modelu Potta dla stanów  $q$ -krotnie zdegenerowanych, czyli innymi słowy, wprowadzenie możliwości orientowania cząsteczek względem siebie w  $d$ -wymiarowej sieci. Model jest w stanie przewidzieć w zależności od doboru parametrów oddziaływania rozpad fazy ciekłej dwuskładnikowej i ponowną homogenizację w niższej temperaturze. Podstawowa różnica pomiędzy tym modelem, a omawianym poprzednio jest taka, że cząsteczki traktowane jednakowo bez względu na rozmieszczenie ich w sieci. W modelu sieci podwójnej oddziaływania międzycząsteczkowe są zależne od tego, do sieci którego rzędu przynależy cząsteczka. Wartość parametru  $q$ , który można traktować jako liczbę koordynacyjną dla oddziaływań drugiego rzędu, wynosiła ok. 500, czyli jest o rząd mniejsza niż w modelu omawianym poprzednio. Autorzy interpretują tę wartość jako odwrotność kąta sferycznego w jakim oddziałuje wiązanie wodorowe.

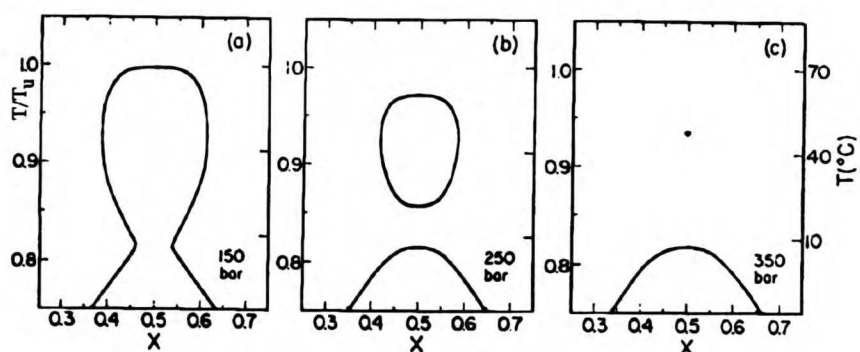


Rys. IV-9. Zachowanie się ciepła właściwego obliczone modelem Walker'a i Vause

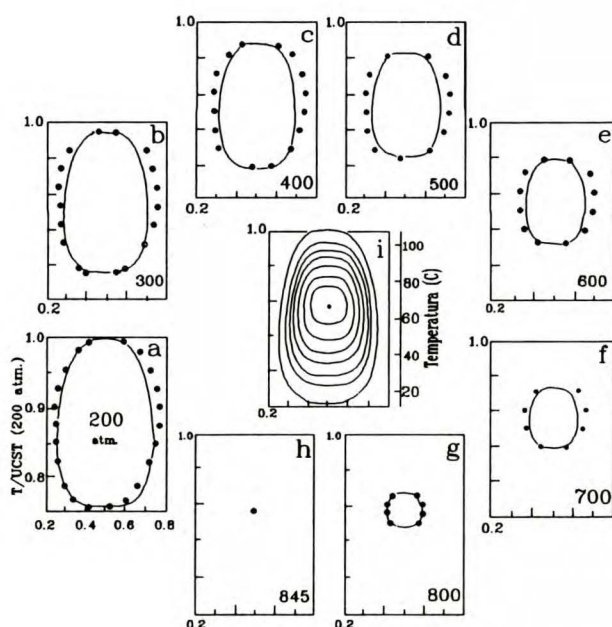
Praca Goldsteina i Walkera (1983) prezentuje możliwości modelu w przewidywaniu zachowania się pewnych wielkości termodynamicznych w funkcji temperatury, takich jak entropia czy ciepło właściwe. Na rys. IV-9 przedstawiona jest zależność temperaturowa ciepła właściwego dla luki wykazującej tzw. talię. Widać na nim "przygotowanie się" układu do dywergencji podobnej do widocznej po prawej stronie rysunku jeśli miałyby pojawić się dolny punkt krytyczny. Niestety, brakuje danych mogących zweryfikować przewidywania modelu.

Ponieważ opis zachowania się cząsteczek jest na poziomie mikroskopowym, możliwe jest, teoretycznie uzasadnione, przewidywanie efektu podstawienia izotopowego. Model ten ma również zastosowanie do predykcji równowag fazowych modyfikowanych obecnością elektrolitu. Autorzy porównali uzyskane rezultaty w postaci wielokrotnej luki zamkniętej ze stwierdzonym doświadczalnie takim zachowaniem się układu {etanol(1) + woda(2) + siarczan amonu(3)} pod wysokimi ciśnieniami (rys. IV-10).

Ponadto przedstawiono zależność ciśnieniową modelu i wykazano doskonałą zgodność uzyskanych równowag fazowych ze zmierzonymi doświadczalnie na przykładzie układu {2-butanol(1) + woda(2)} (Rys IV-11).

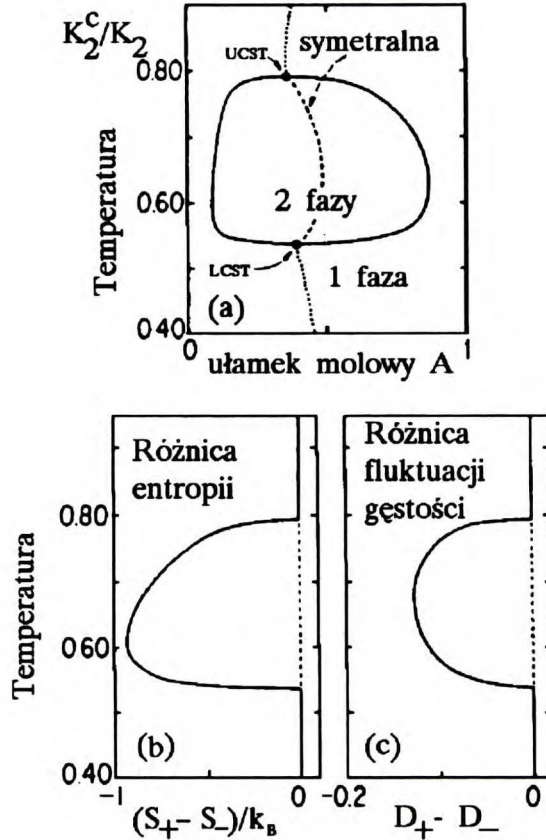


Rys. IV-10. Zanikanie luki mieszalności pod wpływem ciśnienia dla układu {etanol(1) + woda(2) + 14%  $K_2CO_3$ (3)}



Rys. IV-11. Porównanie danych eksperymentalnych i obliczonych modelem Walker'a-Vause dla układu {2-butanol(1) + woda(2)}

W pierwotnej wersji model był rozwiązywalny dla symetrycznej równowagi fazowej ( $x_c=1/2$ ). Dalsze prace nad jego rozwojem pozwoliły uzyskać asymetrię wynikającą z budowy molekularnej składników (Goldstein, 1983) oraz wprowadzenie (Walker i Goldstein, 1985) do hamiltonianu dodatkowego oddziaływania pomiędzy podobnymi cząsteczkami interpretowanego jako wiązanie wodorowe pomiędzy cząsteczkami tego samego rodzaju. Rezultat przedstawiony jest na rysunku IV-12.



Rys. IV-12. Asymetria luki mieszalności uzyskana przez wprowadzenie dodatkowej energii oddziaływania w hamiltonianie modelu W-V.

Na rysunku tym, poza asymetryczną luką zamkniętą przedstawione są różnice entropii i fluktuacji gęstości pomiędzy współistniejącymi fazami oznaczonymi (-) i (+). Ponadto pokazany jest przebieg symetralnej luki, który wykazuje, podobnie jak w innych modelach, niezgodność z zasadą prostoliniowej symetralnej.

Przedstawiony w tym punkcie model płynu wydaje się najpełniej prezentować zachowanie się cząsteczek w roztworach złożonych. W porównaniu z modelem Wheelera i Andersena jego możliwości predykcyjne są większe, a jednocześnie nie narzuca on specjalnych warunków na budowę i strukturę sieci. Tę "komplikację" autorzy zawarli w konstrukcji hamiltonianu. Wszystkie modele oparte na trójwymiarowym modelu Isinga wymagają skomplikowanych rachunków i nie mogą być prosto przeniesione na inne własności termodynamiczne.

## V DOŚWIADCZALNE BADANIA OTOCZENIA PUNKTU KRYTYCZNEGO MIESZALNOŚCI

### V.1. SPECYFIKA BADAŃ W OTOCZENIU PUNKTU KRYTYCZNEGO

Punkt krytyczny jako obiekt badań należy do trudniejszych. Wynika to z wrażliwości na wszelkiego rodzaju zaburzenia. Istnieje dosyć bogata literatura opisująca metody badań eksperymentalnych i związanych z tym trudności (Scott, 1978). Ponieważ w niniejszej pracy badanym układem jest ciekły układ dwuskładnikowy, rozważania na ten temat są ograniczone właśnie do tego typu badań. Szersze ujęcie tematu Czytelnik może znaleźć w "Experimental Thermodynamics, Vol. III" (Levelt Sengers, 1975). W przypadku układów dwuskładnikowych np. wyznaczenie składu krytycznego przysparza wielu kłopotów i niepewności związanych z czystością składników, braku jednoznacznych kryteriów oceny czy osiągnięty punkt na osi składów jest punktem krytycznym (kryterium jednakowej objętości dwóch współistniejących faz jest ciągle kwestionowane, szczególnie w bezpośrednim otoczeniu temperatury krytycznej), trudnością oceny wizualnej istnienia drugiej fazy przy intensywnej opalescencji i.t.d. Innym czynnikiem zakłócającym jest pole grawitacyjne utrudniające przechodzenie substancji przez granicę faz i przeciwstawiające się homogenizującemu działaniu entropii. Uzyskanie stabilnej i dobrze określonej temperatury było do niedawna barierą powodującą, że uzyskiwane dawniej wyniki są obciążone znacznym błędem.

W rozdziale tym omówione są głównie doświadczalne aspekty pomiarów własności układów dwuskładnikowych w otoczeniu punktu krytycznego. W załączniku F przedstawione jest zestawienie układów dwuskładnikowych badanych w przeszłości pod wieloma względami. Nie jest to zestawienie pełne, ale daje obraz zakresu pomiarów nie tylko termodynamicznych *sensu stricto*, lecz także innych własności fizykochemicznych, które ulegają wpływowi zjawisk związanych z przejściem ze stanu jedno- do dwufazowego. Ponadto pokazuje, jak niewiele układów zostało zbadanych w tym aspekcie, w porównaniu do mnogości układów posiadających punkt krytyczny mieszalności (Francis, 1963).



## V.2. KRZYWA WSPÓLISTNIENIA, NUKLEACJA

Podstawową wielkością, w przypadku układu dwuskładnikowego wykazującego tendencję do rozwarstwienia fazy ciekłej, jest krzywa współlistnienia. W literaturze opisano wiele metod pozwalających na jej wyznaczenie, lecz za najdokładniejszą uznaje się wciąż metodę ampułkową (Alexev, 1886). Polega ona na syntetycznym utworzeniu mieszaniny z naważek czystych składników, a następnie na oznaczeniu temperatury przejścia  $T_p$ , czyli temperatury zaniku jednej z faz ciekłych. Przy napełnianiu ampulek należy zadbać o jak najmniejszą objętość fazy parowej. Jest to szczególnie ważne w przypadku, gdy oba składniki różnią się znacznie lotnościami. Doskonałym przykładem zastosowania tej metody jest oznaczenie krzywej współlistnienia układu {cykloheksan(1) + bezwodnik octowy(2)}. Nagarajan i wsp. (1980) określili w ten sposób  $T_p$  dla ponad 60 próbek pokrywając zakres temperatur ok. 40 stopni. Dokładność tej metody rośnie w miarę dochodzenia do składu krytycznego. Jednocześnie wzrost opalescencji utrudnia określenie  $T_p$ . Osiągnięciu temperatury przejścia towarzyszy zmętnienie próbki (ang. *cloud point*). Pomiar tego zjawiska, dla próbki o znanym składzie, jest również często stosowany w tym celu (Ochi i wsp., 1990). Jednak, gdy układ nie jest mieszany, jest to możliwe tylko w bezpośrednim otoczeniu punktu krytycznego, bo tylko tam krzywa spinodalna pokrywa się z krzywą binodalną.

Krzywą współlistnienia uzyskuje się również poprzez określenie składu współlistniejących faz. Tego typu pomiar powinien być preferowany ze względu na informację o równowadze, która może być wykorzystana w korelacjach i badaniach modeli termodynamicznych stanu ciekłego. Jednak o dokładności decyduje wybór metody określania składu. Ponieważ obie fazy różnią się pewnymi właściwościami, ich pomiar dla każdej z faz pozwala określić ich skład. Warunkiem jest, aby zależność mierzonej właściwości od składu była wystarczająco duża. Tak więc metoda ta wymaga skalowania. Takimi właściwościami mogą być np. gęstość (Greer, 1976), współczynnik załamania światła (Jacobs i wsp., 1977), natężenie pasm charakterystycznych grup funkcyjnych w widmie IR (Cannon i wsp. 1970), własności elektryczne roztworu (Śliwińska-Bartkowiak, 1977), a nawet lepkość (Dega- Dałkowska, 1980). Innym rodzajem oznaczania składu współlistniejących faz

jest analiza chromatograficzna metodą GLC (Fabries i wsp., 1977). Wymienione sposoby są jednak zbyt mało dokładne do określenia krzywej współistnienia w bezpośrednim otoczeniu punktu krytycznego.

Skonstruowanie dylatometu rozcieńczalnikowego, nie posiadającego kranów, przez Kumarana i McGlashana (1979) znacznie podniosło dokładność pomiarów  $V^E$ . Dylatometr ten umożliwia zmierzenie dużej liczby punktów w funkcji stężenia dla stałej temperatury. Pomiar nadmiarowej objętości mieszania lub entalpii mieszania układu z luką mieszalności daje w obszarze dwufazowym liniową zależność od stężenia co umożliwia interpolację składów równowagowych (French i wsp., 1979) (metoda ta została wykorzystana w niniejszej pracy i jest opisana niżej), lecz w miarę dochodzenia do temperatury krytycznej uzyskane wyniki obarczone są coraz większym błędem. Uwagi powyższe odnoszą się również do wykorzystania w tym celu pomiarów ciepła mieszania.

Dylatometr rozcieńczalnikowy może być również przyrządem do precyzyjnego określenia samego wierzchołka krzywej współistnienia (Łuszczuk, 1988). Sposób ten polega na określeniu  $T_p$  w pracującym dylatometrze gdy pomiar prowadzony jest w izotermie, powiedzmy o dwa stopnie, poniżej temperatury krytycznej. Gdy w naczyniu następuje rozwarstwienie się roztworu, podnoszona jest temperatura aż do zaniku drugiej fazy, po czym następuje chłodzenie do ponownego pojawienia się drugiej fazy. Operacje te powtarza się do uzyskania dokładnej temperatury przejścia, po czym powraca się do temperatury pierwotnej, uzyskuje nowy skład i powtarza powyższą procedurę. Tak postępując przesuwamy się zwiększając stężenie jednego ze składników aż do obszaru homofazowego. W ten sposób, w jednym pomiarze uzyskujemy pomiar nadmiaru objętości i wierzchołka krzywej współistnienia wraz z dokładnym określeniem temperatury i składu krytycznego, gdyż skład roztworu w tym przyrządzie określane są bardzo dokładnie (Chyliński, 1987). Podstawowym warunkiem powodzenia tego sposobu jest pewność powrotu do temperatury bazowej, w której prowadzony jest cały pomiar.

Wpływ zanieczyszczenia próbek na kształt krzywej współistnienia i temperaturę krytyczną był badany przez wielu autorów. Np. Tveekrem i Jacobs (1983) przeprowadzili takie badania dla układu {metanol(1) + cykloheksan(2)} dodając kontrolowane, niewielkie ilości wody. Stwierdzili

oni, że zanieczyszczenie 0.1% obj. wodą powoduje wzrost  $T_c$  o 3.8 K. Zmieniał się również skład krytyczny, a wykładnik krytyczny  $\beta$  wzrastał. Innym, ciekawym podejściem do tego problemu jest wykorzystanie zjawiska wymiany izotopowej na przykładzie układu {kwas izomasłowy deuterowany(1) + woda(2)} (Gulari i wsp., 1980; Knobler i Scott, 1982). Układ dwuskładnikowy przechodzi w trój- a nawet czteroskładnikowy. Wpływ podstawienia izotopowego na temperaturę krytyczną jest znaczący. Pojawienie się deuterowanej wody można traktować jako zanieczyszczenie układu. Knobler i Scott (1982) dają szczegółową analizę zachowania się krzywej współistnienia w takim układzie.

Diagramy fazowe układów binarnych pod wysokimi ciśnieniami stanowią częsty obiekt pomiarów. Wydaje się, że to, czy luka powiększa się, czy maleje ze wzrostem ciśnienia wynika z oddziaływań wiązaniem wodorowym pomiędzy cząsteczkami tego samego i różnego rodzaju. Na przykład układy {2-metoksyetanol(1) + alkany(2)} (Bijl i wsp., 1983) i {metanol(1) + cykloheksan(2)} (Singh i van Hook, 1987b) wykazują powiększanie się luki w miarę wzrostu ciśnienia natomiast {2-butanol(1) + woda(2)} (Moriyoshi i wsp., 1975) - odwrotnie. (Patrz przykład przy omawianiu modelu W-V, rozdz. IV-4.2).

Nukleacja jest zjawiskiem polegającym na samorzutnym rozpadzie homogenicznego roztworu na dwie fazy ciekłe. Pomiar temperatury tego rozpadu daje w rezultacie krzywą spinodalną. W połączeniu z krzywą współistnienia uzyskuje się obszar metastabilny. Istotnym problemem jest sposób wymuszenia "przegrzania" roztworu bez naruszenia mechanicznej stabilności roztworu. Stosowane są w tym celu: wyładowania elektryczne, wzrost ciśnienia, i. t. p. (Howland i wsp. 1980, Clerk i Sengers, 1983).

Według teorii stosunek  $\delta T/\Delta T$  powinien pozostawać stały wzdłuż krzywej współistnienia.  $\delta T$  jest różnicą temperatur pomiędzy krzywą binodalną a krzywą spinodalną natomiast  $\Delta T$  - różnicą pomiędzy temperaturą krytyczną i temperaturą przejścia na krzywej binodalnej. (Oczywiście dla danego składu.) Badania realnych układów w bezpośrednim otoczeniu punktu krytycznego nie potwierdzają tej tezy. Howland i wsp., (1980) zrobili zestawienie dla kilku układów i stwierdzili, że w funkcji temperatury zredukowanej  $\epsilon$  zależność jest nieliniowa. Tłumaczone to jest utrudnioną dyfuzją i powolnym powstawaniem kropeł drugiej fazy w pobliżu punktu kry-

tycznego.

### V.2.1. Analiza i opis krzywej współistnienia

Uzyskanie poprawnego opisu krzywej współistnienia ma podstawowe znaczenie w analizie gdyż w gruncie rzeczy celem jest wyznaczenie składów faz w równowadze. Dopiero ta informacja jest przydatna w dalszych rozważaniach nad punktem krytycznym. W czasach, gdy komputer był narzędziem mało dostępnym najczęściej składy równowagowe odczytywano z graficznej prezentacji krzywej współistnienia. Na tak wyznaczonych składach Cox i Herington (1956), Stein i Allen (1973) prowadzili analizy obu gałęzi krzywej współistnienia osobno w otoczeniu punktu krytycznego. W międzyczasie pojawiły się jednak metody numeryczne pozwalające opisać krzywą binodalną uzyskaną metodą rozpuszczalnościową (Malesińska, 1960a; Malesińska i Malesiński, 1960b; Spinoli i Ferloni, 1974). Metody te opierały się na symetryzacji krzywej współistnienia i odłożenia jej w funkcji różnicy temperatury od temperatury krytycznej. Rogalski i Stryjek (1980) zmodyfikowali równanie Ferloniego i Spinoliego tak, aby można było jednocześnie symetryzować oba ramiona krzywej współistnienia.

Dla układów ciekłych prawa wykładnicze zostały zaadoptowane przez Ley-Koo i Green (1977), natomiast Wegner (1972) wprowadził dodatkowe człony pozwalające na rozszerzenie zakresu temperatur dla stosowania tych równań. Wykazał on, że wykładniki dalszych członów rozwinięcia są sumą wykładnika pierwotnego  $\beta$  i wielokrotności wykładnika korekcyjnego  $\Delta$ , równego 1/2.

$$|x' - x''| = \sum_{i=0} B_i \varepsilon^{(\beta+i\Delta)} \quad V-1$$

Prawa wykładnicze opisują również symetralną krzywej współistnienia z wykładnikiem krytycznym  $\alpha$  tym samym, który jest odpowiedzialny za zachowanie się ciepła właściwego w otoczeniu punktu krytycznego mieszalności.

$$(x' + x'')/2 = a_0 + a_1 \varepsilon + \sum_{i=2} A_i \varepsilon^{[(1-\alpha)+(i-2)\Delta]} \quad V-2$$

Powyższe dwa równania pozwalają, poprzez proste zsumowanie, uzyskać bardzo dobre równanie do opisu krzywej współistnienia, pozwalające korzys-

tać z danych rozpuszczalnościowych, które są najbardziej rozpowszechnione w literaturze

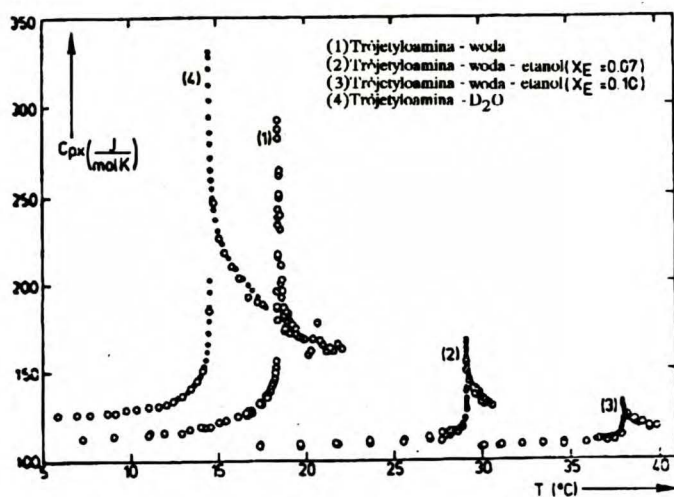
$$x = A_0 + A_1 \varepsilon + \sum_{i=2} A_i \varepsilon^{[(1-\alpha)+(i-2)\Delta]} + f \sum_{i=0} B_i \varepsilon^{(\beta+i\Delta)} \quad V-3$$

gdzie  $\alpha, \beta$  - wykładniki krytyczne (mogą być parametrami dobieralnymi),  $a_0$  - parametr będący jednocześnie estymatą składu krytycznego,  $f$  - mnożnik równy  $1/2$  dla  $x > x_c$   $-1/2$  dla  $x < x_c$ . Ilość współczynników  $A$  i  $B$  zależy od zakresu temperatur w jakim znajdują się dane. Równanie powyższe stanowi dobre narzędzie interpolacyjne przy opracowywaniu danych rozpuszczalnościowych jak również równowagowych. Porównano je z powszechnie stosowanymi równaniami Coxa (Cox i Herington, 1956) oraz Francosiniego (Spinoli i Ferloni, 1974) na około 50 układach różnego typu (Łuszczak i Stryjek, 1984b) i uzyskano conajmniej dwukrotne zmniejszenie odchylenia standardowego oraz brak jakichkolwiek odchyłeń systematycznych, które to są obserwowane przy stosowaniu wymienionych równań.

Podobne równania przedstawili niezależnie Viner i Smith (1981) i Vnuk (1983a,b), z tym, że Vnuk podał również równanie do opisu luki zamkniętej. Ich zdolność do opisu krzywej współistnienia jest podobna do zdolności omówionego równania.

### V.3. CIEPŁO WŁAŚCIWE

Pomiary ciepła właściwego w otoczeniu punktu krytycznego są, relatywnie do innych wielkości termodynamicznych, dość często spotykane w literaturze. Wynika to z tego, że ciepło właściwe pod stałym ciśnieniem dla składu krytycznego ( $C_{p,x}$ ) jest odpowiednikiem ciepła właściwego w stałej objętości ( $C_v$ ) układów jednoskładnikowych (Scott, 1978). Z teorii wynika, że logarytmiczna dywergencja  $C_{p,x}$  jest rządzona wykładnikiem  $\alpha$ , którego przewidywana teoretycznie wartość wynosi ok. 0.1. Wśród badanych układów są: {kwas izomasłowy(1) + woda(2)} (Pelger i wsp., 1981a,b; Klein i Woermann, 1975), {perfluorometylocykloheksan(1) + czterochlorek węgla(2)} (Pelger i wsp., 1981a; Schmidt i wsp., 1959), {trójetyloamina (1) + woda(2)} (Bloemen i wsp., 1980), {dwusiarczek węgla(1) + acetonitryl(2)} (Govindarajan i wsp., 1973). Z powyższego, niekompletnego zestawienia wynika, że badane pod tym względem układy reprezentują pełną



Rys.V-1. Zależność ciepła właściwego od temperatury dla układu {trójetyloamina(1) + woda(2)}

gamę oddziaływań międzycząsteczkowych.

Na rysunku V-1 przedstawione jest typowe zachowanie się ciepła właściwego w funkcji temperatury w układach ciekłych na przykładzie pomiarów układu {trójetyloamina(1) + woda(2)}. Ponadto rysunek ilustruje wpływ podstawienia izotopowego ( $D_2O$ ) na temperaturę krytyczną, a także destrukcyjny wpływ zanieczyszczeniem trzecim składnikiem (etanol) na zależność  $C_{p,x}$  od temperatury.

W pracy Pelgera i wsp. (1981a) wykonano pomiary dla dwóch układów posiadających górny ( $c-C_6F_{11}CF_3 + CCl_4$ ) i dolny punkt krytyczny (kw. *i*-masłowy +  $H_2O$ ) i stwierdzono zgodność, w granicy błędu eksperymentalnego, zachowania się układu z przewidywaniami teoretycznymi zarówno co do znaków amplitud (różnych dla górnego i dolnego punktu krytycznego) jak i wykładnika  $\alpha$ .

Bloemen i wsp. (1980) dla układu trójetyloaminy z ciężką wodą (LCST) stwierdzili zgodność z postulowaną stałością stosunku amplitud (Levelt-Sengers, 1983) obliczonych powyżej i poniżej  $T_c$ . Pomiary dla tego układu wykonano kalorymetrem skaningowym co dawało ok. 20000 punktów pomiarowych na serię. Osiągnięto również w ten sposób granicę możliwości podejścia do punktu krytycznego. (Wartość najbliższej temperatury pomiaru wyrażonej w parametrze zredukowanym  $\varepsilon$  wynosiła  $7 \cdot 10^{-6}$ , co w skali

normalnej daje ułamek milikelwina).

#### V.4. ENTALPIA MIESZANIA

Skonstruowanie skaningowego kalorymetru rozcieńczalnikowego, obok przepływowego, pozwoliło na wykonywanie dużej liczby dokładnych pomiarów izotermicznych. Ewing i wsp. (1985) wykonali, bodajże pierwsi, serię pomiarów entalpii mieszania ( $H^E$ ) w bezpośrednim otoczeniu punktu krytycznego układu {metanol(1) + cykloheksan(2)}. Łącznie zmierzono 11 izoterm w zakresie 1.3 K, z których najbliższa temperaturze krytycznej była 6 mK powyżej  $T_c$ . Istnieje pewne podobieństwo pomiędzy zachowaniem  $H^E$  i nadmiarowej objętości mieszania. Obie te funkcje są pochodnymi energii swobodnej Gibbsa. Są uzyskiwane z pomiarów bezpośrednich i jeśli są one wykonane z dużą dokładnością, możliwe jest na ich podstawie wyliczenia drugiej pochodnej względem składu. Wielkość ta jest stosowana z kolei do weryfikacji zachowania się układu w otoczeniu punktu krytycznego. Rezultaty swych pomiarów autorzy przeanalizowali z zastosowaniem parametrycznego równania stanu i wyznaczenia, drogą pośrednią, wykładników krytycznych  $\beta$  i  $\gamma$ . (Ewing i wsp., 1986).

Podobne pomiary, w tego samego typu kalorymetrze, przeprowadzili Marsh i Rogers (1989) dla układu {nitroetan(1) + cykloheksan(2)}. Autorzy ci zmierzili 6 izoterm w zakresie 2 K, z czego jedna była poniżej punktu krytycznego natomiast najbliższa  $T_c$  - 12 mK powyżej. W pracy tej szczególną uwagę zwrócono na oczyszczenie składników. Np. zawartość wody w nitroetanie badano spektroskopią IR i oceniono jej stężenie na  $10^{-5}$  ułamka molowego. Również tutaj przeprowadzono analizę wyników stosując parametryczne równanie stanu, lecz autorzy nie podali wyników numerycznych.

#### V.5. NADMIAROWA OBJĘTOŚĆ MIESZANIA

Nadmiarowa objętość mieszania ( $V^E$ ) jest, podobnie jak entalpia mieszania, wielkością pochodną entalpii swobodnej. Badania  $V^E$  w otoczeniu punktu krytycznego prowadzone były dla niewielu układów. Tak więc badane były: {metylocykloheksan(1) + perfluorometylocykloheksan(2)}

(Kumaran i McGlashan, 1980), {trójetyloamina(1) + woda(2)}, (Letcher i Spitieri, 1983), {heksan(1) + perfluoroheksan(2)} (Block i wsp., 1981). Wszystkie te układy badane były przy użyciu dylatometrów rozcieńczalnikowych. Wcześniejsze badania tego ostatniego układu (Gaw i Scott, 1971) wykonane były metodą densymetryczną i wymagały powtórzenia, chociaż metody densymetryczne również są stosowane do badań w otoczeniu punktu krytycznego mieszalności (Widom i Khosla, 1980).

Dla izotermy najbliższej temperatury krytycznej możliwa jest próba obliczenia wykładnika  $\lambda$ .

$$(V^E)_{x_c} = E_0 + E_1(x-x_c) + E_2|x-x_c|^\lambda \quad V-4$$

$$(dV^E/dx)_{x_c} = E_3 + E_4(x-x_c)/|x-x_c| \cdot |x-x_c|^{(\lambda-1)} \quad V-5$$

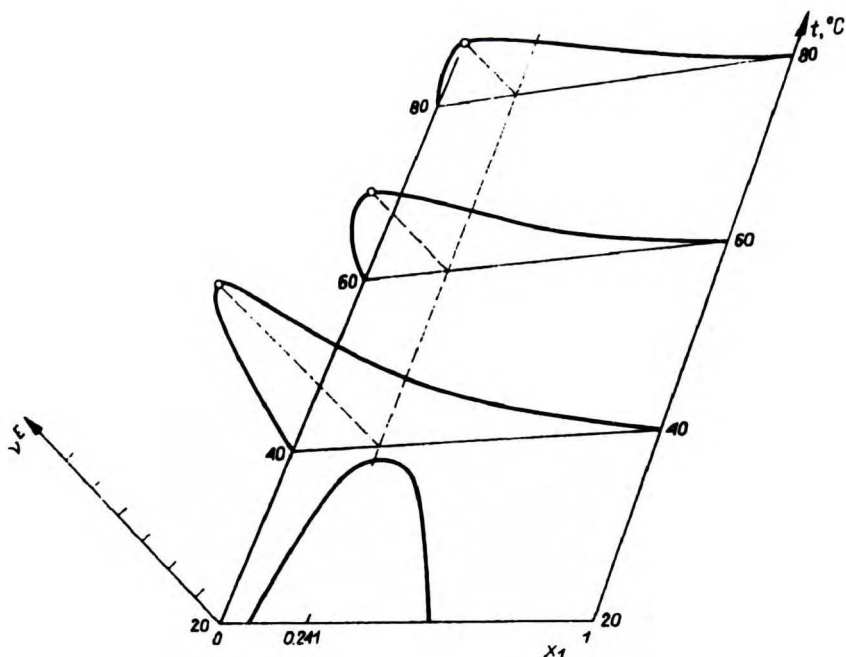
Powyższe równania zostały wyprowadzone ze skalowanego równania stanu. Wartość wykładnika  $\lambda=2.8$  oraz jego zależność od temperatury i stężenia jest szczegółowo dyskutowana przez Blocka i wsp. (1981). Dla układu badanego w tej pracy wartość tego wykładnika wynosi  $\lambda=2.84\pm 0.03$  (Łuszczuk, 1988), czyli jest zgodny, w zakresie błędu eksperymentalnego, z wartością teoretyczną.

Niejako naturalnie związany z pomiarem  $V^E$  jest współczynnik rozszerzalności termicznej. Bada się go za pomocą dylatometrów. W myśl teorii punktu krytycznego powinien on wykazywać dywergencję, której amplituda powiązana jest z linią krytyczną układu dwuskładnikowego. Według Kleina i Woermanna (1976) współczynnik ten przewiduje poprawnie zależność ciśnieniową temperatury krytycznej ( $dT_c/dP$ ) dla wielu układów.

## V.6. ZJAWISKA TRANSPORTOWE

Do zjawisk transportowych powszechnie zalicza się lepkość, dyfuzję i przewodnictwo cieplne. Najczęściej badaną własnością spośród wymienionych jest lepkość, która jest mierzona wprost. Własność ta wykazuje bardzo duży wzrost w bezpośrednim otoczeniu punktu krytycznego. Najczęściej badana jest w funkcji temperatury dla składu bliskiego krytycznemu. Na rysunku V-2 przedstawiona jest przykładowa "lepkość nadmiarowa" (jako





Rys.V-2. Ilustracja zależności "nadmiarowej lepkości" od temperatury i składu dla układu {3-MOPN(1) + woda(2)}

różnica pomiędzy lepkością zmierzoną a udziałami wniesionymi przez czyste składniki) układu {3-MOPN(1) + woda(2)} (Łuszczak i Stryjek, 1978). Widać tu wyraźne "przygotowywanie" się układu do przejścia przez punkt krytyczny dość daleko od temperatury krytycznej. Wzrost lepkości związany jest ze wzrostem długości korelacji i powstawaniem klusterów, dla których rośnie energia swobodna przepływu  $G^*$ .

W literaturze istnieje niewiele danych o takich pomiarach, a istniejące dotyczą niewielkiej liczby układów. Wynika to z trudności eksperymentu. Dokładne pomiary można uzyskać właściwie w wiskozymetrach typu Oswalda, odpowiednio zmodyfikowanych, np. takich, które opisano w Book of ASTM Standards (1969). Ponieważ jest to układ otwarty, trzeba liczyć na utratę bardziej lotnego składnika. Stąd do pomiarów wybierane są układy posiadające temperaturę krytyczną bliską pokojowej, jak np. układ {anilina(1) + cykloheksan(2)} (D'Arrigo i wsp., 1977), którego temperatura krytyczna wynosi ok. 303 K. Aby uniknąć zmiany składu Sada i wsp. (1977) zbudowali wiskozymetr rewersyjny dla pomiarów układu {nitrobenzen(1) + pentan(2)} ( $T_c$  ok. 300 K; temperatura wrzenia pentanu ok. 310 K). Po przygotowaniu składu krytycznego wiskozymetr był zatapiany. Pomiar prowadzono obracając wiskozymetr i mierząc czas przepływu w obie strony kapilary. Innym sposobem na zapobieżenie utraty jednego ze składników jest stosowanie dużej ilościowo próbki połączonej z rezerwu-

arem wiskozymetru.

Analiza danych lepkości kinematycznej pozwala wyznaczyć lepkościowy wykładnik krytyczny  $\nu$ . Podstawową trudnością jest wydzielenie lepkości podstawowej, gdyż lepkość w otoczeniu punktu krytycznego jest traktowana, podobnie jak inne statyczne wielkości termodynamiczne, jako składająca się z dwóch udziałów: regularnego i anomalnego. Również z pomiarów lepkości można uzyskać mieszany współczynnik dyfuzji. Najczęściej pomiary lepkości łączone są z pomiarami rozpraszania światła, gdyż na ich podstawie można określić długość korelacji i odpowiednie wykładniki krytyczne  $\psi$  i  $\gamma$ . Różnica między tymi wykładnikami daje z kolei wykładnik rządzący dywergencją współczynnika dyfuzji.

Innym, dość nietypowym zastosowaniem pomiarów lepkości w otoczeniu punktu krytycznego jest wykorzystanie ich do określenia krzywej współistnienia i obliczenia wykładnika krytycznego  $\beta$  (Dega-Dałkowska, 1980).

#### V.7. INNE WIELKOŚCI FIZYKOCHEMICZNE

Poza wymienionymi wielkościami termodynamicznymi również inne wielkości fizykochemiczne wykazują osobliwości w otoczeniu punktu krytycznego. Są to własności pochodne, lub w jakikolwiek sposób zależne od ściśliwości lub ciepła właściwego. Ciekawe zależności obserwuje się dla tzw. nieliniowego efektu dielektrycznego (NDE). W otoczeniu punktu krytycznego następuje wzrost podatności dielektrycznej. Zjawisko to było badane szczegółowo przez Piekare (1939) i badania tego efektu, co bardzo ciekawe, prowadzone są głównie w Polsce (Majgier-Baranowska, 1980; Majgier-Baranowska i wsp., 1981). Ponadto obserwuje się w otoczeniu punktu krytycznego wzrost stałej Kerra (Pyżuk i wsp., 1979, 1980). Badania własności elektrycznych pozwalają przewidzieć potencjalne wystąpienie punktu krytycznego, gdyż np. efekt NDE pojawia się dość daleko od temperatury krytycznej<sup>†</sup>.

---

<sup>†</sup> Np. na podstawie zależności NDE od składu w temperaturze pokojowej dla układu {nitrometan + acetonitryl} sam stwierdziłem rozpad na dwie fazy w temperaturze ok 275 K.

Zjawiskiem nierozzerwalnie związanym z punktem krytycznym jest rozpraszanie światła. Pomiar kąтового rozpraszania wymaga dość skomplikowanej i specjalizowanej aparatury, a jednak należy do częściej wykonywanych w badaniach punktu krytycznego. Sam pomiar jest również skomplikowany i należy uwzględnić wiele czynników zakłócających takich jak rozpraszanie wielokrotne, geometria próbki i.t.d. Przyczyną jest prawdopodobnie spora ilość informacji, jaka może być uzyskana z tych pomiarów (Chang i wsp. 1979). Do najważniejszych należy wzrost długości korelacji i wykładnik nią rządzący. Inną wielkością wykazującą nietypowe zachowanie jest pochłanianie ultradźwięków, który to efekt jest zależny od częstotliwości. Tłumaczone to jest anomalnym zachowaniem się współczynnika ściśliwości i związanymi z tym fluktuacjami gęstości (Jaschul i wsp. 1984).

## VI CZĘŚĆ DOŚWIADCZALNA

### VI.1. WYBÓR UKŁADU. POMIARY WSTĘPNE

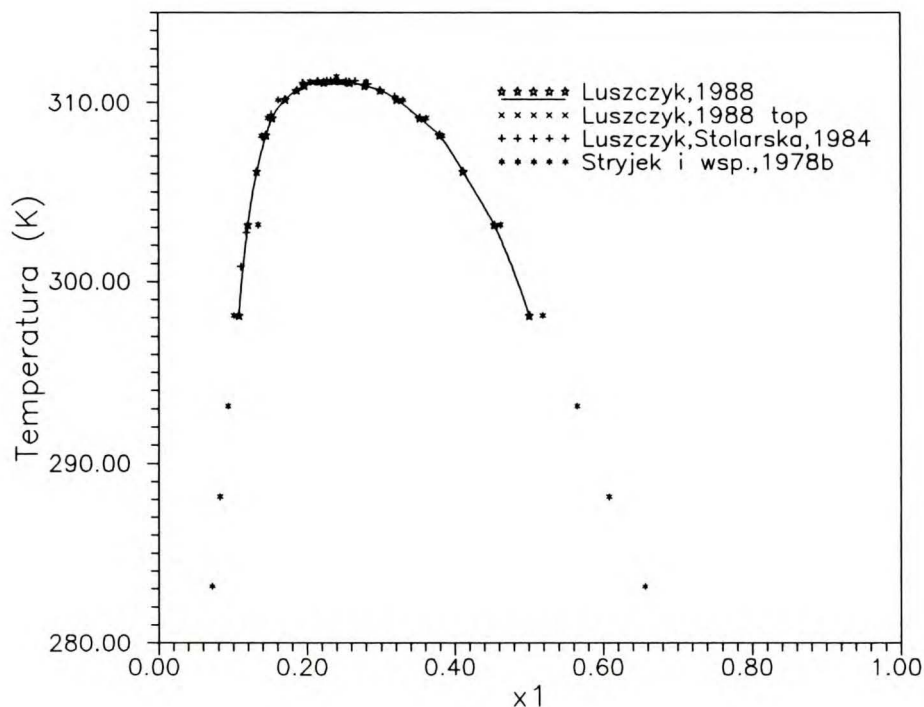
Jako przedmiot badań wybrano układ 3-metoksypropionitryl (3-MOPN) + woda. Temperatura krytyczna mieszania tego układu jest nieco wyższa od pokojowej; oba składniki mają zbliżone gęstości w otoczeniu punktu krytycznego, co redukuje znacznie efekt grawitacyjny; podobne współczynniki załamania światła powodują, że opalescencja krytyczna nie zaburza obserwacji współlistniejących faz, chociaż stwierdzenie występowania powierzchni międzyfazowej jest utrudnione.

Innym czynnikiem predestynującym układ do badań jest łatwa dostępność składników. Woda nie wymaga komentarza, natomiast 3-MOPN może być prosto zsyntetyzowany z łatwo dostępnych składników. Oczyszczanie jego jest również proste. Metoda syntezy i oczyszczania jest opisana w dalszej części rozdziału. 3-MOPN jest związkem mało znanym, tak więc jego budowa, własności i zachowanie się w innych układach są opisane we wstępie rozdziału VIII poświęconego dyskusji wyników pracy.

#### VI.1.1. Krzywa współlistnienia

Krzywa rozpuszczalności tego układu była badana uprzednio (Stryjek i wsp., 1978b; Łuszczuk i Stolarska, 1984) metodą ampułkową. Wyniki przedstawiono na rys. VI-1. Ponadto, przy okazji pomiarów nadmiarowej objętości  $V^E$  (Łuszczuk, 1988) wyznaczono składy równowagowe dla szeregu temperatur (na rys. VI-1. uzyskane składy równowagowe są połączone linią) oraz dokładnie określono temperaturę i skład krytyczny metodą opisaną w rozdziale V-2. Rezultaty, dla porównania tych dwóch metod, podane są również na rys. VI-1. Dane Stryjka i wsp. (1978b) pokrywają większy zakres temperatur, lecz składy równowagowe uzyskane zostały przez interpolację graficzną danych rozpuszczalnościowych. Co prawda istnieje pewna rozbieżność wyników w zakresie niższych temperatur, ale jest to zrozu-

miałe przy stosowaniu różnych metod. Istnieje jednak zupełnie dobra zgodność w zakresie temperatur istotnych z punktu widzenia tej pracy.



Rys. VI-1. Krzywa współistnienia układu {3-MOPN(1) + woda(2)}.

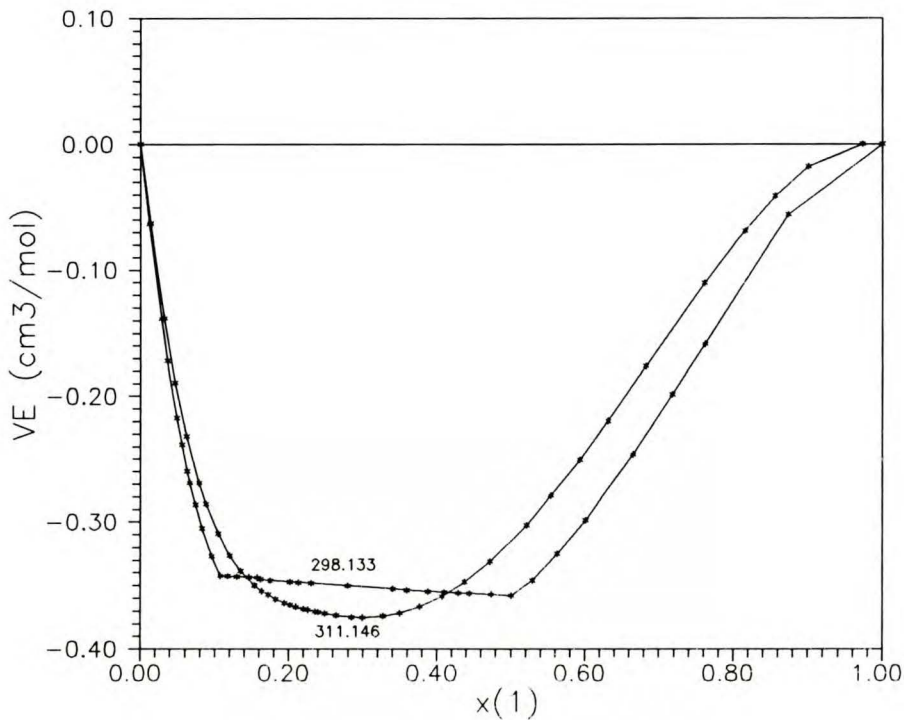
Tablica VI-1.

Składy równowagowe dwóch faz ciekłych układu {3-MOPN(1) + woda(2)} wyznaczone na podstawie pomiarów nadmiarowej objętości mieszania.

T/K	$\epsilon$	faza dolna			faza górna		
		$x_1$	$x_{1\text{obl}}$	$\delta x_1$	$x_1$	$x_{1\text{obl}}$	$\delta x_1$
298.133	0.418E-01	0.1078	0.1046	0.0032	0.5005	0.5034	-0.0029
303.153	0.256E-01	0.1202	0.1225	-0.0023	0.4535	0.4518	0.0017
306.144	0.160E-01	0.1323	0.1349	-0.0026	0.4115	0.4105	0.0010
308.180	0.952E-02	0.1454	0.1470	-0.0016	0.3797	0.3742	0.0055
309.150	0.640E-02	0.1536	0.1556	-0.0020	0.3529	0.3525	0.0004
310.176	0.310E-02	0.1714	0.1702	0.0012	0.3218	0.3228	-0.0010
310.679	0.149E-02	0.1867	0.1833	0.0034	0.2998	0.3018	-0.0020
310.943	0.642E-03	0.1972	0.1959	0.0013	0.2783	0.2851	-0.0068
311.122	0.674E-04	0.2234	0.2181	0.0053	0.2583	0.2603	-0.0020

Krzywą współistnienia uzyskaną w trakcie pomiarów  $V^E$  opisano równaniem V-3 omówionym w rozdz. V.2.1. W tablicy VI-1. zamieszczone są numeryczne wartości tak uzyskanych składów równowagowych, jak i obliczo-

ne z wygładzenia danych. Te ostatnie wykorzystane będą w dalszych korelacjach. Parametr  $\varepsilon$  jest temperaturą zredukowaną ( $\varepsilon = |T - T_c|/T_c$ ), który jest jednocześnie miarą "odległości" od punktu krytycznego. Przypomnieć należy, że najlepsze pomiary metodą ampułkową pozwalają otrzymać wartość tego parametru rzędu  $10^{-6}$ . Ponieważ krzywizna funkcji  $V^E$  zdążyła do 0, wyznaczone składy w bezpośrednim sąsiedztwie temperatury krytycznej są obarczone błędem, dyskutowanym w pracy Łuszczyka (1988). Jednakże błąd ten w skali rysunku jest niewidoczny.



Rys. VI-2. Nadmiarowa objętość mieszania układu {3-MOPN(1) + woda(2)} w temperaturze 298.133 i 311.146 K.

### VI.1.2. Nadmiarowa objętość mieszania

Nadmiarowa objętość mieszania ( $V^E$ ) układu była oznaczona uprzednio metodą dylatometryczną (Łuszczyk i Stryjek, 1978) dla temperatur powyżej temperatury krytycznej. Uzyskane wyniki są obarczone znacznym błędem spowodowanym konstrukcją zastosowanego dylatometru. Pomiary powtórzone w trakcie pracy stosując dylatometr rozcieńczalnikowy Kumarana i McGlashana (1979) oraz metodykę pomiaru opracowaną przez Chylińskiego (1987). Wyniki numeryczne pomiarów zostały opublikowane (Łuszczyk 1988) i nie są

zamieszczone w tej pracy. Na rysunku VI-2. zaprezentowana jest zależność  $V^E$  od składu w temperaturach 298.133 i 311.146 K, to jest znacznie poniżej i 3 mK powyżej temperatury krytycznej mieszalności.

## VI.2. PRZEGLĄD METOD POMIARÓW RÓWNOWAGI CIECZ-PARA

W literaturze opisano szczegółowo wiele metod i aparatów stosowanych do pomiarów prężności pary (Malanowski, 1974; Aim i Hala, 1988). Generalnie podział metod pomiaru równowag cieczeni-pary wynika ze sposobu pracy aparatu i dzieli się na metody dynamiczne i statyczne.

### VI.2.1. Metody dynamiczne

W metodzie dynamicznej następuje obieg fazy parowej i ciekłej w aparacie na skutek wrzenia substancji. Ciśnienie układu jest utrzymywane na stałym poziomie i mierzona jest temperatura wrzenia. Metoda wymaga również oznaczenia przynajmniej składu fazy ciekłej pozostającej w równowadze z parą, jeśli pomiar dotyczy mieszanin. Szczegółowy przegląd tych metod przedstawił Malanowski (1982). Metody tej grupy nie nadają się do pomiaru układów tworzących dwie fazy ciekłe.

### VI.2.2. Metody statyczne

Zasada metody statycznej polega na pomiarze ciśnienia całkowitego nad roztworem w stałej temperaturze. Chociaż zasada jest bardzo prosta, to zasadnicze trudności wynikają z konieczności operowania substancjami całkowicie odgazowanymi. W literaturze opisano wiele sposobów odgazowania, przechowywania i przenoszenia substancji do aparatury. Najbardziej typowym postępowaniem jest odgazowanie substancji poprzez wielokrotne zamrożenie, odpompowanie do próżni i rozmrożenie lub wręcz destylację substancji pod wysoką próżnią. Następnie próbki przemrażane są do ampułek, a przed pomiarem są przenoszone do aparatu również poprzez przemrożenie. Ten sposób postępowania jest względnie prosty w przypadku operowania substancjami łatwo wrzącymi. Trudności rosną w miarę wzrostu temperatury wrzenia i w celu ich ominięcia opracowano kilka metod prze-

noszenia substancji do naczynia równowagowego np. za pomocą systemu biuret (Murray i Martin, 1975) czy też zastosowania specjalnych strzykawk dozujących. Ta ostatnia metoda, opisana w wielu publikacjach przeglądowych (Aim i Hala, 1988), wydaje się szczególnie atrakcyjna ze względu na możliwość uzyskania dużej liczby punktów eksperymentalnych w funkcji składu w jednym cyklu pomiarowym. Z perspektywy czasu wydaje się, że trudności techniczne tej metody są duże gdyż nie obserwuje się w literaturze jej rozwoju. Poniękad potwierdzają to obserwacje poczynione w trakcie tej pracy i opisane niżej.

### VI.3. WYBÓR I OPIS ZASTOSOWANEJ METODY

Jak wiadomo, nie można zbudować uniwersalnej aparatury do pomiarów równowag ciecż-para. O wyborze metody decyduje cel, w jakim wykonuje się pomiary. W niniejszej pracy równowagę ciecż-para zmierzono metodą statyczną. Pomiary tą metodą uznawane są za bardzo dokładne, pod warunkiem, że operuje się substancjami całkowicie odgazowanymi, a temperatura układu jest stabilna i dokładnie zdefiniowana. Dokładność wynika z istnienia prawdziwej równowagi w układzie pozbawionym przepływów mas i ciepła. Ponadto metoda nie wymaga analizy współistniejących faz. Wielkości te są obliczane w trakcie opracowywania danych na podstawie informacji o masach wprowadzonych substancji. W przypadku badanego układu analiza składu którejkolwiek z faz byłaby bardzo trudna (podobne gęstości i współczynniki załamania światła, bardzo trudna analiza chromatograficzna). Podstawową wadą metody statycznej jest jej czasochłonność, lecz znów, ze względu na cel pracy nie był to czynnik istotny.

Celowe wydawało się zbudowanie urządzenia, z dozowaniem ciągłym składników czystych ze specjalnych dozowników, pracującego w warunkach izotermicznych. Niestety, próby wykazały, że nie ma gwarancji absolutnej szczelności aparatury. Wymagane przejścia szkło - metal z przetopami kowarowymi oraz uszczelnienia elastomerami, konieczne ze względu na delikatność aparatury, nie zdały egzaminu. Sprawdzone wiele rodzajów tworzyw "O"-ringów lecz za każdym razem długotrwałe pomiary wykazywały wnikanie par wody (która jest medium termostatującym) do naczynia równowagowego. Być może, inny system pomiaru ciśnienia pozwoliłby na wykonanie aparatury z metalu, co umożliwiłoby zastosowanie dozowania ciągłego.



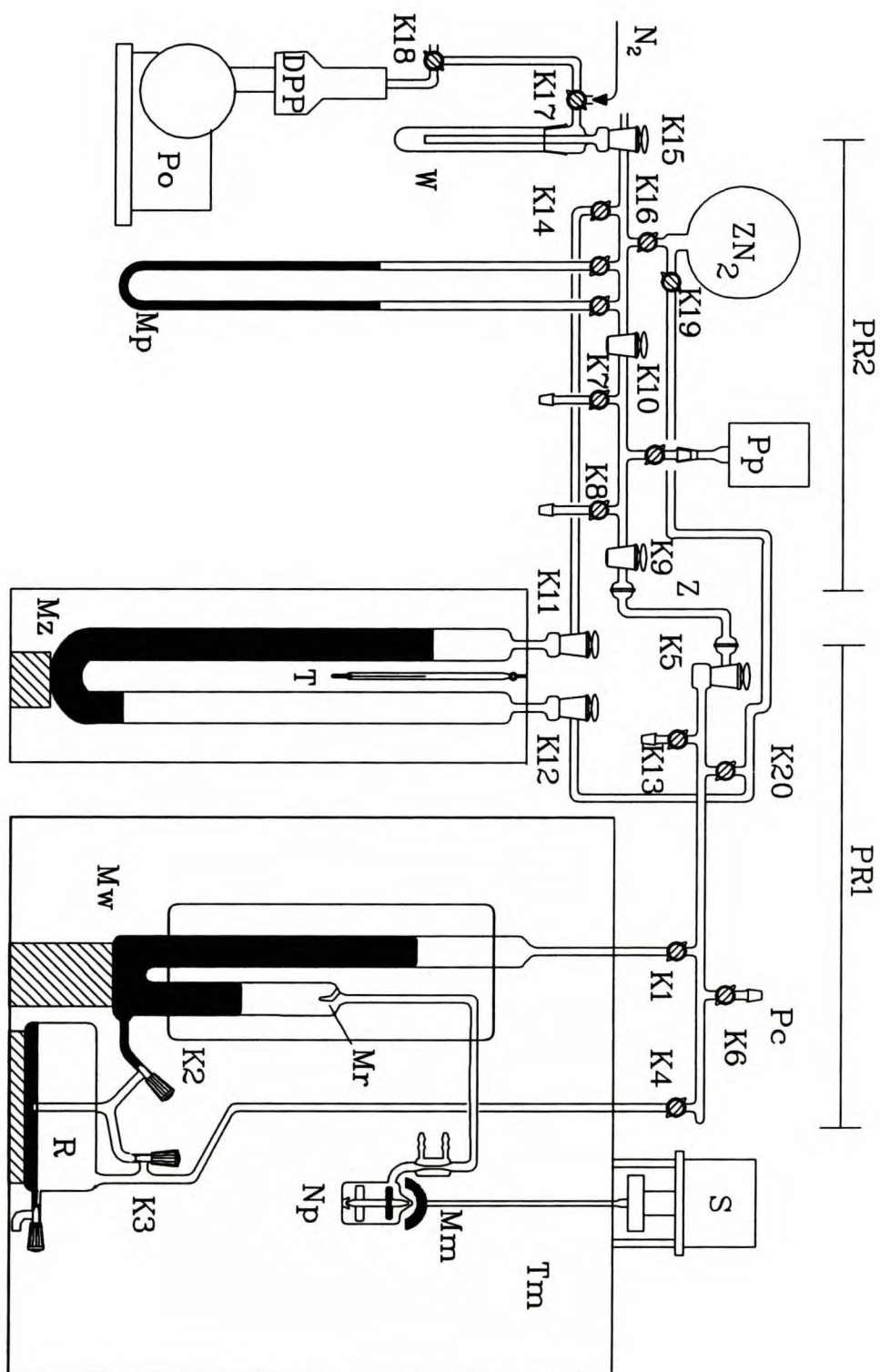
Wobec powyższego zdecydowano się zbudować aparat, wzorując na opisanym w pracy Heady i Cahn'a (1973). Jest to wersja "klasyczna", opisana w literaturze przez wielu autorów. Wprowadzono jednak kilka istotnych ulepszeń, przedstawionych w dalszej części.

#### VI.4. OPIS STANOWISKA BADAWCZEGO

Zestaw do pomiarów prężności par metodą statyczną zbudowany jest z trzech zasadniczych części: termostowanego manometru wewnętrznego z dołączonym naczyniem równowagowym, manometru zewnętrznego oraz linii wysokiej próżni. Schemat układu przedstawiony jest na rysunku VI-3. Poszczególne elementy układu omówione są w/g oznaczeń na rysunku.

**Tm** - TERMOSTAT został szczegółowo opisany w pracy doktorskiej K. Chylińskiego (1987). Tutaj opisane są tylko modyfikacje i usprawnienia. Zbudowany jest on w formie prostopadłościanu ze szkła epoxydowego o wymiarach 350x600x750 mm i pojemności ok. 150 dm<sup>3</sup>. Grubość ścianek wynosi 22 mm. W ścianach przeciwległych o najdłuższym boku wstawione są okna z szyb płasko-równoległych, o grubości 6 mm, o wymiarach 150x400 mm. Ściany termostatu pokryto dodatkowo sklejką o grubości 20 mm w celu podwyższenia stabilności temperatury. Termostat umieszczony jest na podnośniku umożliwiającym opuszczanie zbiornika przy nieruchomej pokrywie, do której umocowana jest również cała aparatura. Jako układ wymuszający obieg cieczy termostatującej zastosowano cztery turbiny, zamocowane do pokrywy, umieszczone w narożach. Prędkości obrotowe turbin są parami różne dla uzyskania przepływu wody termostatującej zarazem turbulenty i laminarny co zapewnia maksymalną stabilność temperatury. Naroża dna zaokrąglono kształtkami z blachy aby zapewnić łatwiejszą cyrkulację wody. Termostat wyposażony jest w grzałkę o mocy 1400 W, oraz w chłodnicę wodną. W przeciwległym końcu (od strony wolniejszych turbin) umieszczona jest czujka regulatora temperatury (UNIPAN typ 650), przy pomocy którego jest kontrolowana temperatura.

Wnętrze termostatu oświetlone jest przez tylną szybę lampą jarzeniową o mocy 2x8 W z matowym kloszem. Położenie lampy jest regulowane w sposób płynny.



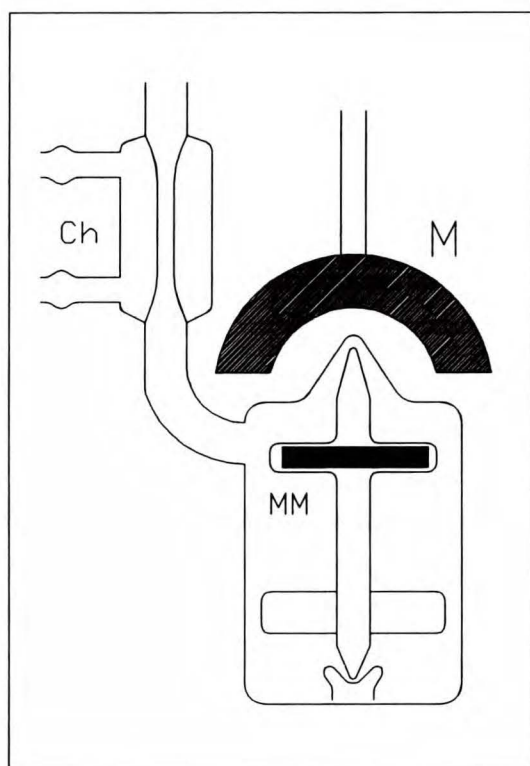
Rys.VI-3. Schemat aparatury. Objasnienia oznaczeń w tekście.

**Mw** - MANOMETR WEWNĘTRZNY zbudowany jest z kalibrowanych rur ze szkła pyreksowego o precyzyjnej średnicy wewnętrznej 22 mm. Ramię od strony na-

czynia pomiarowego **Np** jest krótsze w celu zmniejszenia objętości fazy parowej. W miejscu zwężenia umieszczony jest znacznik wewnętrzny **Mr** wyznaczający część kalibrowaną i niekalibrowaną. Objętość niekalibrowana jest wyznaczana każdorazowo po zmianie naczynia równowagowego, natomiast kalibrowana - z geometrii manometru. Dłuższe ramię manometru dołączone jest do kanału próżniowego **PR1** poprzez kran **K1**. Dolna część manometru podłączona jest do rezerwuaru rtęci **R** o pojemności ok. 300 cm<sup>3</sup>. Rezerwu- ar jest odcinany od manometru poprzez kran **K2**, natomiast odpowietrzanie i zapowietrzanie rezerwuaru zapewniają krany **K3** i **K4** łączące go z kanałem próżniowym. Kran **K2** zabezpiecza przed cofaniem się rtęci do re- zerwuaru pod wpływem ciśnienia panującego w układzie. Ma to szczególnie znaczenie przy pomiarach ciśnień zbliżonych do atmosferycznego. Oba ra- miona manometru wyposażone są w maski (nie przedstawione na rysunku) w postaci metalowych, cienkościennych i poczernionych walców miedzianych o długości ok. 100 mm ze szczelinami w części centralnej o szerokości 1 mm, przesuwane wzdłuż osi manometru i sterowane z zewnątrz. Umożliwiają one uzyskanie ostrego obrazu granicy powierzchni rtęci i zapobiegają re- fleksom świetlnym.

**PR1** - LINIA PRÓŻNIOWA części ruchomej aparatury wyposażona jest w wejś- cie do podłączenia pomiaru próżni **Pc**, złącza manometru zewnętrznego, za- silania gazowym azotem (**K20**) oraz urządzenia do tłuczenia ampułek (**K13**). Podłączenie do głównej linii próżniowej, odcinane kranem **K5**, poprzez złącze **Z** ze szlifami kulistymi pozwala na wyjęcie aparatu wraz z manome- trem (**Mw**) i rezerwuarem (**R**) z termostatu i zastąpienie go w razie po- trzeby innym urządzeniem pomiarowym.

**PR2** - GŁÓWNA LINIA PRÓŻNIOWA wykonana jest ze szklanej rury pyreksowej o średnicy ok. 15 mm, do której dołączone są, poprzez wymrażarkę **W**: dyfu- zyjna pompa próżniowa **DPP** oraz pompa olejowa **Po**; wejście do zasilania układu suchym azotem **N2**; manometr pomocniczy **Mp** o długości ok 600 mm (służący do kontroli napełniania zbiornika azotu **ZN2**); wyjście próżniowe jednego z ramion manometru zewnętrznego zamykana kranem **K16**; dwa wypro- wadzenia zamykane kranami **K7** i **K8**, zakończone szlifami. Dołączone są one do części kanału ograniczonej z obu stron kranami **K9** i **K10**; część ta jest wyposażona w wyjście do pomiaru próżni **Pp** i służy do odgazowania substancji czystych i przygotowania ampułek.

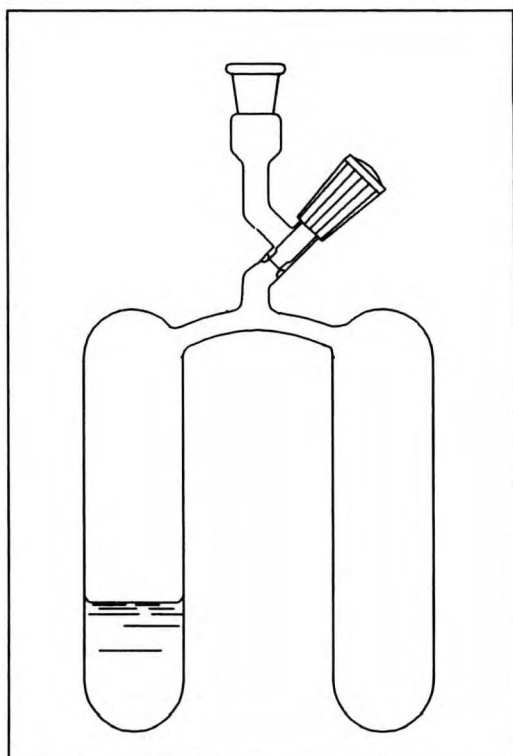


Rys.VI-4. Budowa naczynia pomiarowego (**Np**).

**Np** - NACZYNIĘ POMIAROWE przedstawione jest na rysunku VI-4. Zbudowane jest w kształcie walca ze szkła pyreksowego o wymiarach orientacyjnych 55 x 70 mm. Wewnątrz wbudowane jest mieszadło szklane **MM** z zatopionym rdzeniem magnetycznym w górnej jego części. Mieszanie fazy ciekłej i parowej wymuszane jest zewnętrznym magnesem **M** poruszonym silnikiem elektrycznym z regulowaną prędkością obrotową. Przy odpowiedniej intensywności mieszania uzyskiwane jest bardzo szybkie (ok. 15 min.) dojście do stanu równowagi fazowej, nawet jeśli były obecne dwie fazy ciekłe. Połączenie naczynia z manometrem **Mw** o średnicy wewn. 10 mm wyposażono w małą chłodniczkę wodną **Ch**, zasilaną z zewnątrz, do zabezpieczenia przed destylacją substancji z naczynia na powierzchnię rtęci. Jest to szczególnie ważne w trakcie zmiany temperatury w termostacie, w czasie którego występują różnice temperatur. W czasie pomiaru chłodnica jest odłączona.

**Mz** - MANOMETR ZEWNĘTRZNY zbudowany jest, podobnie jak manometr wewnętrzny, z kalibrowanych rur ze szkła pyreksowego o średnicy wewnętrznej 22 mm. Oba ramiona o długości roboczej >500 mm zakończone są kranami

próżniowymi, z których K11 podłączony jest do głównego kanału próżniowego, a K12 do układu zasilania azotem. Cały manometr zamontowany jest w obudowie tekstolitowej z przezroczystymi ściankami. Obudowa umieszczona jest na trójkątnym stoliku z poziomnicą i regulowanymi nóżkami. Ramiona manometru wyposażone są również w opisane wcześniej maski ułatwiające pomiar poziomu rtęci. Wewnątrz obudowy znajduje się termometr rtęciowy T o dokładności 0.1 K pozwalający mierzyć aktualną temperaturę. Manometr oświetlony jest od tyłu za pomocą 8 W świetlówek z matowym kloszem. Nie powoduje to zbędnego ogrzewania manometru.



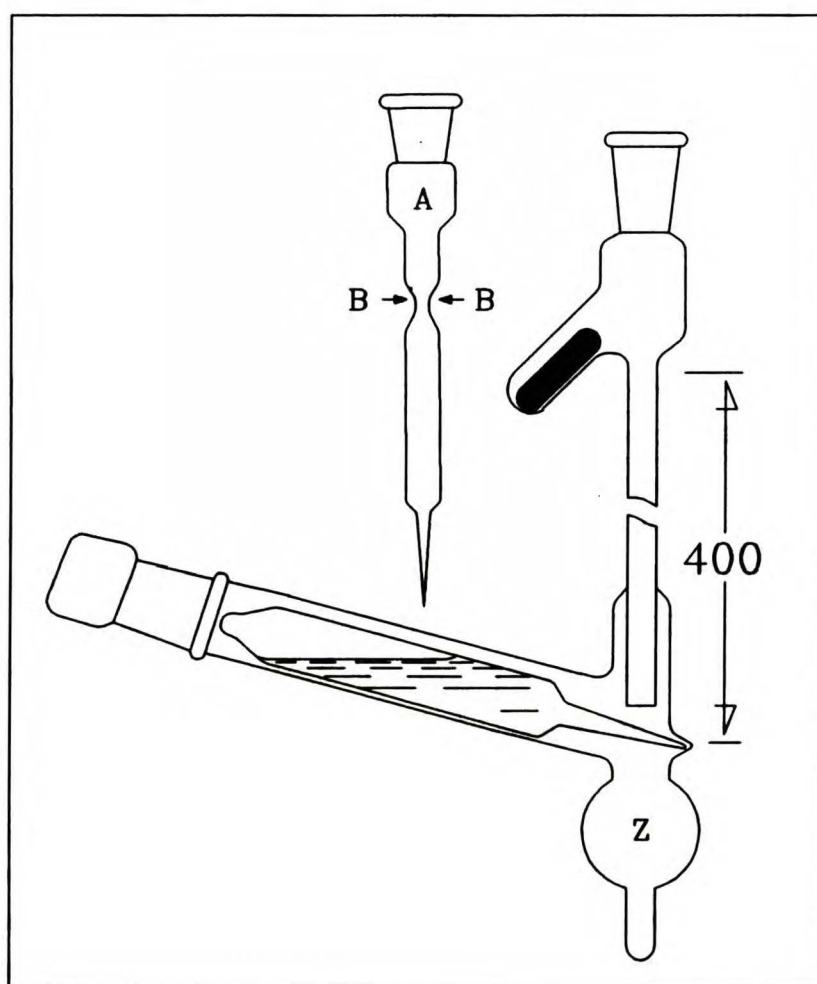
Rys.VI-5. Przyrząd do odgazowywania składników mieszaniny.

Wspomniany system zasilania azotem jest uruchamiany, jeśli w naczyniu równowagowym panuje ciśnienie większe niż 50 kPa (350 mmHg). Dopływ azotu ze zbiornika ZN2 poprzez krany K19 i K6 (przy zamkniętym kranie K5 i otwartym K1 i K12) powoduje rozkład ciśnienia na oba manometry. Zwiększa to zakres pomiarowy układu do ok. 100 kPa.

Ponadto, w przygotowaniu próbek i w czasie pomiaru stosowane są:

- urządzenie do odgazowywania składające się z dwóch zbiorników o pojemności ok. 150 cm<sup>3</sup> każdy, połączone ze sobą rurką, do której dołączony jest kran zakończony szlifem (rys.VI-5);

- urządzenie do tłuczenia ampulek (rys.VI-6.) ze szkła pyreksowego (długości ok. 400 mm) skonstruowane w ten sposób, aby uniemożliwić cofanie się ampułki w trakcie tłuczenia. Tłuczkiem jest rdzeń magnetyczny pokryty teflonem. Przed tłuczeniem koniec ampułki (jej wygląd również przedstawia rys.IV-6.) jest nacinany aby ułatwić stłuczenie. Zrezygnowano z ampulek opisanych w literaturze (Malanowski 1974, Wieczorek 1976) ze względu na ich pracochłonność. System ten został sprawdzony wielokrotnie w niezależnych pomiarach. Podobny sposób wprowadzania substancji był stosowany przez Diaz Penę i McGlashana (1959) w pracy o pomiarach ściśliwości.



Rys.VI-6. Przyrząd do tłuczenia ampulek oraz wygląd ampułki. A - ampułka przed wprowadzeniem próbki; B-B miejsce zatapiaania próbki.

Do pomiaru wymaganych wysokości stosowany był katetometr produkcji ZSRR typu KM-8 o długości roboczej 500 mm i rozdzielczości 0.01 mm z możliwością oszacowania odczytu do 0.005 mm. Katetometr ustawiony jest na niezależnym stoliku i umożliwiał odczyt dwóch manometrów przez obrót w osi pionowej bez konieczności ustawiania poziomej podstawy.

Pomiar próżni określany był przy pomocy próżniomierza McLeoda, który umożliwiał oznaczenie próżni statycznej rzędu  $10^{-5}$  mmHg co odpowiada  $10^{-2}$  Pa. Konstrukcja systemu próżniowego pozwalała mierzyć próżnię w kilku punktach aparatury, w miejscu aktualnie wykorzystywanym (patrz rys. VI-3.).

#### VI.4.1. Metodyka pomiaru

Pomiar prężności pary w prezentowanym aparacie składa się z kilku etapów i czynności przygotowawczych.

1. Należy przygotować pewną ilość próbek czystych, odgazowanych składników w dużych i małych ampułkach. Pierwsze stosowane są do określenia prężności pary czystych składników i jako ilość wyjściowa do dalszych pomiarów dla mieszanin. Małe natomiast - do tworzenia mieszanin w naczyniu równowagowym.
2. Naczynie równowagowe po skończonej serii pomiarów jest odcinane do mycia i dlatego przed rozpoczęciem następnych pomiarów należy określić ponownie jego objętość całkowitą tzn. obejmującą przestrzeń do znacznika kalibrowanej części manometru wewnętrznego ( $M_r$ ). Objętość tę określano stosując równanie stanu gazu doskonałego. Do odpompowanego naczynia równowagowego, przy opuszczonej rtęci w manometrze wewnętrznym, wprowadzano suchy azot do ciśnienia około 30 kPa i zamykano rtęcią. Po ustaleniu temperatury mierzono ciśnienie panujące w układzie. Następnie podnoszono ciśnienie w układzie dołączając manometr zewnętrzny. Podniesienie ciśnienia powodowało zmniejszenie objętości zajmowanej przez azot. Ponownie układ termostatowano i określano panujące ciśnienie. Z danych tych obliczano objętość całkowitą naczynia w/g wzoru:

$$V_0 = (p_2 V_2 - p_1 V_1) / (p_2 - p_1)$$

VI-1

gdzie objętości  $V_1$  i  $V_2$  obliczone są z geometrii manometru. Taki sposób pozwala określić objętość  $V_0$  z dokładnością  $0.2 \text{ cm}^3$ .

3. Wprowadzenie próbki wyjściowej do układu przebiega następująco: odpompowujemy naczynie pomiarowe i rtęć w rezerwuarze przy otwartych kranach **K1**, **K2**, **K3** i **K4**. Po około 2-3 godzinach pompowania krany te zamyka się i zapowietrza część **PR1** kanału próżniowego (przy zamkniętym **K5** i przez **K6**) i poprzez kran **K4** i **K2** podnosi się rtęć do poziomu takiego, aby uzyskać niewielki prześwit pomiędzy ramionami manometru. Następnie zamykamy kran **K2**, zrównuje się ciśnienie w rezerwuarze z ciśnieniem zewnętrznym i zamyka się kran **K4**. Dołączamy do wejścia **K13** przyrząd do tłuczenia ampulek z umieszczoną wewnątrz ampulką. Ponownie odciągamy próżnię poprzez **K5** i pompujemy tak długo (ok. 2 godz.), aż uzyskamy stabilną próżnię rzędu  $7 \cdot 10^{-2} - 7 \cdot 10^{-3} \text{ Pa}$ . Czas ten jest potrzebny do usunięcia powietrza z mieszkadła teflonowego, które służy jako tłuczek. Pod naczynie pomiarowe podstawiamy naczynie Dewara z ciekłym azotem. Zamykamy kran **K5** odcinając układ od pompy i tłuczemy ampulkę. Otwieramy kran manometru **K1** i rozpoczyna się proces destylowania substancji do naczynia. Proces ten można przyspieszyć ogrzewając zbiornik **Z** przyrządu do tłuczenia ampulek (rys. VI-6) np. ciepłą wodą. Po wdestylowaniu całej substancji zamykamy kran **K1** a otwieramy delikatnie kran **K2** podnosząc rtęć w manometrze do odpowiedniego poziomu. W ten sposób substancja została zamknięta rtęcią w naczyniu równowagowym. Teraz odpompowujemy rezerwuar i po usunięciu ciekłego azotu pozwalamy ogrzać się naczyniu do temperatury pokojowej. Podnosimy zbiornik termostatu i stanowisko gotowe jest do pomiarów.

W przypadku, gdy w naczyniu równowagowym znajduje się już substancja, postępowanie jest podobne, z tym, że po opuszczeniu termostatu najpierw wymraża się substancje w naczyniu pomiarowym dla zrównania się ciśnień w lewym i prawym ramieniu manometru. Następnie odpompowujemy rezerwuar poprzez krany **K4** i **K3**, a następnie powoli, poprzez kran **K2** opuszczamy rtęć w manometrze do takiego poziomu, aby uzyskać spory prześwit między obydwoma ramionami manometru. Kran **K1** jest cały czas zamknięty. Dalsze postępowanie jest już analogiczne z opisanym dla subs-



tancji czystej.

Pomiary są prowadzone dla każdego składu w funkcji temperatury. Po dojściu temperatury do żądanej, wyłącza się mieszanie w naczyniu pomiarowym i po odczekaniu 30 - 45 min. na ustalenie się równowagi termodynamicznej, odczytuje poziomy menisków rtęci w manometrze, poziom znacznika części kalibrowanej oraz poziom cieczy w naczyniu. Wykonuje się jeszcze dwa takie pomiary w odstępach półgodzinnych i zmienia temperaturę układu. Stosunkowo długi okres pomiędzy pomiarami daje pewność uzyskania stanu równowagi. Testy 12-to i 24-ro godzinne nie dawały zmian różnic poziomów menisków rtęci w manometrze.

Na serię pomiarową składają się:

- Wdestylowanie do naczynia pomiarowego znanej masy (ok. 16 ml objętości) czystego składnika i wykonanie pomiaru prężności pary w przewidywanym zakresie temperatur.
- Kolejne dodestylowanie niewielkich, znanych ilości (rzędu 2-5 ml) czystego drugiego składnika i wykonanie pomiarów w funkcji temperatury dla każdego składu; dodestylowanie prowadzi się do momentu przekroczenie objętości substancji dwukrotnie większej niż objętość uprzednio wprowadzonej substancji czystej.
- Odciecie naczynia równowagowego od aparatury na odcinku pomiędzy manometrem a chłodnicą. Naczynie było myte w kwasie azotowym, chromiance, a po wielokrotnym wypłukaniu wodą, płukane acetonem cz.d.a. i suszone strumieniem gazu. Ponieważ czyszczenie naczynia jest długotrwałe, posługiwano się dwoma bliźniaczymi egzemplarzami.
- Opróżnienie aparatu z rtęci i wymiana jej na czystą; oczyszczanie rtęci podane jest niżej.

Przyspawanie czystego naczynia i napełnienie rezerwuaru czystą rtęcią czyni aparat gotowy do następnej serii pomiarowej.

#### VI.4.2. Algorytm obliczania prężności pary z danych pomiarowych

Typowy pomiar prężności pary polega na zmierzeniu przy pomocy katetometru różnicy wysokości menisków rtęci w manometrze wewnętrznym (lub w obu manometrach - jeśli manometr zewnętrzny jest stosowany), poziom znacznika kalibrowanej części manometru wewnętrznego oraz poziom cieczy

w naczyniu równowagowym. W przypadku stosowania manometru zewnętrznego należy odczytać aktualną temperaturę w termostacie powietrznym. Podane wielkości plus temperatura w termostacie właściwym pozwalają na obliczenie równowagi ciecz-para panującej w układzie.

Ponieważ znana jest całkowita objętość  $V_0$  naczynia równowagowego (patrz pkt VI-4.1.) objętość fazy parowej obliczamy przez odjęcie od niej objętości fazy ciekłej  $V_1$  w temperaturze pomiaru obliczanej w/g wzoru:

$$V_1 = \sum m_i / \rho_i(T) \quad \text{VI-2}$$

gdzie  $m_i$  jest aktualną masą składnika  $i$  w naczyniu, a  $\rho_i(T)$  - jego gęstością wyrażoną w postaci równania  $\rho_i = a_i + b_i T$ . Wpływ objętości nadmiarowej jest pomijalny ze względu na to, że stanowi przeważnie mniej niż 10 % objętości molowej mieszaniny, a ponad to pracujemy z ułamekami moli. Objętość mieszania jest więc mniejsza niż błąd określenia objętości naczynia. Do uzyskanej wartości należy dodać objętość ramienia manometru ponad rtęcią, którą oblicza się jako objętość walca.

Ciśnienie panujące nad roztworem jest wynikiem sumowania się poszczególnych udziałów ciśnień przedstawionych na rys.VI-7.

$$p = p_1 + p_2 + p_4 - p_3 - p_5 \quad \text{VI-3}$$

gdzie:

$$p_1 = \frac{h_1 \rho_1 g}{\rho_{\text{Hg}273} g_0} \quad \text{VI-4}$$

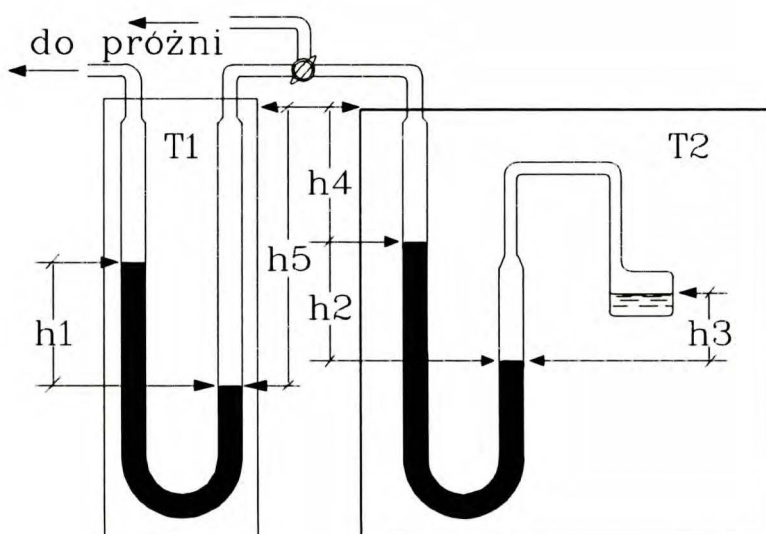
$h_1$  jest wysokością słupa medium wywierającego ciśnienie;  $\rho_1$  jest jego gęstością w temperaturze  $T_1$  lub  $T_2$ ,  $\rho_{\text{Hg}273}$  gęstością rtęci w 273 K,  $g$  jest lokalnym, a  $g_0$  - średnim przyspieszeniem ziemskim równym odpowiednio 9.802 i 9.81  $\text{m sec}^{-2}$ . Gęstość rtęci w funkcji temperatury przedstawia wzór:

$$\rho_{\text{Hg}} = \frac{1}{(1 + 0.0001818 \cdot t) 0.07355597} \quad \text{VI-5}$$

który jest modyfikacją wzoru podanego przez Beattie i wsp. (1941) dla objętości rtęci w funkcji temperatury.

Znaczenie poszczególnych udziałów jest następujące:

- $p_1$  - ciśnienie słupa rtęci w manometrze zewnętrznym w temperaturze  $T_1$  jeśli stosowany jest manometr zewnętrzny;
- $p_2$  - ciśnienie słupa rtęci w manometrze wewnętrznym w temperaturze  $T_2$ ;
- $p_3$  - ciśnienie wywierane przez słup pary mieszaniny znajdującej się w naczyniu równowagowym;
- $p_4$  - ciśnienie słupa azotu pod ciśnieniem  $p_1$  i w temperaturze  $T_1$  jeśli stosowany jest manometr zewnętrzny;
- $p_5$  - ciśnienie słupa azotu pod ciśnieniem  $p_1$  i w temperaturze  $T_2$  jeśli stosowany jest manometr zewnętrzny.



Rys.VI-7. Rozkład ciśnień w układzie pomiarowym.

Następnie, w procesie iteracyjnym oblicza się skład fazy parowej stosując wzór na ciśnienie całkowite nad roztworem i wzór na współczynnik lotności fazy parowej. Niedoskonałość fazy parowej jest zawsze uwzględniana, a współczynniki wirialne estymowane są metodą Tsonopulosa (1974) lub O'Connella i Prausnitza (1967) w zależności od badanego układu.

Osobnego omówienia wymaga sposób obliczania współczynników aktywności składników w fazie ciekłej. Ponieważ wyznacza się je tylko z jednego punktu można zastosować jednoparametrowy model na nadmiarową energię Gibbsa ( $G^E$ ). W algorytmie zastosowano dwa modele: roztworów regular-

nych (omówiony wcześniej) oraz procedurę zaproponowaną przez Bruina i Prausnitza (1971) zastosowaną do równania NRTL, która wymaga dobierania tylko jednego parametru energetycznego. Zgodnie z tą procedurą rezydualna energia Gibbsa  $g_{11}$  jest proporcjonalna do entalpii parowania  $E_1$

$$g_{11} = -\beta E_1 \quad \text{VI-6}$$

Entalpię parowania oblicza się z równania Clausiusa-Clapeyrona:

$$E_1 = -z_1^s RT \left( 1 - T \frac{d \ln P^s}{dT} \right) \quad \text{VI-7}$$

Parametr ściśliwości  $z_1^s$  oblicza się z wirialnego równania stanu (Prausnitz i wsp., 1967).

$$z_1^s = \frac{1}{2} + \sqrt{\frac{1}{4} + \frac{B_{11} P^s}{RT}} \quad \text{VI-8}$$

Pochodną logarytmu ciśnienia po temperaturze można obliczyć z równania wyrażającego jego zależność od temperatury, jak np. Antoine'a. Współczynnik proporcjonalności  $\beta$ , dobrany empirycznie metodą prób i błędów, posiada wartość ok. 0.2.

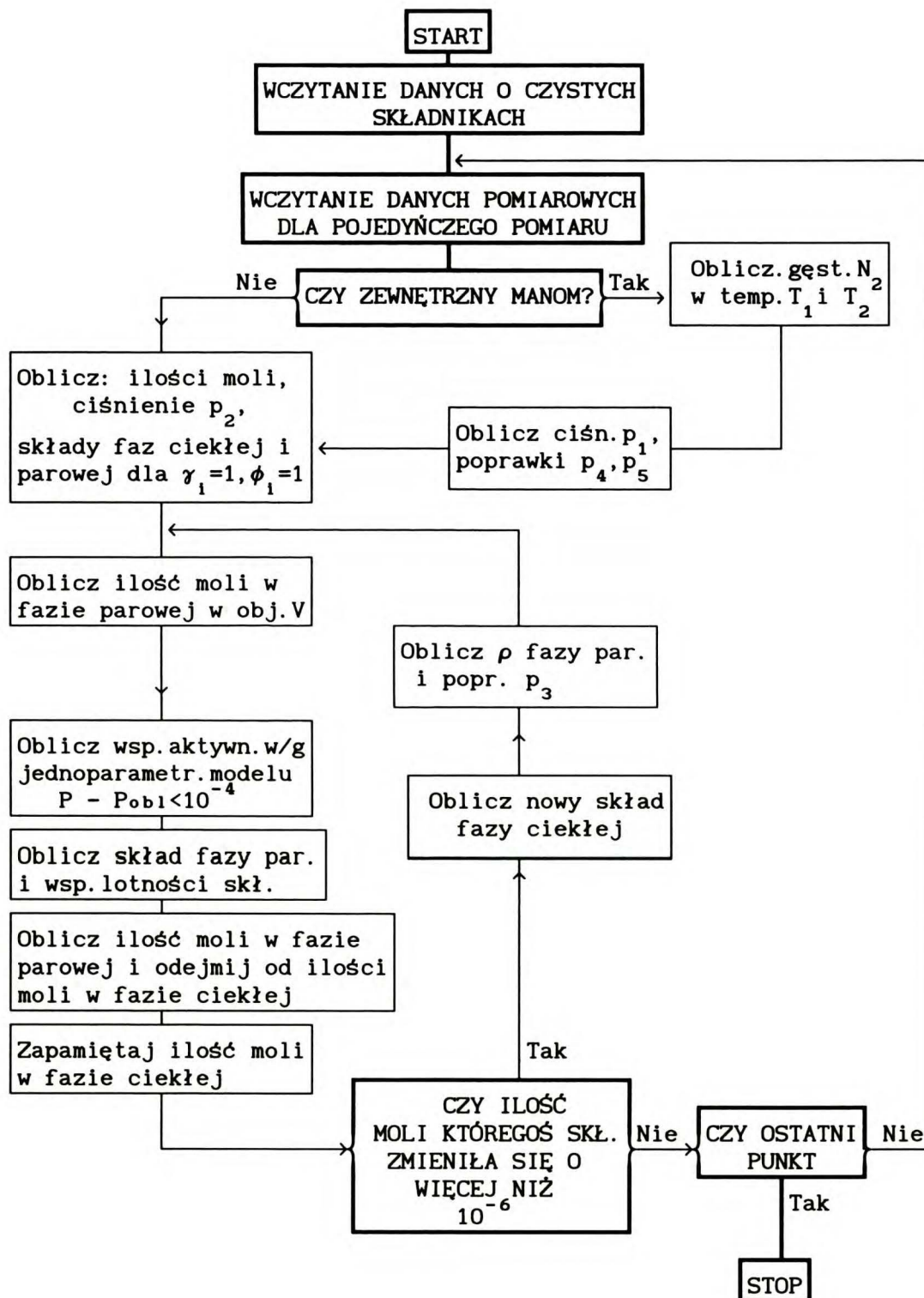
Kolejnym etapem jest obliczenie poprawek związanych z wywieraniem ciśnienia przez słup fazy parowej z jednej strony oraz, ewentualnie w przypadku stosowania manometru zewnętrznego, słupa azotu z drugiej. Poprawki te są przedstawione schematycznie na rysunku VI-7.

Ponieważ zarówno w przypadku pomiarów za pomocą jednego manometru, jak i dwóch - jedno z ramion dołączone jest do próżni nie gorszej niż 0.7 Pa. Tak więc nie jest konieczne uwzględnianie poprawki na prężność pary rtęci, która i tak jest stosunkowo mała i dla temperatury 353 K wynosi ok. 1 Pa (Brombacher i wsp., 1960).

Ostatnim etapem każdej iteracji jest znormalizowanie obliczonego ciśnienia, wyrażonego w milimetrach słupa rtęci, do warunków normalnych tzn. 273 K poprzez pomnożenie przez stosunek gęstości rtęci w warunkach pomiaru do gęstości w temperaturze 273 K. Oczywiście, dla pomiarów dwoma manometrami, część słupa rtęci przypadająca na manometr zewnętrzny redukowano względem temperatury w termostacie powietrznym.

Obliczony współczynnik aktywności składników jest modyfikowany w

każdej iteracji. Gdy liczba moli każdego ze składników w fazie ciekłej nie zmienia się więcej niż o  $10^{-6}$  uznaje się, że dystrybucja składników, a zatem i składy faz zostały ustalone.



Rys.VI-8. Schemat obliczeń składu fazy ciekłej z danych doświadczalnych.

Wszystkie obliczenia pomiarów w tej pracy były wykonane w/g opisane-  
nego algorytmu opracowanym programem EXPVLE2.

## VI.5. POMIARY TESTOWE

Nowozbudowany przyrząd wymaga wszechstronnego przetestowania. Należy wybrać taki układ, aby wykazał on wszelkie słabe strony aparatu (w celu ich ewentualnego usunięcia), zweryfikował projektowany zakres pomiarowy oraz pozwolił ustalić metodykę pomiaru.

### VI.5.1. Wybór układu testowego

Istnieje bogata literatura na temat pomiarów równowag ciecż-para omawiająca różnego typu przyrządy, metody pomiarów sposoby obliczeń i korelacji i.t.d. Brak natomiast informacji na temat zalecanych sposobów weryfikacji czy testowania budowanych urządzeń, badania ich dokładności i precyzji. O ile dla pomiarów np. objętości mieszania czy entalpii mieszania są zalecane przez IUPAC układy do testowania, w pomiarach równowag ciecż-para istnieje zupełna dowolność w wyborze takiego układu. Oczywiście wybór układu testującego w głównej mierze zależy od przewidywanego zakresu ciśnień i temperatur, zastosowanych materiałów i.t.p. Nie mniej, istnieje konieczność wyboru takiego układu lub układów, aby można było porównać uzyskane wyniki z wynikami innych autorów. Taką pracą, która w pewnej mierze wypełnia tę lukę jest seria artykułów Smitha i współpracowników (Smith et al, 1982a,b) na temat układu {benzen(1) + cykloheksan(2)}. Istnieje kilkadziesiąt prac podających rezultaty pomiarów równowag ciecż-para dla tego układu, wykonanych różnymi metodami, lecz autorzy wybrali tylko kilka jako naprawdę godnych uwagi. W tej pracy właśnie ten układ został użyty do testowania aparatu z następujących powodów:

- łatwa dostępność składników,
- względnie duża liczba opublikowanych danych innych autorów,
- odpowiedni zakres prężności par, pokrywający przewidywany zakres pomiarowy,
- silnej wrażliwości na zawodnienie.

Ostatni punkt jest szczególnie ważny ze względu na to, że jako medium

termostatującą używana jest woda. Układ jest w stanie wykazać ewentualne nieszczelności układu. Było to szczególnie widoczne w czasie prób skonstruowania systemu ciągłego dozowania składników.

### VI.5.2. Przygotowanie pomiarów testowych

Oba składniki układu testowego zostały użyte bez specjalnego oczyszczania. Zarówno benzen (POCH, cz.d.a.) jak i cykloheksan (Chemipan, standard chromatograficzny) zostały przedestylowane pod normalnym ciśnieniem do jednego ze zbiorników naczynia do odgazowania (rys.VI-5.), które podłączone zostało do kanału próżniowego. Procedura odgazowania polegała na wielokrotnym (10 - 15 razy) odciąganiu próżni z nadgrzewanej w jednym ramieniu zbiornika substancji; jednocześnie destylowała ona do drugiego ramienia. Już dziesięciokrotne powtórzenie tej operacji dawało substancję wolną od rozpuszczonego powietrza, co zostało stwierdzone pomiarami prężności pary w temperaturze 298 K. Dla pewności operację powtórzono jeszcze kilkakrotnie w obu przypadkach.

Następnie do aparatury podłączano (do wejścia K7 lub K8), zważone z dokładnością 0.1 mg, ampułki (A, rys.VI-6.), które odpompowywano na gorąco przez co najmniej godzinę, po czym, przy zamkniętych kranach do próżni i innych części układu, wdestylowano substancję do ampułki ze zbiornika podłączonego do drugiego wejścia, wymrażając ją ciekłym azotem. Po odcięciu palnikiem, ogrzaniu do temperatury pokojowej i umyciu szlifem ampułki ponownie ważono określając masę substancji. Szacowany błąd tej metody przygotowywania próbek wynosi  $\cong 1$  mg co stanowi poniżej 0.1 % masy próbki.

W ten sposób przygotowano, dla każdego ze składników, po 3 ampułki wyjściowe o pojemności ok. 16 ml, oraz 18 - 20 ampulek o pojemności ok. 5 ml. Masy substancji zawierały się: dla dużych ampulek do 12 g, dla małych zaś nie mniej niż 0.5 g.

### VI.5.3. Wyniki testowania przyrządu

Pomiary testowe przeprowadzono zgodnie z procedurą opisaną w rozdziale IV-4.1. Część ampulek została zużyta na pomiary wstępne i ustala-

nie procedury postępowania. W rezultacie przeprowadzono pomiary w całym, założonym (tzn. od 293 do 343 K) zakresie temperatur dla czystego benzenu i cykloheksanu oraz 13 składów syntetycznych. Wykonano pomiary w 11 temperaturach co 5 K po trzy pomiary w każdej temperaturze. Obliczenia prężności par substancji czystych i ich mieszanin z odczytów pomiarowych wykonano w/g algorytmu podanego w rozdziale VI-4.2. Jako model fazy ciekłej zastosowano jednoparametrowy model roztworów regularnych. Założono niedoskonałość fazy parowej. Współczynniki wirialne obliczono metodą Tsoupolosa (1977). Wartości stałych i wielkości termodynamicznych koniecznych do tych obliczeń zestawiono w tabeli VI-2.

Gęstość czystych składników obliczana była ze wzoru:

$$\rho_1 = a_1 + b_1 \cdot (T - 273.15) + c_1 (T - 273.15)^2 \quad \text{VI-9}$$

Prężności pary czystych składników obliczne były równaniem Antoine'a w wersji SI:

$$\ln P_1 = A_1 - B_1 / (T - C_1) \quad \text{VI-10a}$$

lub oryginalnej:

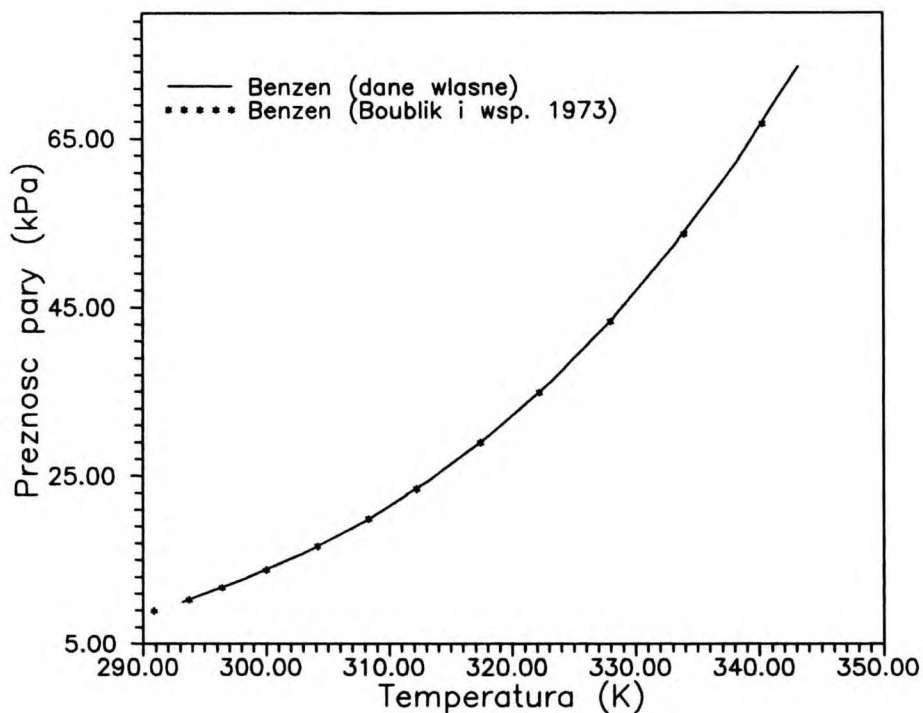
$$\log P_1 = A_1 - B_1 / (C_1 + t) \quad \text{VI-10b}$$

Tablica VI-2.

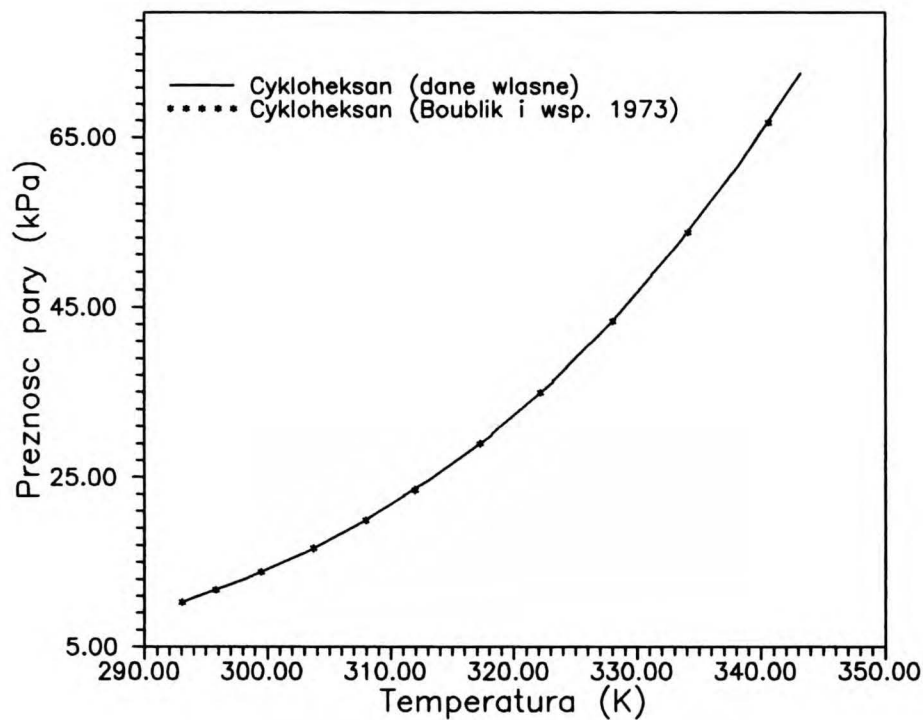
Wartości stałych termodynamicznych i współczynniki równań opisujących wielkości termodynamiczne dla benzenu i cykloheksanu.

Wielkość	Benzen	Cykloheksan
Masa cząsteczkowa	78.108	84.156
Temperatura wrzenia	80.103 [°C]	80.738 [°C]
Temperatura krytyczna	562.0 [K]	554.1 [K]
Ciśnienie krytyczne	48.6 [atm]	40.6 [atm]
Objętość krytyczna	260.0 [cm <sup>3</sup> ]	309.6 [cm <sup>3</sup> ]
Współczynnik acentryczny	0.211	0.208
Współcz. acentr. homom.	0.208	0.208
Moment dipolowy	0.0 [D]	0.0 [D]
Stałe równania na gęstość fazy ciekłej		
a	0.90277	0.7974
b	-1.0011 · 10 <sup>-3</sup>	-9.413 · 10 <sup>-4</sup>
c	0.	0.
Stałe równania Antoine'a		
A	6.905660	6.844980
B	1211.033	1203.526
C	220.790	222.863





Rys.VI-9. Porównanie prężności pary czystego benzenu z danymi literaturowymi.



Rys.VI-10. Porównanie prężności pary czystego cykloheksanu z danymi literaturowymi.

Na rysunkach VI-9. i VI-10. porównano uzyskane prężności pary benzenu i cykloheksanu z danymi przedstawionymi w monografii Boublika i wsp. (1973) zawierającej rekomendowane prężności pary substancji czystych.

Wyniki pomiarów prężności pary czystego benzenu i cykloheksanu jak i poszczególnych mieszanin przedstawione są w załączniku D. W nazwie próbki zawarty jest skład syntetyczny, który niekoniecznie jest równy rzeczywistemu w naczyniu równowagowym. W przypadku mieszanin, prężności pary mieszanin obliczane były z własnych stałych równania Antoine'a również zamieszczonych w tablicy D-1.

Tablica VI-3.

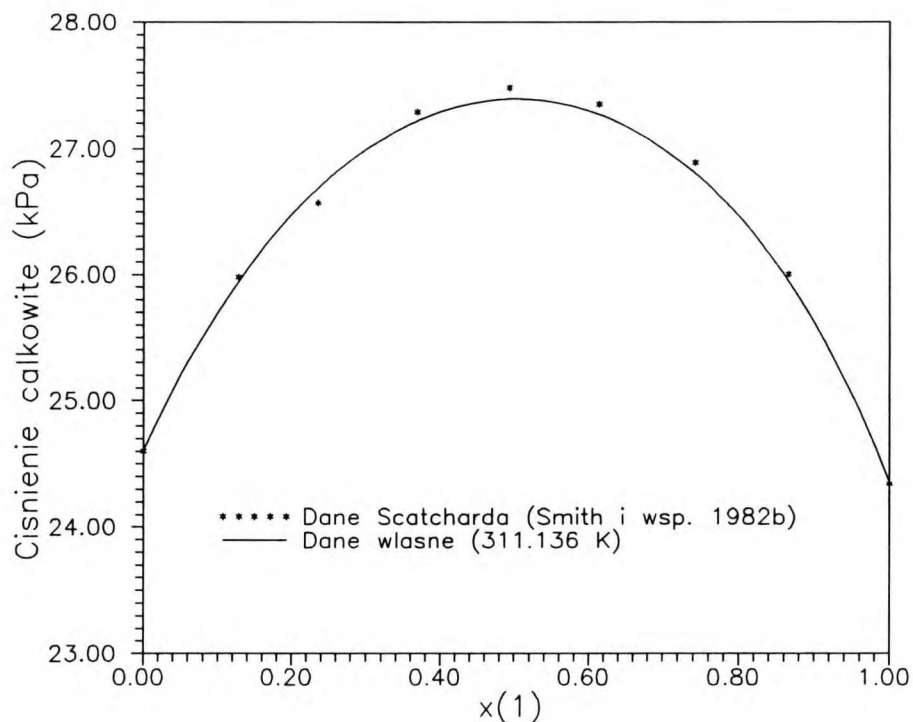
Temperatura: 313.136 K						
Współczynniki		$\sigma$				
C1=	.442021		.618828E-03	RMSD=0.004 kPa		
C2=	-.242866E-01		.298491E-02			
C3=	.391393E-02		.320889E-02			
C4=	-.455298E-03		.806661E-02			
$x_1$	$y_1^{obl.}$	$P_{exp}$ [kPa]	$\Delta P$ [kPa]	$\gamma_1$	$\gamma_2$	$G^E$ [J/mol]
0.0964	0.1299	25.675	0.007	1.419	1.004	96.4
0.1344	0.1741	26.001	-0.000	1.382	1.007	129.1
0.1546	0.1963	26.154	-0.006	1.363	1.009	145.3
0.2455	0.2878	26.742	-0.001	1.285	1.024	207.7
0.3444	0.3755	27.154	-0.000	1.213	1.049	255.6
0.4222	0.4391	27.334	0.001	1.165	1.076	278.4
0.4730	0.4793	27.386	0.001	1.137	1.097	286.0
0.5113	0.5093	27.393	0.000	1.118	1.116	287.9
0.5503	0.5397	27.374	0.003	1.100	1.136	286.4
0.6486	0.6180	27.182	-0.001	1.062	1.199	266.8
0.7539	0.7086	26.743	-0.002	1.031	1.285	220.0
0.8371	0.7899	26.190	-0.002	1.014	1.371	163.4
0.9270	0.8946	25.329	0.004	1.003	1.486	82.0

Tablica VI-4.

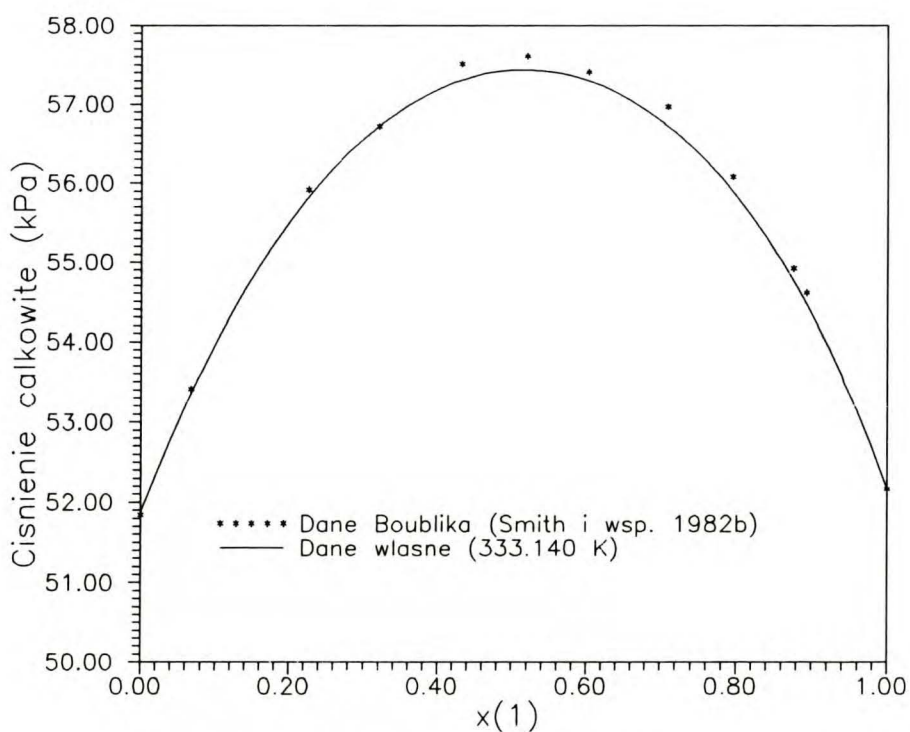
Temperatura: 333.136 K						
Współczynniki		$\sigma$				
C1=	.386014	.178654E-03				
C2=	-.138488E-01	.554046E-03				RMSD=0.007 kPa
C3=	-.535412E-03	.905222E-03				
C4=	-.282884E-02	.147168E-02				
$x_1$	$y_1^{obl.}$	Pexp [kPa]	$\Delta P$ [kPa]	$\gamma_1$	$\gamma_2$	$G^E$ [J/mol]
0.0961	0.1267	53.916	0.011	1.361	1.003	89.8
0.1342	0.1707	54.565	0.002	1.329	1.006	120.5
0.1542	0.1928	54.865	-0.011	1.313	1.008	135.5
0.2453	0.2850	56.048	-0.004	1.246	1.021	194.0
0.3443	0.3744	56.900	0.000	1.184	1.044	238.6
0.4221	0.4398	57.291	0.005	1.141	1.068	259.3
0.4730	0.4812	57.412	-0.003	1.117	1.086	266.0
0.5113	0.5122	57.454	0.005	1.100	1.102	267.4
0.5503	0.5436	57.427	0.000	1.085	1.120	265.5
0.6486	0.6245	57.118	0.002	1.052	1.173	246.3
0.7540	0.7174	56.336	-0.006	1.026	1.245	202.0
0.8372	0.7991	55.352	-0.004	1.011	1.315	149.5
0.9272	0.9013	53.841	0.008	1.002	1.406	74.7

Tablica VI-5.

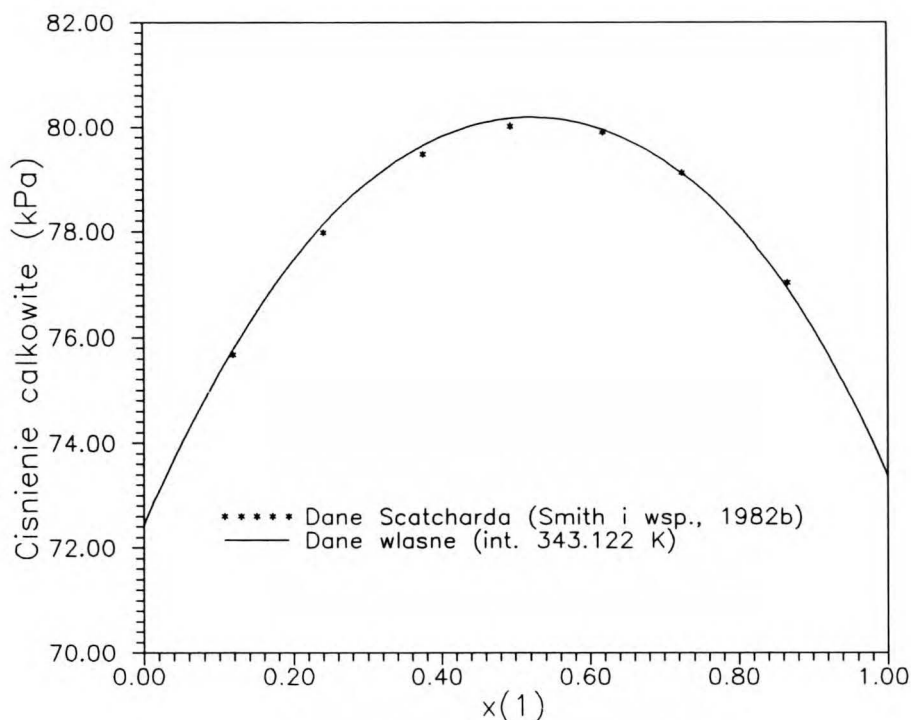
Temperatura: 343.122 K						
Współczynniki		$\sigma$				
C1=	.367985	.195154E-03				
C2=	-.815266E-02	.794072E-03				RMSD=0.010 kPa
C3=	-.334635E-02	.994417E-03				
C4=	-.309402E-02	.210610E-02				
$x_1$	$y_1^{obl.}$	Pexp [kPa]	$\Delta P$ [kPa]	$\gamma_1$	$\gamma_2$	$G^E$ [J/mol]
0.0959	0.1258	75.247	0.008	1.344	1.003	88.5
0.1340	0.1698	76.157	0.008	1.314	1.006	118.8
0.1539	0.1918	76.567	-0.015	1.299	1.008	133.6
0.2452	0.2844	78.215	-0.004	1.234	1.021	191.4
0.3442	0.3743	79.409	0.000	1.174	1.042	235.1
0.4221	0.4401	79.970	0.008	1.133	1.065	255.1
0.4729	0.4819	80.142	-0.009	1.110	1.083	261.4
0.5113	0.5132	80.223	0.014	1.094	1.099	262.4
0.5503	0.5450	80.179	-0.010	1.079	1.116	260.4
0.6487	0.6267	79.804	0.008	1.048	1.166	240.7
0.7541	0.7204	78.776	-0.007	1.023	1.233	196.6
0.8373	0.8024	77.486	-0.004	1.010	1.296	144.9
0.9273	0.9037	75.518	0.008	1.002	1.378	72.0



Rys. VI-11. Porównanie zmierzonej całkowitej prężności pary układu {benzen(1) + cykloheksan(2)} z danymi literaturowymi.



Rys. VI-12. Porównanie zmierzonej całkowitej prężności pary układu {benzen(1) + cykloheksan(2)} z danymi literaturowymi.



Rys.VI-13. Porównanie zmierzonej całkowitej prężności pary układu {benzen(1) + cykloheksan(2)} z danymi literaturowymi.

Na rysunkach od VI-11 do VI-13 porównane są izotermy interpolowane z danych zawartych w załączniku D z najlepszymi danymi literaturowymi rekomendowanymi przez Smith'a i wsp. (1982b). W tablicach od VI-3. do VI-5. podane są wartości numeryczne uzyskane z korelacji izoterm równaniem Redlicha-Kistera, stałe tego równania i ich wariancję  $\sigma$ , oraz średnie odchylenie standardowe RMSD (wzór VII-11 w rozdz.VII.2). W tablicach przedstawiono również obliczone składy fazy parowej, współczynniki aktywności obu składników i nadmiar entalpii swobodnej Gibbsa.  $\Delta P$  jest różnicą pomiędzy ciśnieniem eksperymentalnym a obliczonym.

#### VI.5.4. Omówienie wyników testowych

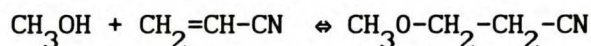
Uzyskane wyniki potwierdzają przydatność zbudowanej aparatury do pomiarów równowagi ciecz-para w przewidywanym zakresie temperatur tzn. od 293 do 343 K. Potwierdzony został założony zakres ciśnień, który pozwala mierzyć aż do ciśnienia zbliżonego do atmosferycznego. Limit ten wynika z zastosowanych kranów próżniowych, które mogą poprawnie pracować pod minimalnym, ale koniecznym, podciśnieniem. Niewielkie rozbieżności z

danymi literaturowymi w przypadku mieszanin nie mają charakteru systematycznego i mogą wynikać z minimalnych zanieczyszczeń zawartych w benzenie, który nie był badany na zawartość zanieczyszczeń. Destylacja przeprowadzona została w celu usunięcia śladów wilgoci zawartych w benzenie. Cykloheksan jako źródło zanieczyszczeń należy raczej odrzucić ze względu na użycie standardu chromatograficznego.

## VI.6. POMIARY WŁAŚCIWE

### VI.6.1. Przygotowanie odczynników

**3-MOPN.** Związek został uzyskany na drodze syntezy (Astle i Etherington, 1952) z metanolu i akrylonitrylu w środowisku alkalicznym wg poniższej reakcji:



Wydatność syntezy wynosi ok 85 %. Produkt oczyszczony został drogą destylacji frakcyjnej. Zbierano frakcję wracą w temperaturze  $435 \pm 0.1$  K. Czystość sprawdzono metodą GLC. Szczegóły oczyszczania podane są w pracy doktorskiej M. Antosik (1991) oraz w pracy na temat pomiaru nadmiaru objętości (Łuszczak, 1988).

**Woda.** Wobec silnego zanieczyszczenia wody dostępnej w sieci miejskiej przetestowano skuteczność oczyszczania wody na trzech jej próbkach. Pobrano wodę z kranu, ze studni indywidualnej w Rembertowie, oraz z sieci wodociągowej na osiedlu w sąsiedztwie Akademii Stabu Generalnego w Rembertowie. Oczyszczanie przeprowadzono w identyczny sposób, a mianowicie:

- wstępna destylacja;
- gotowanie przez 3 godz. z dodatkiem nadmanganianu potasowego w środowisku zasadowym i następnie przedestylowanie;
- destylacja ponowna po uprzednim zakwaszeniu kwasem siarkowym.

Tak uzyskana woda została zweryfikowana na zawartość związków aromatycznych poprzez pomiar absorpcji w widmie promieniowania ultrafioletowego i widzialnego za pomocą spektrofotometru firmy Beckmann model III. Najmniejszą absorpcję wykazywała próbka pobrana na osiedlu w Rembertowie.

Ta więc woda została użyta do dalszych pomiarów. Dalsza weryfikacja polegała na pomiarze gęstości w funkcji temperatury (Łuszczuk, 1988) oraz pomiaru temperatury wrzenia metodą ebulliometryczną (Gregorowicz, 1986).

**Rtęć.** Do pomiarów stosowana była rtęć cz.d.a (P.O.Ch. - Gliwice). Po każdej serii pomiarowej rtęć była oczyszczana w/g procedury podanej przez Luxa (1960) tzn. była przepuszczana przez 8 % kwas azotowy, płukana w wodzie destylowanej i suszona w acetonie. Dodatkowo, przed użyciem była destylowana pod zmniejszonym ciśnieniem.

#### VI.6.2. Stałość i stabilność temperatury

We wstępie do tej pracy powiedziano, że dokładność i stabilność temperatury ma kluczowe znaczenie w badaniu punktu krytycznego. Wszystkie pomiary wykonane w ramach tej pracy prowadzone były pod kontrolą regulatorów temperatury UNIPAN typ 650 z przystawką mocy typ 651. Zapewniało to stabilność temperatury rzędu 1 mK w bezpośrednim otoczeniu naczynia pomiarowego w czasie trwania całego pomiaru w danej temperaturze tzn. przez 2-3 godz. Sprawdzane to było wielokrotnie w następujący sposób: pomiar temperatury wykonywany był termometrem kwarcowym firmy Hewlett-Packard model 2801A. Rozdzielczość termometru wynosi 0.1 mK. Do termometru podłączona była drukarka ERD-100 firmy MERA-KFAP poprzez interfejs zbudowany w Zakładzie Elektroniki IChF PAN. Podana konfiguracja pozwalała zapisywać temperaturę w zadanym interwale czasu. Najczęściej temperaturę zapisywano co 30 sek. co dawało ok. 400 odczytów dla testowanej izotermy. Z tej liczby pomiarów wyciągano wartość średnią oraz odpowiednią wariancję. Dla temperatur nieco wyższych od pokojowej wariancja wynosiła 0.7 mK natomiast dla temperatur rzędu 350 K - 1.6 mK. Wartość bezwzględna temperatury określana była za pomocą okresowego skalowania termometru względem termometru oporowego firmy Tinsley znajdującego się w Zakładzie III IChF w zakresie temperatur 232 - 353 K. Odczyt z termometru przeliczany był do wartości absolutnej w stopniach Kelvina za pomocą wzoru:

$$T = 273.15 + (0.248 + 0.999 t_{HP}) \quad \text{VI-11}$$

gdzie  $t_{HP}$  jest temperaturą odczytaną z termometru kwarcowego w stopniach Celsjusza.

### VI.6.3. Stan równowagi termodynamicznej

Istotnym zagadnieniem w pomiarach równowag ciecz-para jest to, czy układ jest w stanie równowagi termodynamicznej. Wtedy, gdy nie prowadzi się analizy składów obu faz, jedynym kryterium osiągnięcia stanu równowagi jest niezmiennosc ciśnienia w funkcji czasu. Jak wiadomo, układ trójfazowy szczególnie trudno dochodzi do stanu równowagi. W celu określenia czasu dojścia wykonano kilka serii pomiarowych 12 i 24 godzinnych, w których mierzono ciśnienie panujące w układzie co 30 min. Uzyskane wyniki wskazują, że w przypadku układu trójfazowego stałość ciśnienia osiągana była, przy stosowanym systemie mieszania faz ciekłych i fazy parowej, już po ok 2 godz. Wszystkie pomiary ciśnienia wykonywane więc były po upływie tego czasu od osiągnięcia przez układ żądanej temperatury.

### VI.6.4. Równowaga ciecz-para układu {3-MOPN(1) + woda(2)}

Przygotowano zestaw ampulek z czystymi substancjami pozwalające uzyskać 31 składów w całym zakresie stężeń (Tablica VI-7 i VI-8). Niestety, wobec dużej różnicy w masach cząsteczkowych trudno było uzyskać składy o niewielkiej zawartości wody bez utraty dokładności określenia masy wody w ampulce. Z drugiej strony, ten zakres stężeń nie był interesujący ze względu na jego homogeniczność w badanym zakresie temperatur i znaczne oddalenie od składu krytycznego.

Konieczne do korelacji współczynniki wirialne obliczone zostały metodą O'Connell'a i Prausnitza (1967) jako bardziej odpowiednią dla substancji silnie polarnych. Wymagane do tego celu parametry krytyczne 3-MOPN zostały obliczone programem CPEST opracowanym na podstawie pracy Somayajulu (1989). Jest to metoda udziałów grupowych, której średni błąd w określaniu parametrów krytycznych jest mniejszy niż 2 %. Stałe wymagane w korelacjach dla obu składników zebrane są w tablicy VI-6.



### VI.6.5. Rezultaty pomiarów

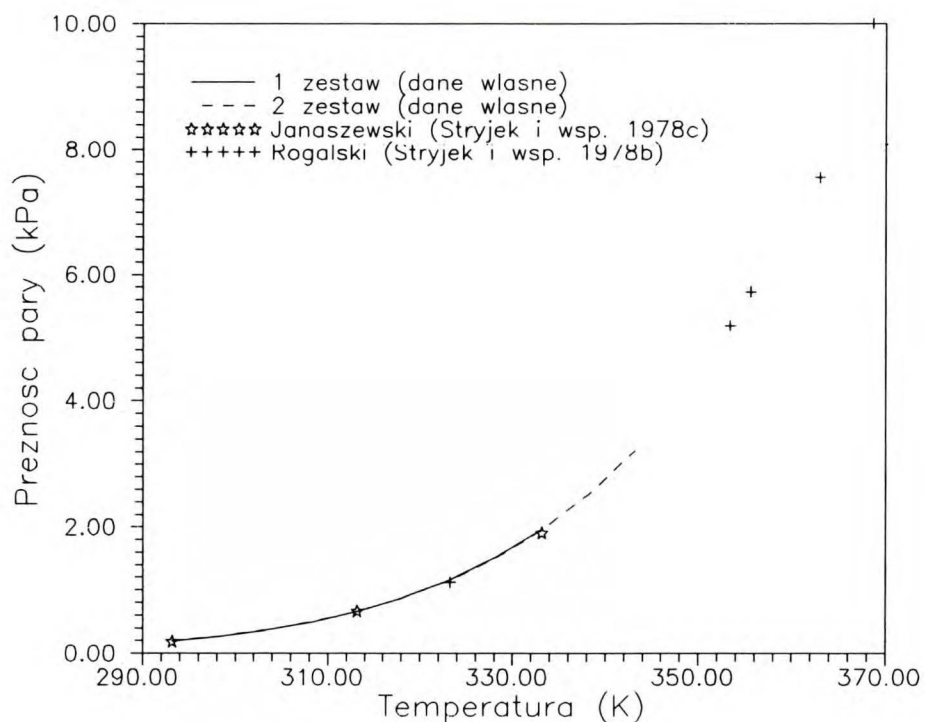
Prężności pary 3-MOPN były już uprzednio badane przez Rogalskiego metodą ebulliometryczną (Stryjek et al, 1978b) w zakresie temperatur od 323 K do temperatury wrzenia oraz przez Janaszewskiego dla temperatur 293.15, 313.15 i 333.15 K (Stryjek i wsp. 1978c) metodą statyczną. Wykonano trzy niezależne pomiary, z których dla dwóch wartości liczbowe przedstawione są w załączniku E. Miało to na celu porównanie wzajemnej konsystencji wyników oraz porównanie ich z dostępnymi danymi. Uzyskane wyniki wskazują na bardzo dobrą zgodność (rys.VI-14.) z wynikami pomiarów poprzednich.

Tablica VI-6.

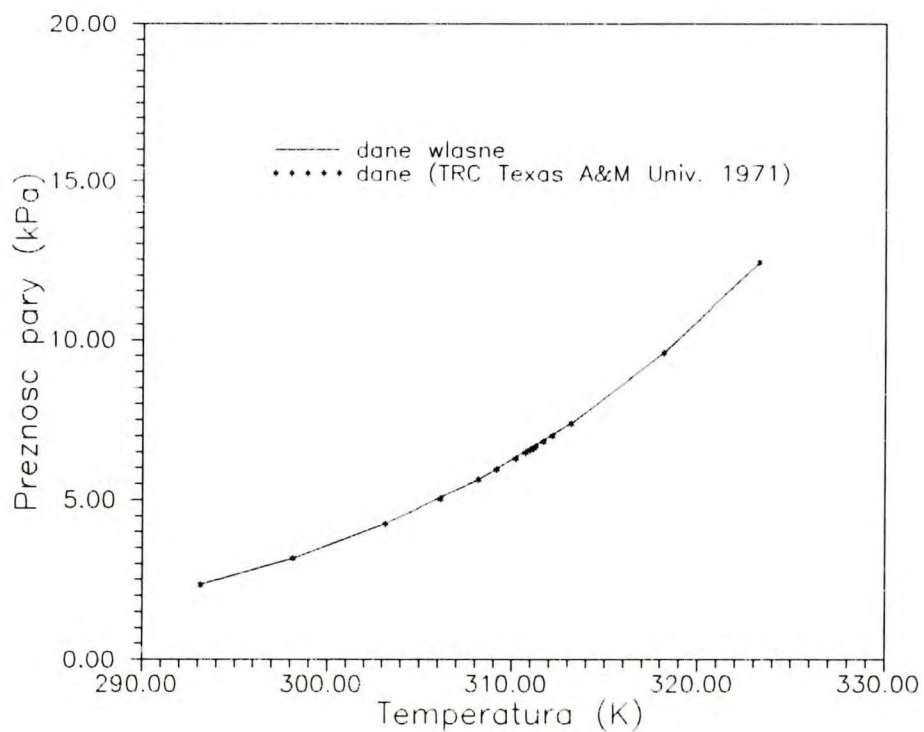
Wartości stałych molekularnych i innych wielkości wymaganych w korelacjach

Wielkość	3-MOPN	Woda
Masa cząsteczkowa	85.106	18.015
Temperatura wrzenia	162.3 [°C]	100.0 [°C]
Temperatura krytyczna	618.7 [K]	647.4 [K]
Ciśnienie krytyczne	41.25 [atm]	218.3 [atm]
Objętość krytyczna	290.1 [cm <sup>3</sup> ]	55.2 [cm <sup>3</sup> ]
Współczynnik acentryczny	0.5	0.344
Współcz. acentr. homom.	0.294	0.01
Moment dipolowy	3.47 [D]	1.87 [D]
Stałe równania na gęstość fazy ciekłej		
a	0.95848	1.000295
wzór VI-9    b	$-9.543 \cdot 10^{-4}$	$3.396 \cdot 10^{-6}$
c	0.	$-5.018 \cdot 10^{-6}$
Stałe równania Antoine'a		
A	8.510396	8.029549
wzór VI-10b  B	2425.490	1708.778
C	270.274	231.824

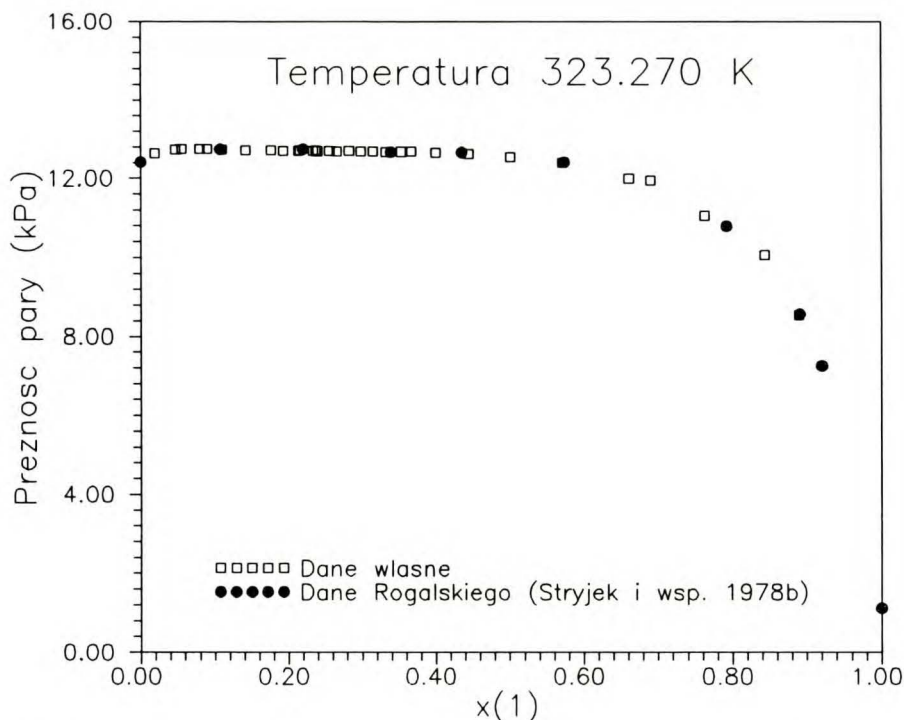
Pomiary prężności pary wody wykonano w celu porównania z danymi literaturowymi (sprawdzenie czystości) i wykonano tylko jedną serię pomiarową. Rezultat prezentuje rysunek VI-15. Jako dane porównawcze przedstawiono dane TRC (1973).



Rys.VI-14. Prężność pary czystego 3-MOPN w badanym zakresie temperatur.



Rys.VI-15. Porównanie prężności pary czystej wody z danymi literaturowymi w badanym zakresie temperatur



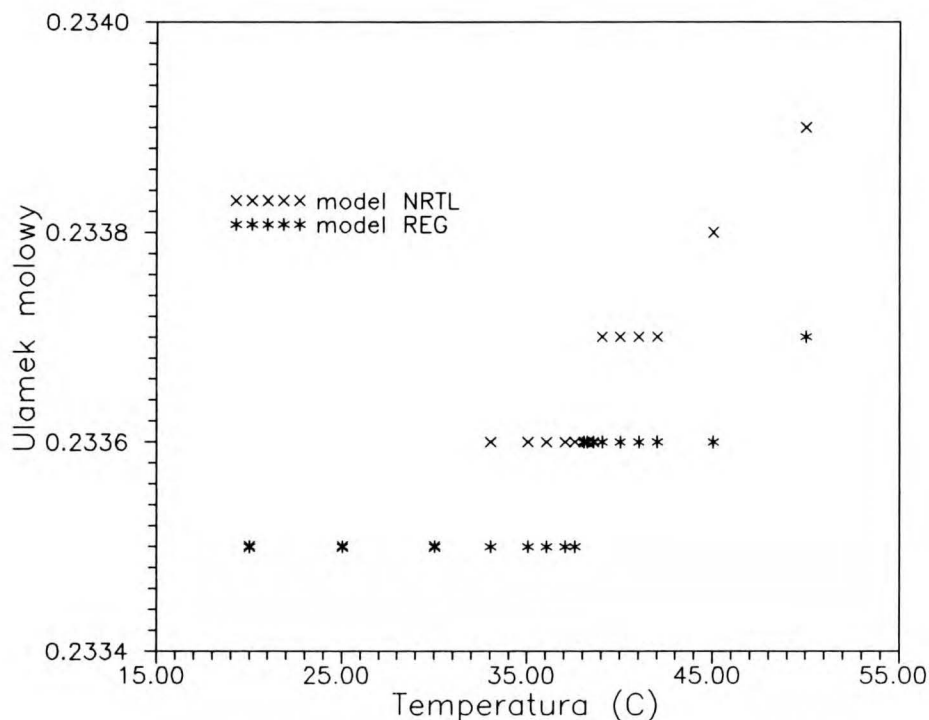
Rys.VI-16. Porównanie rezultatów własnych pomiaru VLE z danymi literaturowymi.

Rysunek VI-16. przedstawia rezultat interpolacji dla temperatury 323.270 K oraz dla porównania wyniki Rogalskiego (Stryjek i wsp. 1978b) dla tej samej temperatury. Widać bardzo dobrą zgodność uzyskanych wyników (dane numeryczne w tabelicy VI-8). Należy podkreślić, że poprzednie wyniki uzyskane zostały metodą ebulliometryczną, a więc różną od stosowanej w tej pracy. Ebulliometr pracował w warunkach izotermicznym, tzn. ciśnienie wymuszające było tak dobierane, aby utrzymać stałość temperatury.

W przypadku tego układu przeanalizowano wpływ użytego modelu do obliczania współczynników aktywności na skład faz ciekłej i parowej. Jak widać na rysunkach VI-17 i VI-18 wpływ doboru modelu jest praktycznie bez znaczenia dla składu fazy ciekłej, natomiast dla fazy parowej nie może być pominięty. Rysunek został zrobiony na podstawie obliczeń dla próbki nr 13, oznaczonej w tabelicy VI-7 jako "mw2334", a więc dla obszaru najbardziej interesującego. Różnica w składach fazy parowej jest przyczyną nie zamieszczenia ich w tabelicy VI-8 oraz w tabelicy wyników w załączniku E.

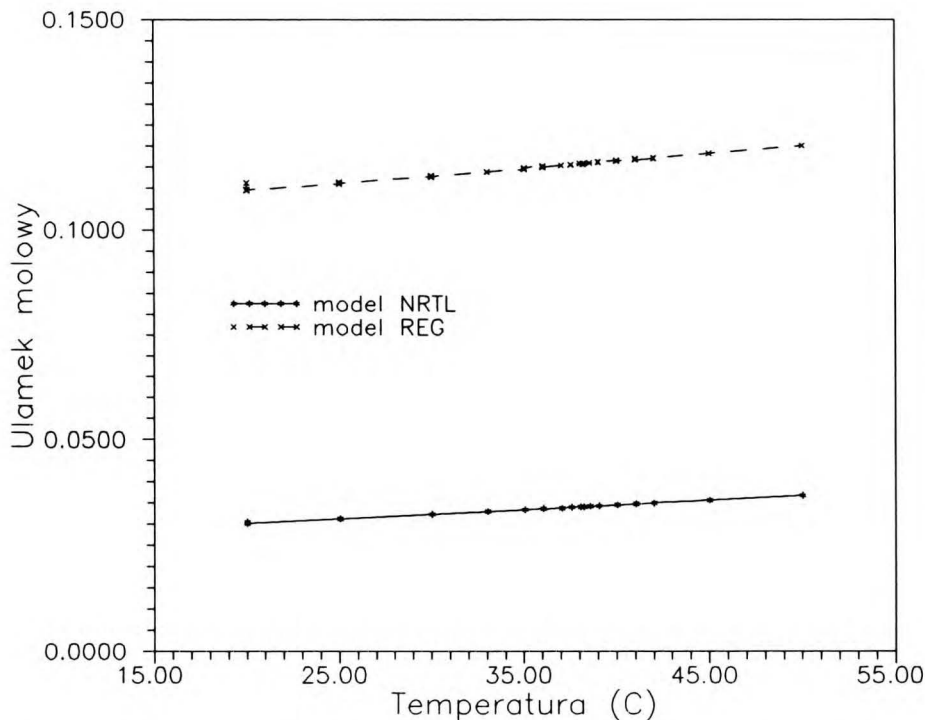
Prężności pary składników czystych jak i mieszanin {3-MOPN(1) + wo-

da(2)} nie wymagały stosowania manometru zewnętrznego. Pełne rezultaty pomiarów zawierające temperatury i odpowiadające im ciśnienia dla poszczególnych próbek i składników czystych, wraz z odchyleniami od równania Antoine'a (wzór VI-10a) podane są w załączniku F. Otrzymane, w wyniku przetworzenia programem EXPVLE2, stałe równania Antoine'a przedstawione są w Tabelicy VI-7.



Rys.VI-17. Porównanie obliczonych składów fazy ciekłej przy użyciu różnych modeli.

Zarówno w tabelicy VI-7 (kolumna 2) jak i w nagłówkach tablic załączników D i E, dla rozróżnienia próbek, stosowane są nazwy zawierające, obok pierwszych liter nazw tworzących je składników skład wyjściowy mieszaniny wynikający z naważek czystych składników. Często różni się on od składu mieszaniny w naczyniu pomiarowym (szczególnie dla roztworów o dużej zawartości 3-MOPN).



Rys.VI-18. Porównanie obliczonych składów fazy parowej przy użyciu różnych modeli.

Dane uzyskane nie stanowią jeszcze danych opisujących równowagi ciecz-para. Wobec względnie dużej objętości fazy parowej znacząco zmienia się skład fazy ciekłej w stosunku do składu syntetycznego. Jest to wynikiem dużej różnicy w prężnościach czystych składników. Jak wspomniano, w procesie numerycznej obróbki danych, składy fazy ciekłej były obliczane dla każdej temperatury i przybliżane za pomocą wielomianu drugiego stopnia w funkcji temperatury. Posiadając funkcyjną zależność prężności pary i składu fazy ciekłej można przeprowadzić proces interpolacji tychże dla poszczególnych temperatur. Wybrano 16 temperatur w otoczeniu punktu krytycznego, takich samych jakie badane były w pracy na temat objętości nadmiarowej dla tego układu (Łuszczak, 1988). Wyniki interpolacji stanowią bazę do prowadzenia dalszej obróbki numerycznej w celu uzyskania danych o równowadze ciecz-ciecz-para. Rezultaty w postaci składu fazy ciekłej i odpowiadającemu mu ciśnieniu dla poszczególnych temperatur przedstawiono w Tabelicy VI-8. Składy i ciśnienia wydrukowane kursywą mierzone były nad roztworem o dwóch fazach ciekłych

Tablica VI-7.

Współczynniki równania VI-10a opisujące prężności substancji czystych i poszczególnych próbek. W tabelicy podane są również odchylenia standardowe. NP - liczba punktów doświadczalnych; NU - liczba punktów użytych w korelacji.

Nr	Nazwa próbki	NP	NU	Współczynniki równania			RMSD kPa
				A	B	C	
1	woda	22	22	16.473733	3934.608	41.321	0.003
2	mw0191	35	34	16.718708	4055.567	37.300	0.003
3	mw0465	33	33	16.597942	3981.856	39.944	0.003
4	mw0551	36	36	16.834051	4109.981	35.642	0.004
5	mw0801	35	35	16.920353	4160.404	33.853	0.004
6	mw0897	34	33	17.073603	4255.248	30.381	0.002
7	mw1104	33	32	16.689529	4026.955	38.596	0.001
8	mw1417	40	39	16.851747	4123.283	35.107	0.003
9	mw1772	36	36	17.065217	4251.898	30.479	0.002
10	mw1933	33	33	16.927257	4169.423	33.435	0.001
11	mw2139	33	33	17.175023	4317.562	28.211	0.001
12	mw2163	33	33	17.012472	4214.995	31.979	0.002
13	mw2334	51	50	16.845025	4128.038	34.657	0.001
14	mw2374	35	32	17.037566	4239.035	30.810	0.003
15	mw2399	51	51	16.844201	4124.481	34.912	0.001
16	mw2556	33	33	16.949682	4190.029	32.467	0.002
17	mw2656	33	32	16.790391	4092.716	36.057	0.003
18	mw2823	33	33	16.948707	4185.741	32.743	0.003
19	mw2987	33	33	16.837743	4123.905	34.838	0.002
20	mw3146	33	33	16.712344	4059.764	36.798	0.002
21	mw3322	33	33	16.572853	3975.997	39.951	0.002
22	mw3533	34	34	16.572909	3985.843	39.240	0.001
23	mw3672	35	34	16.726138	4079.275	35.713	0.002
24	mw3994	33	32	16.244526	3813.163	45.069	0.002
25	mw4445	34	34	16.185658	3792.043	45.483	0.002
26	mw5008	33	33	16.130613	3776.306	45.640	0.003
27	mw5707	34	34	16.440675	3990.675	36.654	0.002
28	mw6601	34	33	15.971051	3790.932	42.180	0.003
29	mw6890	36	35	15.893330	3755.021	43.318	0.002
30	mw7614	33	33	15.107835	3441.726	52.373	0.002
31	mw8420	34	34	14.708396	3344.905	53.512	0.002
32	mw8882	33	33	13.438238	2846.388	71.228	0.005
33	3-mopn	60	59	17.580926	5584.897	2.876	0.003

Tablica VI-8.

Preżności pary [kPa] układu {3-MOPN(1) + woda(2)} dla temperatur w otoczeniu temperatury krytycznej mieszalności.

298.133 K		303.153 K		306.144 K		308.180 K	
P	$x_1$	P	$x_1$	P	$x_1$	P	$x_1$
3.167	0.0000	4.248	0.0000	5.034	0.0000	5.638	0.0000
3.223	0.0191	4.322	0.0191	5.122	0.0191	5.737	0.0191
3.240	0.0464	4.349	0.0464	5.154	0.0464	5.774	0.0464
3.243	0.0551	4.350	0.0551	5.156	0.0551	5.776	0.0551
3.248	0.0799	4.355	0.0799	5.161	0.0799	5.781	0.0799
3.258	0.0897	4.365	0.0897	5.170	0.0897	5.789	0.0897
3.234	0.1102	4.341	0.1102	5.146	0.1102	5.765	0.1102
3.239	0.1414	4.345	0.1414	5.149	0.1414	5.767	0.1414
3.253	0.1769	4.357	0.1769	5.161	0.1769	5.779	0.1769
3.240	0.1933	4.344	0.1933	5.147	0.1933	5.764	0.1933
3.253	0.2139	4.356	0.2139	5.158	0.2139	5.775	0.2139
3.241	0.2159	4.345	0.2159	5.148	0.2159	5.765	0.2159
3.246	0.2335	4.351	0.2335	5.154	0.2335	5.771	0.2335
3.255	0.2369	4.360	0.2369	5.163	0.2369	5.781	0.2369
3.238	0.2399	4.341	0.2399	5.144	0.2399	5.761	0.2399
3.248	0.2556	4.351	0.2556	5.153	0.2556	5.770	0.2556
3.235	0.2655	4.338	0.2655	5.140	0.2655	5.757	0.2655
3.244	0.2823	4.347	0.2824	5.149	0.2824	5.766	0.2824
3.238	0.2987	4.341	0.2987	5.142	0.2987	5.759	0.2987
3.247	0.3147	4.351	0.3147	5.153	0.3147	5.770	0.3147
3.231	0.3322	4.334	0.3322	5.136	0.3322	5.753	0.3322
3.245	0.3534	4.349	0.3534	5.151	0.3534	5.768	0.3534
3.259	0.3672	4.363	0.3672	5.165	0.3672	5.781	0.3672
3.243	0.3995	4.348	0.3995	5.150	0.3995	5.766	0.3995
3.243	0.4446	4.345	0.4447	5.144	0.4447	5.758	0.4447
3.237	0.5009	4.332	0.5010	5.127	0.5010	5.737	0.5011
3.250	0.5710	4.333	0.5710	5.116	0.5711	5.717	0.5711
3.190	0.6604	4.241	0.6605	5.000	0.6605	5.581	0.6606
3.181	0.6893	4.228	0.6894	4.984	0.6895	5.563	0.6896
3.014	0.7618	3.990	0.7619	4.690	0.7620	5.225	0.7621
2.814	0.8424	3.704	0.8425	4.341	0.8426	4.826	0.8427
2.445	0.8886	3.207	0.8887	3.750	0.8888	4.161	0.8889
0.264	1.0000	0.361	1.0000	0.434	1.0000	0.491	1.0000

Tablica VI-8. c.d.

309.150 K		310.176 K		310.679 K		310.943 K	
P	$x_1$	P	$x_1$	P	$x_1$	P	$x_1$
5.948	0.0000	6.291	0.0000	6.465	0.0000	6.558	0.0000
6.052	0.0191	6.401	0.0191	6.578	0.0191	6.673	0.0191
6.091	0.0464	6.443	0.0464	6.622	0.0464	6.717	0.0464
6.093	0.0551	6.445	0.0551	6.624	0.0551	6.719	0.0551
6.098	0.0799	6.450	0.0799	6.629	0.0799	6.724	0.0799
6.105	0.0897	6.457	0.0897	6.636	0.0897	6.731	0.0897
6.083	0.1102	6.434	0.1102	6.613	0.1102	6.709	0.1102
6.084	0.1414	6.435	0.1414	6.613	0.1414	6.709	0.1414
6.095	0.1769	6.446	0.1769	6.624	0.1769	6.719	0.1769
6.080	0.1933	6.431	0.1933	6.609	0.1933	6.704	0.1933
6.090	0.2139	6.441	0.2139	6.619	0.2139	6.714	0.2139
6.082	0.2159	6.432	0.2159	6.611	0.2159	6.706	0.2159
6.087	0.2335	6.438	0.2335	6.616	0.2335	6.711	0.2335
6.097	0.2369	6.448	0.2369	6.626	0.2369	6.722	0.2369
6.076	0.2399	6.427	0.2399	6.605	0.2399	6.700	0.2399
6.086	0.2556	6.436	0.2556	6.614	0.2556	6.709	0.2556
6.073	0.2655	6.424	0.2655	6.602	0.2655	6.697	0.2656
6.082	0.2824	6.432	0.2824	6.610	0.2824	6.705	0.2824
6.074	0.2987	6.424	0.2987	6.602	0.2987	6.697	0.2987
6.086	0.3147	6.436	0.3147	6.614	0.3147	6.709	0.3148
6.069	0.3322	6.419	0.3322	6.597	0.3322	6.692	0.3322
6.084	0.3534	6.434	0.3534	6.611	0.3534	6.706	0.3534
6.096	0.3672	6.446	0.3672	6.623	0.3672	6.718	0.3672
6.081	0.3996	6.430	0.3996	6.608	0.3996	6.703	0.3996
6.072	0.4447	6.420	0.4448	6.597	0.4448	6.692	0.4448
6.049	0.5011	6.394	0.5011	6.570	0.5011	6.664	0.5011
6.024	0.5712	6.365	0.5712	6.537	0.5712	6.630	0.5712
5.878	0.6606	6.206	0.6607	6.373	0.6607	6.462	0.6607
5.858	0.6896	6.185	0.6896	6.351	0.6897	6.439	0.6897
5.497	0.7621	5.799	0.7622	5.951	0.7622	6.033	0.7622
5.073	0.8427	5.345	0.8427	5.483	0.8428	5.557	0.8428
4.370	0.8889	4.600	0.8890	4.717	0.8890	4.779	0.8890
0.520	1.0000	0.553	1.0000	0.569	1.0000	0.578	1.0000



Tablica VI-8. c.d.

311.122 K		311.146 K		311.146 K		311.678 K	
P	$x_1$	P	$x_1$	P	$x_1$	P	$x_1$
6.622	0.0000	6.630	0.0000	6.644	0.0000	6.823	0.0000
6.738	0.0191	6.747	0.0191	6.781	0.0191	6.943	0.0191
6.783	0.0464	6.792	0.0464	6.827	0.0464	6.990	0.0464
6.785	0.0551	6.794	0.0551	6.829	0.0551	6.992	0.0551
6.790	0.0799	6.799	0.0799	6.834	0.0799	6.997	0.0799
6.796	0.0897	6.805	0.0897	6.840	0.0897	7.003	0.0897
6.774	0.1102	6.783	0.1102	6.818	0.1102	6.981	0.1102
6.774	0.1414	6.783	0.1414	6.818	0.1414	6.981	0.1414
6.785	0.1769	6.793	0.1769	6.828	0.1769	6.991	0.1769
6.769	0.1933	6.778	0.1933	6.813	0.1933	6.976	0.1933
6.779	0.2139	6.788	0.2139	6.823	0.2139	6.985	0.2139
6.771	0.2159	6.780	0.2159	6.815	0.2159	6.978	0.2159
6.777	0.2335	6.786	0.2335	6.820	0.2335	6.983	0.2335
6.787	0.2369	6.796	0.2369	6.831	0.2369	6.993	0.2369
6.765	0.2399	6.774	0.2399	6.809	0.2399	6.971	0.2399
6.774	0.2556	6.783	0.2556	6.818	0.2556	6.980	0.2556
6.762	0.2656	6.771	0.2656	6.806	0.2656	6.968	0.2656
6.771	0.2824	6.779	0.2824	6.814	0.2824	6.977	0.2824
6.763	0.2987	6.771	0.2987	6.806	0.2987	6.968	0.2987
6.775	0.3148	6.783	0.3148	6.818	0.3148	6.980	0.3148
6.757	0.3322	6.765	0.3322	6.800	0.3322	6.962	0.3322
6.771	0.3534	6.780	0.3534	6.815	0.3534	6.977	0.3535
6.783	0.3672	6.792	0.3672	6.827	0.3672	6.989	0.3672
6.768	0.3996	6.777	0.3996	6.811	0.3996	6.973	0.3996
6.756	0.4448	6.765	0.4448	6.800	0.4448	6.961	0.4448
6.728	0.5011	6.737	0.5011	6.771	0.5011	6.931	0.5011
6.693	0.5712	6.701	0.5712	6.735	0.5712	6.892	0.5712
6.523	0.6607	6.531	0.6607	6.564	0.6607	6.715	0.6607
6.500	0.6897	6.508	0.6897	6.541	0.6897	6.692	0.6897
6.089	0.7622	6.096	0.7622	6.126	0.7622	6.265	0.7622
5.607	0.8428	5.614	0.8428	5.641	0.8428	5.766	0.8428
4.821	0.8890	4.827	0.8890	4.850	0.8890	4.956	0.8890
0.584	1.0000	0.585	1.0000	0.586	1.0000	0.604	1.0000

Tablica VI-8. c.d.

312.177 K		313.160 K		318.150 K		323.270 K	
P	$x_1$	P	$x_1$	P	$x_1$	P	$x_1$
7.009	0.0000	7.387	0.0000	9.589	0.0000	12.339	0.0000
7.132	0.0191	7.517	0.0191	9.761	0.0191	12.641	0.0191
7.180	0.0464	7.568	0.0464	9.829	0.0464	12.730	0.0464
7.182	0.0551	7.570	0.0551	9.834	0.0551	12.741	0.0551
7.187	0.0799	7.575	0.0799	9.839	0.0799	12.746	0.0799
7.193	0.0897	7.581	0.0897	9.841	0.0897	12.744	0.0897
7.172	0.1102	7.560	0.1102	9.822	0.1102	12.727	0.1102
7.171	0.1414	7.558	0.1414	9.816	0.1414	12.716	0.1415
7.181	0.1769	7.568	0.1769	9.824	0.1769	12.721	0.1769
7.165	0.1933	7.552	0.1933	9.807	0.1933	12.702	0.1933
7.175	0.2139	7.561	0.2139	9.814	0.2139	12.707	0.2139
7.167	0.2159	7.554	0.2159	9.811	0.2159	12.710	0.2159
7.173	0.2335	7.559	0.2335	9.813	0.2335	12.705	0.2335
7.183	0.2369	7.570	0.2369	9.825	0.2369	12.720	0.2370
7.161	0.2399	7.547	0.2399	9.799	0.2399	12.691	0.2400
7.169	0.2556	7.555	0.2556	9.806	0.2557	12.695	0.2557
7.158	0.2656	7.544	0.2656	9.796	0.2656	12.688	0.2656
7.166	0.2824	7.552	0.2824	9.805	0.2824	12.696	0.2825
7.158	0.2987	7.544	0.2987	9.793	0.2987	12.680	0.2987
7.170	0.3148	7.556	0.3148	9.805	0.3148	12.689	0.3148
7.152	0.3322	7.538	0.3322	9.786	0.3322	12.670	0.3323
7.166	0.3535	7.552	0.3535	9.797	0.3535	12.676	0.3536
7.178	0.3672	7.563	0.3672	9.806	0.3672	12.682	0.3673
7.162	0.3996	7.547	0.3996	9.787	0.3997	12.655	0.3998
7.149	0.4448	7.532	0.4448	9.762	0.4449	12.614	0.4450
7.118	0.5011	7.498	0.5012	9.710	0.5013	12.537	0.5014
7.076	0.5713	7.450	0.5713	9.622	0.5714	12.395	0.5716
6.892	0.6607	7.252	0.6608	9.340	0.6610	11.995	0.6612
6.868	0.6897	7.226	0.6897	9.303	0.6900	11.944	0.6902
6.427	0.7622	6.756	0.7623	8.655	0.7625	11.055	0.7628
5.912	0.8428	6.209	0.8429	7.916	0.8431	10.062	0.8434
5.079	0.8891	5.328	0.8891	6.758	0.8894	8.542	0.8896
0.622	1.0000	0.658	1.0000	0.875	1.0000	1.161	1.0000

## VII KORELACJE

Termin "korelacja" oznacza znalezienie zależności pomiędzy pewnymi wielkościami (nie koniecznie bezpośrednich) przy zastosowaniu wyrażenia matematycznego zawierającego współczynniki dobieralne zwane parametrami. † Bardzo często parametry mają mniejsze lub większe uzasadnienie teoretyczne. W przypadku równowag ciecz-para i ciecz-ciecz takim wyrażeniem pozwalającym np. obliczyć skład fazy parowej, która jest wielkością skorelowaną, może być np. równanie stanu lub wzór na nadmiarową energię Gibbsa. Zastosowanie równań stanu nie jest omawiane w tej pracy. Szczegółowy przegląd tego zagadnienia przedstawiony został w pracach Anderki (1989,1990). Tutaj zostaną omówione korelacje za pomocą metody  $\gamma$ - $\phi$  (jako głównie stosowanej w tej pracy) czyli algorytm Barkera i równania korelacyjne oraz związane z tym zagadnienia doboru funkcji celu, metody optymalizacji, liczby stałych i.t.d. Problemy te są bardziej szczegółowo opisane przez Hofmana (1982) w jego pracy doktorskiej. W dalszej części rozdziału omówione są trzy programy komputerowe stosowane do obliczeń w tej pracy oraz rezultaty tych obliczeń.

### VII-1 METODA BARKERA

W 1953 roku Barker zaproponował algorytm do korelacji równowag ciecz-para przy wykorzystaniu niepełnych danych równowagowych, czyli na podstawie znajomości ciśnienia  $P$  nad roztworem o składzie  $x$  w temperaturze  $T$ . Oczywiście chodzi tu o zbiór tych informacji dla kilku składów. Zastosowana została metoda najmniejszych kwadratów, a funkcją minimalizowaną jest suma kwadratów odchyleń ciśnienia obliczonego od zmierzonych

---

†Bardzo często korelacja jest traktowana na równi z wygładzaniem danych, które polega właściwie na dobraniu współczynników wyrażenia matematycznego w celu opisanie rezultatów pomiaru w zakresie zmierzonej zmiennej niezależnej.

go. W tej metodzie wymagana jest znajomość wyrażenia na nadmiarową energię Gibbsa.

W literaturze opisano wiele równań korelacyjnych na  $G^E$ . Ich szczegółowe przeglądy, włączając występujące modyfikacje, były wielokrotnie publikowane (Hala, 1977, Sørensen, 1979). Większość tych równań ma obecnie marginalne znaczenie (np. Margulesa czy Van Laara). Znaczenia nabrały te, których parametrom można przypisać pewną zależność temperaturową i których stosowalność może być rozciągnięta na układy więcej niż dwuskładnikowe.

Poniżej przedstawione są te równania, które stosowane były w tej pracy.

### VII-1.1. Równanie Redlicha-Kistera

Równanie Redlicha-Kistera (1948) jest zależnością typu wielomianowego, liniową w funkcji jego współczynników. Jest bardzo często stosowane do opisu wielkości nadmiarowych w funkcji stężenia układów dwuskładnikowych w postaci:

$$X^E(x) = x(1-x) \sum_{i=0} a_i (2x-1)^i \quad \text{VII-1}$$

gdzie:  $x$  jest stężeniem w postaci ułamka molowego, wagowego czy też objętościowego.

Powyższa postać zapewnia zerowanie się funkcji  $X^E$  w warunkach brzegowych, wymagane dla funkcji nadmiarowych. Jest to równanie bardzo elastyczne, pozwalające opisać nawet bardzo skomplikowane przebiegi funkcji nadmiarowych. Jednocześnie, stosowane bezkrytycznie, może prowadzić do absurdalnych wyników. Sygnalizowane to jest w wielu pracach np. Gierycza (1982). Nadmienić należy, że opis bezpośrednio mierzalnych funkcji nadmiarowych takich jak entalpia mieszania czy nadmiarowa objętość mieszania jest typowym przykładem wygładzania danych, a nie korelacji. Istnieje wiele odmian tego równania stosowanych do konkretnych układów i konkretnych wielkości. Modyfikacje polegają na dokonaniu pewnych transformacji zmiennej niezależnej (stężenia) [np. Neau (1972) zmodyfikowała zmienną stężeniową dodając parametr zależny od rodzaju korelowanego

układu], lub wykorzystaniu w korelacji wyrazów zawierających określone wykładniki wielomianu (np. tylko parzyste czy tylko ułamkowe i ich wielokrotności).

Rozszerzenie tego równania na układy wieloskładnikowe jest niezmiernie trudne ze względu na brak teoretycznych podstaw wyznaczenia współczynników równania charakterystycznych dla układu dwuskładnikowego i ich wzajemnej zależności w układzie wieloskładnikowym. Posiadając jednak wystarczającą ilość danych w funkcji dwóch parametrów, np. stężenia i temperatury, można pokusić się o znalezienie zależności funkcyjnej współczynników od, powiedzmy, temperatury. Pozwoliłoby to na możliwość interpolacji funkcji, lecz wyciąganie szerszych wniosków jest nie uzasadnione.

Najprostsza forma równania R-K, tzn. z jednym współczynnikiem, jest równoważna wyrażeniu na  $G^E$  wyprowadzonemu z teorii roztworów regularnych Guggenheima (1953). Wpływ dalszych członów równania VII-1 na kształt i symetrię  $G^E$  był ostatnio przedstawiony w podręczniku Prausnitza i wsp. (1986).

W przypadku zastosowania równania R-K do korelacji równowag cieczo-ciecz w bezpośredniej korelacji nie stosuje się formy VII-1 lecz jej pochodne względem składu gdzie  $X^E = G^E/RT$ .

#### VII-1.2. Równanie NRTL i LEMF

Równanie NRTL (Non-Random Two Liquid) opublikowane zostało przez Renona i Prausnitza (1968) jako pochodne i niejako uogólnienie wcześniejszych równań takich jak Wilsona (1964), Blacka (1959). Krótco potem Renon opublikował książkę (Renon i wsp.; 1971), w której opisano stosowanie tego równania do układów dwuskładnikowych z rozszerzeniem na inne wielkości termodynamiczne, takie jak entalpia mieszania, równowaga cieczo-ciecz i graniczny współczynnik aktywności. Wprowadzono jednocześnie liniową temperaturową zależność stałych.

$$G^E/RT = \sum_i x_i \frac{\sum_j \tau_{ji} G_{ji} x_j}{\sum_k G_{ki} x_k} \quad \text{VII-2}$$

gdzie:  $G_{ji} = \exp[-\alpha_{ji} \tau_{ji}]$ ;  $\tau_{ji} = (g_{ji} - g_{ii})/RT$   $\alpha_{ji} = \alpha_{ij}$

$g_{ij}$  jest energią oddziaływania cząsteczek  $i$  i  $j$ , natomiast  $\alpha_{ij}$  jest parametrem wyrażającym, wg. autorów, odwrotność liczby koordynacyjnej. Parametry  $\tau$  i  $\alpha$  są dobierane podczas korelacji danych eksperymentalnych.

Równanie NRTL należy do grupy równań opartych na tzw. koncepcji stężeń lokalnych. Koncepcja ta polega na tym, że przyjmuje się, że prawdopodobieństwo znalezienia cząsteczki A w bezpośrednim sąsiedztwie centralnej cząsteczki B jest proporcjonalne do różnicy energii oddziaływania BB i AB. Czynnikiem ważącym to prawdopodobieństwo jest czynnik Boltzmana  $\exp(-\alpha\tau)$ . Takie założenie było w przeszłości krytykowane (Flemer, 1975) jako niekonsystentne termodynamicznie, nie mniej jednak równanie to zdobyło sobie ogromną popularność. Wynika ona z dwóch podstawowych zalet:

- jest wielokrotnie różniczkowalne względem składu (czynnik  $\exp$ ), co przy ograniczonej liczbie dobieralnych parametrów pozwala przewidzieć rozpad roztworu na dwie fazy ciekłe;
- daje możliwość przewidywania własności roztworów wieloskładnikowych na podstawie parametrów uzyskanych z danych dla roztworów dwuskładnikowych.

Istnieje bogata literatura opisująca zastosowania równania NRTL jak również jego modyfikacji. Oprócz, niejako klasycznego, zastosowania do korelacji równowag ciecż-para, równanie to jest stosowane do korelacji i przewidywania równowag ciecż-ciecż w układach dwu- i trójskładnikowych. Zdolności korelacyjne były badane przez wielu autorów. Ponieważ stwierdzono, że równanie to może mieć wiele rozwiązań, Mattelin i Verhoeve (1975) zbadali w jakim zakresie zbiory parametrów uzyskane z korelacji danych LLE dają rezultaty konsystentne termodynamicznie. Stwierdzili oni, że dla układu symetrycznego najwyższą wartość jaką może przybrać parametr  $\alpha$  aby równanie pozwalało na rozwarstwienie się roztworu jest 0.427. Dla wyższych wartości niemożliwe jest spełnienie warunków stanu krytycznego (druga i trzecia pochodna funkcji  $G^H$  względem składu równa zero). Zależność kształtu krzywej współistnienia od wielkości parametru

$\alpha$  badana była również ostatnio przez Bittricha i wsp. (1989). Według ich badań, użycie parametru  $\alpha$  bliskiego -1 (sprowadza się to do równania znanego jako LEMF (Marina i Tassios, 1973)) daje lepszy opis krzywej binodalnej w bezpośredniej bliskości punktu krytycznego. Niestety, autorzy nic nie mówią na temat temperaturowej zależności stałych energetycznych. Problemy związane z odpowiednią korelacją równowag ciecz-ciecz wynikają z braku teoretycznie uzasadnionego wyrażenia wiążącego te dwie wielkości (tzn.  $(g_{ij} - g_{jj}) = f(T)$ ). Zawarta w czynniku Boltzmana zależność temperaturowa nie jest wystarczająca, gdy chcemy korelować w większym zakresie temperatur i sami autorzy równania zalecają stosowanie liniowej zależności stałych od temperatury. W przypadku równowag ciecz-para jest to wystarczające, lecz dane LLE korelują się źle. W literaturze podane są przykłady zastosowań różnych wyrażeń, m.in. wielomianu kwadratowego, za pomocą którego Ochi i wsp. (1990) opisali nawet luki zamknięte.

Problemy związane z jednoczesną korelacją równowag ciecz-para i ciecz-ciecz oraz wspólnej korelacji granicznego współczynnika aktywności były rozpatrywane w naszej pracowni. Autor niniejszej pracy zaproponował wspólną korelację równaniem NRTL jednego z granicznych współczynników aktywności i danych LLE (Stryjek i Łuszczuk, 1980) w celu uzyskania danych LLE w zakresie stężeń homogenicznego roztworu. Pozwala to obliczyć trzy parametry NRTL. W późniejszej pracy (Stryjek i wsp., 1981) do tego celu sprawdzono również inne równania (LEMF, UNIQUAC i LCG (Vera i wsp., 1977)). Zastosowanie współczynnika aktywności w granicznym rozcieńczeniu jest szczególnie atrakcyjne, ponieważ można go stosunkowo łatwo zmierzyć za pomocą chromatografii gazowej (Conder i Young, 1979). Ponadto, najczęściej pomiar dotyczy układu, którego składniki różnią się bardzo prężnościami pary i pomiar równowagi ciecz-para jest bardzo trudny. Tego typu korelacje prowadzone są również w innych ośrodkach naukowych (patrz np. wcześniejsze i obecne prace Kikica i wsp., 1983). Ogólnie, problemy wspólnej korelacji LLE i VLE przedyskutowane zostały w pracy Malanowskiego i wsp. (1981).

Ostatnio De Pablo i Prausnitz (1989), w celu poprawienia opisu krzywej współistnienia równaniem NRTL, zastosowali procedurę transformacji składów za pomocą funkcji skalującej, analogiczną do zastosowanej przez Foxa (1979) do opisu krzywej współistnienia ciecz-gaz w układach jedno-

składnikowych.

### VII-1.3. Równanie UNIQUAC

Równanie UNIQUAC jest kontynuacją idei stężeń lokalnych, z tym, że całkowity nadmiar energii Gibbsa podzielony jest na dwa udziały: jeden związany z dystrybucją cząsteczek tworzących roztwór spowodowanej różnicami w kształcie i wielkości cząsteczek, oraz drugi - związany z energetycznym oddziaływaniem pomiędzy elementami cząsteczek. Wprowadzony przez Abramsa i Prausnitza (1978) zyskał sobie sporą popularność jako model choć częściowo podbudowany teorią molekularną i w którym część parametrów może być określona na podstawie budowy molekularnej.

$$G^E = G_{\text{comb}}^E + G_{\text{res}}^E \quad \text{VII-3}$$

$$G_{\text{comb}}^E/RT = \sum_1 x_1 \ln \frac{\Phi_1}{x_1} + \frac{z}{2} \sum_1 q_1 x_1 \ln \frac{\theta_1}{\Phi_1} \quad \text{VII-4}$$

$$G_{\text{res}}^E/RT = - \sum_1 q_1 x_1 \ln \left( \sum_j \theta_j \tau_{j1} \right) \quad \text{VII-5}$$

$$\Phi_1 = \frac{x_1 r_1}{\sum_j x_j r_j} \quad \theta_1 = \frac{x_1 q_1}{\sum_j x_j q_j} \quad \text{VII-6}$$

$$\tau_{j1} = \exp[-(u_{j1} - u_{11})/RT] \quad \text{VII-7}$$

Parametry  $\theta$  (średni ułamek powierzchniowy) i  $\Phi$  (średni ułamek objętościowy) obliczane są na podstawie molekularnych parametrów  $r_1$  i  $q_1$  określonych ze struktury cząsteczek i promieni van der Waalsa podanych przez Bondiego (1968) dla poszczególnych grup atomów. Parametr  $z$  jest liczbą koordynacyjną sieci, na której rozmieszczone są poszczególne zębry atomowe cząsteczek, przyjętą przez autorów w oryginalnej pracy równą 10. Równanie UNIQUAC posiada tylko dwa dobieralne parametry energetyczne, w związku z czym jego zdolności korelacyjne są mniejsze niż równania NRTL. W celu usunięcia tej niedogodności powstało wiele modyfikacji (Anderson i Prausnitz, 1975; prace Nagaty i wsp., 1981a, 1981b; oraz Nagaty, 1982, 1985). Skjold-Jørgensen i wsp. (1980, 1982) podali wyrażenie na temperaturową zależność parametru  $z$ . Również parametry energetyczne podawane są



jako liniowe, kwadratowe czy hiperboliczne funkcje temperatury. Szczegółowy przegląd zastosowań i modyfikacji tego równania podane zostały w pracach Sørensen i wsp. (1979a, b, c) i Rasmussena (1983).

## VII-2. FUNKCJA CELU I ALGORYTMY OBLICZEŃ

Korelacje wyników doświadczalnych wymagają nie tylko wyboru równania korelacyjnego, lecz także wyboru funkcji celu oraz algorytmu (sposobu) korelacji. W obliczeniach związanych z doбором parametrów równania korelacyjnego stosuje się metodę najmniejszych kwadratów opartą na warunku:

$$\sum_1 \{X_1^{\text{exp.}} - X_1^{\text{calc.}}(\mathbf{A})\}^2 = \min \quad \text{VII-8}$$

gdzie  $X$  oznacza dowolną zmienną zależną, natomiast  $\mathbf{A}$  wektor parametrów. Metoda ta jest opisana w wielu podręcznikach (Strzałkowski i Śliżyński, 1978). Warunek VII-8 jest podany w najprostszej formie, lecz w pewnych przypadkach, gdy korelowane są równocześnie różne wielkości, wprowadzane są dodatkowe składniki. Wtedy, gdy udziały poszczególnych wielkości nie są równocenne, np. z powodu różnej dokładności, czy też wielkości absolutnej, konieczne jest wprowadzenie ważenia punktów, czyli nadawanie im różnego ciężaru statystycznego.

Wartość obliczona  $X_{\text{calc}}$  jest nie tylko funkcją zmiennej (zmiennych) niezależnej, lecz również parametrów  $\mathbf{A}$ . Najczęściej warunek VII-8 jest nieliniowy względem parametrów, co oznacza, że obliczenia muszą być prowadzone w sposób iteracyjny, a w kolejnych iteracjach uzyskujemy coraz lepsze przybliżenie parametrów równania. Wiąże się to z zagadnieniem wyboru startowych parametrów równania, które pozwolą uzyskać zbieżny ciąg rozwiązań. Powszechnie stosowana jest metoda Newtona-Raphsona (Ralston, 1975) jako najprostsza, lecz również metoda Marquardt'a (1963), dająca, przy umiarkowanej ilości parametrów dobieralnych, ciąg zawsze zbieżny. W tej pracy właśnie ta metoda była stosowana we wszystkich rozwiązywanych problemach.

Powyższe uwagi dotyczą sytuacji, gdy liczba punktów eksperymentalnych znakomicie przewyższa liczbę dobieralnych parametrów. W przypadku,

gdy liczby te są równe, do znajdowania parametrów stosowana jest metoda Newtona polegająca na rozwiązaniu układu równań liniowych VII-9 względem parametrów. Równania te są rozwinięciem w szereg, obcięty po pierwszym wyrazie, wokół prawdziwych rozwiązań.

$$\left. \begin{aligned}
 F_1 &= \frac{\partial F_1}{\partial A_1} \delta A_1 + \frac{\partial F_1}{\partial A_2} \delta A_2 + \dots + \frac{\partial F_1}{\partial A_n} \delta A_n = 0 \\
 F_2 &= \frac{\partial F_2}{\partial A_1} \delta A_1 + \frac{\partial F_2}{\partial A_2} \delta A_2 + \dots + \frac{\partial F_2}{\partial A_n} \delta A_n = 0 \\
 \vdots & \\
 F_n &= \frac{\partial F_n}{\partial A_1} \delta A_1 + \frac{\partial F_n}{\partial A_2} \delta A_2 + \dots + \frac{\partial F_n}{\partial A_n} \delta A_n = 0
 \end{aligned} \right\} \text{VII-9}$$

### VII-3. KORELACJE RÓWNOWAGI CIECZ-PARA

Dane zamieszczone w tablicy VI-8 były korelowane metodami: Tao (1961), MGC (Mixon i wsp., 1965) i Barkera (1953) z wykorzystaniem równań Redlicha-Kistera, NRTL a także LEMF.<sup>†</sup> Wszystkie te metody zostały zaimplementowane w programie FITVLE, który zapewniał jednakowe procedury minimalizacji, zunifikowany sposób obliczania wielkości pomocniczych takich jak np. prężności pary, współczynniki wirialne, jednakowy sposób wyprowadzania danych i. t. d. Program umożliwia również przetwarzanie rezultatów obliczeń programem EXPVLE2 tzn. interpolacji całkowitej prężności pary i składu fazy ciekłej dla zadanej temperatury.

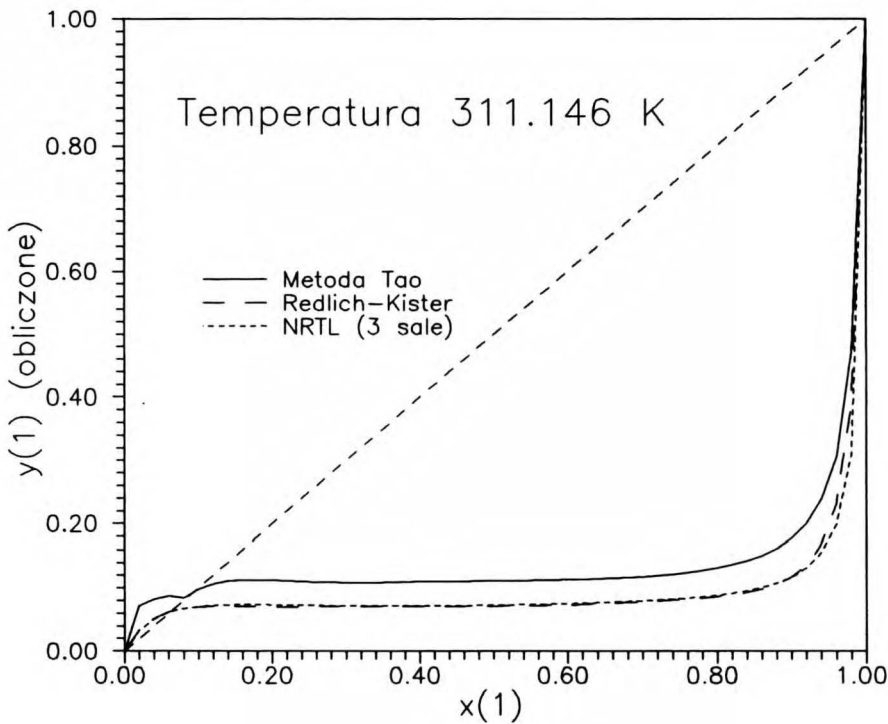
Próba zastosowania metody Tao lub MGC miała na celu uzyskanie obliczenia równowagi termodynamicznej tzn. danych PTxy bez stosowania jakiegokolwiek modelu termodynamicznego. Jak wiadomo, wybór modelu determinuje wielkość i kształt nadmiarowej energii Gibbsa, wartości współczynników aktywności i. t. d. Jak zostało powiedziane wcześniej, metoda Tao oraz MGC wymaga wygładzenia danych o prężności pary w funkcji stężenia. Zastosowano metodę funkcji sklepanych trzeciego stopnia (ang. *cubic spline*).

<sup>†</sup> W pracy tej nazwa LEMF jest stosowana w umowie w korelacjach z ujemnym dobieralnym parametrem  $\alpha$ , w celu odróżnienia od korelacji równaniem NRTL z dodatnimi wartościami  $\alpha$ .

nes) (Fortuna i wsp., 1982, Hofman, 1982). Jako drugi sposób wygładzania prężności pary nad roztworem zastosowano opis "nadmiarowego" ciśnienia w stosunku do ciśnienia wynikającego z prawa Raoult'a:

$$P = \sum x_1 P^0 + x_1 (1 - x_1) \sum_{i=0} C_i (1 - 2x_1)^i \quad \text{VII-10}$$

Sposób ten jest często stosowany przez grupę B.D.Smith'a (Khurma, 1983). Niestety, obie metody dawały rezultaty niezadowolające. W metodzie Tao obecność punktu azeotropowego powodowało trudność zbiegania się funkcji minimalizowanej do zadanego kryterium. Następstwem tego było uzyskanie błędnej estymaty stosunku współczynników aktywności i błędnego policzenia współczynnika w n+1 punkcie wektora stężeń. Dobitnie ilustruje to rysunek VII-1 na przykładzie obliczonego składu fazy parowej.



Rys.VII-1. Porównanie obliczonego składu fazy parowej za pomocą metody Tao i równaniami Redlicha-Kistera i NRTL z trzema parametrami dobieralnymi dla izotermy krytycznej.

Metoda MGC w gruncie rzeczy sprowadza się do policzenia numerycznej pochodnej  $G^E$  w punkcie n z wartości funkcji w punktach n-1 oraz n+1. Ponieważ układ jest bardzo niesymetryczny, trudno było założyć wyjściowe

przybliżenie nadmiaru energii Gibbsa. Układy o mniejszych odchyleniach od doskonałości mogły być korelowane przy startowej zerowej wartości  $G^E$ . W przypadku badanego układu, nawet założenie modelu roztworów regularnych z odpowiednio dużą stałą ( $>2$ ) nie dawały zbieżnego szeregu rozwiązań. Algorytmy powyższych metod przedstawione są w załączniku B.

W związku z powyższym zdecydowano się na metodę Barkera i dwa równania korelacyjne: równanie Redlicha-Kistera i równanie NRTL. Model UNIQUAC jako zbyt mało elastyczny wyłączono z korelacji VLE.

Jako procedury minimalizacyjne stosowane były: procedura ORT (Malanowski, 1974) rozwiązująca układ równań liniowych metodą ortogonalizacji wielomianów oraz procedura CURFIT opisana w książce Bevingtona (1968), w której zaimplementowany jest algorytm Marquardt'a (1963). Jako kryterium dopasowania równań korelacyjnych do danych doświadczalnych uwzględniane było odchylenie standardowe zdefiniowane:

$$\text{RMSD} = \sqrt{\frac{\sum_1 [P_i - P_i^{\text{obl}}(\mathbf{A})]^2}{n - k}} \quad \text{VII-11}$$

gdzie  $n$  jest liczbą punktów doświadczalnych,  $k$  - liczbą dobieranych stałych. Drugim kryterium była wielkość  $\chi^2$  (chi-kwadrat)

$$\chi^2 = \sum_1 \frac{(P_i - P_i^{\text{obl}})^2}{\sigma_i^2} \quad \text{VII-12}$$

gdzie  $\sigma_i$  jest estymowanym błędem pomiaru  $i$ -tego punktu. W praktyce ustala się średni błąd jakim obarczone są pomiary i ten stosuje się dla wszystkich punktów. W procedurze CURFIT, oprócz parametrów, obliczane są również ich wariancje  $\sigma$ . Wartości ich jednak silnie zależą od uzyskanej wielkości  $\chi^2$ . Im wartość ta jest bliższa jedności, tym bardziej realne są wariancje współczynników. Potrojona wartość wariancji, gdy  $\chi^2 \cong 1$ , daje nam 95% przedział ufności. W tablicach VII-1 i VII-2, obok wartości współczynników i ich wariancji, podane jest również RMSD i  $\chi^2$ .

Równanie Redlicha-Kistera, z powodu swojej elastyczności wydawało się najodpowiedniejsze do korelacji tak trudnej zależności ciśnienia od składu. Wobec dużej liczby punktów eksperymentalnych istniała możliwość dobrania odpowiedniej liczby stałych równania. (Dozwolone było dobranie nawet 10 stałych, stosując kryterium co najmniej 3 punktów na jedną

stałą.) W praktyce okazało się, że nie było to konieczne.

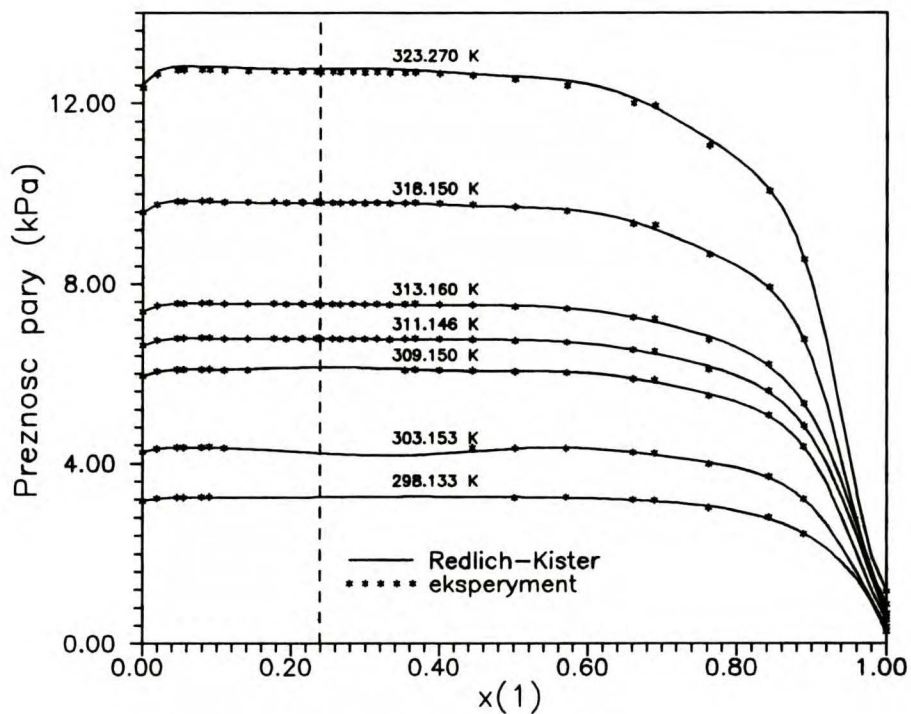
Na rysunku VII-2 przedstawione są rezultaty korelacji równaniem Redlicha-Kistera dla wybranych izoterm z tablicy VI-8; izotermy 298.133, 303.153 i 309.15 K znajdują się w zakresie występowania dwóch faz ciekłych, izoterma krytyczna 311.146 K oraz izotermy 313.160, 318.150 i 323.270 K, w których faza ciekła jest homogeniczna w całym zakresie stężeń. Dobór izoterm pozwalał pokryć zakres temperatur w miarę równomiernie.

W korelacjach zastosowano równanie NRTL w jego oryginalnej formie zaproponowanej przez Renona i Prausnitza (1968). Jak powiedziano, istnieje wiele modyfikacji tego równania, szczególnie do polepszenia korelacji równowag ciecz-ciecz, lecz w dalszym ciągu największą elastyczność posiada jego podstawowa forma.

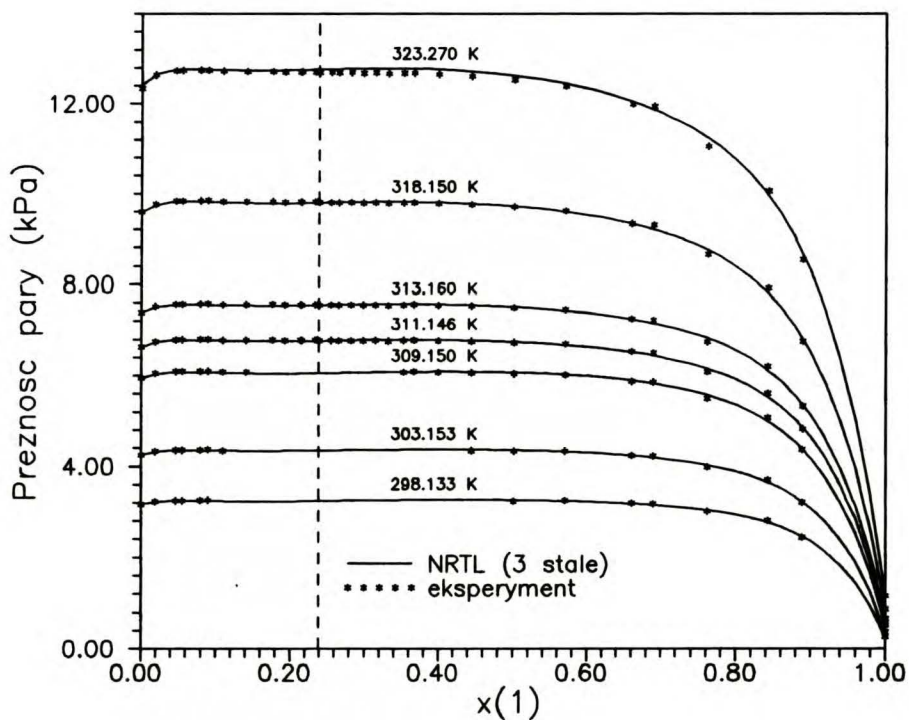
W tablicach VII-1 i VII-2 przedstawione są numeryczne rezultaty korelacji dla wspomnianych 7 izoterm za pomocą równań odpowiednio Redlicha-Kistera i NRTL z dobieralnymi trzema parametrami. Korelację równaniem NRTL graficznie prezentuje rysunek VII-3.

Z izoterm, w których występują dwie fazy ciekłe z korelacji usunięte zostały punkty, które tylko nominalnie reprezentują swoje składy. W rzeczywistości składy te są równe składom współistniejących faz. Punkty w tablicy VI-8 zaznaczone kursywą zostały właśnie usunięte z korelacji jako znajdujące się w obszarze dwufazowym.

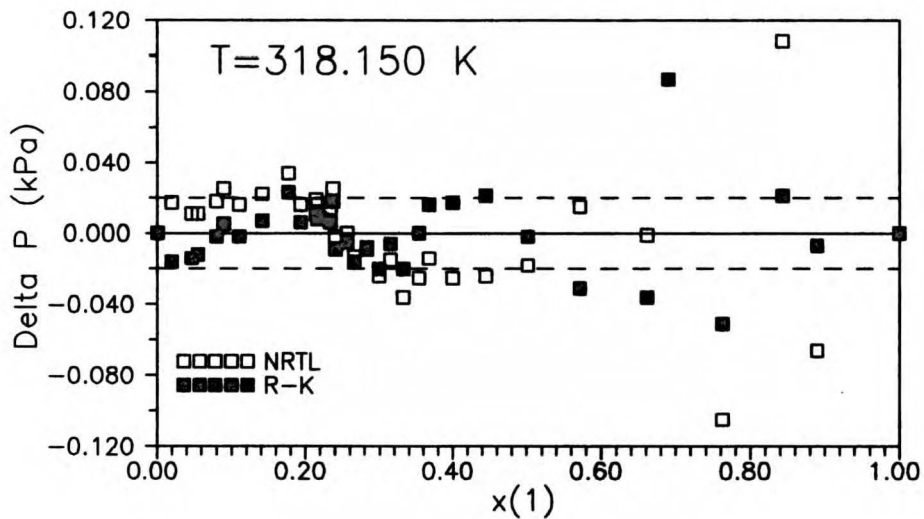
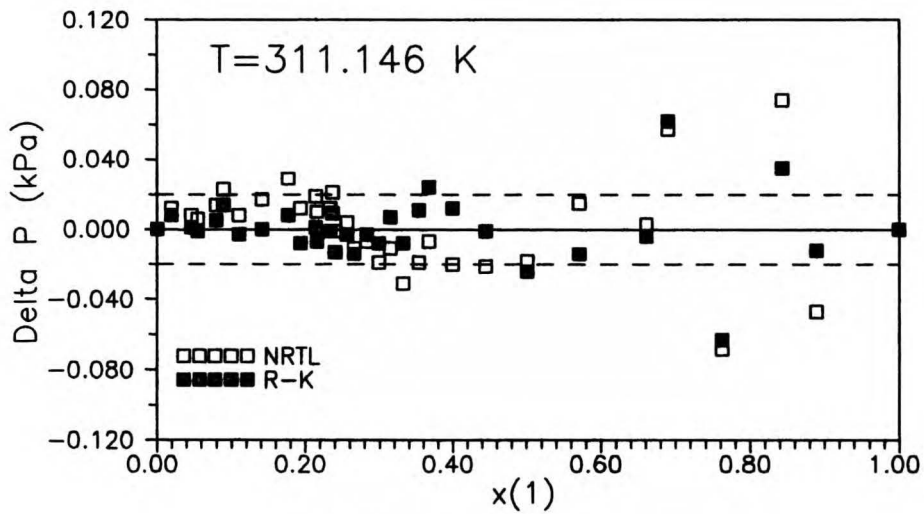
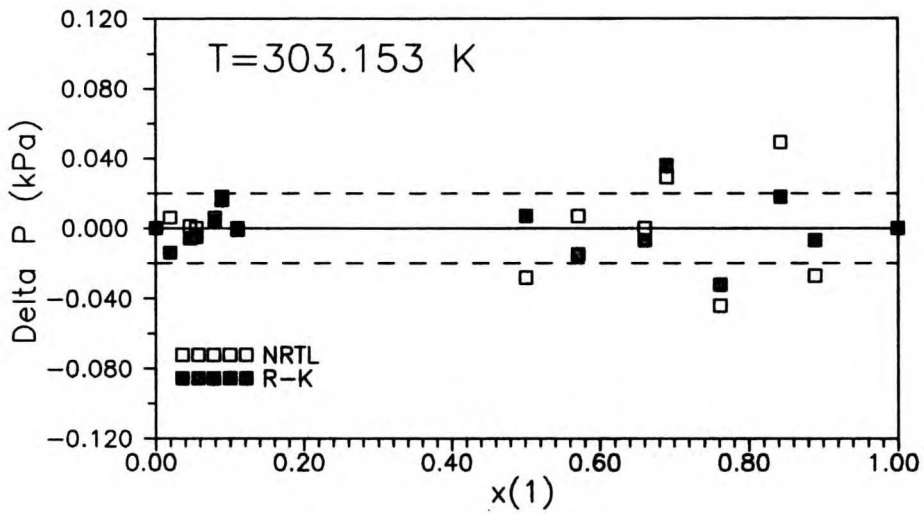
Dla trzech reprezentatywnych korelacji na rysunku VII-4 przedstawione są bezwzględne odchylenia obliczonych ciśnień w kPa. Linia przerywaną zaznaczono estymowany z warunków przygotowania i prowadzenia pomiarów błąd równy 20 Pa. Jak widać, rozrzuty przekraczające znacząco tę wielkość występują dla stężeń większych od 0.5 ułamka molowego 3-MOPN. W zakresie tym składy roztworu tworzone są z małych naważek wody, natomiast całkowite ciśnienie nad roztworem zdeterminowane jest właściwie prężnością cząstkową wody. Nawet niewielki błąd ważenia czy też przemrażania w tym przypadku może spowodować przesunięcie w składzie rzeczywistym powodujący pozornie błąd w pomiarze ciśnienia.



Rys.VII-2. Wybrane izotermy równowagi cieczech-para. Korelacja równaniem Redlicha-Kistera.



Rys.VII-3. Wybrane izotermy równowagi cieczech-para. Korelacja równaniem NRTL.



Rys.VII-4. Bezwzględne odchylenia ciśnienia obliczonego od zmierzonego dla trzech izoterm.

Ponadto, dla wyższych temperatur występuje pewna systematyczność błędów i to bez względu na równanie korelacyjne, co pośrednio potwierdza powyższe wnioskowanie.

Tablica VII-1.

Wyniki korelacji równowagi ciecz-para układu {3-MOPN(1) + woda(2)} za pomocą równania Redlicha-Kistera dla wybranych izoterm.

Tablica VII-1a.

Temperatura 298.133 K						
R-K	współcz.	$\sigma$				
A(1)	2.36161	0.00410	RMSD = 0.021 [kPa]			
A(2)	0.22853	0.00923	$\chi^2 = 1.17$			
A(3)	0.42858	0.01713				
A(4)	0.16984	0.02433				
A(5)	0.12251	0.02942				
$x_1$	$y_1^{obl.}$	$P_{exp}$ [kPa]	$\Delta P$ [kPa]	$\gamma_1$	$\gamma_2$	$G^E$ [J/mol]
0.0000	0.0000	3.167	0.000	27.415	1.000	0.0
0.0191	0.0329	3.223	0.002	20.893	1.003	150.2
0.0464	0.0563	3.240	-0.006	14.827	1.014	343.5
0.0551	0.0605	3.243	-0.005	13.427	1.020	400.2
0.0799	0.0678	3.248	0.001	10.367	1.039	550.0
0.0897	0.0694	3.258	0.012	9.445	1.048	604.6
luka mieszalności						
0.5009	0.0696	3.237	-0.015	1.702	1.914	1463.2
0.5710	0.0704	3.250	0.015	1.501	2.213	1419.2
0.6604	0.0721	3.190	0.000	1.310	2.752	1294.2
0.6893	0.0730	3.181	0.017	1.260	2.981	1236.8
0.7618	0.0767	3.014	-0.040	1.157	3.739	1054.5
0.8424	0.0864	2.814	0.037	1.073	5.083	782.7
0.8886	0.0995	2.445	-0.016	1.039	6.284	590.8
1.0000	1.0000	.264	0.000	1.000	12.358	0.0



Tablica VII-1b.

Temperatura 303.153 K						
R-K	współcz.	$\sigma$				
A(1)	2.29695	0.01062	RMSD = 0.020 [kPa]			
A(2)	0.25623	0.02053	$\chi^2 = 0.989$			
A(3)	0.06273	0.07311				
A(4)	-0.36378	0.10079				
A(5)	0.37003	0.08377				
A(6)	0.94093	0.16925				
$x_1$	$y_1^{obl.}$	Pexp [kPa]	$\Delta P$ [kPa]	$\gamma_1$	$\gamma_2$	$G^E$ [J/mol]
0.0000	0.0000	4.248	0.000	35.272	1.000	0.0
0.0191	0.0345	4.322	-0.014	21.504	1.005	159.1
0.0464	0.0490	4.349	-0.006	12.631	1.022	350.0
0.0551	0.0508	4.350	-0.005	11.041	1.030	403.5
0.0799	0.0541	4.355	0.004	8.090	1.053	540.9
0.0897	0.0550	4.365	0.016	7.333	1.063	589.9
0.1102	0.0571	4.341	-0.000	6.181	1.083	684.6
luka mieszalności						
0.5010	0.0701	4.332	0.007	1.662	1.897	1447.0
0.5710	0.0693	4.333	-0.015	1.450	2.220	1397.2
0.6605	0.0720	4.241	-0.007	1.273	2.733	1262.6
0.6894	0.0735	4.228	0.036	1.229	2.943	1203.0
0.7619	0.0779	3.990	-0.032	1.131	3.667	1016.4
0.8425	0.0870	3.704	0.018	1.047	5.031	738.3
0.8887	0.1020	3.207	-0.007	1.016	6.106	542.1
1.0000	1.0000	.361	0.000	1.000	6.661	0.0

Tablica VII-1c.

Temperatura 309.150 K						
R-K	współcz.	$\sigma$	RMSD = 0.023 [kPa]			
A(1)	2.24638	0.01348	$\chi^2 = 1.305$			
A(2)	0.31120	0.01757				
A(3)	0.24255	0.03784				
A(4)	0.23297	0.06902				
A(5)	0.72062	0.16008				
A(6)	0.24335	0.09006				
A(7)	-0.87400	0.22831				
$x_1$	$y_1^{obl.}$	$P_{exp}$ [kPa]	$\Delta P$ [kPa]	$\gamma_1$	$\gamma_2$	$G^E$ [J/mol]
0.0000	0.0000	5.948	0.000	22.716	1.000	0.0
0.0191	0.0317	6.052	0.017	19.275	1.002	149.4
0.0464	0.0581	6.091	0.003	14.655	1.011	347.2
0.0551	0.0629	6.093	-0.001	13.377	1.016	405.9
0.0799	0.0704	6.098	0.003	10.327	1.035	561.4
0.0897	0.0716	6.105	0.012	9.352	1.045	617.9
0.1102	0.0722	6.083	-0.009	7.675	1.068	727.6
0.1414	0.0707	6.084	-0.016	5.865	1.110	873.2
luka mieszalności						
0.3534	0.0683	6.084	-0.014	2.266	1.477	1391.8
0.3672	0.0686	6.096	0.007	2.188	1.507	1406.0
0.3996	0.0692	6.081	0.009	2.022	1.583	1431.8
0.4447	0.0696	6.072	0.013	1.824	1.707	1449.8
0.5011	0.0696	6.049	-0.010	1.619	1.900	1443.1
0.5712	0.0700	6.024	-0.016	1.424	2.202	1389.2
0.6606	0.0730	5.878	-0.013	1.252	2.705	1250.3
0.6896	0.0747	5.858	0.052	1.209	2.910	1188.9
0.7621	0.0798	5.497	-0.042	1.116	3.602	998.7
0.8427	0.0897	5.073	0.021	1.034	4.915	716.7
0.8889	0.1061	4.370	-0.007	1.005	5.921	518.4
1.0000	1.0000	.520	0.000	1.000	4.702	0.0

Tablica VII-1d.

Temperatura 311.146 K						
R-K	współcz.	$\sigma$				
A(1)	2.25431	0.01002	RMSD = 0.021 [kPa]			
A(2)	0.30055	0.01512	$\chi^2 = 1.138$			
A(3)	0.29476	0.02739				
A(4)	0.07663	0.03143				
A(5)	0.36630	0.08314				
A(6)	0.30800	0.07196				
A(7)	-0.37534	0.12242				
$x_1$	$y_1^{obl.}$	$P_{exp}$ [kPa]				
0.0000	0.0000	6.630	0.000	25.160	1.000	0.0
0.0191	0.0326	6.747	0.008	19.430	1.002	152.9
0.0464	0.0560	6.792	0.001	13.846	1.014	349.7
0.0551	0.0601	6.794	-0.001	12.530	1.019	407.3
0.0799	0.0670	6.799	0.005	9.635	1.039	559.1
0.0897	0.0685	6.805	0.014	8.762	1.048	614.2
0.1102	0.0701	6.783	-0.003	7.296	1.070	721.4
0.1414	0.0707	6.783	0.000	5.733	1.107	865.0
0.1769	0.0705	6.793	0.008	4.572	1.156	1003.3
0.1933	0.0704	6.778	-0.008	4.178	1.179	1059.3
0.2139	0.0703	6.788	0.001	3.771	1.211	1123.2
0.2159	0.0703	6.780	-0.007	3.736	1.214	1129.1
0.2335	0.0703	6.786	-0.001	3.455	1.242	1177.9
0.2369	0.0703	6.796	0.009	3.405	1.247	1186.8
0.2399	0.0703	6.774	-0.013	3.363	1.252	1194.6
0.2556	0.0704	6.783	-0.003	3.159	1.278	1233.0
0.2656	0.0704	6.771	-0.014	3.042	1.295	1255.7
0.2824	0.0706	6.779	-0.003	2.865	1.325	1291.0
0.2987	0.0707	6.771	-0.008	2.712	1.355	1321.9
0.3148	0.0708	6.783	0.007	2.577	1.386	1349.3
0.3322	0.0710	6.765	-0.008	2.445	1.421	1375.5
0.3534	0.0711	6.780	0.011	2.301	1.467	1402.7
0.3672	0.0711	6.792	0.024	2.216	1.498	1417.7
0.3996	0.0712	6.777	0.012	2.038	1.578	1444.8
0.4448	0.0712	6.765	-0.001	1.831	1.707	1463.8
0.5011	0.0713	6.737	-0.024	1.626	1.898	1457.5
0.5712	0.0723	6.701	-0.014	1.436	2.191	1405.0
0.6607	0.0756	6.531	-0.004	1.265	2.685	1268.9
0.6897	0.0773	6.508	0.062	1.221	2.891	1208.4
0.7622	0.0824	6.096	-0.063	1.126	3.585	1019.5
0.8428	0.0932	5.614	0.035	1.045	4.856	739.4
0.8890	0.1100	4.827	-0.012	1.015	5.856	542.7
1.0000	1.0000	.585	0.000	1.000	6.391	0.0

Tablica VII-1e.

Temperatura 313.160 K						
R-K	współcz.	$\sigma$	RMSD = 0.024 [kPa]			
A(1)	2.24302	0.00714	$\chi^2 = 1.414$			
A(2)	0.30459	0.01074				
A(3)	0.29545	0.01809				
A(4)	0.07640	0.02565				
A(5)	0.35810	0.05559				
A(6)	0.30627	0.05315				
A(7)	-0.36947	0.07890				
$x_1$	$y_1^{obl.}$	$P_{exp}$ [kPa]	$\Delta P$ [kPa]	$\gamma_1$	$\gamma_2$	$G^E$ [J/mol]
0.0000	0.0000	7.387	0.000	24.888	1.000	0.0
0.0191	0.0326	7.517	0.008	19.232	1.002	153.3
0.0464	0.0560	7.568	0.001	13.718	1.014	350.7
0.0551	0.0602	7.570	-0.001	12.418	1.019	408.5
0.0799	0.0672	7.575	0.005	9.557	1.039	560.8
0.0897	0.0686	7.581	0.014	8.693	1.048	616.1
0.1102	0.0703	7.560	-0.001	7.243	1.069	723.5
0.1414	0.0710	7.558	0.001	5.695	1.107	867.5
0.1769	0.0708	7.568	0.009	4.544	1.155	1006.1
0.1933	0.0707	7.552	-0.008	4.153	1.179	1062.2
0.2139	0.0706	7.561	-0.000	3.749	1.210	1126.3
0.2159	0.0706	7.554	-0.008	3.714	1.213	1132.1
0.2335	0.0706	7.559	-0.002	3.435	1.241	1181.1
0.2369	0.0706	7.570	0.009	3.386	1.246	1190.0
0.2399	0.0707	7.547	-0.014	3.344	1.251	1197.7
0.2556	0.0707	7.555	-0.005	3.141	1.277	1236.2
0.2656	0.0708	7.544	-0.014	3.025	1.294	1259.0
0.2824	0.0709	7.552	-0.003	2.849	1.324	1294.3
0.2987	0.0710	7.544	-0.008	2.697	1.354	1325.1
0.3148	0.0712	7.556	0.008	2.563	1.385	1352.5
0.3322	0.0713	7.538	-0.006	2.432	1.420	1378.6
0.3535	0.0715	7.552	0.012	2.289	1.466	1405.9
0.3672	0.0715	7.563	0.025	2.205	1.497	1420.7
0.3996	0.0716	7.547	0.013	2.028	1.577	1447.6
0.4448	0.0717	7.532	-0.001	1.822	1.705	1466.3
0.5012	0.0719	7.498	-0.026	1.620	1.895	1459.6
0.5713	0.0730	7.450	-0.016	1.432	2.186	1406.4
0.6608	0.0765	7.252	-0.005	1.262	2.675	1269.6
0.6897	0.0782	7.226	0.070	1.219	2.878	1209.0
0.7623	0.0835	6.756	-0.071	1.125	3.564	1019.4
0.8429	0.0948	6.209	0.039	1.045	4.814	738.8
0.8891	0.1121	5.328	-0.014	1.015	5.793	541.9
1.0000	1.0000	.658	0.000	1.000	6.295	0.0

Tablica VII-1f.

Temperatura 318.150 K						
R-K	współcz.	$\sigma$				
A(1)	2.15782	0.00713	RMSD = 0.026 [kPa]			
A(2)	0.36916	0.00952	$\chi^2 = 1.705$			
A(3)	0.21760	0.01478				
A(4)	0.34191	0.02728				
A(5)	0.42937	0.04296				
A(6)	-0.39935	0.07045				
A(7)	-0.69756	0.06296				
A(8)	0.96095	0.08322				
$x_1$	$y_1^{obl.}$	$P_{exp}$ [kPa]				
0.0000	0.0000	9.589	0.000	29.368	1.000	0.0
0.0191	0.0344	9.761	-0.016	19.842	1.004	160.4
0.0464	0.0543	9.829	-0.014	12.964	1.018	359.3
0.0551	0.0577	9.834	-0.012	11.600	1.024	416.5
0.0799	0.0638	9.839	-0.002	8.844	1.044	565.9
0.0897	0.0653	9.841	0.005	8.063	1.053	619.9
0.1102	0.0675	9.822	-0.002	6.781	1.074	725.0
0.1414	0.0693	9.816	0.007	5.415	1.109	866.2
0.1769	0.0699	9.824	0.023	4.364	1.155	1002.9
0.1933	0.0700	9.807	0.006	3.995	1.178	1058.2
0.2139	0.0698	9.814	0.011	3.605	1.210	1121.2
0.2159	0.0698	9.811	0.008	3.571	1.213	1126.9
0.2335	0.0697	9.813	0.006	3.297	1.241	1174.8
0.2369	0.0697	9.825	0.018	3.248	1.247	1183.5
0.2399	0.0696	9.799	-0.009	3.207	1.252	1191.0
0.2557	0.0695	9.806	-0.005	3.005	1.279	1228.5
0.2656	0.0695	9.796	-0.016	2.891	1.296	1250.2
0.2824	0.0694	9.805	-0.009	2.718	1.327	1283.9
0.2987	0.0694	9.793	-0.020	2.570	1.358	1313.1
0.3148	0.0695	9.805	-0.006	2.440	1.389	1338.7
0.3322	0.0696	9.786	-0.020	2.315	1.425	1362.8
0.3535	0.0699	9.797	-0.000	2.181	1.470	1387.6
0.3672	0.0700	9.806	0.016	2.103	1.500	1400.8
0.3997	0.0705	9.787	0.017	1.940	1.577	1424.2
0.4449	0.0710	9.762	0.021	1.751	1.700	1438.3
0.5013	0.0715	9.710	-0.002	1.560	1.886	1426.3
0.5714	0.0724	9.622	-0.031	1.377	2.179	1366.1
0.6610	0.0759	9.340	-0.036	1.214	2.665	1218.1
0.6900	0.0780	9.303	0.087	1.174	2.859	1153.7
0.7625	0.0845	8.655	-0.051	1.088	3.501	957.0
0.8431	0.0955	7.916	0.021	1.010	4.749	668.6
0.8894	0.1142	6.758	-0.007	.983	5.655	465.9
1.0000	1.0000	.875	0.000	1.000	2.304	0.0

Tablica VII-1g.

Temperatura 323.270 K						
R-K	współcz.	$\sigma$				
A(1)	2.13134	0.00925	RMSD = 0.034 [kPa]			
A(2)	0.40189	0.01084	$\chi^2 = 2.840$			
A(3)	0.21898	0.01776				
A(4)	0.39536	0.03833				
A(5)	0.41298	0.04564				
A(6)	-0.50511	0.10087				
A(7)	-0.66521	0.07827				
A(8)	1.17643	0.12700				
$x_1$	$y_1^{obl.}$	$P_{exp}$ [kPa]				
0.0000	0.0000	12.339	0.000	35.398	1.000	0.0
0.0191	0.0391	12.641	-0.012	21.914	1.004	170.2
0.0464	0.0573	12.730	-0.017	13.303	1.021	376.4
0.0551	0.0599	12.741	-0.011	11.731	1.028	434.8
0.0799	0.0646	12.746	-0.002	8.719	1.050	586.1
0.0897	0.0658	12.744	0.001	7.906	1.060	640.4
0.1102	0.0676	12.727	-0.004	6.608	1.081	745.5
0.1415	0.0693	12.716	0.004	5.267	1.117	886.6
0.1769	0.0701	12.721	0.023	4.259	1.162	1021.9
0.1933	0.0702	12.702	0.007	3.903	1.186	1076.8
0.2139	0.0702	12.707	0.012	3.527	1.217	1139.2
0.2159	0.0702	12.710	0.014	3.494	1.220	1144.9
0.2335	0.0701	12.705	0.007	3.228	1.248	1192.2
0.2370	0.0701	12.720	0.021	3.180	1.254	1201.1
0.2400	0.0701	12.691	-0.008	3.140	1.259	1208.5
0.2557	0.0700	12.695	-0.007	2.944	1.286	1245.2
0.2656	0.0700	12.688	-0.015	2.833	1.303	1266.6
0.2825	0.0700	12.696	-0.008	2.663	1.334	1299.9
0.2987	0.0700	12.680	-0.023	2.519	1.365	1328.3
0.3148	0.0701	12.689	-0.011	2.392	1.397	1353.1
0.3323	0.0702	12.670	-0.022	2.269	1.432	1376.6
0.3536	0.0705	12.676	-0.003	2.138	1.477	1400.3
0.3673	0.0707	12.682	0.014	2.062	1.508	1412.9
0.3998	0.0712	12.655	0.019	1.904	1.584	1434.6
0.4450	0.0719	12.614	0.027	1.722	1.706	1446.3
0.5014	0.0727	12.537	0.005	1.537	1.889	1431.4
0.5716	0.0738	12.395	-0.041	1.358	2.179	1367.2
0.6612	0.0777	11.995	-0.053	1.200	2.658	1214.0
0.6902	0.0800	11.944	0.118	1.161	2.846	1148.1
0.7628	0.0872	11.055	-0.066	1.078	3.469	947.3
0.8434	0.0992	10.062	0.027	1.002	4.681	655.0
0.8896	0.1193	8.542	-0.008	.976	5.533	450.7
1.0000	1.0000	1.161	0.000	1.000	1.877	0.0

Tablica VII-2.

Wyniki korelacji równowagi ciecz-para układu {3-MOPN(1) + woda(2)} za pomocą równania NRTL z dobieralnymi trzema stałymi dla wybranych izoterm.

Tablica VII-2a.

Temperatura 298.133 K						
NRTL	bezw. wsp.	$\sigma$	RMSD = 0.020 [kPa]			
C(21)	2.46912	0.02736				
C(12)	1.66494	0.01093				
alfa	0.4295	0.0012	$\chi^2 = 1.035$			
$x_1$	$y_1^{obl.}$	$P_{exp}$ [kPa]	$\Delta P$ [kPa]	$\gamma_1$	$\gamma_2$	$G^E$ [J/mol]
0.0000	0.0000	3.167	0.000	26.671	1.000	0.0
0.0191	0.0321	3.223	0.005	20.337	1.003	148.9
0.0464	0.0552	3.240	-0.001	14.517	1.014	340.5
0.0551	0.0595	3.243	-0.000	13.180	1.019	396.8
0.0799	0.0672	3.248	0.006	10.256	1.038	545.7
0.0897	0.0689	3.258	0.017	9.372	1.047	600.2
luka mieszalności						
0.5009	0.0692	3.237	-0.026	1.697	1.922	1464.8
0.5710	0.0701	3.250	0.007	1.498	2.220	1419.8
0.6604	0.0721	3.190	0.002	1.310	2.751	1294.3
0.6893	0.0731	3.181	0.021	1.262	2.977	1237.0
0.7618	0.0770	3.014	-0.033	1.159	3.728	1055.3
0.8424	0.0865	2.814	0.038	1.074	5.081	784.2
0.8886	0.0993	2.445	-0.022	1.039	6.299	592.3
1.0000	1.0000	.264	0.000	1.000	12.430	0.0

Tablica VII-2b.

Temperatura 303.153 K						
NRTL	bezw. wsp.	$\sigma$	RMSD = 0.025 [kPa]			
C(21)	2.45989	0.01988				
C(12)	1.62811	0.00819	$\chi^2 = 1.500$			
alfa	0.4336	0.0009				
$x_1$	$y_1^{obl.}$	Pexp [kPa]	$\Delta P$ [kPa]	$\gamma_1$	$\gamma_2$	$G^E$ [J/mol]
0.0000	0.0000	4.248	0.000	26.143	1.000	0.0
0.0191	0.0321	4.322	0.006	19.925	1.003	150.4
0.0464	0.0552	4.349	0.001	14.221	1.014	343.8
0.0551	0.0595	4.350	-0.000	12.911	1.019	400.6
0.0799	0.0672	4.355	0.006	10.050	1.038	550.8
0.0897	0.0690	4.365	0.018	9.185	1.046	605.6
0.1102	0.0713	4.341	-0.001	7.722	1.067	712.8
luka mieszalności						
0.5010	0.0703	4.332	-0.028	1.681	1.912	1471.6
0.5710	0.0714	4.333	0.007	1.487	2.204	1425.4
0.6605	0.0738	4.241	-0.000	1.303	2.724	1298.1
0.6894	0.0750	4.228	0.029	1.255	2.944	1240.2
0.7619	0.0793	3.990	-0.044	1.155	3.672	1057.1
0.8425	0.0898	3.704	0.049	1.072	4.972	784.6
0.8887	0.1035	3.207	-0.027	1.038	6.135	592.0
1.0000	1.0000	.361	0.000	1.000	11.879	0.0



Tablica VII-2c.

Temperatura 309.150 K						
NRTL	bezw. wsp.	$\sigma$				
C(21)	2.37800	0.00894				RMSD = 0.035 [kPa]
C(12)	1.53179	0.00548				$\chi^2 = 3.051$
alfa	0.4305	0.0007				
$x_1$	$y_1^{obl.}$	$P_{exp}$ [kPa]	$\Delta P$ [kPa]	$\gamma_1$	$\gamma_2$	$G^E$ [J/mol]
0.0000	0.0000	5.948	0.000	23.850	1.000	0.0
0.0191	0.0305	6.052	0.020	18.510	1.002	149.3
0.0464	0.0535	6.091	0.019	13.475	1.013	342.2
0.0551	0.0580	6.093	0.019	12.297	1.018	399.0
0.0799	0.0663	6.098	0.027	9.686	1.036	549.5
0.0897	0.0683	6.105	0.037	8.887	1.044	604.6
0.1102	0.0711	6.083	0.023	7.520	1.064	712.5
0.1414	0.0730	6.084	0.033	6.011	1.098	858.9
luka mieszalności						
0.3534	0.0711	6.084	-0.006	2.357	1.471	1419.9
0.3672	0.0710	6.096	0.004	2.266	1.504	1435.5
0.3996	0.0709	6.081	-0.016	2.079	1.586	1463.8
0.4447	0.0709	6.072	-0.024	1.869	1.715	1484.4
0.5011	0.0713	6.049	-0.032	1.664	1.903	1480.8
0.5712	0.0724	6.024	-0.011	1.470	2.195	1432.5
0.6606	0.0750	5.878	-0.031	1.290	2.708	1301.5
0.6896	0.0763	5.858	0.014	1.243	2.924	1242.0
0.7621	0.0813	5.497	-0.091	1.146	3.628	1055.3
0.8427	0.0934	5.073	0.064	1.067	4.854	779.8
0.8889	0.1089	4.370	-0.021	1.035	5.921	586.5
1.0000	1.0000	.520	0.000	1.000	10.894	0.0

Tablica VII-2d.

Temperature: 311.146 K						
NRTL	bezw. wsp.	$\sigma$				
C(21)	2.42638	0.00582				RMSD = 0.027 [kPa]
C(12)	1.57257	0.00523				$\chi^2 = 1.869$
alfa	0.4406	.0006				
$x_1$	$y_1^{obl.}$	$P_{exp}$ [kPa]	$\Delta P$ [kPa]	$\gamma_1$	$\gamma_2$	$G^E$ [J/mol]
0.0000	0.0000	6.630	0.000	24.850	1.000	0.0
0.0191	0.0319	6.747	0.012	18.997	1.003	151.9
0.0464	0.0551	6.792	0.008	13.611	1.014	347.3
0.0551	0.0594	6.794	0.006	12.372	1.019	404.6
0.0799	0.0673	6.799	0.014	9.660	1.037	556.1
0.0897	0.0692	6.805	0.023	8.839	1.046	611.4
0.1102	0.0717	6.783	0.008	7.447	1.066	719.5
0.1414	0.0733	6.783	0.017	5.927	1.101	865.6
0.1769	0.0735	6.793	0.029	4.754	1.148	1007.9
0.1933	0.0734	6.778	0.012	4.344	1.172	1065.8
0.2139	0.0731	6.788	0.019	3.913	1.204	1132.1
0.2159	0.0731	6.780	0.010	3.876	1.207	1138.1
0.2335	0.0729	6.786	0.012	3.573	1.236	1188.8
0.2369	0.0728	6.796	0.021	3.520	1.241	1198.1
0.2399	0.0728	6.774	-0.001	3.474	1.246	1206.1
0.2556	0.0725	6.783	0.004	3.252	1.274	1245.9
0.2656	0.0724	6.771	-0.011	3.125	1.292	1269.5
0.2824	0.0722	6.779	-0.007	2.932	1.323	1306.0
0.2987	0.0720	6.771	-0.019	2.767	1.355	1337.8
0.3148	0.0719	6.783	-0.011	2.622	1.388	1365.9
0.3322	0.0718	6.765	-0.031	2.482	1.425	1392.7
0.3534	0.0717	6.780	-0.019	2.331	1.472	1420.5
0.3672	0.0717	6.792	-0.007	2.243	1.504	1435.8
0.3996	0.0717	6.777	-0.020	2.062	1.585	1463.5
0.4448	0.0720	6.765	-0.021	1.857	1.711	1483.6
0.5011	0.0728	6.737	-0.018	1.658	1.894	1479.9
0.5712	0.0743	6.701	0.015	1.470	2.177	1432.2
0.6607	0.0774	6.531	0.003	1.292	2.677	1302.6
0.6897	0.0788	6.508	0.057	1.246	2.889	1243.7
0.7622	0.0839	6.096	-0.068	1.149	3.582	1058.6
0.8428	0.0960	5.614	0.074	1.069	4.807	784.2
0.8890	0.1114	4.827	-0.047	1.036	5.888	590.7
1.0000	1.0000	.585	0.000	1.000	11.085	0.0

Tablica VII-2e.

Temperature: 313.160 K						
NRTL	bezw. wsp.	$\sigma$				
C(21)	2.42243	0.00524				RMSD = 0.030 [kPa]
C(12)	1.55633	0.00469				$\chi^2 = 2.246$
alfa	0.4422	0.0005				
$x_1$	$y_1^{obl.}$	$P_{exp}$ [kPa]	$\Delta P$ [kPa]	$\gamma_1$	$\gamma_2$	$G^E$ [J/mol]
0.0000	0.0000	7.387	0.000	24.641	1.000	0.0
0.0191	0.0319	7.517	0.013	18.836	1.003	152.5
0.0464	0.0552	7.568	0.009	13.497	1.014	348.5
0.0551	0.0595	7.570	0.007	12.269	1.019	406.0
0.0799	0.0674	7.575	0.014	9.580	1.037	557.9
0.0897	0.0693	7.581	0.024	8.767	1.046	613.4
0.1102	0.0718	7.560	0.011	7.388	1.066	721.7
0.1414	0.0735	7.558	0.018	5.882	1.101	868.2
0.1769	0.0738	7.568	0.031	4.720	1.148	1010.7
0.1933	0.0737	7.552	0.013	4.313	1.172	1068.7
0.2139	0.0734	7.561	0.019	3.887	1.203	1135.0
0.2159	0.0734	7.554	0.011	3.850	1.207	1141.1
0.2335	0.0731	7.559	0.012	3.550	1.235	1191.9
0.2369	0.0731	7.570	0.022	3.497	1.241	1201.1
0.2399	0.0731	7.547	-0.001	3.452	1.246	1209.2
0.2556	0.0728	7.555	0.002	3.232	1.273	1249.0
0.2656	0.0727	7.544	-0.011	3.106	1.291	1272.5
0.2824	0.0725	7.552	-0.008	2.915	1.323	1309.0
0.2987	0.0724	7.544	-0.020	2.751	1.354	1340.8
0.3148	0.0722	7.556	-0.011	2.607	1.387	1368.9
0.3322	0.0721	7.538	-0.032	2.468	1.424	1395.6
0.3535	0.0721	7.552	-0.020	2.318	1.471	1423.5
0.3672	0.0721	7.563	-0.009	2.231	1.503	1438.6
0.3996	0.0722	7.547	-0.021	2.052	1.583	1466.2
0.4448	0.0725	7.532	-0.022	1.849	1.708	1486.0
0.5012	0.0734	7.498	-0.019	1.652	1.890	1481.9
0.5713	0.0750	7.450	0.015	1.465	2.172	1433.6
0.6608	0.0782	7.252	0.002	1.289	2.667	1303.2
0.6897	0.0797	7.226	0.064	1.243	2.876	1244.3
0.7623	0.0851	6.756	-0.077	1.147	3.561	1058.4
0.8429	0.0977	6.209	0.083	1.068	4.765	783.4
0.8891	0.1136	5.328	-0.052	1.036	5.825	589.8
1.0000	1.0000	.658	0.000	1.000	10.872	0.0

Tablica VII-2f.

Temperatura 318.150 K						
NRTL	bezw. wsp.	$\sigma$				
C(21)	2.41685	0.00408		RMSD = 0.038		[kPa]
C(12)	1.51684	0.00361				
alfa	0.4463	0.0004		$\chi^2 = 3.722$		
$x_1$	$y_1^{obl.}$	$P_{exp}$ [kPa]	$\Delta P$ [kPa]	$\gamma_1$	$\gamma_2$	$G^E$ [J/mol]
0.0000	0.0000	9.589	0.000	24.232	1.000	0.0
0.0191	0.0322	9.761	0.017	18.504	1.003	154.1
0.0464	0.0556	9.829	0.011	13.247	1.014	351.8
0.0551	0.0600	9.834	0.011	12.040	1.019	409.8
0.0799	0.0679	9.839	0.018	9.400	1.037	562.9
0.0897	0.0698	9.841	0.025	8.602	1.046	618.8
0.1102	0.0723	9.822	0.016	7.250	1.066	727.8
0.1414	0.0740	9.816	0.022	5.774	1.101	875.1
0.1769	0.0744	9.824	0.034	4.637	1.148	1018.2
0.1933	0.0743	9.807	0.016	4.239	1.172	1076.3
0.2139	0.0741	9.814	0.019	3.822	1.203	1142.8
0.2159	0.0741	9.811	0.016	3.786	1.206	1148.9
0.2335	0.0739	9.813	0.014	3.492	1.235	1199.7
0.2369	0.0738	9.825	0.025	3.440	1.240	1209.0
0.2399	0.0738	9.799	-0.002	3.396	1.245	1217.0
0.2557	0.0736	9.806	0.000	3.180	1.273	1257.1
0.2656	0.0735	9.796	-0.013	3.058	1.290	1280.4
0.2824	0.0734	9.805	-0.008	2.871	1.321	1316.8
0.2987	0.0732	9.793	-0.024	2.711	1.353	1348.5
0.3148	0.0732	9.805	-0.015	2.570	1.385	1376.4
0.3322	0.0731	9.786	-0.036	2.434	1.422	1403.0
0.3535	0.0731	9.797	-0.025	2.287	1.468	1430.7
0.3672	0.0731	9.806	-0.014	2.203	1.500	1445.6
0.3997	0.0733	9.787	-0.025	2.027	1.579	1472.8
0.4449	0.0738	9.762	-0.024	1.829	1.703	1491.9
0.5013	0.0748	9.710	-0.018	1.636	1.882	1486.7
0.5714	0.0767	9.622	0.015	1.453	2.158	1437.0
0.6610	0.0805	9.340	-0.001	1.281	2.642	1304.6
0.6900	0.0821	9.303	0.087	1.236	2.846	1244.8
0.7625	0.0882	8.655	-0.105	1.143	3.508	1057.7
0.8431	0.1019	7.916	0.108	1.066	4.663	781.6
0.8894	0.1191	6.758	-0.066	1.034	5.673	587.2
1.0000	1.0000	.875	0.000	1.000	10.368	0.0

Tablica VII-2g.

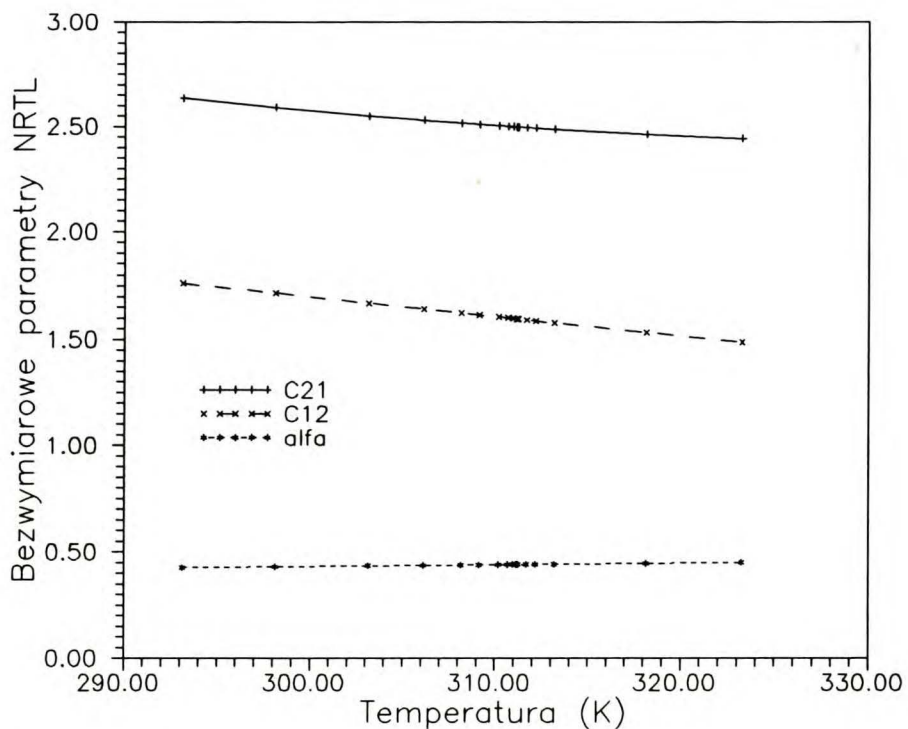
Temperature: 323.270 K						
NRTL	bezw. wsp.	$\sigma$	RMSD = 0.057 [kPa]			
C(21)	2.49050	0.00334	$\chi^2 = 8.263$			
C(12)	1.49419	0.00282				
alfa	0.4508	0.0003				
$x_1$	$y_1^{obl.}$	$P_{exp}$ [kPa]	$\Delta P$ [kPa]	$\gamma_1$	$\gamma_2$	$G^E$ [J/mol]
0.0000	0.0000	12.339	0.000	25.852	1.000	0.0
0.0191	0.0348	12.641	0.066	19.379	1.003	159.4
0.0464	0.0588	12.730	0.043	13.601	1.015	362.9
0.0551	0.0631	12.741	0.044	12.300	1.020	422.4
0.0799	0.0706	12.746	0.047	9.492	1.039	578.9
0.0897	0.0723	12.744	0.050	8.654	1.048	635.8
0.1102	0.0744	12.727	0.043	7.248	1.069	746.6
0.1415	0.0756	12.716	0.042	5.730	1.106	896.0
0.1769	0.0756	12.721	0.046	4.582	1.153	1039.6
0.1933	0.0754	12.702	0.023	4.183	1.178	1097.9
0.2139	0.0750	12.707	0.021	3.767	1.210	1164.4
0.2159	0.0750	12.710	0.023	3.731	1.213	1170.5
0.2335	0.0747	12.705	0.010	3.439	1.242	1221.2
0.2370	0.0747	12.720	0.024	3.386	1.248	1230.6
0.2400	0.0746	12.691	-0.006	3.342	1.253	1238.6
0.2557	0.0744	12.695	-0.009	3.130	1.280	1278.2
0.2656	0.0743	12.688	-0.020	3.010	1.298	1301.3
0.2825	0.0742	12.696	-0.018	2.825	1.329	1337.5
0.2987	0.0741	12.680	-0.038	2.668	1.361	1368.5
0.3148	0.0740	12.689	-0.032	2.530	1.393	1396.0
0.3323	0.0740	12.670	-0.052	2.396	1.430	1422.2
0.3536	0.0740	12.676	-0.044	2.253	1.477	1449.0
0.3673	0.0741	12.682	-0.034	2.170	1.508	1463.5
0.3998	0.0744	12.655	-0.044	1.999	1.587	1489.5
0.4450	0.0751	12.614	-0.041	1.807	1.709	1506.8
0.5014	0.0764	12.537	-0.024	1.619	1.886	1499.3
0.5716	0.0787	12.395	0.019	1.441	2.157	1446.8
0.6612	0.0830	11.995	0.005	1.274	2.630	1311.2
0.6902	0.0849	11.944	0.131	1.231	2.828	1250.5
0.7628	0.0916	11.055	-0.130	1.139	3.473	1060.9
0.8434	0.1065	10.062	0.143	1.064	4.589	782.7
0.8896	0.1249	8.542	-0.102	1.033	5.558	587.7
1.0000	1.0000	1.161	0.000	1.000	10.020	0.0

Tablica VII-3.

Wartości stałych równania NRTL na podstawie oddzielnych korelacji danych VLE poszczególnych izoterm.

T/K	$\alpha$	$\tau_{21}$	$\tau_{12}$
293.150	0.4270	2.63568	1.76228
298.133	0.4295	2.46912	1.66494
303.153	0.4336	2.45989	1.62811
306.144	0.4371	2.53021	1.64203
308.180	0.4387	2.51673	1.62307
309.150	0.4305	2.37800	1.53179
310.176	0.4402	2.50448	1.60460
310.679	0.4407	2.50147	1.60026
310.943	0.4408	2.49971	1.59750
311.122	0.4410	2.49884	1.59561
311.146	*0.4406	2.42638	1.57257
311.241	0.4411	2.49817	1.59474
311.678	0.4414	2.49580	1.59089
312.177	0.4418	2.49329	1.58677
313.160	0.4422	2.42243	1.55633
318.150	0.4463	2.41685	1.51684
323.270	0.4508	2.49050	1.49419

Izotemę krytyczną zaznaczono gwiazdką.



Rys.VII-5. Stałe równania NRTL w funkcji temperatury na podstawie korelacji VLE.

Uzyskane z korelacji parametry dla wszystkich (16) izoterm układają się liniowo w funkcji temperatury. Przedstawia to rysunek VII-5., a numeryczne wartości (bez wariancji) zestawione są w tabelicy VII-3.

#### VII-4 KORELACJE RÓWNOWAG CIECZ-CIECZ

Do korelacji równowag ciecz-ciecz użyto tylko własnych danych (Łuszczak, 1988), wygładzonych równaniem V-3. Korelacja polegała na znalezieniu stałych równania NRTL, LEMF i UNIQUAC ze składów równowagowych dla poszczególnych (9) temperatur. Stałe równań korelacyjnych znajdowano z rozwiązania układu równań VII-2, w których obie funkcje zdefiniowane są następująco:

$$F_i = \ln \frac{x_i'}{x_i'^s} - \ln \frac{\gamma_i'}{\gamma_i'^s} \quad i=1,2 \quad \text{VII-13}$$

gdzie ' i ' ' oznaczają wielkości w poszczególnych fazach. Taka forma zapisu ma tę zaletę, że w procesie iteracyjnym obliczany jest tylko składnik zawierający współczynniki aktywności. W przypadku równania NRTL konieczne było założenie trzeciego parametru. Przyjęto  $\alpha = 0.441$ , wartość zbliżoną do uzyskanej dla izotermy krytycznej w korelacjach VLE (zaznaczona gwiazdką w tabelicy VII-3), a jednocześnie jeszcze dająca rozwiązanie warunków VII-14. Według pracy Mettelina i Verhoeve (1975) istnieje pewna graniczna wartość, powyżej której nie można uzyskać rozwiązania warunku krytycznego. Wyniki korelacji przedstawia rysunek VII-6 natomiast w tabelicy VII-4 przedstawione są wyniki numeryczne w postaci bezwymiarowych stałych dla poszczególnych temperatur oraz sumy absolutnych wartości funkcji VII-13. Podane są również składy współistniejących faz.

Tablica VII-4 zawiera również stałe (oznaczone gwiazdką) obliczone na podstawie składu mieszaniny w punkcie krytycznym oraz warunku stanu krytycznego w układzie ciekłym.

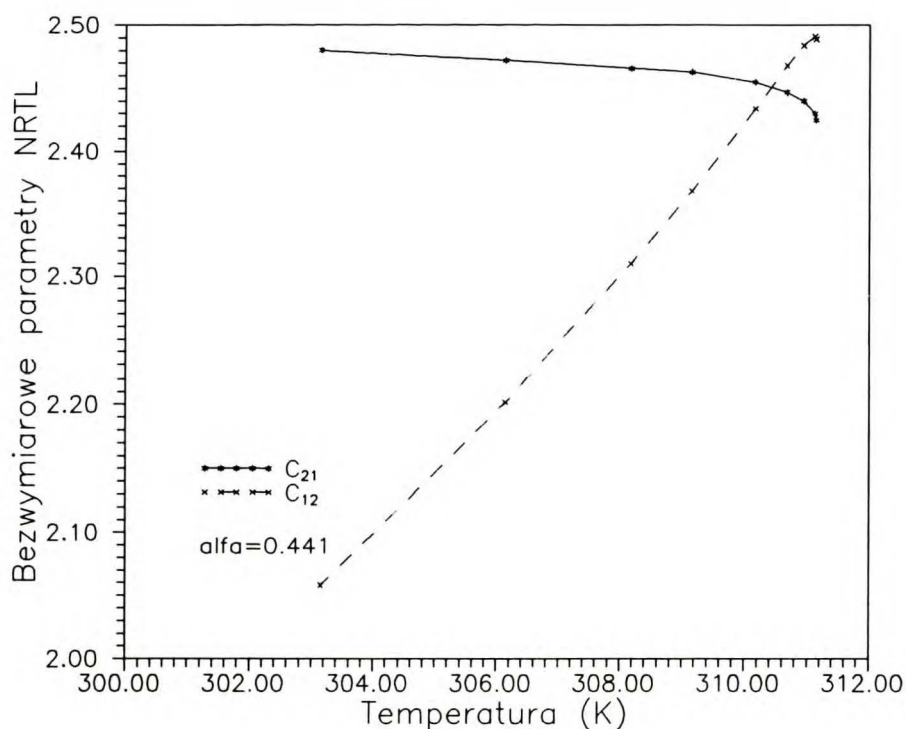
$$\frac{\partial^2 G^M}{\partial x^2} = 0, \quad \frac{\partial^3 G^M}{\partial x^3} = 0 \quad \text{VII-14}$$

W załączniku C podane są *explicite* wzory na powyższe pochodne wyprowadzone z obu modeli.

Tablica VII-4.

Wartości bezwymiarowych parametrów NRTL ( $\alpha = 0.441$ ) wyznaczonych z korelacji równowag ciec-z-ciecz.

T/K	$x'_1$	$x''_1$	$\tau_{21}$	$\tau_{12}$	$\sum F_1$
311.143	*0.2392		2.42524	2.48881	0.88E-15
311.122	0.2181	0.2603	2.42966	2.49118	0.55E-16
310.943	0.1959	0.2851	2.44013	2.48413	0.13E-15
310.679	0.1833	0.3018	2.44742	2.46813	0.83E-16
310.176	0.1702	0.3228	2.45491	2.43428	0.30E-15
309.150	0.1556	0.3525	2.46254	2.36778	0.11E-15
308.180	0.1470	0.3742	2.46648	2.31001	0.16E-15
306.144	0.1349	0.4105	2.47209	2.20209	0.55E-16
303.153	0.1225	0.4518	2.48047	2.05762	0.44E-15



Rys.VII-6. Zależność temperaturowa stałych NRTL na podstawie izoterm równowagi ciec-z-ciecz obliczonych dla stałej wartości parametru  $\alpha = 0.441$ .

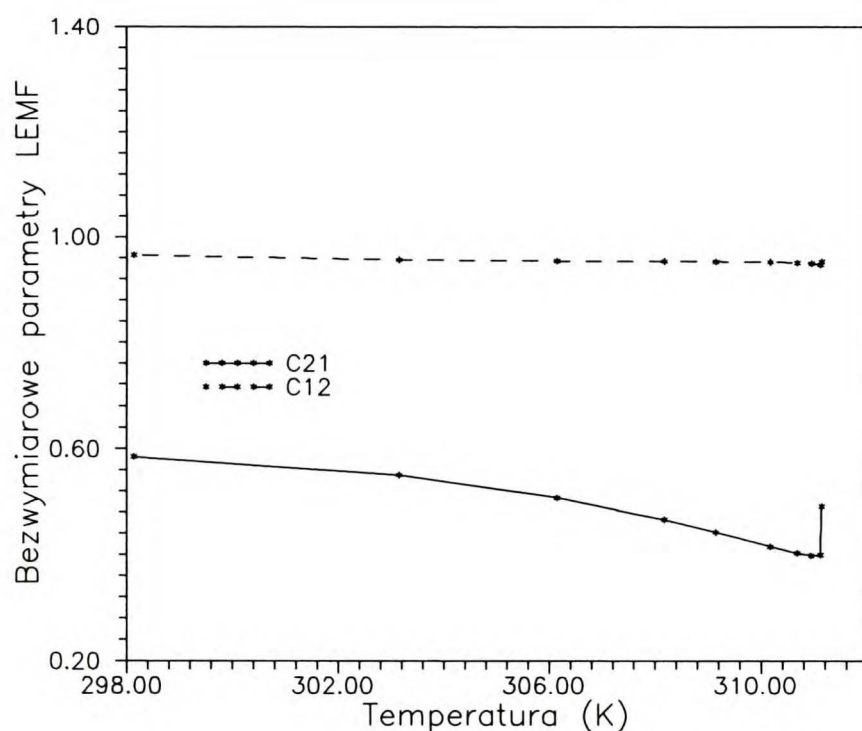


Podobne obliczenia przeprowadzono również dla oryginalnego ( $\alpha = -1$ ) modelu LEMF i UNIQUAC, a rezultaty przedstawione są, odpowiednio, w tablicach VII-5 i VII-6 oraz na rysunku VII-7 i VII-8. Również tutaj stałe wyznaczone z warunku VII-14 oznaczone są gwiazdką.

Tablica VII-5.

Parametry równania LEMF ( $\alpha = -1$ ) uzyskane z korelacji LLE.

T/K	$\tau_{21}$	$\tau_{12}$	$\sum F_1$
311.143	0.491942 *	0.952995	-0.70E-14
311.122	0.399375	0.946886	0.90E-16
310.943	0.398737	0.949333	0.28E-16
310.679	0.403290	0.950866	0.11E-15
310.176	0.415829	0.952176	0.00
309.150	0.442763	0.953104	0.22E-15
308.180	0.466450	0.953374	0.00
306.144	0.507893	0.953865	0.22E-15
303.153	0.550764	0.955862	0.22E-15
298.133	0.585127	0.964927	0.00

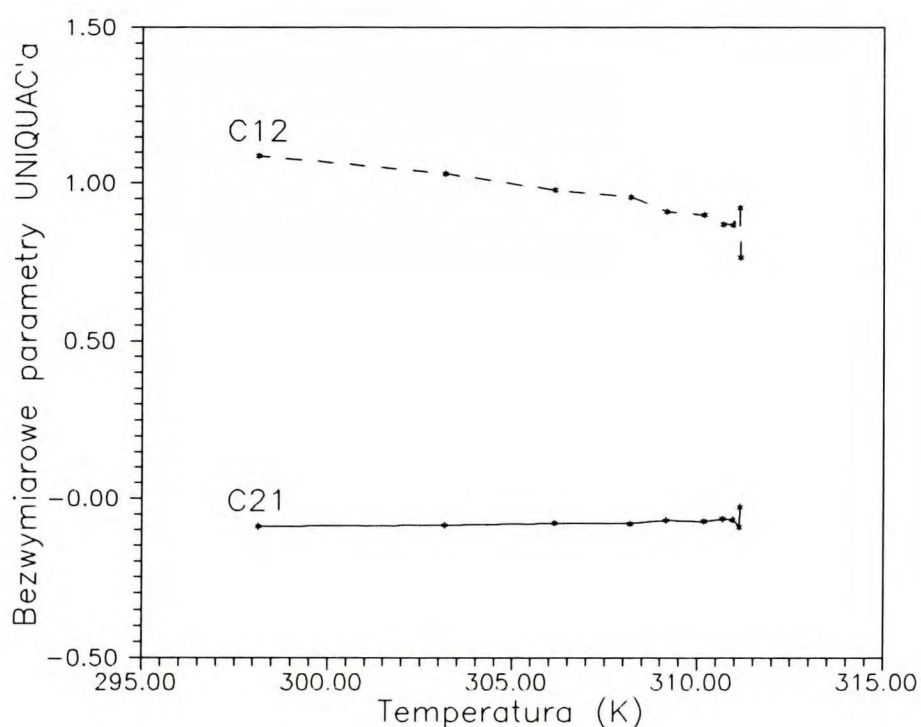


Rys.VII-7. Zależność temperaturowa stałych LEMF uzyskane z korelacji danych LLE.

Tablica VII-6.

Parametry równania UNIQUAC uzyskane z korelacji danych LLE.

T/K	$\tau_{21}$	$\tau_{12}$	$\sum F_1$
311.143	*-0.270897E-01	0.763430	0.40E-14
311.122	-0.901275E-01	0.920260	0.39E-15
310.943	-0.673363E-01	0.866509	0.71E-15
310.679	-0.647758E-01	0.868672	0.53E-15
310.176	-0.723780E-01	0.898278	0.42E-15
309.150	-0.690049E-01	0.909081	0.94E-15
308.180	-0.800659E-01	0.954949	0.56E-15
306.144	-0.786705E-01	0.977011	0.22E-15
303.153	-0.850637E-01	1.03033	0.78E-15
298.133	-0.892212E-01	1.08829	0.33E-15



Rys.VII-8. Zależność temperaturowa parametrów równania UNIQUAC na podstawie korelacji równowagi ciecz-ciecz.

Ponieważ dysponowano również prężnościami pary nad roztworami dwufazowymi możliwe było wyznaczenie na podstawie tych danych parametru  $\alpha$  równania NRTL. Jako trzecią funkcję układu równań VII-9 zastosowano:

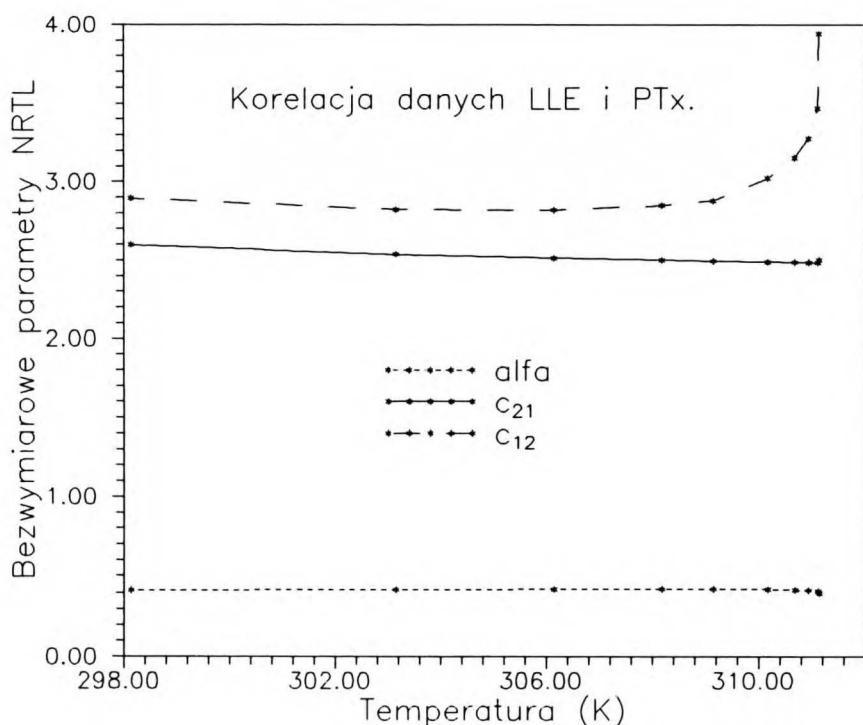
$$F_3 = P_{\text{eksp}} - P(A_{\text{NRTL}}) \quad \text{VII-15}$$

gdzie  $A_{\text{NRTL}}$  jest zbiorem parametrów NRTL.

Tablica VII-7.

Wartości bezwymiarowych paramerów NRTL wyznaczonych z korelacji równowag ciec-ciecz i prężności pary nad roztworem dwufazowym (korelacja LLE+VP1).

T/K	P/[kPa]	$x'_1$	$\alpha$	$\tau_{21}$	$\tau_{12}$	$\sum F_i$
311.143	*6.780	0.2392	0.3979	2.50283	3.93739	-0.76E-09
311.122	6.765	0.2181	0.4095	2.48417	3.52049	0.85E-11
310.943	6.700	0.1959	0.4217	2.49950	3.19839	0.67E-07
310.679	6.605	0.1833	0.4223	2.49653	3.13529	0.46E-12
310.176	6.427	0.1702	0.4217	2.48935	3.05992	0.21E-09
309.150	6.076	0.1556	0.4302	2.50400	2.76841	0.72E-08
308.180	5.761	0.1470	0.4288	2.50699	2.73300	0.61E-07
306.144	5.144	0.1349	0.4258	2.51037	2.66511	0.75E-08
303.153	4.341	0.1225	0.4236	2.54227	2.75001	0.17E-08
298.133	3.238	0.1046	0.4067	2.58357	3.22234	0.18E-10



Rys. VII-9. Zależność temperaturowa stałych równania NRTL uzyskana ze wspólnej korelacji danych LLE i prężności pary nad luką mieszalności (VP1).

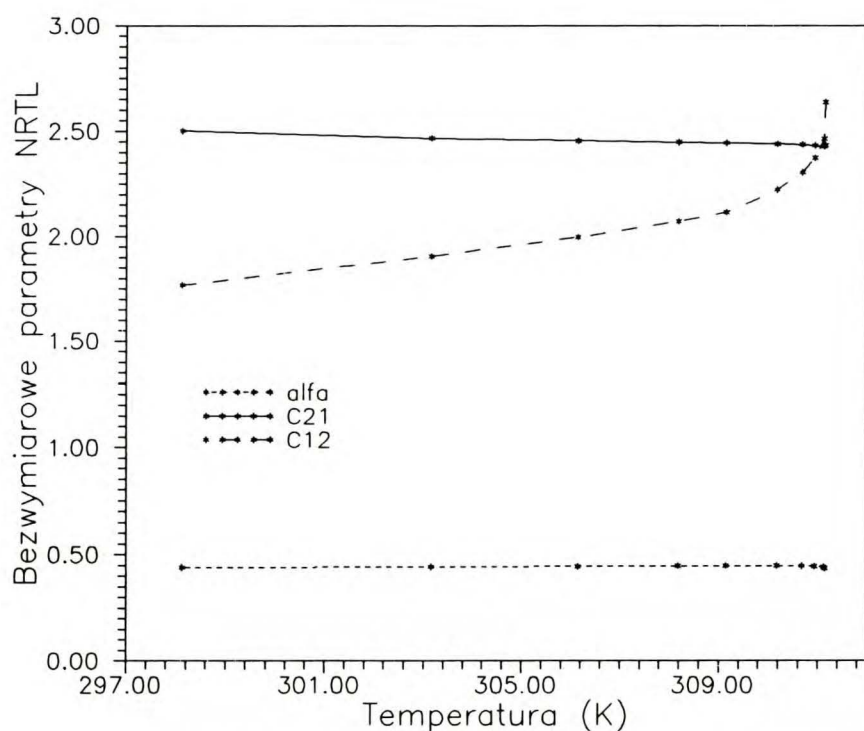
Rysunek VII-9 i VII-10 przedstawia zależność temperaturową uzyskanych parametrów, natomiast tablica VII-7 i VII-8 ich wartości numeryczne oraz, podobnie jak w tablicy VII-4, sumę absolutnych wartości minimalizowanych funkcji. Podane są również użyte do korelacji składy faz oraz

odpowiadające im ciśnienia. Są to wartości średnie z pomiarów w obszarze dwufazowym.

Tablica VII-8.

Wartości bezwymiarowych parametrów NRTL uzyskanych z korelacji równowagi ciecz-ciecz i prężności pary nad roztworem dwufazowym (korelacja LLE+VP2).

T/K	P[kPa]	$x'_1$	$\alpha$	$\tau_{21}$	$\tau_{12}$	$\sum F_1$
311.143	*6.780	0.2392	0.43646	2.43458	2.63707	0.53E-14
311.122	6.765	0.2603	0.44183	2.42789	2.46381	0.95E-15
310.943	6.700	0.2851	0.44428	2.43285	2.37370	0.10E-14
310.679	6.605	0.3018	0.44576	2.43649	2.30500	0.19E-15
310.176	6.427	0.3228	0.44698	2.44040	2.22334	0.56E-16
309.150	6.076	0.3525	0.44769	2.44438	2.11582	0.94E-15
308.180	5.761	0.3742	0.44695	2.44874	2.07281	0.11E-15
306.144	5.144	0.4105	0.44542	2.45556	1.99762	0.89E-15
303.153	4.341	0.4518	0.44333	2.46683	1.90695	0.10E-14
298.133	3.238	0.5034	0.43995	2.50227	1.76845	0.00



Rys.VII-10. Rezultaty korelacji LLE+VP2 dla drugiej gałęzi krzywej współistnienia za pomocą równania NRTL.

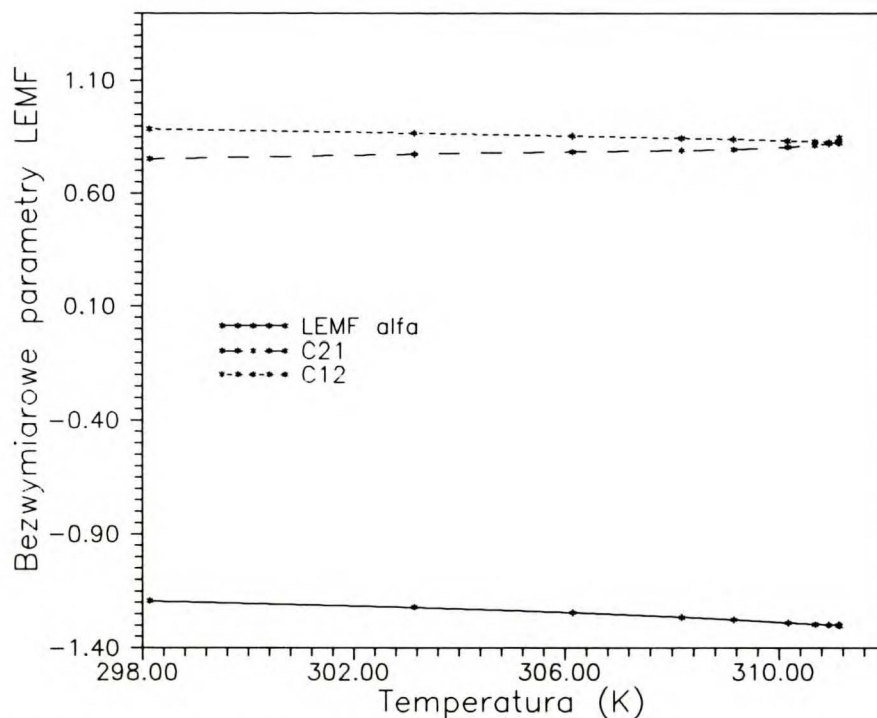
Rezultaty z tablicy VII-7 uzyskane zostały z wykorzystaniem składów równowagowych lewej (VP1) gałęzi krzywej współistnienia (3 kolumna). Po-

dobne korelacje zostały przeprowadzone dla prawej (VP2) gałęzi krzywej używając tych samych ciśnień całkowitych. Rezultaty zawarte są w tabelicy VII-8 i na rysunku VII-10.

Tablica VII-9.

Parametry równania LEMF uzyskane korelacji LLE i VP1.

T/K	$\alpha$	$\tau_{21}$	$\tau_{12}$	$\sum F_i$
311.143	-1.3011	0.849105	0.826579	0.89E-15
311.122	-1.2983	0.832230	0.827947	0.97E-15
310.943	-1.2982	0.822390	0.829727	0.14E-15
310.679	-1.2958	0.814991	0.831855	0.83E-16
310.176	-1.2894	0.806399	0.835494	0.89E-15
309.150	-1.2753	0.795124	0.842079	0.10E-14
308.180	-1.2643	0.791503	0.847049	0.11E-15
306.144	-1.2438	0.784580	0.856249	0.28E-15
303.153	-1.2198	0.774362	0.867950	0.22E-15
298.133	-1.1921	0.752558	0.886420	0.56E-15



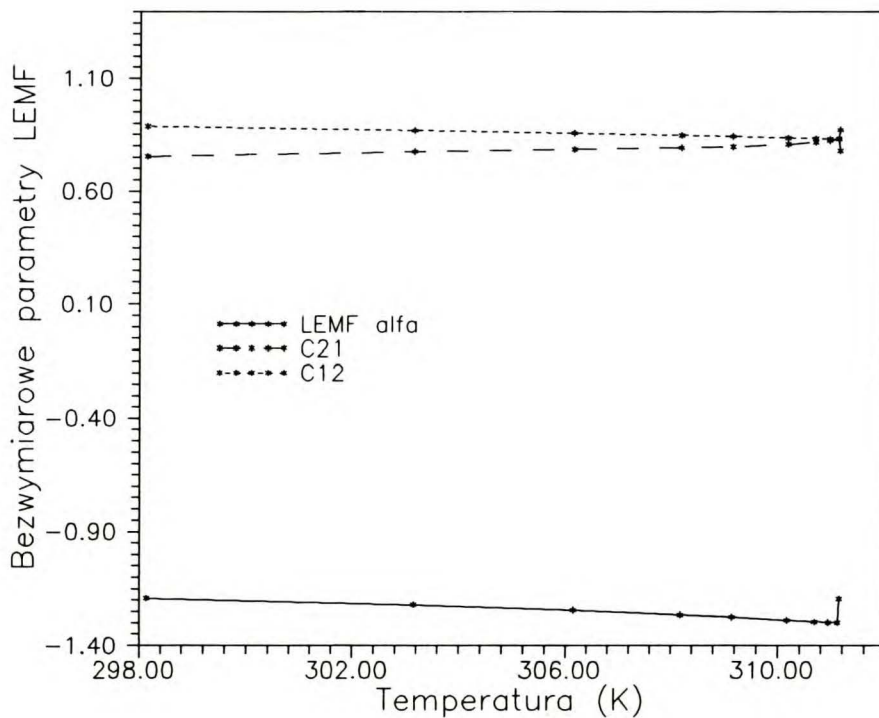
Rys.VII-11. Zależność temperaturowa stałych LEMF uzyskana z korelacji LLE+VP1.

Podobnie jak dla modelu NRTL, wspólne korelacje LLE+VP1 i LLE+VP2 przeprowadzono dla modelu LEMF. Należy przypomnieć o umownym znaczeniu nazwy LEMF, która oznacza dobieranie ujemnej wartości parametru  $\alpha$ .

Tablica VII-10.

Parametry równania LEMF uzyskane z korelacji LLE+VP2

T/K	$\alpha$	$\tau_{21}$	$\tau_{12}$	$\sum F_1$
311.143	-1.1944	0.779073	0.870382	0.63E-14
311.122	-1.2983	0.832230	0.827947	0.99E-15
310.943	-1.2982	0.822390	0.829727	0.14E-15
310.679	-1.2958	0.814991	0.831855	0.97E-15
310.176	-1.2894	0.806399	0.835494	0.56E-16
309.150	-1.2753	0.795124	0.842079	0.11E-15
308.180	-1.2643	0.791503	0.847049	0.94E-15
306.144	-1.2438	0.784580	0.856249	0.89E-15
303.153	-1.2198	0.774362	0.867950	0.10E-14
298.133	-1.1921	0.752558	0.886420	0.44E-15



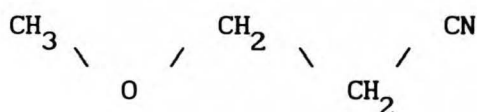
Rys.VII-12. Zależność temperaturowa stałych LEMF uzyskana z korelacji LLE+VP2.

## VIII DYSKUSJA I WNIOSKI

Przed omówieniem wyników korelacji, w celu uzyskania pełniejszego obrazu badanego układu, omówione zostaną właściwości fizykochemiczne czystego 3-metoksypropionitrylu i jego zachowanie się w układach dwuskładnikowych. W dalszej części rozdziału omówione są, poza wnioskami wynikającymi z korelacji, inne aspekty wyników tej pracy. Wobec bogatego materiału doświadczalnego dostępnego w tej pracy możliwe jest przedyskutowanie zagadnienia zależności ciśnienia od składu w otoczeniu punktu krytycznego, czy też wpływu poprawki do nadmiarowej entalpii Gibbsa związanej z występowaniem objętości nadmiarowej.

### VII.1. 3-METOKSYPROPIONITRYL

3-metoksypropionitryl (3-MOPN,  $C_4H_7NO$ , CAS index: [110-67-8]) jest rozpuszczalnikiem dwufunkcyjnym, zawierającym grupę eterową i nitrylową, należący do tzw. rozpuszczalników aprotycznych takich jak np. N-metylopirolidon (NMP) czy dwumetyloformamid (DMF). Jego struktura chemiczna jest następująca:



Lowe i Kewley (1976) na podstawie widm MMR stwierdzili, że 3-MOPN jako ciecz w przeważającej ilości występuje w postaci izomeru *trans*-. Posiada duży moment dipolowy (3.47 D) wynikający z obecności grupy nitrylowej. Temperatura wrzenia (ok. 438 K) wskazuje na znaczne oddziaływania międzycząsteczkowe. Obecność grupy nitrylowej prawdopodobnie powoduje tworzenie w fazie ciekłej dimerów powstałych przez antyrównoległe ułożenie się grup, analogicznie do stwierdzonych w innych nitrylach. Związek ten dobrze rozpuszcza się w alkoholach, acetonie, niskocząsteczkowych nitrylach, jak również w węglowodorach aromatycznych (Antosik, 1991). W nas-

yconych węglowodorach łańcuchowych i cyklicznych (Antosik i wsp., 1990b) jak również w węglowodorach posiadających elektrony  $\pi$  wykazuje ograniczoną rozpuszczalność z tym, że obecność wiązań podwójnych znacznie obniża temperaturę krytyczną mieszalności (Łuszczuk i Stryjek, 1984a). Z tego względu jest potencjalnym rozpuszczalnikiem w destylacji ekstrakcyjnej. (Davis i Makin, 1969; Łuszczuk i Stryjek, 1978; Stryjek i Łuszczuk, 1978a).

## VII-2 KORELACJE VLE I LLE

Głównym celem pomiaru równowagi ciecż-para, a następnie jej korelacji, szczególnie, gdy uzyskujemy w czasie pomiarów niepełne dane równowagowe PTx, jest:

- obliczenie pełnej równowagi dla eksperymentalnego ciśnienia czy temperatury;
- na podstawie uzyskanych wyników przewidzenie zachowania się układu w innych warunkach PTx.

Pierwsza część zadania jest stosunkowo prosta; polega na doborze odpowiedniego równania korelacyjnego, takiego aby pozwoliło odtworzyć zmierzone wielkości z zadaną dokładnością (błędem). Wtedy, gdy zmierzone wielkości nie są odtwarzane należycie, konieczne jest poszukanie innego, bardziej adekwatnego równania.

Rozwiązanie drugiego zagadnienia jest o wiele trudniejsze. Wymaga zastosowania równania opartego na pewnych, choćby półempirycznych, podstawach teorii stanu ciekłego. Jego parametry powinny posiadać określoną przynajmniej zależność od temperatury. W literaturze występuje wiele równań spełniających bardziej lub mniej taki warunek lecz chyba najpopularniejsze są, omawiane w rozdziale VII, równania NRTL i UNIQUAC (Lafytis i wsp., 1989).

Najczęściej problem korelacji ciecż-ciecż i ciecż-para rozpatrywane były rozdzielnie. Próby wspólnego ich traktowania pojawiły się wraz z równaniem NRTL, a praktycznym przykładem jest program NRTLb z książki Renona i wsp. (1971). Niestety, brak było danych LLE i VLE pokrywających ten sam zakres temperatur w całym zakresie stężeń. Z konieczności więc



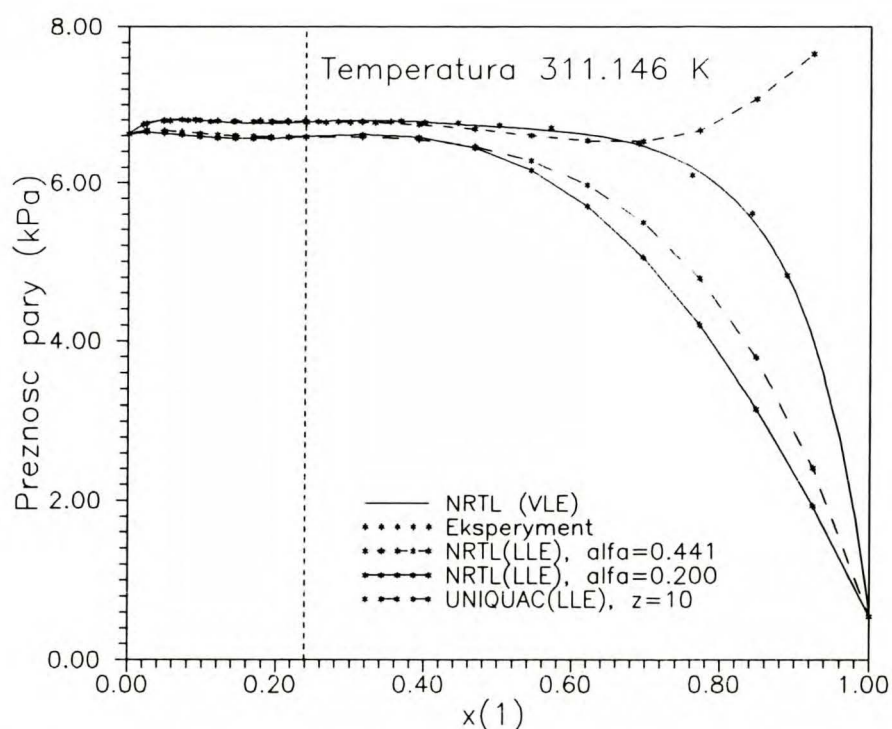
można było badać własności równania NRTL i jego zdolność korelacyjną na ograniczonych zbiorach danych, takich jak częściowe dane VLE, graniczne współczynniki aktywności czy entalpie mieszania.

W latach 80-tych Łuszczuk i Stryjek (1981) próbowali uzyskać konsekwentny opis równowagi VLE i LLE dla układów węglowodory  $\{C_5(1) + 3\text{-MOPN}(2)\}$ . Na podstawie badań literaturowych oraz własnych można powiedzieć, że równania wyrażające nadmiarową energię Gibbsa oparte na koncepcji stężeń lokalnych mogą być z powodzeniem stosowane do jednoczesnego opisu równowag ciecz-ciecz oraz ciecz-para tylko dla warunków dalekich od stanu krytycznego. W pobliżu tego punktu korelacja prowadzona oddzielnie dla każdego typu równowagi, czy też jednocześnie, prowadzi do wyników niezadowolających. Obliczone prężności pary wykazują przegięcia i minima, natomiast obliczona temperatura krytyczna czy składy współistniejących faz są niezgodne z obserwowanymi doświadczalnie.

Zbadanie diagramów fazowych uzyskanych z równań korelacyjnych przeprowadzone zostało z konieczności dla niewielkiej liczby układów dwuskładnikowych. Dane VLE i LLE uzyskane we wspólnym przedziale temperatur są niezwykle rzadkie, a takich, które uwzględniają jednocześnie punkt krytyczny mieszalności, praktycznie brak. Dysponowano danymi obejmującymi równowagi ciecz-ciecz (Łuszczuk i Stryjek, 1984a) i odpowiadające im ciecz-para (Stryjek i wsp., 1978c) dla układów dwuskładnikowych serii węglowodorów  $C_5 + 3\text{-MOPN}$ . Zbadane zostały luki mieszalności pentanu, izopentanu, 1-pentenu, cis- i trans- 2-pentenu, 2-metylo- i 3-metylobutenu-1 z 3-MOPN. Dysponowano danymi o równowadze ciecz-para dla tych układów w trzech temperaturach: 293, 313 i 333 K. Mimo tego, że dane VLE nie są kompletne, tzn. nie pokrywają całego zakresu stężeń i nie są w bezpośrednim sąsiedztwie punktu krytycznego mieszalności, wykazały pewne prawidłowości w korelacjach przy użyciu wyrażań na  $G^E$  w ich oryginalnych formach.

Skorelowano luki mieszalności równaniem NRTL z liniową temperaturową zależnością stałych. Z uzyskanych parametrów obliczono prężności par, które porównano z prężnościami doświadczalnymi. Okazało się, że im izoterma bliższa temperaturze krytycznej, tym gorsze odwzorowanie ciśnienia eksperymentalnego. Szczególnie jest to dobrze widoczne na przykładzie

izopentanu z 3-MOPN ( $T_c$  ok. 370 K). Izoterma 293 K wykazywała odchylenia rzędu 3 %, a dla 333 K już 15 %. Dla układów z olefinami, których temperatury krytyczne leżą w rejonie 293–318 K odchylenia ciśnienia całkowitego dochodzą do 60 % dla izoterm w 313 K. Jeśli odchylenia odłoży się w funkcji temperatury zredukowanej względem UCST badanych układów, to okazuje się, że leżą na wspólnej krzywej. Świadczy o jednolitym zachowaniu się obliczonych odchyleń, bez względu na układ. Dla wszystkich korelacji używano liniowej zależności parametrów od temperatury. Gdy z danych o rozpuszczalności wyinterpolowano numerycznie programem, opartym na równ. V-3, składy równowagowe, na podstawie których również można obliczyć parametry równania NRTL, to odłożone w funkcji temperatury dawały zależności raczej wykładnicze niż liniowe. W literaturze spotyka się próby zastosowania innych zależności temperaturowych aby poprawić opis krzywej współistnienia, lecz wpływ takiej zmiany na obliczone prężności par lub jednoczesna korelacja LLE i VLE nie były badane.

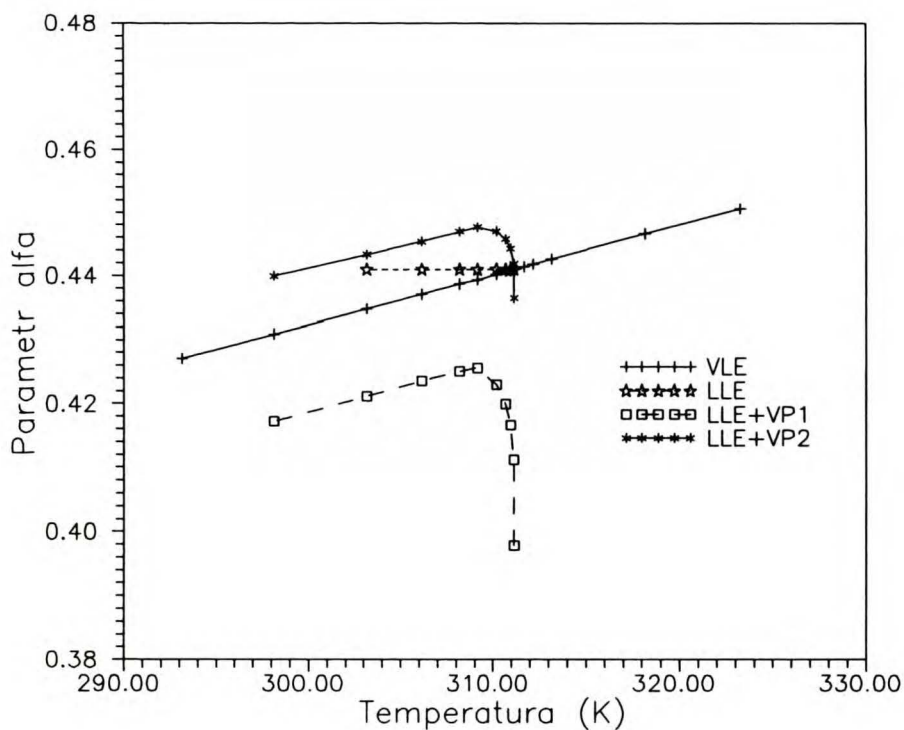


Rys.VIII-1. Porównanie rezultatów korelacji LLE za pomocą różnych modeli z danymi eksperymentalnymi dla izotermy krytycznej.

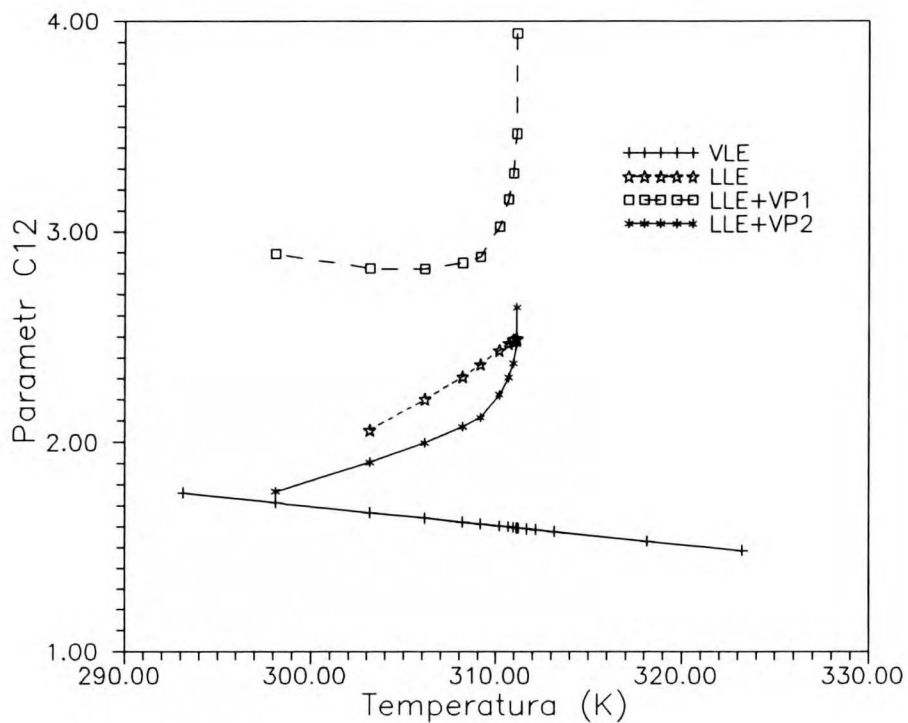
Celem niniejszej pracy było uzyskanie w miarę konsystentnego opisu układu wykazującego niemieszalność. Przeprowadzone obliczenia wykazały,

że zarówno równanie NRTL ze stałą  $\alpha < 0.441$ , jak i UNIQUAC nie są w stanie odtworzyć ciśnienia nad roztworem dwufazowym i w pobliżu UCST z błędem eksperymentalnym. Ilustruje to rysunek VIII-1, na którym przedstawiono porównanie ciśnienia eksperymentalnego z obliczonym wymienionymi równaniami. Parametry energetyczne uzyskane zostały z warunku stanu krytycznego (wzory VII-14). O ile w przypadku równania NRTL istnieje możliwość doboru trzeciego parametru tak, aby obliczone ciśnienie było zgodne z doświadczalnym, to w przypadku równania UNIQUAC, jako modelu dwuparametrowego, takiej możliwości nie ma. Można próbować zmieniać liczbę koordynacyjną  $z$ , lecz jej wpływ na wielkość ciśnienia jest minimalny. Z tego względu model ten nie był szerzej stosowany w tej pracy. Podobnie zachowuje się oryginalne równanie LEMF ( $\alpha = -1$ ), nie przedstawione na rysunku.

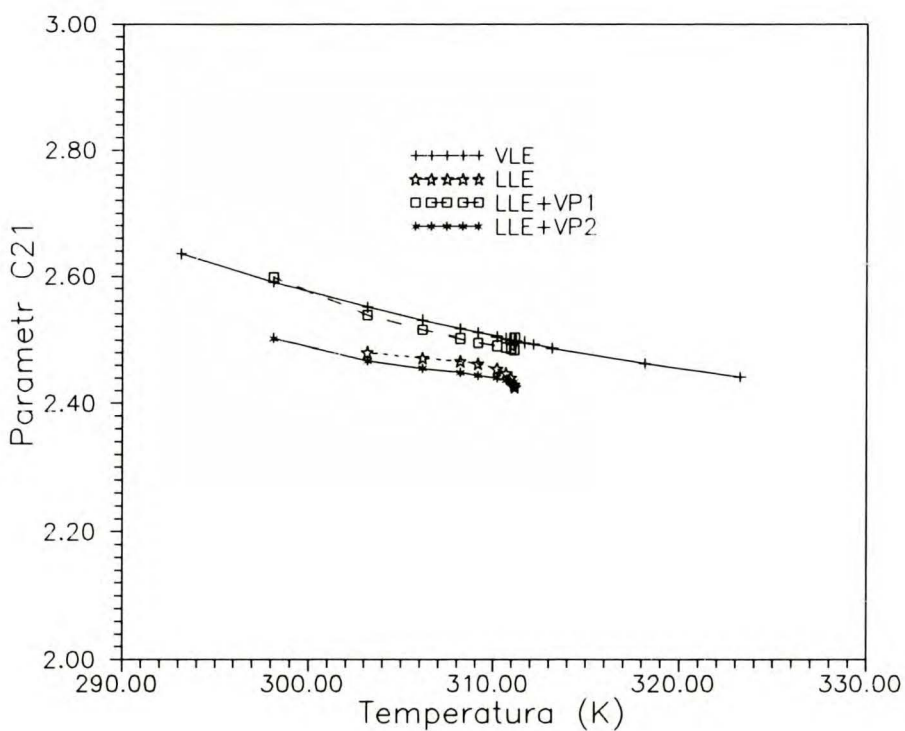
W niniejszej pracy przeprowadzono cztery korelacje równaniem NRTL używając różne zestawy danych w tym samym zakresie temperatur. Uzyskane stałe tego równania zestawione są na wspólnych wykresach dla poszczególnych parametrów na rys. VIII-2 do VIII-4.



Rys. VIII-2. Zestawienie uzyskanych stałych  $\alpha$  równania NRTL z różnych wariantów korelacji.



Rys.VIII-3. Zestawienie uzyskanych stałych C12 równania NRTL z różnych wariantów korelacji.



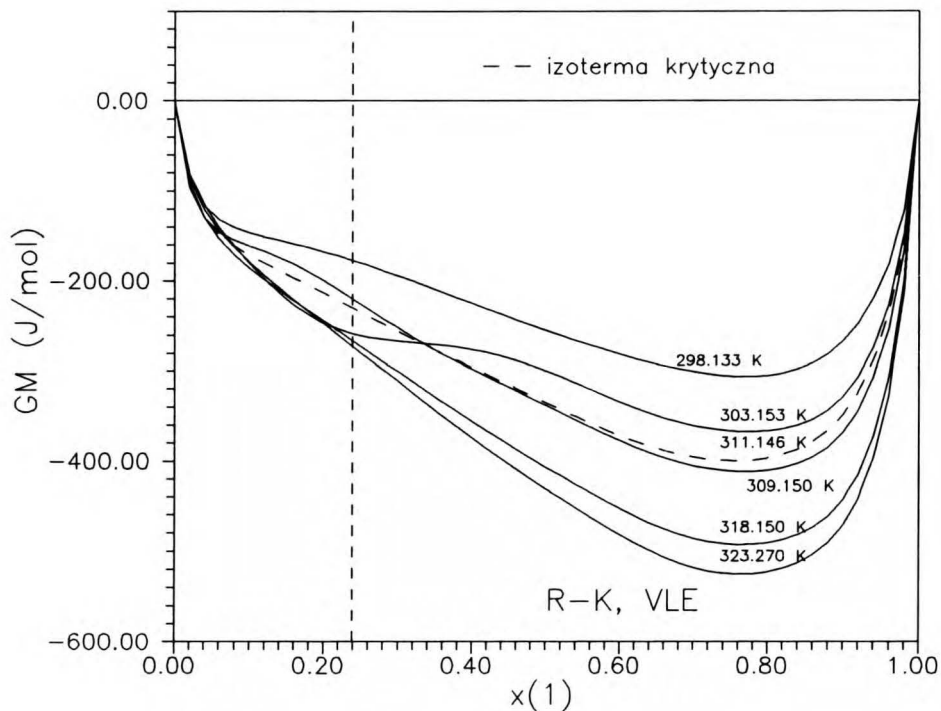
Rys.VIII-4. Zestawienie uzyskanych stałych C21 równania NRTL z różnych wariantów korelacji.

Na przedstawionych rysunkach widać wzajemną konsystencję uzyskanych stałych. Przebieg parametru  $C_{12}$  uzyskanego z korelacji VLE jest co prawda różny niż uzyskanego z korelacji LLE, ale wynika to z zakrzywienia i asymetrii krzywej binodalnej w pobliżu punktu krytycznego. Należy podkreślić, że podczas korelacji równowag cieczech-para do równania korelacyjnego nie jest "przenoszona" informacja o tym czy roztwór jest jedno- czy dwufazowy. Jak powiedziano, ciśnienie ma charakter pola w sensie terminologii Griffiths'a i nie wykazuje żadnych anomalii w otoczeniu punktu krytycznego mieszalności. Przeciwnie jest w przypadku korelacji LLE, gdzie ta informacja przekazywana jest w składach współlistniejących faz.

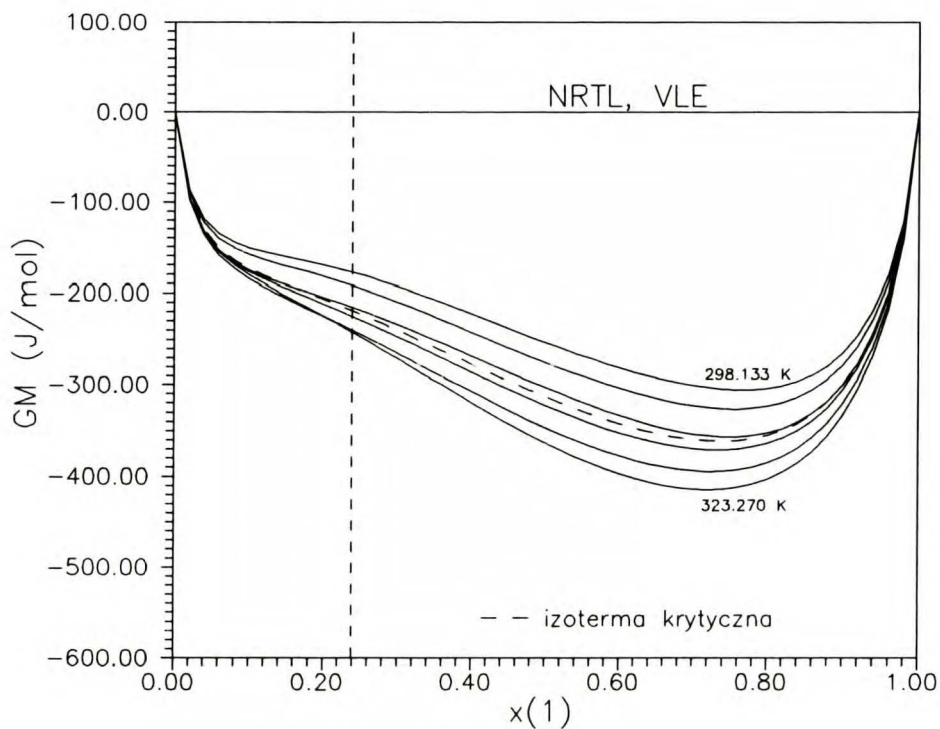
Z punktu widzenia korelacji równowag cieczech-ciecz entalpia swobodna mieszania  $G^M$  jest funkcją dostarczającą najwięcej informacji. Obraz jej przebiegu w funkcji stężenia pozwala ocenić zastosowany do korelacji model. Chociaż przy określaniu parametrów modelu na podstawie danych PTx ciśnienie całkowite stosujemy właściwie jako kryterium ich doboru (poprzez odpowiednie wyrażenia termodynamiczne), to o przydatności konkretnego modelu można sądzić dopiero po dogłębnej analizie innych wielkości termodynamicznych, które mogą być na jego podstawie obliczone (np.  $G^M$ ). Termodynamika precyzyjnie określa jakie sytuacje są dozwolone, a jakie nie i jakiegokolwiek odstępstwa od tych prawideł mogą zdyskwalifikować model, lub co najmniej ograniczyć jego stosowalność.

Na poniższych rysunkach przedstawione są obliczone  $G^M$  na podstawie stałych równania Redlicha-Kistera (R-K) i NRTL podanych w tablicach VII-1 do VII-6. Rysunki VIII-5 i VIII-6 pokazują przebieg  $G^M$  na podstawie korelacji VLE. Zależność temperaturowa i stężeniowa ma charakter raczej monotoniczny dla obu równań, poza izotermą 303.153 K dla równania R-K. Związane jest to prawdopodobnie z użyciem nieodpowiedniej liczby stałych. Potwierdza to zależność obliczonego ciśnienia (rys.VII-2) dla tej izotermy.

Na wszystkich rysunkach obrazujących zależności prezentowanych wielkości w funkcji składu pionową, przerywaną kreską zaznaczony jest skład krytyczny  $x_c = 0.2392$  (podobnie jak w rozdz. VII). Ułatwia to umiejscowienie tego punktu na analizowanych krzywych.

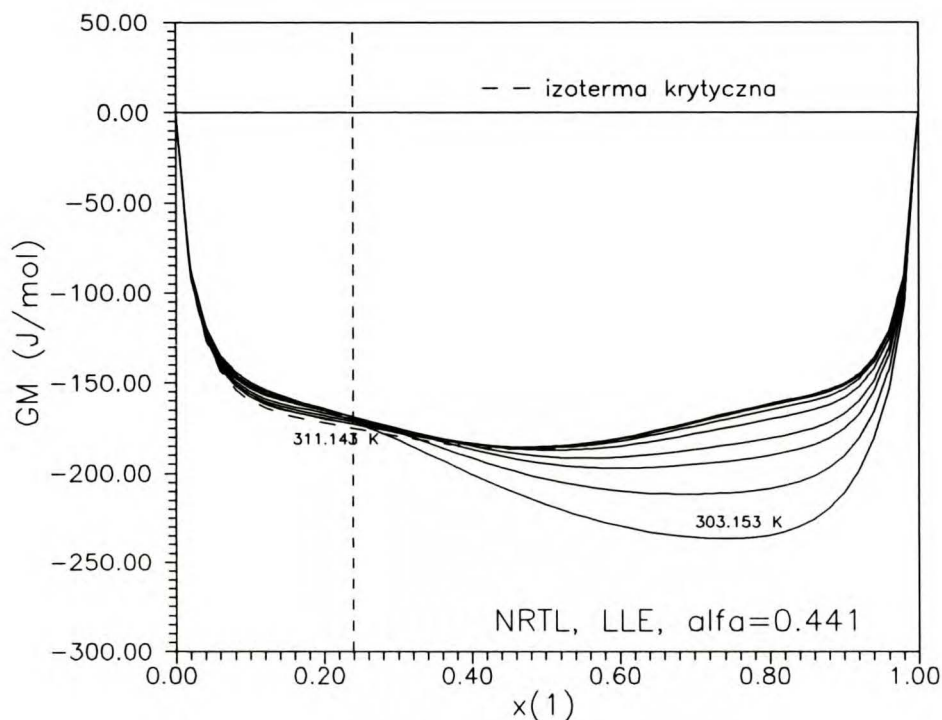


Rys.VIII-5. Obliczona funkcja GM na podstawie parametrów równania Redlicha-Kistera.



Rys.VIII-6. Obliczona funkcja GM na podstawie parametrów NRTL uzyskanych z korelacji danych VLE.

Rysunek VIII-7 przedstawia tę samą funkcję obliczoną ze stałych NRTL z korelacji LLE dla ustalonej wartości parametru  $\alpha = 0.441$ . Widać tutaj jakościową zmianę stężeniowej zależności. Brak informacji o własnościach homogenicznych części roztworu powoduje, że przebieg funkcji wynika tylko z formy algebraicznej równania korelacyjnego i nie ma nic wspólnego z jej rzeczywistym przebiegiem. Np. na podstawie tego rysunku można wysnuć wniosek, że obok górnego punktu krytycznego istnieje jeszcze dolny punkt krytyczny mieszalności w zakresie wyższych stężeń 3-MOPN. Oczywiście to zjawisko nie jest obserwowane.



Rys.VIII-7. Obliczona funkcja GM na podstawie parametrów NRTL uzyskanych z korelacji danych LLE.

Szczególnie interesujące jest porównanie obliczonej funkcji  $G^M$  dla korelacji LLE+VP1 i LLE+VP2 (rozdział VII-3). Z punktu widzenia termodynamiki nie powinno mieć znaczenia, czy ciśnienia nad roztworem dwufazowym brane są wraz z lewą czy prawą gałęzią krzywej współistnienia (Van Ness i Abbot, 1982). Na podstawie rysunków VIII-8 i VIII-9 widać, że tak nie jest, i to, stężenia której gałęzi zastosujemy, w przypadku równania NRTL, ma znaczenie.

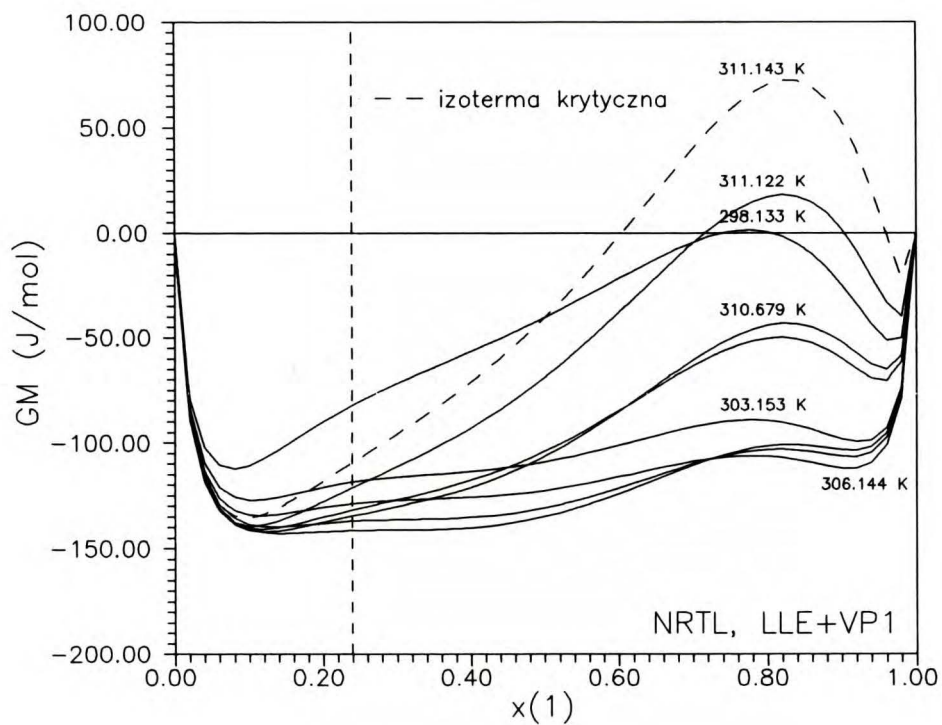
Korelacja (LLE+VP1) dla stężeń wziętych z lewej części krzywej współistnienia (niskie stężenia 3-MOPN) powoduje powstanie niespodziewanych ekstremów, zupełnie nieuzasadnionych. Chociaż spełnione są kryteria zerowania się funkcji, co można ocenić na rysunku VIII-8 i widać w tabelicy VII-7 (ostatnia kolumna) rezultaty nie są zadowalające. Można dla każdej izotermy przeprowadzić kilka linii stycznych wyznaczających składy równowagowe niezgodne z obserwowanymi doświadczalnie. Zupełnie inny charakter posiadają przebiegi  $G^M$  jeśli do korelacji weźmiemy stężenia dla prawej części krzywej współistnienia (korelacja LLE+VP2). Zależność ta ma charakter monotonicznej zmiany wraz z temperaturą, dla niższych temperatur podobną do uzyskanej z pomiarów VLE. Około 3 stopni poniżej izotermy krytycznej i w tym przypadku zaczynają pojawiać się przegięcia sugerujące powstawanie dolnego punktu krytycznego mieszalności w zakresie wyższych stężeń 3-MOPN.

Inną wielkością pozwalającą ocenić rezultaty jest oczywiście ciśnienie całkowite nad roztworem. Na rysunkach VIII-10 i VIII-11 przedstawiono ciśnienia obliczone ze stałych uzyskanych z powyższych korelacji<sup>†</sup>. Widoczna jest znaczna rozbieżność dla ciśnień obliczonych i eksperymentalnych we wszystkich temperaturach w przypadku korelacji VLE+VP1, czego należało oczekiwać na podstawie przebiegów  $G^M$ . Inaczej sytuacja wygląda w przypadku korelacji LLE+VP2. Tutaj ciśnienia zmieniają się monotonicznie ze wzrostem temperatury, chociaż w miarę dochodzenia do temperatury krytycznej ich przebieg staje coraz bardziej niezgodny z obserwowanym. Również dla tego zakresu temperatur przebieg parametrów  $\alpha$  i  $\tau_{12}$  równania korelacyjnego jest silnie nieliniowy, mocno odbiegający od uzyskanego dla parametrów uzyskanych z korelacji VLE.

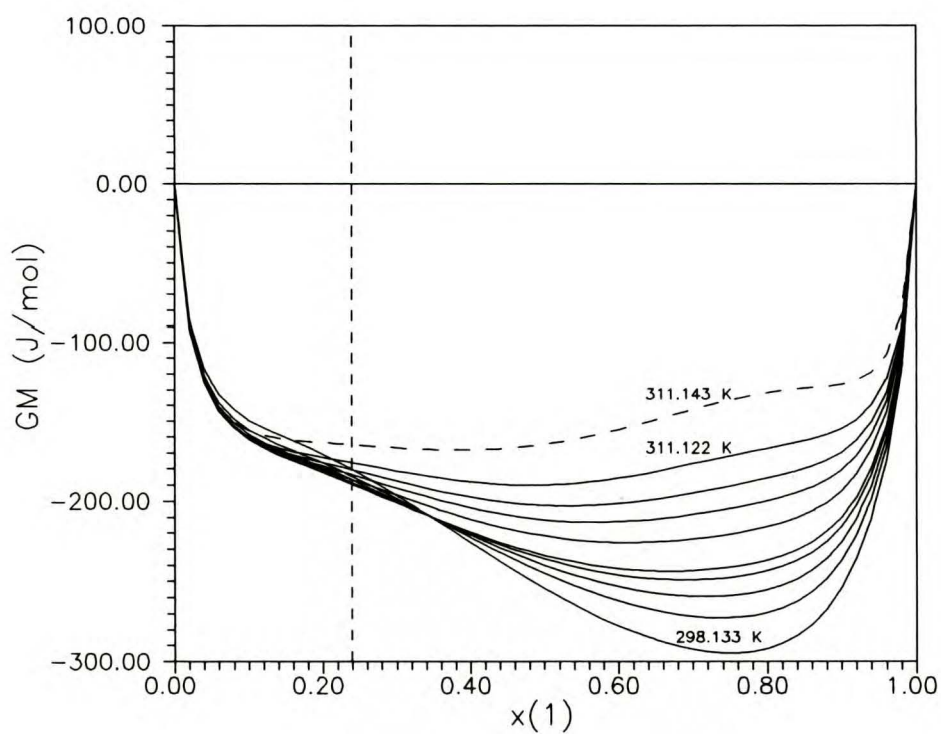
---

<sup>†</sup> Na rysunkach przedstawiono również ciśnienia eksperymentalne dla wyższych izoterm w celu zachowania skali z następnymi rysunkami.

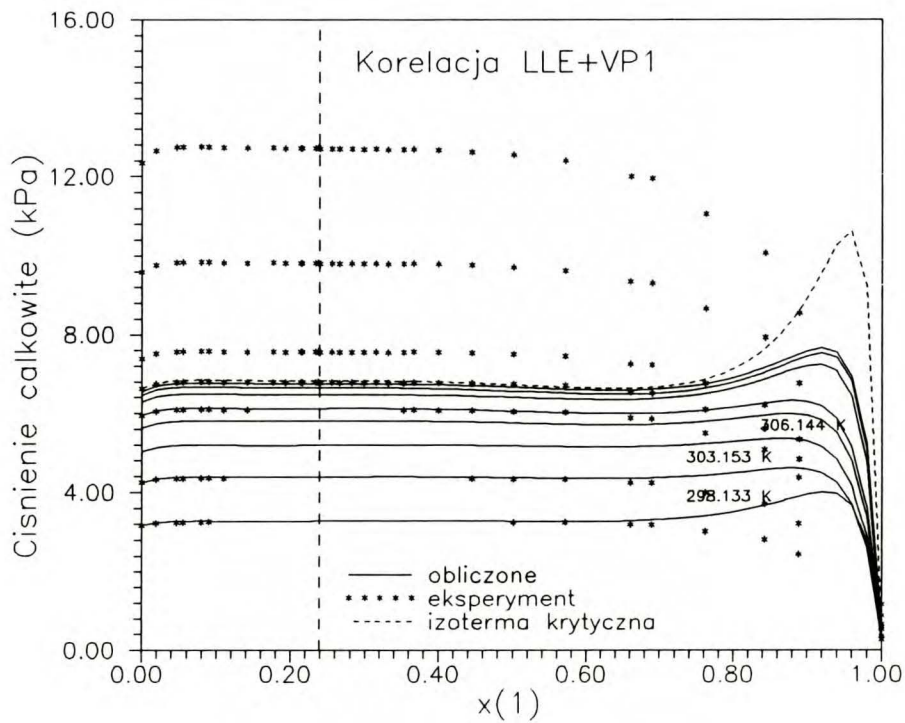




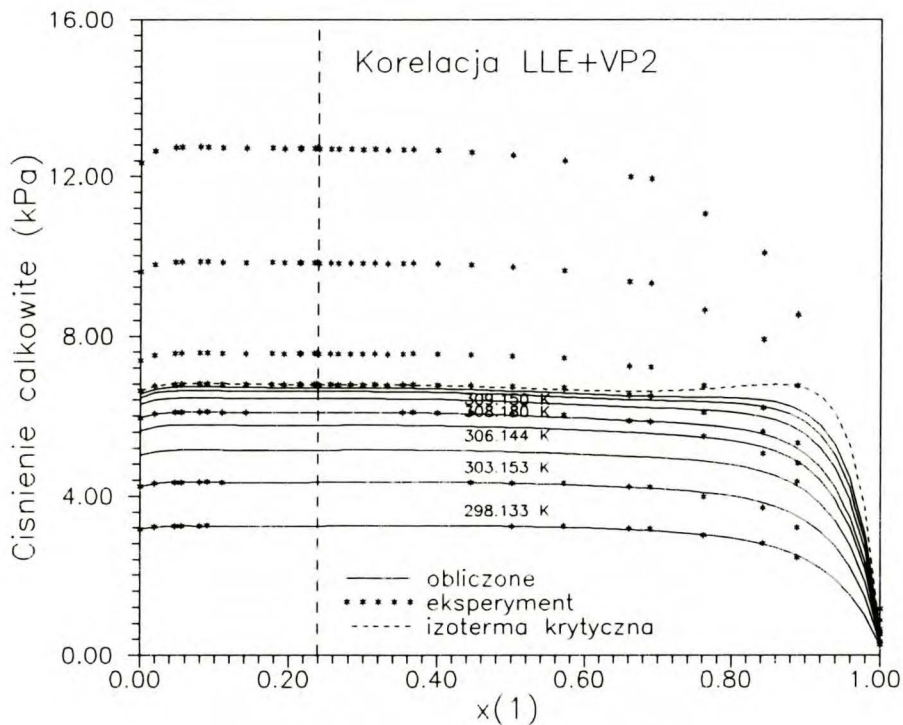
Rys VIII-8. Temperaturowa zależność GM na podstawie stałych równania NRTL uzyskanych z korelacji LLE+VP1.



Rys.VIII-9. Temperaturowa zależność GM na podstawie stałych równania NRTL uzyskanych z korelacji LLE+VP2.



Rys.VIII-10. Zestawienie ciśnień eksperymentalnych z obliczonymi na podstawie korelacji LLE+VP1 równaniem NRTL.



Rys.VIII-11. Zestawienie ciśnień eksperymentalnych z obliczonymi na podstawie korelacji LLE+VP2 równaniem NRTL.

Jak powiedziano w rozdziale poprzednim, do korelacji zastosowano również uogólnione równanie LEMF z trzema dobieralnymi parametrami. Korelacje tym równaniem wymagają osobnego omówienia.

Przydatność stosowania ujemnego parametru  $\alpha$  do korelacji równowag ciecz-para i ciecz-ciecz była wielokrotnie analizowana w przeszłości (Marina i Tassios, 1973; Stryjek i wsp., 1981) najczęściej w kontekście korelacji ze granicznym współczynnikiem aktywności. Ostatnio Bittrich i wsp. (1989) badali możliwości korelacyjne równań NRTL i LEMF w bezpośrednim sąsiedztwie punktu krytycznego mieszalności. Stwierdzili oni, że lepsze jest równanie LEMF gdyż daje krzywą współlistnienia opisywaną wykładnikiem krytycznym  $\beta$  o wartości nieklasycznej, w przeciwieństwie do równania NRTL, które daje klasyczną wartość  $\beta=0.5$ . Badania swoje prowadzili dla zakresu temperatur zredukowanych (wzór IV-31) od 0 do  $\varepsilon=10^{-3}$ .

Powyższe badania potwierdza zachowanie się parametrów w funkcji temperatury w korelacjach przeprowadzonych w tej pracy. O ile w przypadku nawet najlepszej korelacji LLE+VP2 równaniem NRTL obserwujemy silne zakrzywienie niektórych parametrów w bezpośrednim sąsiedztwie  $T_c$  (rysunki VIII-2 i VIII-3), to w tym przypadku parametry dają wykres prawie linii prostej ze słabym zakrzywieniem, niewidocznym w skali rysunku. Co więcej, korelacje LLE+VP1 i LLE+VP2 dają dokładnie takie same wartości parametrów. Rozbieżności występują dla parametrów wyliczonych z warunków stanu krytycznego. Powodem jest brak zbieżności dla tego punktu chociaż wartości funkcji celu (tablice VII-9 i VII-10) prawie spełniają kryterium wyjścia z iteracji. Te drobne różnice nie są istotne z punktu widzenia korelacji. Nierozróżnialność parametrów powoduje, że te korelacje noszą dalej wspólną nazwę LLE+VP.

Aby uzyskać pełniejszy obraz zachowania się parametrów uogólnionego równania LEMF, przeprowadzono dodatkowo korelacje przedstawionych w rozdz. VII siedmiu izoterm równowag ciecz-para. Wyliczone parametry podane są w tablicy VIII-1. Mają one charakter liniowy, podobny do uzyskanego w korelacjach równaniem NRTL. Jakość dopasowania równania do danych VLE jest podobna (ostatnia kolumna tablicy). Parametry te w funkcji temperatury zaprezentowane są graficznie na rysunku VIII-12 (linie przerywane)

wraz z uzyskanymi z korelacji LLE+VP (linie ciągłe). Jak widać, ich zależność temperaturowa jest bardzo podobna. W przypadku korelacji LLE+VP współczynniki temperaturowe poszczególnych parametrów różnią się, lecz są tego samego rzędu. Tablica VIII-2 przedstawia równania przy pomocy których aproksymowano poszczególne parametry.

Tablica VIII-1.

Parametry równania LEMF uzyskane z korelacji VLE.

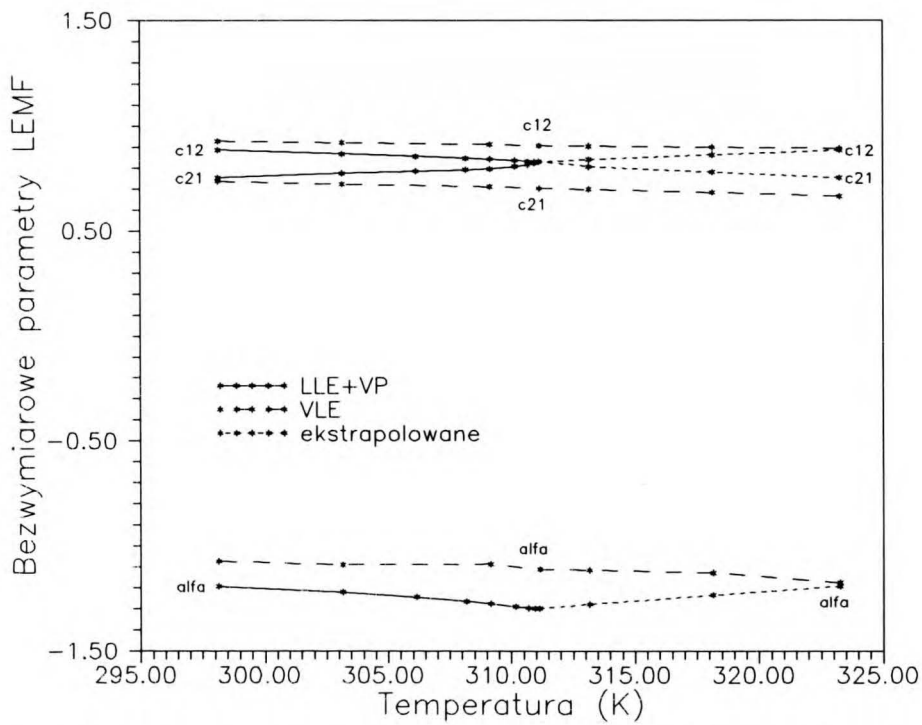
T/K	$\alpha$	$\tau_{21}$	$\tau_{12}$	$\chi^2$
298.133	-1.0721	0.735551	0.928410	1.3
303.153	-1.0884	0.721544	0.921269	1.7
309.150	-1.0856	0.709497	0.913489	1.8
311.146	-1.1103	0.702354	0.907026	2.3
313.160	-1.1138	0.696775	0.904949	2.8
318.150	-1.1270	0.682602	0.898990	4.5
323.270	-1.1744	0.664708	0.893731	10.2

Obliczone prężności pary dla temperatur poniżej temperatury krytycznej i ich zgodność z uzyskanymi doświadczalnie nie różnią się zasadniczo od uzyskanych z korelacji LLE+VP2 równaniem NRTL. Widoczne to jest z porównania rysunków VIII-11 i VIII-13. W przypadku równania NRTL zgodność z doświadczeniem wydaje się nawet lepsza.

Wobec prawie liniowej zależności stałych od temperatury spróbowano porównać zmierzzone prężności pary trzech izoterm powyżej UCST z obliczonymi z parametrów uzyskanych na podstawie prostej ekstrapolacji do tych temperatur. Wynik przedstawiono na rysunku VIII-13 (linie przerywane).

Uzyskane rezultaty wykazują powiększanie się różnic pomiędzy ciśnieniem obliczonym i doświadczalnym, szczególnie dla większych stężeń 3-MOPN. Jest to zrozumiałe, gdyż powyżej temperatury krytycznej następuje zamiana wartości parametrów energetycznych i trend wzrostu ciśnienia obserwowany w temperaturach poniżej  $T_c$  dla tych stężeń jest zachowany. W świetle tego nie można spodziewać się uzyskania poprawnej równowagi ciecz-para w temperaturach wyższych od krytycznej, obliczonej na podstawie parametrów uzyskanych z równowagi ciecz-ciecz, nawet jeśli w tej korelacji użyje się dodatkowej danej w postaci prężności pary nad

roztworem dwufazowym. Podobnych rezultatów należy spodziewać się w przypadku zastosowania granicznego współczynnika aktywności.

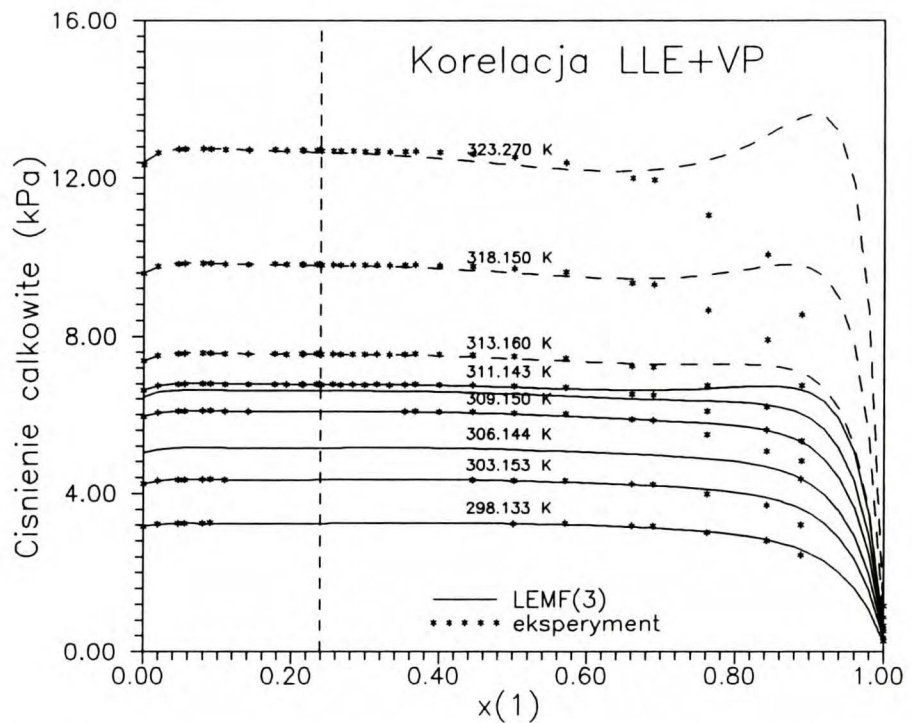


Rys.VIII-12. Temperaturowa zależność stałych równania LEMF.

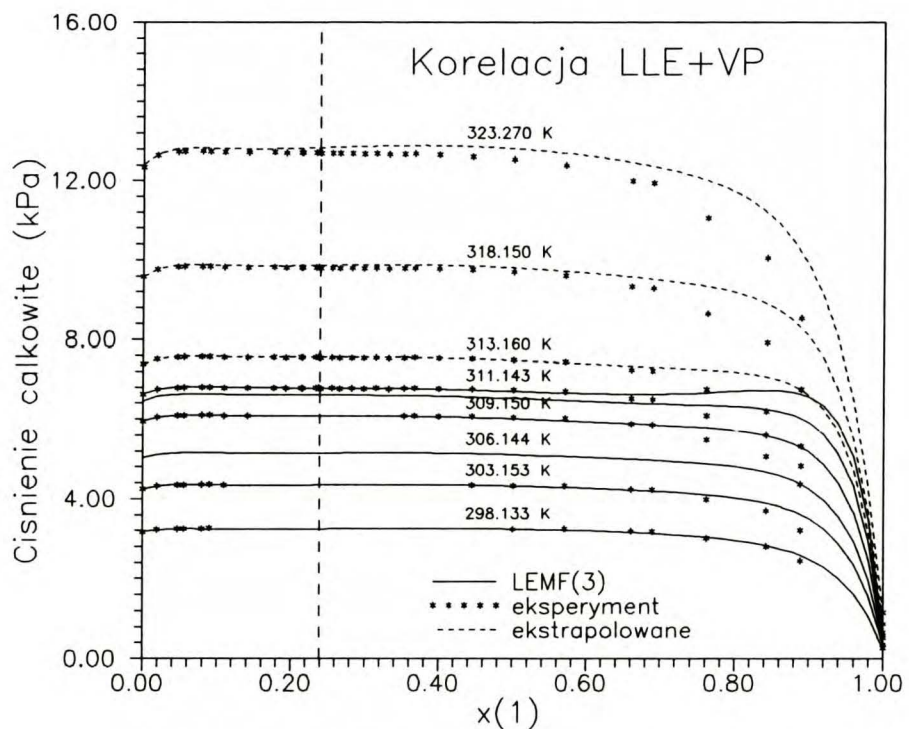
Tablica VIII-2.

Parametry równania LEMF zastosowane obliczenia ciśnień powyżej temperatury krytycznej.

Zależność temperaturowa parametrów LEMF					
$\alpha = 1.37931 - 0.0085959 * T / K$ $\tau_{21} = -0.84550 + 0.0053415 * T / K$ $\tau_{12} = 2.22276 - 0.0044731 * T / K$					
T/K	311.143 - T	T'	$\alpha$	$\tau'_{21}$	$\tau'_{12}$
313.160	-2.017	309.126	-1.27791	0.805695	0.840008
318.150	-7.007	304.136	-1.23501	0.779004	0.862329
323.270	-12.127	299.016	-1.19100	0.751692	0.885232



Rys.VIII-13. Porównanie eksperymentalnych prężności pary z obliczonymi na podstawie ekstrapolacji parametrów do wyższych temperatur.

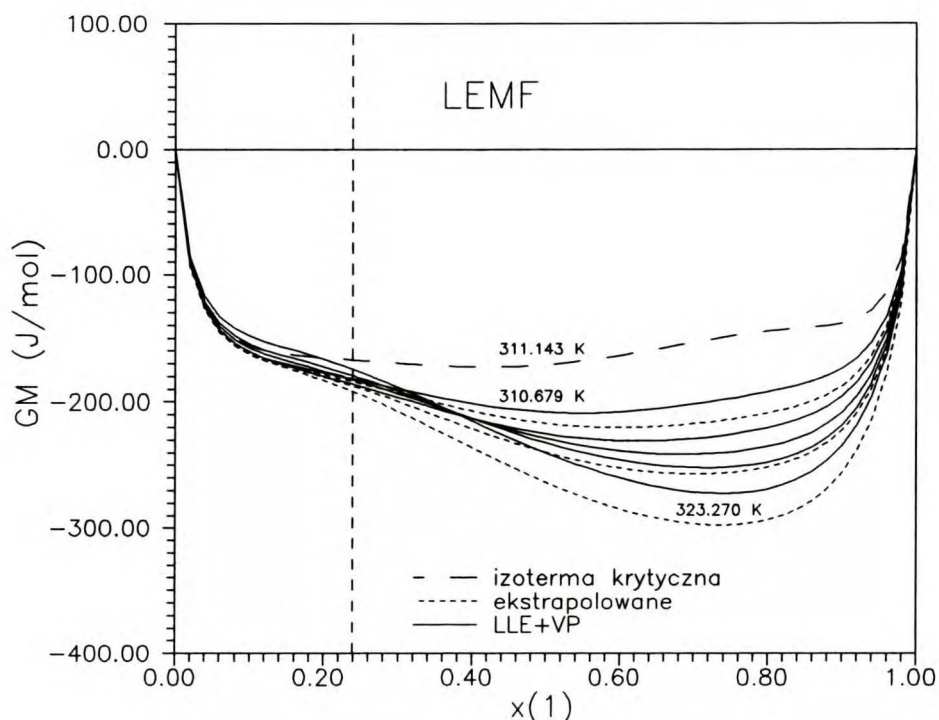


Rys.VIII-14. Zależność ciśnienia od temperatury i składu obliczonego na podstawie parametrów uzyskanych z "lustrzanego odbicia" względem temperatury krytycznej parametrów z korelacji LLE+VP.

W związku z powyższym założono, że w temperaturze krytycznej wszystkie parametry przyjmują swoje ekstremalne wartości, a dalsze zwiększanie temperatury wymaga zmniejszania ich wartości. Przeprowadzono następującą estymację parametrów dla trzech temperatur wyższych od krytycznej. Obliczono różnice pomiędzy  $T_c$  (311.143 K) a tymi temperaturami (kolumna 2 tablicy VIII-2), a następnie dodano je do  $T_c$  uzyskując nowe temperatury  $T'$  (kolumna 3 tabl. VIII-2), odpowiadające temperaturom poniżej krytycznej. Dla nich obliczono parametry (oznaczone ' w tablicy VIII-2) stosując wyrażenia podane również w tablicy VIII-2 (na rysunku VIII-12 przebieg nowych parametrów zaznaczony jest gęstą linią przerywaną). Z kolei, na podstawie tych parametrów obliczono ciśnienia dla postulowanych temperatur powyżej  $T_c$ . Rezultaty obliczeń przedstawione są na rysunku VIII-14.

Widoczne jest znaczne zmniejszenie różnic pomiędzy ciśnieniami doświadczalnymi i obliczonymi w porównaniu z rysunkiem VIII-13. Ponadto, w miarę wzrostu temperatury, również widoczne jest zmniejszanie się tych różnic, co sugeruje zanikanie wpływu otoczenia punktu krytycznego na parametry równania korelacyjnego, a co za tym idzie, na obliczone prężności pary. Na podstawie uzyskanych rezultatów obszar ten należy oceniać na około 20 stopni powyżej i poniżej temperatury krytycznej rozpuszczalności.

Powrót do klasycznego zachowania się układu, w miarę wzrostu temperatury powyżej  $T_c$ , przy zastosowaniu opisanej "ekstrapolacji" ilustruje również temperaturowo-stężeniowa zależność swobodnej entalpii mieszanina przedstawiona na rysunku VIII-15 jako linie przerywane. Widoczna tam jest tendencja do powrotu kształtu oraz wartości tej funkcji uzyskiwanej na podstawie korelacji VLE.



Rys. VIII-15. Zależność temperaturowa GM powyżej i poniżej temperatury krytycznej uzyskana z parametrów korelacji LLE+VP.

Takie modelowanie równowag i diagramów fazowych wynika z zastosowanych przy konstruowaniu równań założeń teorii pola uśrednionego Van der Waalsa. Na podstawie teorii krzywa współistnienia dwóch faz ciekłych jest stopnia drugiego, a zależność ciśnienia od składu (gęstości) - stopnia trzeciego. Kilka lat temu ukazała się praca Singha i Van Hooka (1987a) na temat zakresu temperatur, w którym obserwowane są anomalie punktu krytycznego mieszalności. Stwierdzili oni, że dla temperatury zredukowanej  $\epsilon > 10^{-3}$  można z powodzeniem stosować wyrażenia klasyczne na  $G^E$  (np. równanie R-K) do opisu krzywej współistnienia. Zakres ten odpowiada ok. 0.3 K w skali bezwzględnej. W świetle wyników tej pracy wydaje się, że zakres ten jest dużo większy i chyba należy wyrozróżnić dwa zakresy temperatur: większy, rzędu 20 K, nazwany przedkrytycznym i drugi, właśnie rzędu 0.3 K manifestujący się anomalią punktu krytycznego w sensie zjawisk opisanych w rozdz. IV i V. Na potwierdzenie powyższej hipotezy można przytoczyć np. zachowanie się stałej Kerra dla układu {alkohol benzyłowy(1) + metylocykloheksan(2)} (Pyżuk i wsp. 1980), która odłożona w funkcji temperatury zaczyna odchyłać się od normalnego zachowania już ok. 20 K przed temperaturą krytyczną. Podobnie zachowującą się



własnością jest lepkość (patrz rys. V-2).

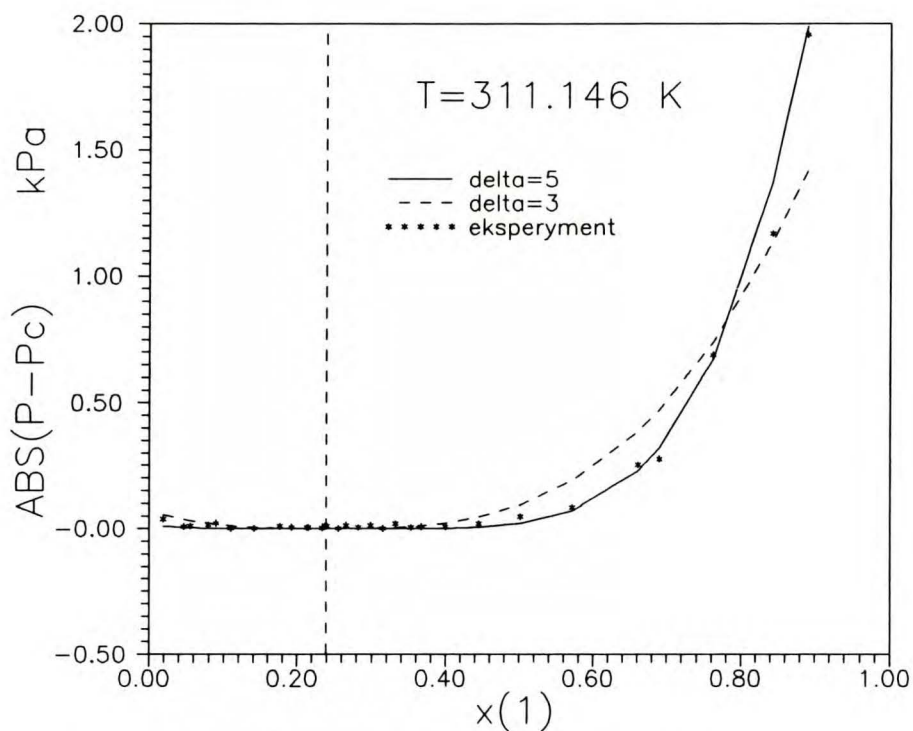
### VIII-3 KSZTAŁT KRZYWEJ PRĘŻNOŚCI PARY DLA IZOTERMY KRYTYCZNEJ

Z rozważań termodynamicznych wynika, że odpowiednikiem ciśnienia w układzie jednoskładnikowym w przypadku dwuskładnikowego układu ciekłego jest różnica pochodnych potencjału chemicznego po składzie i tejże pochodnej w punkcie krytycznym. Jej zachowanie było badane przez Simona i wsp. (1972) dla układu  $\{CF_4(1) + CH_4(2)\}$ . Potwierdzili oni, że krzywizna jej przebiegu jest zgodna ze znalezioną dla ciśnienia w układach jednoskładnikowych. Wyznaczony przez nich wykładnik krytyczny  $\delta$  wynosi 4.6. Poza tym przypadkiem nie znaleziono podobnej analizy dla innego układu dwuskładnikowego.

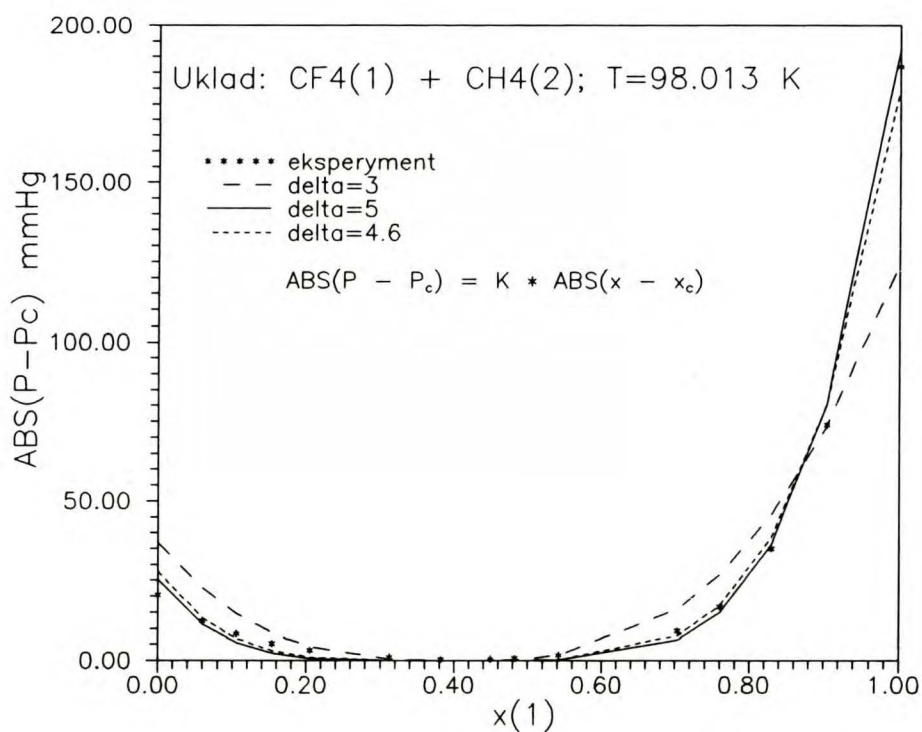
Z drugiej strony, kilkadziesiąt lat temu Rice (1950) postawił hipotezę, że przebieg ciśnienia cząstkowego jednego ze składników w układzie dwuskładnikowym w temperaturze krytycznej mieszalności powinien mieć analogiczny przebieg jak izoterma krytyczna w układzie jednoskładnikowym. W tamtej pracy nacisk położony był na zagadnienie, czy krzywa współistnienia ma płaski odcinek, taki jaki występuje w układach jednoskładnikowych. Ponieważ nie jest powiedziane, którego ze składników dotyczy ta hipoteza, należy domniemać, że takie samo zachowanie będzie wykazywało ciśnienia całkowite nad roztworem. Ta praca dostarczyła odpowiedniego materiału doświadczalnego pozwalającego potwierdzić hipotezę Rice'a. Na rysunku VIII-16 przedstawiono obliczone ciśnienie gdy zastosowano następującą zależność:

$$|P - P_c| = K \cdot |x - x_c|^\delta \quad \text{VIII-1}$$

gdzie  $K$  jest stałą proporcjonalności. Zależność ta jest słuszna dla układów jednoskładnikowych, co jest przedstawione w rozdziale IV. Jak to widać na rysunku odtworzenie ciśnienia całkowitego jest całkiem zadowalające dla wykładnika krytycznego  $\delta=5$ , a więc zgodnego z tzw. nieklasycznym, natomiast użycie wykładnika klasycznego  $\delta=3$  nie spełnia zależności VIII-1.



Rys.VIII-16. Porównanie eksperymentalnego ciśnienia zredukowanego do obliczonego z wykładnikiem  $\delta=5$  i  $\delta=3$ .



Rys.VIII-17. Porównanie ciśnienia zredukowanego z obliczonym z wykładnikiem  $\delta=5$ , 4.6 i 3 dla układu  $\{CF_4(1) + CH_4(2)\}$ .

Aby potwierdzić zależność stężeniową ciśnienia całkowitego w temperaturze krytycznej mieszalności podobne obliczenia przeprowadzono dla układu  $\{CF_4(1) + CH_4(2)\}$  i uzyskano potwierdzenie dla układu o zupełnie odmiennym charakterze. Co więcej, użycie wykładnika  $\delta=4.6$  wyznaczonego przez autorów dało jeszcze lepszy opis ciśnienia. Oczywiście wartości stałej proporcjonalności są dla każdego układu inne. Niestety brak odpowiednich danych dla innych układów nie pozwala w pełni potwierdzić uniwersalnego charakteru takiego zachowania, ale w świetle tego, co wiadome jest na temat punktu krytycznego należy przypuszczać, że dla innych układów dwuskładnikowych ciśnienie całkowite będzie miało ten sam przebieg.

### VII-3. WPŁYW POPRAWKI OBJĘTOŚCIOWEJ NA KORELACJE IZOTERMICZNYCH RÓWNOWAG CIECZ-PARA

W wyprowadzeniach wyrażeń na nadmiarową energię Gibbsa zakłada się, że układ nie wykazuje nadmiarowej objętości mieszania ( $V^E=0$ ). Pozwala to na przyrównanie  $G^E$  do nadmiarowej funkcji Helmholtza. Pełne równanie Gibbsa-Duhema redukuje się dla pomiarów izotermicznych do postaci:

$$\frac{V^E}{RT} dP = \sum_1 x_1 d \ln \gamma_1 \quad \text{VIII-2}$$

Wyniki niniejszej pracy pozwalają obliczyć poprawkę do pochodnej  $G^E$  po składzie jaką wnosi występowanie  $V^E$  w roztworze rzeczywistym. Obliczenia te są zestawione w tabelicy VIII-3.

Jak powiedziano wcześniej, stosując metodę Tao konieczne jest policzenia pochodnej ciśnienia całkowitego względem składu. Wobec dużej liczby punktów doświadczalnych w izotermie i stosowaniu wygładzania danych ciśnienia za pomocą funkcji opisującej "nadmiarowe" ciśnienie, podanej w rozdziale VII (wzór VII-10) należy przypuszczać, że policzone na podstawie tej funkcji pochodne dla temperatury krytycznej mieszalności (kolumna 3 tabelicy VIII-3) mają wartości zbliżone do rzeczywistych. Wartości  $V^E$  dla tej temperatury zostały obliczone przez interpolację za pomocą równania (3) w pracy na temat  $V^E$  (Łuszczuk, 1988). Współczynniki

aktywności obliczone zostały na podstawie stałych równania NRTL dla tej izotermy (311.146 K) zawartych w tabelicy VII-2d. Wartość stałej gazowej dla stosowanych jednostek wynosi  $8.3141 \cdot 10^5$  [ $\text{cm}^3 \cdot \text{kPa} \cdot \text{K}^{-1} \cdot \text{mol}^{-1}$ ].

Tablica VIII-3.

Poprawka do pochodnej  $G^E$  związana z występowaniem  $V^E$  obliczona dla izotermy 311.146 K układu {3-MOPN(1) + woda(2)}.

$x_1$	$V^E$ [ $\text{cm}^3 \text{mol}^{-1}$ ]	$dP/dx_1$ [kPa]	$\gamma_1$	$\gamma_2$	$\ln \frac{\gamma_1}{\gamma_2}$	$\frac{V^E}{RT} \frac{dP}{dx_1}$
0.1	-0.3091	0.272	8.269	1.058	2.0561332	$-3.25 \cdot 10^{-10}$
0.2	-0.3654	-0.698	4.216	1.188	1.2666156	$9.86 \cdot 10^{-10}$
0.3	-0.3752	-0.885	2.756	1.367	0.7011618	$1.28 \cdot 10^{-9}$
0.4	-0.3584	-1.831	2.060	1.597	0.2545791	$2.54 \cdot 10^{-9}$
0.5	-0.3170	-3.502	1.663	1.901	-0.1337569	$4.29 \cdot 10^{-9}$
0.6	-0.2506	-5.505	1.408	2.330	-0.5036980	$5.33 \cdot 10^{-9}$
0.7	-0.1613	-8.291	1.232	2.987	-0.8856307	$5.17 \cdot 10^{-9}$
0.8	-0.0806	-14.371	1.109	4.104	-1.3085034	$4.48 \cdot 10^{-9}$
0.9	-0.0176	-29.527	1.030	6.273	-1.8066959	$2.01 \cdot 10^{-9}$

Jak widać poprawka nadmiaru objętości (ostatnia kolumna tabelicy VIII-3) dla rozpatrywanego układu, jak powszechnie jest uznawane, nie ma praktycznego znaczenia na wartość pochodnej  $G^E$ . W układzie rzeczywistym wartość tej pochodnej jest blisko liniową funkcją stężenia (testy konsystencji) o względnie dużych wartościach w stosunku do obliczonej poprawki. Jej wpływ może być znaczący dla układów o dużej różnicy w prężnościach par czystych składników i jednocześnie posiadających duży bezwzględny  $V^E$ . Ponadto, w realnych układach wartości pochodnych ciśnienia są największe dla stężeń skrajnych, w których z kolei wartości  $V^E$  są najmniejsze. W rezultacie następuje znoszenie się tych dwóch wpływów, co jest widoczne w tabelicy VIII-3.

## X ZESTAWIENIE WYNIKÓW

1. Zbudowano i sprawdzono stanowisko do pomiarów równowagi ciecż-para metodą statyczną w obszarze ciśnień od 0.1 do 100 kPa.
2. Zaprojektowano i zbudowano oryginalne naczynie równowagowe z jednoczesnym mieszaniami fazy ciekłej i parowej co znacznie przyspiesza uzyskanie stanu równowagi termodynamicznej. Naczynie wyposażone jest w chłodnicę zabezpieczającą przed destylacją składników na powierzchnię rtęci w manometrze podczas zmian temperatury.
3. Zaprojektowano i zbudowano prosty i sprawny system przygotowania próbek o znanej masie i ich wprowadzania do aparatury.
4. Zmierzono prężności pary dla substancji czystych oraz dla serii 31 próbek o różnych składach mieszanin 3-MOPN z wodą. Badany układ charakteryzuje się dużą różnicą prężności par czystych składników i tworzy dwie fazy ciekłe w temperaturze poniżej 311.143 K.
5. Zaproponowano równanie do opisu krzywej współistnienia, pozwalające wygładzać dane zarówno równowagowe jak i rozpuszczalności. Sprawdzono przydatność tego równania.
6. Zmierzono 16 izoterm nadmiarowej objętości mieszania badanego układu w zakresie temperatur od 293 do 313 K.
7. Przeprowadzono dyskusję zakresu temperatur, w którym zaczynają manifestować się tzw. "zjawiska przedkrytyczne" i anomalie stanu krytycznego. Stwierdzono, że zjawiska te występują ok. 20 K powyżej i poniżej krytycznej temperatury mieszalności.
8. Wykazano, że zależność ciśnienia całkowitego od stężenia jest stopnia piątego (tzw. wykładnik krytyczny  $\delta$ ) również dla układów dwuskładnikowych w temperaturze krytycznej mieszalności.

9. Przeprowadzono dyskusję wpływu poprawki objętościowej na korelacje izotermicznych pomiarów równowagi ciecz para.

## IX SPIS LITERATURY

- Abrams D.S., Prausnitz J.M.; 1975; *AIChE J.*, **21**, 116
- Aim K., Hala E.; 1988; 'Experimental Thermodynamics: Measurement and Control', p.444, Ed. S. Malanowski i A. Anderko, IChF PAN, Warszawa
- Alexev W.; 1886; *Ann.Phys.Chem.*, **28**, 305
- Anderko A., Malanowski S.; 1989a; *Fluid Phase Equil.*, **48**, 223
- Anderko A.; 1989b; *Fluid Phase Equil.*, **50**, 21
- Anderko A.; 1990a; *Fluid Phase Equil.*, **61**, 145
- Anderko A.; 1990b; *J.Chem.Soc., Faraday Trans.*, **86**, 2823
- Andersen G.R., Wheeler J.C.; 1978a; *J.Chem.Phys.*, **69**, 2082
- Andersen G.R., Wheeler J.C.; 1978b; *J.Chem.Phys.*, **69**, 3403
- Andersen G.R., Wheeler J.C.; 1979; *J.Chem.Phys.*, **70**, 1326
- Anderson T.F., Prausnitz J.M.; 1978; *Ind.Eng.Chem., Proc.Des.Develop.*, **17**, 561
- Antosik M.; 1990a; *J.Chem.Thermodyn.*, **22**, 85
- Antosik M., Stafiej A., Stryjek R.; 1990b; *Fluid Phase Equil.*, **58**, 325
- Antosik M.; 1991; 'Równowaga ciecz-ciecz w układach węglowodorów z rozpuszczalnikami polarnymi', Praca doktorska IChF PAN, Warszawa
- Astle H.J., Etherington R.W.; 1952; *Ind.Eng.Chem.*, **44**, 2871
- Barker J.A.; 1952; *J.Phys.Chem.*, **20**, 1526
- Barker J.A.; 1953; *Austr.J.Chem.*, ,
- Barker J.A., Fock W.; 1953; *Discuss.Faraday Soc.*, **15**, 188
- Bartis J.T., Hall C.K.; 1975; *Physica* **78**, 1
- Beattie C.A., Blaisdell B.E., Kaye J., Gerry H.T., Johnson C.A.; 1941; *Proc.Am.Acad.Arts.Sci.*, **74**, 371
- Beegle L.B., Modell M., Reid R.C.; 1974; *AIChE J.*, **20**, 1194
- Bevington P.R.; 1968; 'Data Reduction and Error Analysis for the Physical Sciences', McGraw-Hill, New York
- Bijl H., De Loos Th.W., Lichtenthaler R.N.; 1983; *Fluid Phase Equil.*, **14**, 157
- Bittrich H.J., Feix G., Lempe D., Reinhardt K.; 1989; *Fluid Phase Equil.* **51**, 161
- Black C.; 1959; *AIChE J.*, **5**, 249
- Block T.E., Judd N.F., McLure I.A., Knobler C.M., Scott R.L.; 1981; *J.Phys.Chem.*, **85**, 3282
- Bloemen E., Thoen J., Van Dael W.; 1980; *J.Chem.Phys.*, **73**, 4628

- Bondi A.; 1968; 'Physical Properties of Molecular Crystals, Liquids and Glasses' John Willey & Sons
- Book of ASTM Standards; 1969; 'Viscosity of Transparent and Opaque Liquids', Part 18, p.1016
- Boublik T., Fried V., Hala E.; 1973; 'The vapour pressures of pure substances', Elsevier, Amsterdam
- Bragg W.L., Williams E.J.; 1934; Proc.Roy.Soc.A, **145**, 699
- Brombacher W.G., Johnson D.P., Cross J.L.; 1960; 'Mercury Barometers and Manometers', Nat.Bur.Stand.Monograph #8
- Bruin S., Prausnitz J.M.; 1971; Ind.Eng.Chem.,Process Des.Develop., **10**, 562
- Buchowski H.; 1961; 'Termodynamika statystyczna cieczy prostych', monogr. 'Teoria roztworów ciekłych w stanie równowagi', Wyd. PAN, Warszawa
- Buchowski H.; 1982; 'Chemia fizyczna', Praca zbiorowa, PWN, Warszawa
- Cannon S.L., Bethea R.M., Heichelheim H.R.; 1970; J.Chem.Eng.Data, **15**, 419
- Chang R.F.; Burstyn H., Sengers J.V.; 1979; Phys.Rev.A, **19**, 866
- Choliński J., Szafranski A, Wyrzykowska-Stankiewicz D.; 1986; 'Computer-aided second virial coefficients data for organic individual compounds and binary systems', Thermodyn.Data Techn.,Ser.A, PWN, Warszawa
- Chyliński K., Stryjek R.; 1982; J.Chem.Thermodyn., **14**, 1115
- Chyliński K.; 1987; 'Badanie nadmiaru objętości mieszania w układach dwuskładnikowych zawierających węglowodór dwupierścieniowy', Praca doktorska IChF PAN, Warszawa
- Clark R.K.; 1968; J.Chem.Phys., **48**, 741
- Clerk E.A., Sengers J.V.; 1983; Physica A, **118**, 360
- Conder J.R., Young C.L.; 1979; 'Physicochemical measurements by gas Chromatography', Wiley, New York
- Cox J.D., Herington E.F.R.; 1956; Trans.Faraday Soc., **52**, 926
- D'Arrigo G.,Mistura L.,Tartaglia P.; 1977; J.Chem.Phys., **66**, 80
- Davis G.D., Makin E.C.Jr; 1969; Ind.Eng.Chem.,Process Des.Develop., **8**, 588
- Diaz Pena M., McGlashan M.L.; 1959; Trans.Faraday Soc., **55**, 2018
- Dega-Dałkowska A.; 1980; Acta Phys.Polon.A, **58**, 31
- De Pablo J.J., Prausnitz J.M.; 1989; Fluid Phase Equil. **50**, 101
- Eckert C.A.; 1976; 'Solutions and Solubilities. Part II', 'Techniques of Chemistry', Vol.VIII, Rozdz. IX, Ed. M.R.J.Dack
- Ewing M.B., Johnson K.A., McGlashan M.L.; 1985; J.Chem.Thermodyn., **17**, 513
- Ewing M.B., Johnson K.A., McGlashan M.L.; 1986; J.Chem.Thermodyn., **18**, 979
- Fabries J-F., Gustin J-L., Renon H.; 1977; J.Chem.Eng.Data, **22**, 303



- Fedorko M., Stryjek R.; 1980; Pol.J.Chem., **54**, 1949
- Flemer V.; 1976; Coll.Czech.Chem.Comm., **41**, 3347
- Fortuna Z., Macukow B., Wąsowski J.; 1982; 'Metody numeryczne', WNT, Warszawa
- Fox J.; 1979; J.Stat.Phys., **21**, 243
- Francis A.W.; 1963; 'Liquid-Liquid Equilibrium', Int.Publ.J.Willey&S. New York - London
- Freeman P.I., Rowlinson J.S.; 1960, Polymer **1**, 20
- French H.T., Richards A., Stokes R.H.; 1979; J.Chem.Thermodyn., **11**, 671
- Gautreaux M.F., Coates J.; 1955; AIChE J., **1**, 496
- Gaw W.J., Scott R.L.; 1971; J.Chem.Thermodyn., **3**, 335
- Gierycz P.; 1982; 'Nadmiarowe funkcje termodynamiczne mieszanin alifatycznych, cyklicznych i aromatycznych węglowodorów oraz alkoholi z N-metylopirolidonem jako związkami silnie polarnymi', Praca doktorska IChF, Warszawa
- Goldstein R.E.; 1983; J.Chem.Phys. **79**, 4439
- Goldstein R.E., Walker J.S.; 1983; J.Chem.Phys., **78**, 1492
- Gopal E.S.R.; 1981; Bull.Mater.Sci. **3**, 91
- Govindarajan K., Viswanathan K., Gopal E.S.R.; 1973; J.Chem.Thermodyn., **5**, 73
- Greer S.C.; 1978; Acc.Chem.Res., **11**, 427
- Greer S.C.; 1976; Phys.Rev.A, **14**, 1770
- Gregorowicz J.; 1986; informacja prywatna
- Griffiths R.B., Wheeler J.C.; 1970; Phys.Rev.A, **2**, 1047
- Guggenheim; 1952; 'Mixtures', Clarendon Press
- Gulari E., Chu B., Woermann D.; 1980; J.Chem.Phys., **73**, 2480
- Hala E.; 1977; Chem.Listy, **71**, 338
- Heady R.B., Cahn J.W.; 1973; J.Chem.Phys. **58**, 896
- Hirschfelder J.D., Stevenson D., Eyring H.; 1937; J.Chem.Phys., **5**, 896
- Hofman T.; 1982; 'Obliczanie izotermicznych równowag ciecz-para dla układów dwuskładnikowych pod umiarkowanymi ciśnieniami', Praca doktorska PW, Warszawa
- Howland R.G., Wong N-C., Knobler C.M.; 1980; J.Chem.Phys., **73**, 522
- Jacobs D.T., Anthony D.J., Mockler R.C., O'Sullivan W.J.; 1977; Chem.Phys., **20**, 219
- Jaschull G., Dunker H., Woermann D.; 1984; Ber.Bunsenges.Phys.Chem., **88**, 630
- Kamgar-Parsi B., Levelt-Sengers J.H.M., Sengers J.V.; 1983; J.Phys.Chem.Ref.Data, **12**, 513
- Khurma J.R., Muthu O., Munjal S., Smith B.D.; 1983; J.Chem.Eng.Data, **28**, 86
- Kikic I, Alessi P., Fermeiglia M.; 1983; Fluid Phase Equil., **14**, 363

- Klein H., Woermann D.; 1975; Ber.Bunsenges.Phys.Chem., **79**, 1180
- Klein H., Woermann D.; 1976; J.Chem.Phys., **65**, 1599
- Knobler C.M., Scott R.L.; 1982; J.Chem.Phys., **76**, 2606
- Van Konyneburg P.H., Scott R.L.; 1980; Phil.Trans.Roy.Soc.London, **298**, 495
- Kumaran M.K., McGlashan M.L.; 1979; J.Chem.Thermodyn., **9**, 259
- Kumaran M.K., McGlashan M.L.; 1980; Aust.J.Chem., **33**, 1909
- Kumaran M.K.; 1981; J.Chem.Thermodyn., **13**, 789
- Lafyatis D.S., Scott L.S., Trampe D.H., Eckert Ch.A.; 1989; Ind.Eng. Chem.Res., **28**, 585
- Lentini E., Vincentini-Missoni M.; 1973; J.Chem.Phys. **58**, 91
- Letcher T.M., Spitieri W.; 1983; J.Chem.Thermodyn., **15**, 965
- Levelt-Sengers J.M.H.; 1975; 'Experimental Thermodynamics, Vol III' rozdz.14, str.657, Butterworth, London
- Levelt-Sengers J.H.M., Greer W.L., Sengers J.V.; 1976; J.Phys.Chem.Ref. Data, **5**, 1
- Levelt-Sengers J.M.H.; 1983a; Appl.Pure Chem., **55**, 437
- Levelt-Sengers J.M.H., Morrison G., Chang R.F.; 1983b; Fluid Phase Equil., **14**, 19
- Levelt-Sengers J.M.H., Kagmar-Parsi B., Sengers J.V.; 1983c; J.Phys. Chem.Ref.Data, **12**, 1
- Lewis G.W., Randall M.; 1923; 'Thermodynamics and the Free Energy of Chemical Substances', McGraw-Hill, New York
- Ley-Koo M., Green M.S.; 1977; Phys.Rev.A, **16**, 2483
- Lowe R.S., Kewley R.; 1976; J.Mol.Spect. **63**, 216
- Lux H.; 1960; 'Technika laboratoryjna w chemii nieorganicznej', str.81, PWN, Warszawa
- Łuszczak M., Stryjek R.; 1978; Bull.Pol.Acad.Sci.,Ser.Sci.Chim., **26**, 681
- Łuszczak M., Stryjek R.; 1981; praca niepublikowana; prezentowana na konferencji CHISA'81
- Łuszczak M., Stryjek R.; 1984a; Bull.Pol.Acad.Sci.,Chem., **32**, 371
- Łuszczak M., Stryjek R.; 1984b; wyniki nie publikowane
- Łuszczak M., Stolarska A.; 1984; wyniki nie publikowane
- Łuszczak M.; 1988; J.Chem.Thermodyn. **20**, 29
- Majgier-Baranowska H.; 1980; Chem.Phys.Lett., **73**, 362
- Majgier-Baranowska H., Pyżuk W., Jeule W, Zioło J.; 1981; J.Chem.Eng. Data, **26**, 51
- Malanowski S.; 1974; 'Równowaga ciecż-para. Oznaczanie, obliczanie, zastosowanie' PWN Warszawa
- Malanowski S., Skjold-Jorgensen S., Rasmussen P., Fredenslund Aa.; 1981; Chem.Eng.Sci., **36**, 1727
- Malanowski S.; 1982; Fluid Phase Equil., **8**, 197

- Malanowski S., Anderko A.; 1991; 'Modelling Phase Equilibria: Thermodynamic Background and Practical Tools',
- Malesińska B.; 1960a; Bull.Acad.Pol.Sci.,Ser.Sci.,Chim., **8**, 53
- Malesińska B., Malesiński W.; 1960b; Bull.Acad.Pol.Sci.,Ser.Sci.,Chim., **8**, 61
- Marina J.M., Tassios D.P.; 1973; Ind.Eng.Chem.,Proc.Des.Develop., **12**, 67
- Marquardt D.W.; 1963; J.Soc.Ind.Appl.Math., **11**, 431
- Marsh K.N.; 1977; J.Chem.Thermodyn., **9**, 719
- Marsh K.N., Rogers H.; 1989; J.Chem.Thermodyn., **21**, 113
- Mattelin A.C., Verhoeve L.A.J.; 1975; Chem.Eng.Sci. **30**, 193
- McGlashan M.L.; 1979; 'Chemical Thermodynamics', Academic Press Inc. (London)
- Michels A., Blaisse B., Michels C.; 1937; Proc.Roy.Soc., **A160**, 358
- Mixon F.O., Gumowski B., Carpenter B.H.; 1965; Ind.Eng.Chem.,Fundam., **4**, 455
- Moriyoshi T., Kaneshina S., Aihara K., Yabumoto K.; 1975; J.Chem.Thermodyn., **7**, 537
- Murray, Martin; 1975; J.Chem.Thermodyn., **7**, 839
- Nagarajan N., Kumar A., Gopal E.S.R., Greer S.C.; 1980; J.Phys.Chem., **84**, 2383
- Nagata I., Katoh K.; 1981a; Fluid Phase Equil., **5**, 225
- Nagata I., Nakamiya Y., Katoh K., Koyabu J.; 1981b; Thermochim.Acta, **45**, 153
- Nagata I.; 1982; Thermochim.Acta., **56**, 43
- Nagata I.; 1985; Fluid Phase Equil., **19**, 109
- Neau E.; 1972; Praca doktorska, Marsylia
- Neece G.; 1967; J.Phys.Chem., **46**, 4112
- Ochi K., Tada M., Kojima K.; 1990; Fluid Phase Equil., **56**, 341
- O'Connell J.P., Prausnitz J.M.; 1967; Ind.Eng.Chem.,Proc.Des.Develop., **6**, 254
- Pelger M., Klein H., Woermann D.; 1981a; Ber.Bunsenges.Phys.Chem., **85**, 356
- Pelger M., Klein H., Woermann D.; 1981b; J.Chem.Phys., **74**, 2505
- Piekara A.; 1939; Proc.Roy.Soc.London, **A127**, 360
- Prausnitz J.M., Eckert C.A., Orye R.V., O'Connell J.P.; 1967; 'Computer Calculations for Multicomponent Vapor-Liquid Equilibria' Prentice-Hall, New York
- Prausnitz J.M., Lichtenthaler R.N., de Azevedo R.G.; 1986; 'Molecular Thermodynamics of Fluid-Phase Equilibria' Prentice Hall, II Ed.
- Pyżuk W., Majgier-Baranowska H.; 1979; Chem.Phys.Lett., **63**, 184
- Pyżuk W., Majgier-Baranowska H., Zioło J.; 1980; Acta Phys.Polon., **A58**, 569
- Ralston A.; 1975; 'Wstęp do analizy numerycznej', PWN, Warszawa

- Rasmussen P.; 1983; Fluid Phase Equil., 13, 213
- Redlich, Kister; 1948;
- Renon H., Prausnitz J.M.; 1968; AIChE J., 14, 135
- Renon H., Asselineau L., Cohen G., Raimbault C.; 1971; 'Calcul sur Ordinateur des Equilibres Liquide-Vapeur et Liquide-Liquide', Technip., Paris
- Rice O.K.; 1950; J.Phys.Coll.Chem., 50, 1293
- Rogalski M.; 1979; 'Wyznaczenie i korelacja termodynamiczna równowagi ciecz-para w serii układów złożonych z węglowodorów i amin aromatycznych', Praca doktorska IChF, Warszawa
- Rogalski M., Stryjek R.; 1980; Bull.Acad.Pol.Sci., Ser.Sci., Chim., 28, 139
- Rowlinson J.S.; 1969; 'Liquids and Liquid Mixtures', Butterworth Scientific, II Ed.
- Rowlinson J.S., Swinton F.L.; 1982; 'Liquids and Liquid Mixtures' Butterworth Scientific, III Ed.
- Sada E., Takahashi K., Hamada M.; 1977; J.Chem.Eng.Data, 22, 279
- Scatchard G., Hamer W.J.; 1935; J.Am.Chem.Soc., 57, 1805
- Schmidt H., Jura G., Hildebrandt J.H.; 1959; J.Phys.Chem., 63, 297
- Schneider G.M.; 1972; Ber.Bunsenges.Phys.Chem., 76, 325
- Schneider G.M.; 1978; A Specialist Periodical Report. Chemical Thermodynamics, Vol 2, Burlington House, London
- Schofield P.; 1969; Phys.Rev.Lett., 22 606
- Schofield P., Lister J.D., Ho J.T.; 1969; Phys.Rev.Lett., 23, 1098
- Scott R.L.; 1978; A Specialist Periodical Report. Chemical Thermodynamics, Vol 2, Burlington House, London
- Sengers J.V., Levelt-Sengers J.M.H.; 1978; 'Progress in Liquid Physics' C. Croxton Ed. Wiley
- Simon M., Knobler C.M.; 1971; J.Chem.Thermodyn., 3, 657
- Simon M., Fanin A.A., Knobler C.M.; 1972; Ber.Bunsenges.Phys.Chem., 76, 321
- Singh R.R., van Hook W.A.; 1987a; J.Chem.Phys., 87, 6088
- Singh R.R., van Hook W.A.; 1987; J.Chem.Phys., 87, 6097
- Skjold-Jorgensen S., Rasmussen P., Fredenslund Aa.; 1980; Chem.Eng.Sci., 35, 2389
- Skjold-Jorgensen S., Rasmussen P., Fredenslund Aa.; 1982; Chem.Eng.Sci., 37, 99
- Smirnowa N.A.; 1980; 'Metody termodynamiki statystycznej w chemii fizycznej' PWN, Warszawa
- Smith B.D., Ol M., Dewan A., Gierlach M.; 1982a; J.Phys.Chem.Ref.Data, 11, 941
- Smith B.D., Ol M., Dewan A., Gierlach M.; 1982b; J.Phys.Chem.Ref.Data, 11, 1099
- Somayajulu G.R.; 1989; J.Chem.Eng.Data, 34, 106

- Sørensen J.M., Arlt W.; 1979; 'Liquid-Liquid Equilibrium Data Collection', Vol.1, DACHEMA, Frankfurt/Main
- Sørensen J.M., Magnussen T., Rasmussen P., Fredenslund A.; 1979a; Fluid Phase Equil., 2, 297
- Sørensen J.M., Magnussen T., Rasmussen P., Fredenslund A.; 1979b; Fluid Phase Equil., 3, 47
- Spinoli G., Ferloni P.; 1974; Int.DATA Ser. (A), 69
- Stanley H.E.; 1971; 'Introduction to Phase Transitions and Critical Phenomena' Oxford University Press
- Stein A., Allen G.F.; 1973; J.Phys.Chem.Ref.Data, 2, 443
- Stryjek R., Łuszczuk M.; 1978a; Bull.Acad.Pol.Sci., Ser.Sci., Chim., 26, 673
- Stryjek R., Rogalski M., Treszczanowicz T., Łuszczuk M.; 1978b; Bull. Acad.Pol.Sci., Ser.Sci.Chim., 26, 327
- Stryjek R., Góral M., Oracz P., Warycha S., Janaszewski B.; 1978c; Bull. Acad.Pol.Sci., Ser.Sci.Chim., 26, 689
- Stryjek R., Łuszczuk M.; 1980; Pol.J.Chem., 54, 149
- Stryjek R., Łuszczuk M., Fedorko-Antosik M.; 1982; Bull.Acad.Pol.Sci., Ser.Sci.Chim., 29, 203
- Stryjek R., Łuszczuk M.; 1983; Proc.CODATA Conf., Jachranka, Poland, Ed. P.S.Glaeser
- Strzałkowski A., Śliżyński A.; 1978; 'Matematyczne metody opracowania wyników pomiarów' PWN, Warszawa
- Szydłowski J., Van Hook A.W.; 1991; Macromolecules, 24, 4883
- Śliwińska-Bartkowiak M.; Pozn.Tow.P.N., Prace Komisji F.D.R., 1977, 9, 39
- Tao L.C.; 1961; Ind.Eng.Chem. 33, 307
- Tsonopoulos A.; 1974; AIChE Journal, 20, 263
- TRC; 1973; 'Thermodynamic Tables. Non-Hydrocarbons', Vol.IV, Thermodynamics Research Center, The A&M University System College Station, Texas
- Tveekrem J.L., Jacobs D.T.; 1983; Phys.Rev.A, 27, 2773
- Van Ness H.C.; 1964; 'Classical Thermodynamics of Non-Electrolyte Solutions', Pergamon Press
- Van Ness H.C., Abbott M.M.; 1982; 'Classical Thermodynamics of Non Electrolyte Solutions. With Applications to Phase Equilibria' McGraw-Hill, New York
- Vera J.H., Sayegh S.G., Ratcliff G.A.; 1977; Fluid Phase Equil., 1, 113
- Viner M.R., Smith R.W.; 1981; J.Chem.Soc., Faraday Trans.2, 77, 1061
- Vnuk F.; 1981; J.Chem.Soc., Faraday Trans.2, 77, 1045
- Vnuk F.; 1983a; J.Chem.Soc., Faraday Trans.2, 79, 41
- Vnuk F.; 1983b; J.Chem.Soc., Faraday Trans.2, 79, 57
- Walker J.S., Vause C.A.; 1980; Phys.Lett.A, 79, 421
- Walker J.S., Vause C.A.; 1983; J.Chem.Phys., 79, 2860

Walker J.S., Goldstein R.E.; 1985; Phys.Lett.A, **112**, 53  
Wegner F.J.; 1972; Phys.Rev.B, **5**, 4529  
Wheeler J.C., Widom B.; 1968; J.Am.Chem.Soc., **90**, 3064  
Wheeler J.C., Widom B.; 1970; J.Chem.Phys., **52**, 5334  
Wheeler J.C.; 1972; Ber.Buns.Ges.,Phys.Chem., **76**, 308  
Wheeler J.C.; 1975; J.Chem.Phys., **62**, 433  
Wheeler J.C.; 1977; Ann.Rev.Phys.Chem., **28**, 411  
Wheeler J.C., Andersen G.R.; 1980; J.Chem.Phys., **73**, 5778  
Widom B.; 1967; J.Chem.Phys., **46**, 3324  
Widom B., Khosla M.P.; 1980; J.Chem.Soc., Faraday Trans.1, **76**, 2043  
Wieczorek S.A.; 1976; 'Badanie równowagi ciecz-para metodą statyczną układów {n-heksanol-1 + n-heksan} i {n-dodekanol-1 + n-heksan}', Praca doktorska IChF PAN, Warszawa  
Wilson G.M.; 1964; J.Am.Chem.Soc., **86**, 127  
Zollweg J.A., Mulholland G.W.; 1972; J.Chem.Phys., **57**, 1021

## ZALĄCZNIK A

### Model Isinga

W 1925 roku Ising zaproponował model do rozwiązania problemu ferromagnetyzmu. Założenia i sposób rozwiązania jest dla nas o tyle interesujący, że mogą być przeniesione na inne zagadnienia związane z występowaniem stanów alternatywnych (Smirnowa, 1980). W zagadnieniach tych sposób rozumowania, poszukiwane wielkości, terminologia są podobne i w związku z tym przedstawiono go w tym załączniku w zarysie.

Energia elektronowa związana z orientacją spinów w węzłach sieci może być zapisana w postaci:

$$E = - \sum_{i < k} J_{ik} s_i s_k \quad \text{A-1}$$

gdzie zmienna  $s_i$  może przyjmować wartości  $\pm 1$ , w zależności od orientacji spinu w  $i$ -tym węźle, powiedzmy, "w górę" lub "w dół".  $J$  jest tzw. całką wymiany i jeśli przyjmemy, że jest jednakowa dla wszystkich węzłów, a jej oddziaływanie maleje szybko wraz z odległością to energia wynosi:

$$E = -J \sum_{i < k} s_i s_k \quad \text{A-2}$$

Stosując przybliżenie Bragga-Williamsa (1936) można wykazać, że występowanie domen magnetycznych jest przemianą drugiego rodzaju.

Jeśli przez  $N_A$  oznaczmy liczbę spinów, dla których  $s_i = +1$ , a przez  $N_B$  - liczbę spinów o wartości  $s_i = -1$ , to całkowita liczba węzłów w układzie wynosi:

$$N = N_A + N_B \quad \text{A-3}$$

Termodynamiczne prawdopodobieństwo pozwala nam obliczyć entropię układu spinów:

$$W = \frac{N!}{N_A! N_B!} \quad \text{A-4}$$

$$S = k \ln W = -k \left( N_A \ln \frac{N_A}{N} + N_B \ln \frac{N_B}{N} \right) \quad A-5$$

Parametr uporządkowania jest zdefiniowany następująco:

$$\eta = M/M_\infty = (N_A - N_B)/N \quad A-6$$

Przy całkowitym uporządkowaniu, czyli przy ustawieniu wszystkich spinów w jedną stronę  $\eta = 1$  natomiast dla całkowitego nieporządku czyli dla  $N_A = N_B$  parametr ten wynosi zero. Stąd  $N_A/N = 1/2(1 + \eta)$  i  $N_B/N = 1/2(1 - \eta)$ .

Entropia wyrażona poprzez parametr uporządkowania wynosi więc:

$$S(\eta) = -kN \left\{ \frac{1}{2} (1+\eta) \ln [(1+\eta)/2] + \frac{1}{2} (1-\eta) \ln [(1-\eta)/2] \right\} \quad A-7$$

Widać stąd, że wraz z zanikiem uporządkowania ( $\eta \rightarrow 0$ ) entropia układu rośnie.

Energia układu spinów wynosi:

$$E = -J ( N_{AA} + N_{BB} - N_{AB} ) = - JNz/2 \quad A-8$$

gdzie  $N_{IJ}$  oznacza liczbę najbliższych sąsiadów o wartości spinu I lub J, a z jest liczbą koordynacyjną sieci. Liczby zgodnie i przeciwnie skierowanych spinów wynoszą odpowiednio:

$$N_{AA} = zN (1+\eta)^2/8 \quad A-9$$

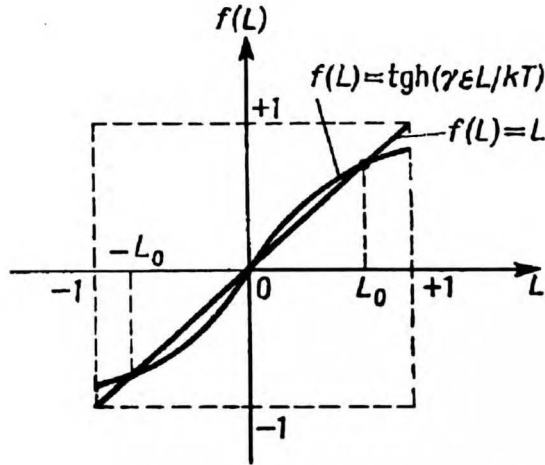
$$N_{BB} = zN (1-\eta)^2/8 \quad A-10$$

$$N_{AB} = zN (1-\eta)^2/4 \quad A-11$$

Jeśli w rozpatrywanym węźle znajduje się spin o pewnym kierunku, to w przypadku ferromagnetyku, istnieje duże prawdopodobieństwo, że sąsiedni z nim spin będzie skierowany w tym samym kierunku. Jest to tzw. uporządkowanie bliskiego zasięgu. Metoda Bragga-Williamsa uwzględnia tylko dalekie uporządkowanie i stąd parametr  $\eta$  nazywa się parametrem dalekiego uporządkowania.

Energia swobodna związana z daną konfiguracją spinów, wyrażona jako funkcja parametru uporządkowania wynosi:





Rys.A-1. Rozwiązanie graficzne modelu Isinga.

$$F(\eta) = E(\eta) - TS(\eta) =$$

$$-\frac{1}{2}NzJ\eta^2 + NkT \left\{ \frac{1}{2} (1+\eta) \ln [(1+\eta)/2] + \frac{1}{2} (1-\eta) \ln [(1-\eta)/2] \right\} \quad \text{A-12}$$

W stanie równowagi statystycznej  $(\partial F/\partial \eta)_T = 0$ . Poprzez zróżniczkowanie otrzymujemy:

$$\frac{zJ}{kT} \eta = \frac{1}{2} \ln \frac{1+\eta}{1-\eta} \quad \text{A-13}$$

$$\eta = \operatorname{tgh} \left( \frac{zJ}{kT} \right) \eta \quad \text{A-14}$$

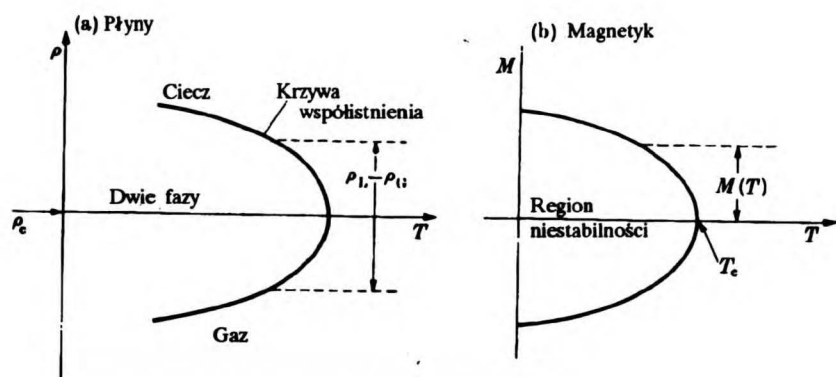
Podstawiając  $\left( \frac{zJ}{kT} \right) \eta = x$  otrzymujemy:

$$\frac{kT}{zJ} x = \operatorname{tgh}(x) \quad \text{A-15}$$

Rozwiązanie przedstawia rysunek A-1. Jak powiedziano, dla temperatury krytycznej wartość parametru uporządkowania wynosi 0, a więc wartość tangensa hiperbolicznego wynosi 1. Stąd:

$$T^c = zJ/k \quad \text{A-16}$$

Jak widać, temperatura krytyczna jest wyrażona za pomocą całki wymiany.



Rys.A-2. Krzywa współistnienia dla modelu siatkowego (a) i modelu Isinga (b).

Krzywa namagnesowania wyrażona w postaci parametru uporządkowania w funkcji temperatury zredukowanej ma uniwersalny charakter.

Analogia pomiędzy przedstawionym wyżej rozwiązaniem modelu Isinga a modelem siatkowym cieczy Guggenheima (1952) jest oczywista. Rozwiązanie, określające warunki powstawania krzywej współistnienia i punktu krytycznego jest takie same w obu modelach (wzór 66, Buchowski, 1961) po odpowiednim podstawieniu zmiennej  $x$ . Podobieństwo to ilustruje rys.B-2.

### Model Barkera-Focka

Historycznie, pierwszym, który podał model termodynamiczny przewidujący istnienie luki zamkniętej, a więc i dolnego punktu krytycznego byli Barker i Fock (1953). Założyli oni istnienie dwóch rodzajów oddziaływań międzycząsteczkowych w układzie dwuskładnikowym. Cząsteczki roztworu umieścili w węzłach sieci o liczbie koordynacyjnej  $z=6$ . Każda cząsteczka posiada  $z$  kontaktów z czego jeden oddziałuje z sąsiednią molekułą w inny sposób niż pozostałe  $(z-1)$  kontaktów. Jeśli cząsteczki różnego typu oznaczymy odpowiednio A i B, a kontakty odpowiednio  $A_p$  i  $A_q$  oraz  $B_p$  i  $B_q$  to zaproponowane przez autora oddziaływania i odpowiadające im energie przedstawione są w tabelicy A-1.

Tablica A-1

Rozkład i rodzaj energii w modelu Barkera.

Oddziaływanie	Energia
Ap-Ap, Ap-Aq, Aq-Aq	0
Bp-Bp, Bp-Bq, Bq-Bq	
Ap-Bp	U > 0 (odpychanie)
Ap-Bq, Aq-Bp, Aq-Bq	U < 0 (przyciąganie)

Potencjały chemiczne składników wyrażone są w postaci:

$$\mu_i = RT [(z-1)\ln(\chi_{ip}/x_i\chi_{ip}) + \ln(\chi_{iq}/x_i\chi_{iq}) + \ln x_i] \quad A-17$$

gdzie  $i = A, B$ . Parametry  $\chi_{ip}$  i  $\chi_{iq}$  znajdowane są w wyniku rozwiązania układów równań uzyskanych przez Barkera (1952) metodą przybliżenia quasi-chemicznego. Ich forma matematyczna jest dość skomplikowana i nie jest omawiana.

Z warunków równowagi termodynamicznej dla dwóch współistniejących faz:

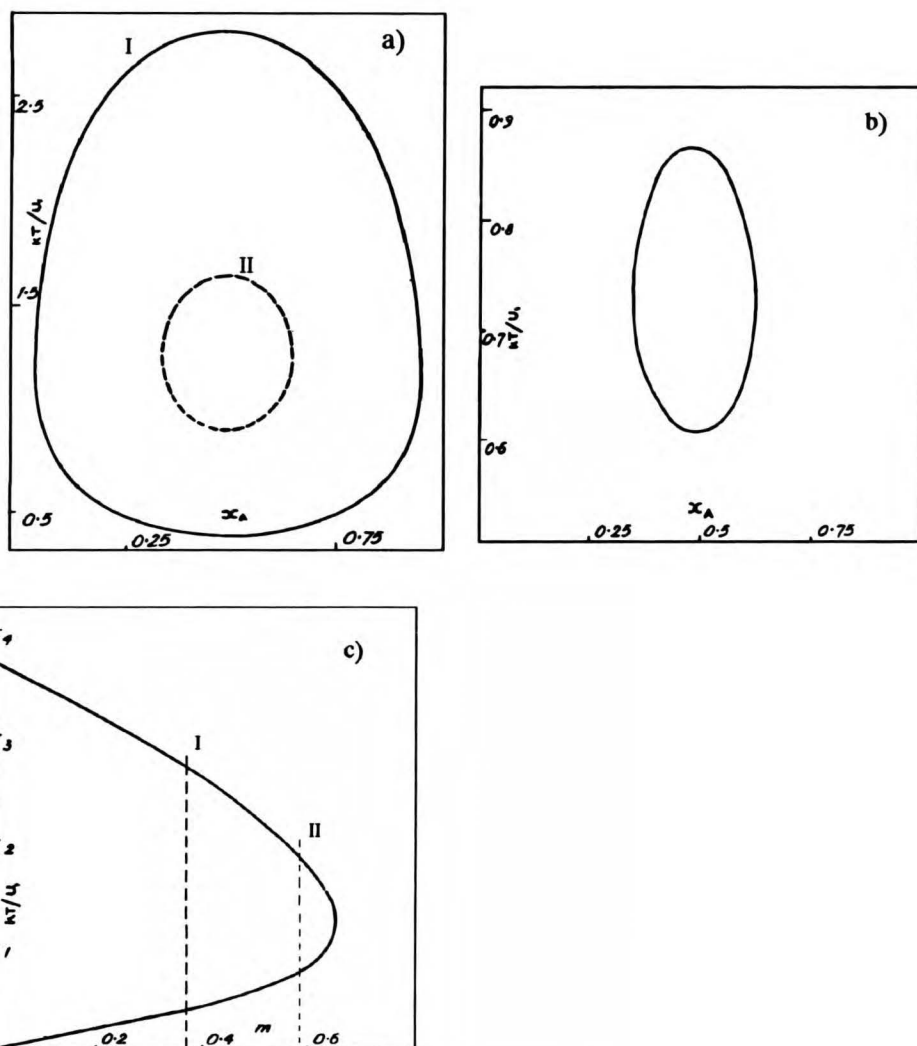
$$\mu'_A = \mu''_A \quad \text{oraz} \quad \mu'_B = \mu''_B \quad A-18$$

gdzie subskrypty oznaczają poszczególne fazy, oraz warunku stanu krytycznego:

$$d^2F/dx^2 = d^3F/dx^3 = 0 \quad A-19$$

gdzie  $F$  jest swobodną energią mieszania.

Autorzy, dla warunków symetrycznych tzn.  $x_i = 1/2$ , uzyskali linię krytyczną jako funkcję zastosowanych energii  $U_1$  i  $U_2$ . Jeśli temperaturę wyrazimy w postaci  $U_1/kT$ , natomiast stosunek energii przyciągającej i odpychającej w postaci parametru  $m = |-U_2|/U_1$  to ich wzajemna zależność daje linię krytyczną przedstawioną na rysunku A-3(c). Rozmiar krzywej jak i jej kształt jest również zależny od liczby koordynacyjnej sieci co



Rys. A-3. Zamknięte luki mieszalności obliczone modelem Barkera-Focka dla  $z = 6$  (a) i  $z=4$  (b), oraz linia krytyczna (c) dla  $z=6$ .

również przedstawione jest na rysunku. Autorzy również podali kształt i rozmiar luki mieszalności w przestrzeni T-x w zależności od wybranego parametru  $m$ . Cięcia linii krytycznej i odpowiadające im luki pokazuje rys. A-3.

#### Model Wheelera i Andersena

Każda cząsteczka jest tak pomyślana, że posiada jeden wyróżniony punkt kontaktowy  $A_+$  i  $B_+$  i  $(\omega - 1)$  zwykłych punktów styku  $A_0$  i  $B_0$  bez względu czy znajduje się w komórce sieci podstawowej czy wtórnej. Od-

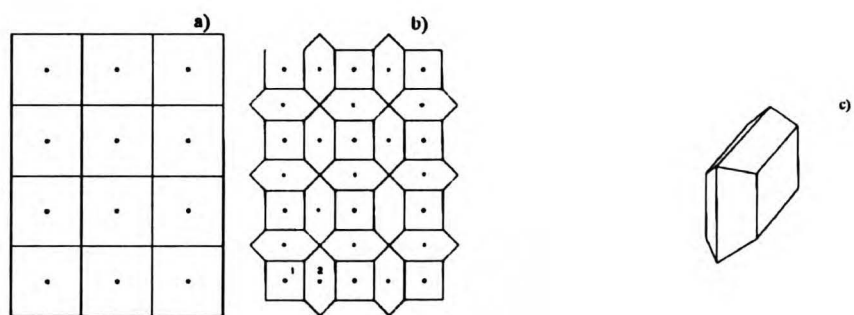
działania występują tylko pomiędzy cząsteczkami pierwszego i drugiego rzędu. Przyciąganie, czyli ujemna energia oddziaływania występuje tylko pomiędzy różnymi cząsteczkami w obu rodzajach komórek, lecz tylko gdy możliwe jest oddziaływanie wyróżnione dla cząsteczki drugiego rzędu. Przedstawia to tablica D-1.

Tablica A-2

Definicje aktywności energetycznych molekuł w modelu Wheelera i Andersena

Komórki		Energia
I rzędu	II rzędu	
$A_+$ lub $A_o$	$A_+$ lub $A_o$	0
$B_+$ lub $B_o$	$B_+$ lub $B_o$	0
$A_+$ lub $A_o$	$B_o$	$U_1 > 0$ odpychanie
$B_+$ lub $B_o$	$A_o$	$U_1 > 0$
$A_+$ lub $A_o$	$B_+$	$U_2 < 0$ przyciąganie
$B_+$ lub $B_o$	$A_+$	$U_2 < 0$

Jeżeli w komórce drugiego rzędu znajduje się cząsteczka A lub B i posiada najbliższych sąsiadów w dwóch komórkach pierwszego rzędu zarówno A jak i B, wtedy oddziałuje przez specyficzny kontakt energią  $U_2$ , natomiast pozostałe kontakty energią  $U_1$  czyli odpychająco. Gdy najbliższymi sąsiadami są cząsteczki innego typu niż rozważana molekula, to wtedy posiada ona dwa kontakty o energii  $U_1 - U_2$ , oraz  $(\omega - 2)$  kontaktów o energii  $U_1$ . Należy zwrócić uwagę, że energia oddziaływania pomiędzy cząsteczkami w komórkach pierwszorzędowych jest niezależna od orientacji cząsteczek. Istotne jest tylko to, czy jest to stan A czy B. Takie uproszczenie pozwala na odniesienie bezpośrednio do modelu Isinga, a przez to do rozwiązania zagadnienia jak dla trójwymiarowego modelu Isinga dla ferromagnetyków. Funkcja podziału jest odpowiednio przekształcona i aktywności składników i temperatura  $T$  spełniają rolę pola magnetycznego i temperatury  $T_1$  odpowiednio. Równoważne wielkości rozpatrywanego modelu i modelu odniesienia wyrażają się następująco:



Rys.A-4. Podstawowa sieć modelu Wheelera i Andersena (a) oraz obraz sieci I i II rzędu (b); obok wygląd komórki II rzędu (c).

$$\lambda = \zeta \left( \frac{\zeta\omega + y}{\omega + \zeta y} \right)^{q/2} \Leftrightarrow \exp\left(\frac{-2H}{kT_1}\right) \quad \text{A-20}$$

$$\xi = \frac{[\eta_2 + (\omega - 1)\eta_1](1 + \zeta)}{[(\omega + \zeta y)(\zeta\omega + y)]^{1/2}} \Leftrightarrow \exp\left(\frac{-2J}{kT_1}\right) \quad \text{A-21}$$

gdzie  $H$  jest polem magnetycznym,  $J$  - całką nakładania modelu Isinga,  $\zeta$  jest zdefiniowane jako stosunek aktywności śladnika A i B:

$$\zeta = z_A/z_B \quad \text{A-22}$$

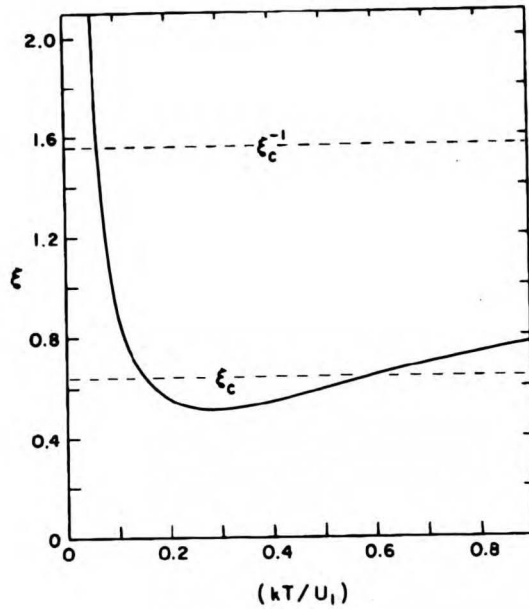
natomiast

$$y = 2\eta_1\eta_2 + (\omega - 2)\eta_1^2 \quad \text{A-23}$$

przy czym

$$\eta_1 = \exp(-U_1/kT) \quad \text{i} \quad \eta_2 = \exp(-U_2/kT). \quad \text{A-24}$$

Przejście fazowe w modelu isinga ma miejsce przy zerowym polu magnetycznym  $H = 0$ . Wielkość  $\lambda$  odgrywa rolę pola magnetycznego i musi posiadać wartość 1. Dla tego warunku wyrażeni na  $\xi$  przyjmuje postać:



Rys. A-5. Zależność parametru  $\xi$  od temperatury.

$$\xi = 2\eta_2 \frac{1 + (\omega - 1) \eta_1 / \eta_2}{\omega + 2\eta_1 \eta_2 + (\omega - 2)\eta_1^2} \quad \text{A-25}$$

Dla prostej, trójwymiarowej sieci stwierdzono, że istnieje pewna krytyczna wartość parametru  $\xi_c = 0.64183$ , poniżej której następuje rozpad na dwie fazy. Ta niższa wartość występuje w pewnym zakresie temperatur dla odpowiednio dobranych wartości energii  $U_1$  i  $U_2$ . Przez analogię do magnetyzacji jako parametru uporządkowania w modelu Isinga, składy równowagowe oblicza się wykorzystując jej nieciągłość.

$$x = x_A + \frac{1}{2} \pm \frac{m_o(\xi)}{2 + q} \left( 1 + \frac{1}{2q} \frac{\omega - y}{\omega + y} \right) \quad \text{A-26}$$

gdzie

$$x_A \equiv N_A / (N_A + N_B). \quad \text{A-27}$$

### Model Walkera i Vause

W tym modelu cząsteczki umieszczone są w  $d$  wymiarowej sieci. Analogicznie do modelu Isinga zmienna  $s_i$  przyjmuje wartości  $\pm 1$ , w zależności

od tego jakiego rodzaju molekula znajduje się w i-tym węzle. Ponadto każdą cząsteczkę charakteryzuje druga zmienna  $\sigma$ , która może przyjmować wartości 1,2,3...q. Zmienna ta informuje o orientacji cząsteczki. Wynika stąd, że cząsteczka może mieć q wyróżnionych kierunków oddziaływania. Cząsteczki oddziałują ze sobą poprzez następujący hamiltonian:

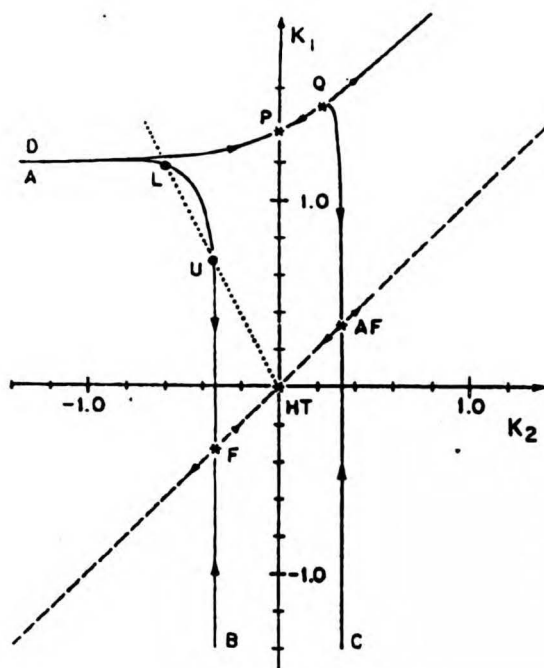
$$\mathcal{H} = \frac{1}{2} \sum_{\langle i,j \rangle} (1 - s_i s_j) [K_2 + (K_1 - K_2) \delta_{\sigma_i \sigma_j}] \quad \text{A-28}$$

gdzie  $\delta$  jest deltą Kroneckera przyjmującą wartość 1 dla jednakowych wartości  $\sigma_i$  i 0 dla pozostałych. Taka konstrukcja hamiltonianu pozwala określić w prosty sposób warunki oddziaływania najbliższych sąsiadów w sieci. Jeśli sąsiednie cząsteczki są tego samego typu, wartość czynnika  $(1 - s_i s_j)$  wynosi 0 i cząsteczki nie oddziałują. W przypadku różnych molekuł, elcz gdy ich względne orientacje są różne, co wyraża się różnymi wartościami zmiennej  $\sigma$ , cząsteczki oddziałują ze sobą siłą odpychającą  $K_2$ . Natomiast w przypadku różnych wartości zmiennej spinowej i takiego samego stanu wewnętrznego molekuł oddziaływanie jest przyciągające  $K_1$ .

Model ten jest rozwiązany pod względem mechaniki statystycznej przybliżeniem Migdal-Kadanoff'a z zastosowaniem metody renormalizacji grup, w której współczynnik przeskalowania sieci wynosi 3. Uzyskany diagram fazowy w przestrzeni parametrów pokazany jest na rysunku A-6.

Obszar, którego centralnym punktem jest HT obejmuje układ jednofazowy czyli stan całkowitego wymieszania. Na lewo od krzywej AB znajduje się obszar ciekły dwufazowy, najbardziej dla nas interesujący. Przedstawiony diagram fazowy pozwala określić występowanie przejścia fazowego dla pewnych stałych wartości parametrów  $K_1$  i  $K_2$ , które są scharakteryzowane przy pomocy parametru  $R = -K_1/K_2$ .





Rys.A-6. Diagram fazowy w przestrzeni parametrów modelu Walkera-Vause.

Punkty charakterystyczne oznaczają:

HT - punkt wysokotemperaturowy; początek układu odpowiadający temperaturze nieskończonej,

F - punkt krytyczny przejścia ferromagnetycznego

AF - jak wyżej dla antyferromagnetyków

P - 2q-stanowy model Pott'a

Q - punkt multikrytyczny

U - górny punkt krytyczny mieszalności

L - dolny punkt krytyczny mieszalności

Przedstawiony hamiltonian (A-28) ma pewne ogólne własności:

1.  $K_1 = K_2 = K$

W tym przypadku redukuje się on do:

$$\mathcal{H} = 1/2 K \sum' (1 - s_i s_j) \quad \text{A-29}$$

czyli sprowadza się do modelu Isinga, omówionego wcześniej.

2.  $K_2 = 0$

$$\mathcal{H} = 1/2 K_1 \sum' (1 - s_i s_j) \delta_{\sigma_i \sigma_j} \quad \text{A-30}$$

W punkcie P następuje krystalizacja mieszaniny cząsteczek A i B

3.  $K_1 \neq |K_2|$ , lecz  $K_2 < 0$

Ten przypadek wykorzystuje pełną postać hamiltonianu. Określa on miejsce na diagramie fazowym, w którym występuje i zanika przejście fazowe ciec-ciecz.

Przedstawiona na rys. A-6 linia kropkowana (oznaczająca wspomnianą, stałą wartość parametru R) wyznacza na linii krytycznej A-F-B występowanie dolnego i górnego punktu krytycznego mieszalności. Jej przecięcie się z linią D-P-Q oznacza wejście w obszar występowania mieszaniny cząsteczek A i B w fazie stałej.

Rozwiązanie tego, czyli znalezienie współistniejących składów sprowadza się, podobnie jak w modelu Wheelera i Andersena do przypisania wielkości obliczonych za pomocą hamiltonianu wielkościom charakterystycznym (magnetyzacji) modelu Isinga.

$$x = \frac{1 \pm \Delta m}{2} \quad \text{A-31}$$

$$\Delta m(K_1, K_2) = \frac{(8q^2 + Z^0)}{9Z^0} \Delta m(K'_1, K'_2) \quad \text{A-32}$$

Czynnik  $Z^0$ , oraz pochodne wielkości energetyczne oblicza się przy pomocy wzorów rekurencyjnych podanych przez autorów.  $q$  pełni rolę liczby koordynacyjnej, jak to powiedziano w rozdz. IV-4.2.

## ZAŁĄCZNIK B

### Metoda Tao

Metoda obliczania równowagi ciecż-para stosująca numeryczne całkowanie równania Gibbsa-Duhema dla procesu izobaryczno-izotermicznego nosi nazwę metody Tao (1961). Próba zastosowania jej w tej pracy wynikała z tego, że nie wymaga ona zastosowania konkretnego wyrażenia na  $G^E$ , a przez to, konkretnego modelu.

Dla układu dwuskładnikowego równanie III-14 może być zapisane następująco:

$$\left( \frac{x_1 P_1^0}{\phi_1^P} \right) \left( \frac{\gamma_1}{\gamma_2} \right) + \left( \frac{x_2 P_2^0}{\phi_2^P} \right) = \frac{1}{\gamma_2} \quad \text{B-1}$$

Równanie to zawiera tylko dwie niewiadome  $\gamma_1$  i  $\gamma_2$ . Z drugiej strony wiadomo, że:

$$\Delta G^E/RT = x_1 \ln \gamma_1 + x_2 \ln \gamma_2 \quad \text{B-2}$$

$$G^E/RT \Big|_{x_1^n} - G^E/RT \Big|_{x_1^{(n-1)}} = \Delta G^E/RT = \int_{x_1^n}^{x_1^{n+1}} \left( \ln \frac{\gamma_1}{\gamma_2} + \Gamma \right) dx_1 \quad \text{B-3}$$

gdzie  $\Gamma = \frac{V^E dP}{RT dx}$  dla warunków izotermicznych; subskrypt n oznacza, że wartość obliczana jest w punkcie n o składzie  $x_1^n$ . Stosując całkowanie numeryczne metodą trapezów uzyskujemy

$$\epsilon(n-1/2) \ln \left( \frac{\gamma_1}{\gamma_2} \right)_{n\epsilon} = \ln(1/\gamma_2) \Big|_{n\epsilon} + \epsilon(n-1/2) \left( \frac{\gamma_1}{\gamma_2} \right)_{(n-1)\epsilon} -$$

$$\ln(1/\gamma_2) \Big|_{(n-1)\epsilon} + (\Gamma \Big|_{n\epsilon} + \Gamma_{(n-1)\epsilon}) (\epsilon/2) \quad \text{B-4}$$

Odpowiednia transformacja i sumowanie prowadzi do wzorów na składniki równania b-4, które rozwiązuje się ze względu na stosunek współczynników aktywności. Dla warunków startowych  $x_1 = 0$ ,  $\Gamma = 0$ , i  $\gamma_2 =$

1.

$$\left(\frac{\gamma_1}{\gamma_2}\right)^{(n-1/2)\epsilon} = C_n A_n \left(\frac{\gamma_1}{\gamma_2}\right)_{n\epsilon} + C_n B_n \quad \text{B-5}$$

$$C_n = C_{n-1} \left\{ \exp[(\Gamma|_{n\epsilon} + \Gamma|_{(n-1)\epsilon})\epsilon/2] \left(\frac{\gamma_1}{\gamma_2}\right)_{(n-1)\epsilon}^\epsilon \right\} \quad \text{B-6}$$

$$A_n = \frac{n\epsilon P_1^0}{\phi_1 P} \quad B_n = \frac{(1-n\epsilon) P_2^0}{\phi_2 P} \quad \text{B-7}$$

Obliczenia rozpoczyna się od wygładzenia danych prężności pary w funkcji składu za pomocą np wielomianu. Umożliwia to interpolację wektora  $n$  prężności dla  $n\epsilon$  składów konieczną do numerycznego całkowania. Należy również wyestymować wartość granicznego współczynnika pierwszego składnika. Tao w swej pracy zaproponował wyrażenia podanego przez Gautreaux i Goatesa (1955).

$$\gamma_1^\infty = \frac{P}{P_1^0} \left[ 1 + \left( \frac{\partial P}{\partial x} \right)_{T, x_1=0} \left( \frac{1}{P} \right) \right] \quad \text{B-8}$$

Metoda ta została zaproponowana 30 lat temu, lecz nie zyskała popularności wobec szybkiego rozwoju równań korelacyjnych i metod obliczeniowych z jednej strony oraz jej niedogodności - z drugiej. Wymienione niedogodności to konieczność aproksymacji zmierzonego ciśnienia względem składu za pomocą jakiegoś wyrażenia matematycznego, konieczność estymacji granicznego współczynnika aktywności któregoś ze składników na podstawie danych dość dalekich od stężeń granicznych. Ponadto, obecność punktu azeotropowego powoduje rozbieżność w trakcie optymalizacji, co wymaga sztucznych zabiegów w celu przywrócenia zbieżności.

### Metoda MGC

Metoda Mixona-Gumowskiego-Carpentera (Mixon i wsp., 1965), zwana dalej metodą MGC, powstała m.in. w celu, jak piszą autorzy, umożliwieniu obliczeń układów trój i więcej składnikowych bez konieczności stosowania *explicite* wyrażenia na  $G^E$ . Funkcja ta jest przybliżana za pomocą wyrażeń III-1 i III-2 dla przypadku ogólnego (układ wieloskładnikowy). Wzór na ciśnienie całkowite nad roztworem  $N$  składnikowym przyjmuje postać:

$$P = \sum_{k=1}^{N-1} x_k P_k^0 \exp\left(G + \frac{\partial G}{\partial x_k} - \sum_{i=1}^{N-1} x_i \frac{\partial G}{\partial x_i}\right) + x_N P_N^0 \exp\left(G - \sum_{i=1}^{N-1} x_i \frac{\partial G}{\partial x_i}\right) \quad \text{B-9}$$

gdzie  $G = G^E/RT$ .

Równanie to jest rozwiązywane, podobnie jak w metodzie Tao, przez obliczenie, w pierwszym etapie, wektora ciśnień nad roztworem z interwałem  $\epsilon_k$  dla składów  $x_k = n\epsilon_k$ . Wartości pochodnych są przybliżane pochodnymi numerycznymi:

$$\frac{\partial G}{\partial x_k} = \frac{G(n\epsilon_k + \epsilon) - G(n\epsilon_k - \epsilon)}{2\epsilon} \quad \text{B-10}$$

Wartości w nawiasach stanowią indeksy wektora funkcji  $G(n)$ . Podstawiając B-10 do B-9 otrzymujemy:

$$P(n\epsilon_k) = \sum_{k=1}^{N-1} n\epsilon_k P_k^0 \exp\left(G + \frac{G(n\epsilon_k + \epsilon) - G(n\epsilon_k - \epsilon)}{2\epsilon} - \sum_{i=1}^{N-1} n\epsilon_i \frac{G(n\epsilon_i + \epsilon) - G(n\epsilon_i - \epsilon)}{2\epsilon}\right) + x_N P_N^0 \exp\left(G - \sum_{i=1}^{N-1} n\epsilon_i \frac{G(n\epsilon_i + \epsilon) - G(n\epsilon_i - \epsilon)}{2\epsilon}\right) \quad \text{B-11}$$

Wartość  $G$  jest obliczana iteracyjnie i  $n$ -ta poprawka jej estymaty  $g^{(n)}$  obliczana jest ze wzoru wiążącego  $n$ -te przybliżenie ciśnienia całkowitego wzorem:

$$-\frac{p_1^{(n)} - p_1^{\text{id}}}{2\epsilon} g^{(k-1)} + P^{(n)}(k)g(k) + \frac{p_1^{(n)} - p_1^{\text{id}}}{2\epsilon} g^{(k-1)} = P(k) - P^{(n)}(k) \quad \text{B-12}$$

Wektor poprawek  $g$  z rozwiązania układu  $M$  równań tworzących macierz trójkątną, której elementy są zdefiniowane następująco:

$$A^{(n)} = -\frac{p_1^{(n)} - p_1^{\text{id}}}{2\epsilon} \quad B^{(n)} = P^{(n)} \quad C^{(n)} = -A^{(n)} \quad \text{B-13}$$

Rozwiązanie układu równań:

$$\begin{bmatrix} B_{(1)}^{(n)} & C_{(1)}^{(n)} & 0 & 0 & \cdot & 0 \\ A_{(2)}^{(n)} & B_{(2)}^{(n)} & C_{(2)}^{(n)} & 0 & \cdot & 0 \\ 0 & A_{(3)}^{(n)} & B_{(3)}^{(n)} & C_{(3)}^{(n)} & \cdot & 0 \\ \cdot & \cdot & \cdot & \cdot & \cdot & \cdot \\ \cdot & \cdot & \cdot & \cdot & A_{(M)}^{(n)} & B_{(M)}^{(n)} \end{bmatrix} \begin{bmatrix} g(1) \\ g(2) \\ g(3) \\ \cdot \\ g(M) \end{bmatrix} = \begin{bmatrix} P(1)-P_{(1)}^{(n)} \\ P(2)-P_{(2)}^{(n)} \\ P(3)-P_{(3)}^{(n)} \\ \cdot \\ P(M)-P_{(M)}^{(n)} \end{bmatrix} \quad \text{B-14}$$

daje wektor  $g(i)$ , który dodaje się do aktualnego wektora  $G(i)$ . Iteracje przerywa się, gdy suma elementów wektora  $P(i)-P_{(i)}^{(n)}$  nie zmienia się o określoną wartość.

Metoda ta posiada podobne ograniczenia co metoda Tao aczkolwiek jest często stosowana przez grupę B.D.Smitha do układów wykazujących niewielkie odchylenia od doskonałości (np. Khurma i wsp.; 1983).

## ZAŁĄCZNIK C

W niniejszym załączniku przedstawione są wzory na pierwszą, drugą, trzecią i czwartą pochodną względem składu wyrażeń na nadmiarową energię Gibbsa stosowanych w tej pracy.

$$Q^{id} = G^{id}/RT$$

$$dx_i = \frac{\partial x_i}{\partial x_j} = 1, -1 \quad i, j=1, 2$$

$$Q = \sum_i x_i \ln x_i$$

$$\frac{\partial Q}{\partial x} = \sum_i \left( dx_i \ln x_i + 1 \right)$$

$$\frac{\partial Q^k}{\partial x^k} = \sum_i \left[ - \left( \frac{dx_i}{x_i} \right)^{k-1} \right] \quad k = 2, 3, 4$$

### Redlich-Kister

$$Q = G^E/RT$$

$$Q = x(1-x) \sum_i A_i (1-2x)^{(i-1)}$$

$$\frac{\partial Q}{\partial x} = \sum_i A_i (1-2x)^i - 2x(1-x) \sum_i A_i (i-1)(1-2x)^{(i-2)}$$

$$\frac{\partial^2 Q}{\partial x^2} = -2 \left\{ \sum_i A_i i (1-2x)^{(i-1)} + \sum_i A_i (i-1)(1-2x)^{(i-1)} + -2x(1-x) \sum_i A_i (i-1)(i-2)(1-2x)^{(i-3)} \right\}$$

$$\frac{\partial^3 Q}{\partial x^3} = 4 \left\{ \sum_1 A_1 i(i-1)(1-2x)^{(i-2)} + \right. \\
+ \sum_1 A_1 (i-1)(i-2)(1-2x)^{(i-2)} + \\
+ \sum_1 A_1 (i-1)^2(1-2x)^{(i-2)} + \\
\left. - 2x(1-x) \sum_1 A_1 (i-1)(i-2)(i-3)(1-2x)^{(i-4)} \right\}$$

$$\frac{\partial^4 Q}{\partial x^4} = -8 \left\{ \sum_1 A_1 i(i-1)(i-2)(1-2x)^{(i-3)} + \right. \\
+ \sum_1 A_1 (i-1)(i-2)(i-3)(1-2x)^{(i-3)} + \\
+ \sum_1 A_1 (i-1)(i-2)^2(1-2x)^{(i-3)} + \\
+ \sum_1 A_1 (i-1)^2(i-2)(1-2x)^{(i-2)} + \\
\left. - 2x(1-x) \sum_1 A_1 (i-1)(i-2)(i-3)(i-4)(1-2x)^{(i-5)} \right\}$$

NRTL

$$Q = G^E/RT$$

$$\tau_{ij} = C_{ij}/RT \quad G_{ij} = \exp[-\alpha\tau_{ij}]$$

$$S1 = \sum_j x_j \tau_{j1} G_{j1} \quad S2 = \sum_j x_j G_{j1}$$

$$Q = \sum_1 x_1 \frac{S1}{S2}$$

$$S3 = \sum_j dx_j \tau_{j1} G_{j1} \quad S4 = \sum_j dx_j G_{j1}$$



$$\frac{\partial Q}{\partial x} = \sum_1 \left[ dx_1 \frac{S1}{S2} + x_1 \left( \frac{S3}{S2} - \frac{S1 \cdot S4}{S2^2} \right) \right]$$

$$\frac{\partial^2 Q}{\partial x^2} = 2 \sum_1 \left[ dx_1 \left( \frac{S3}{S2} - \frac{S1 \cdot S4}{S2^2} \right) - x_1 \left( \frac{S3 \cdot S4}{S2^2} - \frac{S1 \cdot S4^2}{S2^3} \right) \right]$$

$$\frac{\partial^3 Q}{\partial x^3} = 6 \sum_1 \left[ dx_1 \left( -\frac{S3 \cdot S4}{S2^2} + \frac{S1 \cdot S4^2}{S2^3} \right) - x_1 \left( -\frac{S3 \cdot S4^2}{S2^3} + \frac{S1 \cdot S4^3}{S2^4} \right) \right]$$

$$\frac{\partial^4 Q}{\partial x^4} = 24 \sum_1 \left[ dx_1 \left( \frac{S3 \cdot S4^2}{S2^3} - \frac{S1 \cdot S4^3}{S2^4} \right) - x_1 \left( \frac{S3 \cdot S4^3}{S2^4} - \frac{S1 \cdot S4^4}{S2^5} \right) \right]$$

### UNIQUAC

$$Q = G^E/RT$$

$$Q = Q_{\text{comb}} + Q_{\text{res}}$$

$$Q_{\text{comb}} = \sum_1 x_1 \ln \frac{\phi_1}{x_1} + \frac{z}{2} \sum_1 q_1 x_1 \ln \frac{\theta_1}{\phi_1}$$

$$Q_{\text{res}} = - \sum_1 q_1 x_1 \ln \left( \sum_j \theta_j \tau_{j1} \right)$$

$$\phi_1 = \frac{x_1 r_1}{\sum_j x_j r_j} \quad \theta_1 = \frac{x_1 q_1}{\sum_j x_j q_j}$$

$$\tau_{j1} = \exp[-(u_{j1} - u_{11})/RT]$$

## ZAŁĄCZNIK D

Prężności pary układu {benzen(1) + cykloheksan(2)} w funkcji temperatury dla poszczególnych próbek. Kolumna trzecia zawiera odchylenia od równania Antoine'a, którego współczynniki wraz z odchyleniem standardowym podane są w tablicach. Punkty oznaczone gwiazdką zostały usunięte z korelacji.

Tablica D-1.

Cykloheksan			bc0968			bc1342		
A=13.852715 B=2828.446 C=47.529 RMSD=0.009 kPa			A=13.984061 B=2893.883 C=43.650 RMSD=0.006 kPa			A=14.093450 B=2950.982 C=40.788 RMSD=0.005 kPa		
T/K	P(kPa)	$\delta P$	T/K	P(kPa)	$\delta P$	T/K	P(kPa)	$\delta P$
293.198	10.366	-.009	293.174	10.881	.006	313.182	26.049	.001
293.188	10.374	.004	293.173	10.875	.001	313.179	26.043	-.002
293.203	10.380	.003	293.173	10.878	.003	313.177	26.044	.000
298.197	13.053	.001	298.207	13.677	-.000	293.165	11.030	-.001
298.197	13.051	-.002	293.171	10.874	.001	293.164	11.032	.001
298.197	13.053	.000	293.171	10.875	.002	293.164	11.032	.001
303.176	16.260	-.001	293.182	10.879	.000	298.188	13.859	.000
303.176	16.262	.002	298.196	13.669	-.002	298.188	13.857	-.002
303.175	16.266	.005	298.197	13.670	-.001	298.188	13.857	-.001
308.198	20.129	.005	298.197	13.671	-.000	303.167	17.226	-.001
308.198	20.131	.006	303.176	17.002	-.002	303.167	17.228	.001
308.198	20.133	.009	303.176	17.003	-.001	303.167	17.229	.003
313.185	24.677	.006	303.176	17.002	-.002	303.168	17.229	.002
313.185	24.678	.008	308.199	21.010	-.003	308.190	21.281	.002
313.185	24.679	.008	308.153	20.971	-.002	308.191	21.281	.001
318.211	30.081*	.017	308.153	20.970	-.003	308.190	21.279	.001
318.211	30.069	.006	313.165	25.700	-.004	313.176	26.041	-.001
318.211	30.064	.001	313.164	25.699	-.005	313.177	26.042	-.001
323.191	36.318	.008	313.164	25.698	-.006	313.177	26.041	-.002
323.190	36.307	-.001	318.184	31.273	-.007	318.197	31.681	-.003
323.191	36.307	-.003	318.186	31.276	-.007	318.197	31.683	-.001
328.208	43.637*	.017	318.186	31.276	-.006	318.197	31.679	-.005
328.212	43.623	.003	323.167	37.756	.008	323.180	38.219	-.006
328.208	43.627	.007	323.168	37.756	.008	323.179	38.218	-.006
333.183	51.984	-.003	323.168	37.758	.011	323.179	38.220	-.005
333.183	51.982	-.005	328.186	45.318	.008	328.198	45.883	.006
333.182	51.990	.004	328.185	45.316	.008	328.198	45.886	.009
338.201	61.665	-.014	328.185	45.319	.011	328.198	45.882	.005
338.200	61.670	-.007	333.161	53.964	.001	333.176	54.644	.004
338.199	61.680	.005	333.161	53.968	.005	333.176	54.641	.001
343.197	72.701	-.001	333.162	53.966	.000	333.175	54.639	-.000
343.200	72.702	-.006	338.177	63.981	.004	338.191	64.785	.007
343.198	72.699	-.004	338.176	63.975	-.001	338.192	64.788	.009
			338.177	63.984	.006	338.202	64.811	.010
			343.200	75.430	-.005	343.191	76.315	-.010
			343.198	75.416	-.016	343.192	76.316	-.012
			343.198	75.421	-.010	343.192	76.324	-.005

Tablica D-1. (c.d.)

bc1403			bc2453			bc3443		
A=14.110607 B=2959.034 C=40.328 RMSD=0.005 kPa			A=14.236172 B=3021.716 C=37.179 RMSD=0.004 kPa			A=14.299423 B=3050.100 C=35.801 RMSD=0.004 kPa		
T/K	P(kPa)	δP	T K	P(kPa)	δP	T K	P(kPa)	δP
293.172	11.107	-.000	293.158	11.375	-.003	293.165	11.564	-.002
293.172	11.106	-.001	293.159	11.377	-.001	293.164	11.565	-.001
293.172	11.107	.000	293.157	11.375	-.002	293.163	11.563	-.002
298.197	13.954	.001	298.186	14.279	-.004	298.188	14.506	-.006
298.198	13.952	-.000	298.188	14.285	.001	298.188	14.513	.001
298.198	13.954	.001	298.194	14.289	.001	298.188	14.512	.000
303.177	17.341	.000	303.167	17.747	.007	303.167	18.026	.006
303.177	17.342	.002	303.167	17.742	.002	303.168	18.023	.003
303.177	17.341	.001	303.167	17.743	.003	303.168	18.023	.003
308.199	21.416	.001	308.189	21.896	-.001	308.190	22.240	.001
308.199	21.418	.003	308.189	21.900	.002	308.191	22.242	.004
308.199	21.415	-.001	308.189	21.898	.001	308.191	22.240	.001
313.184	26.203	-.002	313.175	26.784	.001	313.178	27.196	-.005
313.184	26.203	-.002	313.175	26.782	-.001	313.178	27.200	.000
313.185	26.205	.000	313.175	26.785	.002	313.178	27.200	.001
318.205	31.875	-.002	318.197	32.572	-.000	318.197	33.070	-.000
318.206	31.873	-.005	318.198	32.573	.000	318.198	33.076	.005
318.206	31.875	-.003	318.197	32.570	-.002	318.198	33.071	-.001
323.191	38.452	-.006	323.181	39.275	-.010	323.180	39.878	-.003
323.191	38.449	-.010	323.180	39.278	-.005	323.179	39.876	-.004
323.191	38.450	-.009	323.180	39.277	-.006	323.180	39.877	-.004
328.208	46.162	.012	328.198	47.139	.006	328.198	47.854	.005
328.208	46.159	.010	328.198	47.135	.003	328.199	47.849	-.002
328.208	46.162	.012	328.199	47.138	.003	328.198	47.850	.001
333.181	54.955	.004	333.174	56.124	.003	333.174	56.970	-.004
333.184	54.961	.006	333.175	56.124	.001	333.174	56.972	-.003
333.183	54.961	.006	333.174	56.124	.002	333.174	56.971	-.004
338.198	65.141	-.005	338.190	66.526	-.003	333.174	56.974	.001
338.200	65.146	-.003	338.192	66.529	-.004	338.191	67.543	-.000
338.201	65.150	-.001	338.191	66.525	-.004	338.193	67.542	-.005
343.203	76.760	-.006	343.192	78.389	-.002	338.192	67.541	-.006
343.201	76.759	-.002	343.192	78.398	.007	343.192	79.597	.007
343.201	76.760	-.002	343.191	78.393	.003	343.192	79.599	.010
						343.191	79.589	.002

Tablica D-1. (c.d.)

bc4222			bc4730			bc5114		
A=14.330348 B=3062.973 C=35.245 RMSD=0.006 kPa			A=14.323835 B=3057.272 C=35.550 RMSD=0.004 kPa			A=14.349177 B=3069.584 C=35.066 RMSD=0.005 kPa		
T/K	P(kPa)	$\delta P$	T/K	P(kPa)	$\delta P$	T/K	P(kPa)	$\delta P$
293.18	11.651	-.002	293.206	11.685	.002	293.185	11.666	-.005
293.181	11.650	-.001	293.178	11.664	-.003	293.184	11.669	-.001
293.182	11.650	-.002	293.187	11.668	-.004	293.184	11.666	-.004
293.181	11.648	-.003	298.209	14.647	.001	298.198	14.633	-.005
298.207	14.616	-.004	298.209	14.651	.006	298.209	14.643	-.002
298.206	14.620	.001	298.209	14.645	.000	298.208	14.643	-.002
298.206	14.617	-.002	298.209	14.645	-.000	303.190	18.196	.007
303.189	18.161	.006	303.188	18.188	.002	303.190	18.191	.002
303.190	18.156	.000	303.188	18.188	.002	303.210	18.205	.001
303.190	18.156	.000	303.188	18.184	-.002	308.213	22.456	.005
308.213	22.411	.005	308.211	22.438	-.007	308.213	22.452	.002
308.213	22.409	.002	308.211	22.445	-.001	308.213	22.454	.002
308.213	22.409	.002	308.211	22.447	.001	313.199	27.460	-.002
313.200	27.409	.006	313.198	27.449	-.004	313.199	27.463	.001
313.200	27.410	.006	313.198	27.455	.001	313.199	27.462	.000
313.200	27.405	.002	313.199	27.457	.002	318.221	33.397	-.002
313.200	27.405	.001	318.218	33.388	.005	318.221	33.401	.002
318.221	33.319	-.002	318.217	33.384	.002	318.221	33.403	.005
318.220	33.320	.001	318.217	33.383	.001	323.204	40.290	.004
318.220	33.320	.000	323.201	40.259	-.004	323.204	40.288	.003
323.201	40.181	-.000	323.200	40.263	.002	323.204	40.290	.004
323.201	40.180	-.001	323.201	40.261	-.001	328.222	48.340	-.004
323.201	40.180	-.001	328.218	48.301	-.008	328.221	48.342	-.000
328.221	48.212	-.001	328.218	48.304	-.004	328.222	48.340	-.005
328.219	48.207	-.004	328.219	48.306	-.004	333.198	57.582	.004
328.221	48.208	-.006	333.194	57.536	.010	333.198	57.569	-.008
333.196	57.398	-.011	333.192	57.522	-.001	333.197	57.572	-.004
333.196	57.400	-.009	333.193	57.529	.005	338.213	68.263	-.006
333.195	57.400	-.007	338.209	68.199	-.000	338.215	68.260	-.012
338.211	68.035*	-.025	338.209	68.199	-.000	338.214	68.270	-.000
338.213	68.055	-.008	338.209	68.201	.002	343.216	80.465	-.001
338.212	68.053	-.008	343.187	80.304	-.007	343.216	80.474	.008
343.211	80.217	.018	343.185	80.306	.001	343.215	80.476	.012
343.212	80.214	.011	343.186	80.310	.003			
343.213	80.217	.013						

Tablica D-1. (c.d.)

bc5502			bc6484			bc7536		
A=14.295028 B=3037.837 C=36.603 RMSD=0.003 kPa			A=14.299545 B=3037.213 C=36.950 RMSD=0.005 kPa			A=14.228745 B=2995.389 C=39.396 RMSD=0.005 kPa		
T/K	P(kPa)	$\delta P$	T/K	P(kPa)	$\delta P$	T/K	P(kPa)	$\delta P$
293.179	11.642	-.006	293.180	11.542	-.001	293.179	11.311	.000
293.179	11.647	-.001	293.180	11.543	.000	293.179	11.311	-.000
293.179	11.648	-.000	293.180	11.543	-.000	293.178	11.313	.002
298.205	14.629	.006	298.204	14.495	-.003	298.202	14.224	.001
298.205	14.622	-.001	298.204	14.495	-.003	298.201	14.222	-.001
298.205	14.623	-.000	298.204	14.495	-.003	298.202	14.224	.002
303.185	18.168	.003	303.184	18.023	.003	303.181	17.696	.000
303.185	18.164	-.002	303.184	18.023	.003	303.181	17.696	-.000
303.185	18.166	.001	303.184	18.023	.003	303.181	17.696	.000
308.207	22.431	.005	308.206	22.259	.002	308.204	21.879	.001
308.206	22.427	.001	308.206	22.260	.003	308.204	21.879	-.000
308.206	22.427	.002	308.206	22.260	.003	308.204	21.877	-.002
313.192	27.439	.004	313.191	27.241	-.001	313.190	26.800	-.000
313.192	27.434	-.001	313.191	27.242	.000	313.190	26.802	.001
313.193	27.435	-.000	313.191	27.242	.001	313.190	26.799	-.002
313.192	27.433	-.002	318.210	33.146	-.001	318.212	32.636	-.003
318.212	33.366	-.002	318.211	33.150	.003	318.212	32.636	-.002
318.213	33.369	-.000	318.211	33.148	.001	318.211	32.633	-.004
318.213	33.368	-.001	323.194	40.001	-.002	323.172	39.375	-.005
323.197	40.257	.002	323.194	40.001	-.002	323.171	39.374	-.006
323.196	40.251	-.003	323.194	40.002	-.001	323.172	39.375	-.006
323.196	40.251	-.003	328.213	48.022	-.006	328.192	47.319	.008
328.213	48.311	.004	328.213	48.031	.003	328.192	47.319	.008
328.213	48.302	-.005	328.212	48.020	-.007	328.191	47.317	.006
328.212	48.302	-.003	328.213	48.028	-.000	333.169	56.405	.006
328.213	48.296*	-.010	333.188	57.226	.005	333.167	56.402	.004
328.213	48.304	-.003	333.188	57.219	-.003	333.168	56.408	.008
333.189	57.531	-.000	333.189	57.226	.003	338.184	66.932	.004
333.189	57.528	-.004	338.205	67.876	.002	338.184	66.931	.004
333.189	57.536	.003	338.204	67.862	-.011	338.182	66.928	.003
338.202	68.211	.002	338.206	67.868	-.008	343.183	78.923	-.009
338.205	68.216	-.002	343.203	80.025	.011	343.183	78.923	-.007
338.204	68.213	-.002	343.203	80.021	.007	343.183	78.922	-.010
338.205	68.219	.003	343.205	80.037*	.019			
343.203	80.394	.004						
343.204	80.392	.001						
343.204	80.393	.001						

Tablica D-1. (c.d.)

bc8368			bc9268			Benzen		
A=14.146185 B=2946.530 C=42.336 RMSD=0.008 kPa			A=14.000250 B=2859.963 C=47.545 RMSD=0.007 kPa			A=13.883063 B=2785.780 C=52.537 RMSD=0.008 kPa		
T/K	P(kPa)	$\delta P$	T/K	P(kPa)	$\delta P$	T/K	P(kPa)	$\delta P$
293.181	11.023	.002	293.178	10.561	.002	293.175	10.038	.000
293.180	11.021	.001	293.177	10.560	.001	293.175	10.045	.007
293.180	11.021	.001	293.176	10.559	.001	293.175	10.038	-.001
298.204	13.881	.002	298.201	13.334	-.000	298.200	12.718	-.002
298.204	13.881	.001	298.202	13.334	-.001	298.200	12.721	.001
298.204	13.881	.001	298.202	13.336	.002	298.200	12.721	.001
303.184	17.293	.001	303.185	16.658	.002	303.180	15.928	-.007
303.184	17.292	.000	303.185	16.658	.002	303.180	15.935	-.000
303.183	17.291	-.000	303.185	16.657	.001	303.180	15.934	-.001
308.205	21.403	-.001	308.207	20.661	-.002	308.204	19.825	.001
308.205	21.403	-.000	308.207	20.661	-.002	308.203	19.822	-.002
308.205	21.401	-.002	308.207	20.661	-.002	308.203	19.823	-.001
313.169	26.222	-.002	313.196	25.388	-.002	313.189	24.417	-.001
313.168	26.220	-.004	313.195	25.388	-.002	313.189	24.426	.007
313.170	26.223	-.003	313.195	25.387	-.003	313.189	24.422	.004
318.211	31.989	-.004	318.214	30.995	-.005	318.210	29.867	-.017
318.189	31.961	-.005	318.214	30.992	-.007	318.209	29.873	-.010
318.189	31.962	-.004	318.215	30.995	-.005	318.209	29.873	-.010
323.171	38.626	-.009	323.194	37.508	-.011	323.192	36.256	.010
323.172	38.629	-.008	323.196	37.513	-.009	323.192	36.252	.007
323.172	38.629	-.008	323.197	37.514	-.009	323.192	36.259	.013
328.189	46.460	.012	328.213	45.180	.012	328.211	43.709	-.006
328.189	46.464	.015	328.216	45.183	.011	328.211	43.729	.013
328.189	46.462	.013	328.215	45.182	.011	328.210	43.726	.011
333.167	55.425	.014	328.216	45.187	.015	333.188	52.290	-.006
333.166	55.418	.008	333.189	53.949	.007	333.187	52.323*	.029
333.167	55.422	.011	333.190	53.951	.007	333.188	52.292	-.005
338.180	65.791	.003	333.189	53.952	.011	338.203	62.259	.008
338.180	65.793	.004	338.204	64.116	.003	338.202	62.239	-.010
338.180	65.794	.006	338.205	64.120	.004	338.203	62.255	.003
343.176	77.608	-.016	338.206	64.124	.007	343.208	73.629	-.005
343.180	77.620	-.011	338.206	64.119	.002	343.203	73.614	-.008
343.176	77.606	-.015	343.206	75.716	-.010	343.202	73.624	.005
			343.206	75.713	-.013			
			343.207	75.718	-.009			
			343.206	75.715	-.010			

## ZAŁĄCZNIK E

Tablica E-1.

Prężności pary w funkcji temperatury dla poszczególnych próbek. Kolumna trzecia zawiera odchylenia od równania Antoine'a. Punkty oznaczone gwiazdką zostały usunięte z korelacji.

T/K	P/kPa	dP/kPa	T/K	P/kPa	dP/kPa	T/K	P/kPa	dP/kPa
woda			mw0191			mw0465		
293.223	2.351	.001	293.171	2.386	.003	293.194	2.400	.001
293.196	2.343	-.002	293.170	2.386	.003	293.194	2.399	.000
293.195	2.345	-.001	293.170	2.383	.000	293.193	2.399	.001
293.193	2.347	.002	298.196	3.232	-.002	298.216	3.253	-.003
298.218	3.186	.003	298.196	3.231	-.003	298.216	3.257	.001
298.217	3.182	-.001	298.200	3.233	-.002	298.216	3.253	-.003
298.217	3.182	-.001	303.177	4.326	-.001	303.194	4.356	-.003
303.198	4.265	.006	303.177	4.327	-.000	303.194	4.361	.002
303.198	4.260	.000	303.177	4.325	-.002	303.194	4.358	-.000
303.197	4.259	-.000	308.200	5.740	-.002	308.216	5.787	.002
308.220	5.645	-.005	308.201	5.742	-.000	308.216	5.783	-.003
308.219	5.645	-.006	308.200	5.742	-.000	308.216	5.783	-.003
308.220	5.645	-.005	310.213	6.391	-.021	310.228	6.460	-.002
313.205	7.412	.008	310.211	6.410	-.002	310.228	6.459	-.002
313.205	7.408	.004	310.211	6.413	.002	310.229	6.462	.001
313.205	7.404	-.000	310.211	6.413	.002	311.229	6.828	.006
318.224	9.625	-.000	311.212	6.771	.002	311.229	6.828	.006
318.225	9.627	.001	311.212	6.771	.002	311.228	6.828	.006
318.224	9.625	-.000	311.211	6.770	.001	312.230	7.208	.007
323.207	12.375	.001	312.213	7.142	-.002	312.230	7.203	.002
323.208	12.374	-.001	312.213	7.147	.002	312.230	7.203	.002
323.209	12.374	-.001	312.213	7.147	.003	313.202	7.585	.000
			313.184	7.528	.003	313.202	7.583	-.002
			313.184	7.530	.004	313.202	7.583	-.002
			313.184	7.528	.003	315.211	8.433	-.003
			315.194	8.364	-.005	315.211	8.433	-.003
			315.194	8.368	-.001	315.211	8.434	-.002
			315.193	8.370	.000	318.222	9.861	-.004
			318.204	9.775	-.011	318.221	9.863	-.002
			318.204	9.786	.000	318.222	9.862	-.003
			318.205	9.789	.003	323.204	12.689	.001
			323.187	12.586	-.000	323.204	12.690	.001
			323.188	12.583	-.004	323.204	12.691	.002
			323.187	12.590	.004			
			323.187	12.589	.003			



Tablica E-1. (c. d.)

mw0551			mw0801			mw0897		
293.198	2.410	.007	293.188	2.404	-.001	293.172	2.412	-.002
293.179	2.404	.005	293.188	2.403	-.003	293.197	2.417	.000
293.174	2.403	.004	293.189	2.406	.000	293.168	2.413	.000
293.172	2.404	.005	298.211	3.266	.003	293.168	2.412	-.001
293.172	2.403	.005	298.211	3.261	-.001	298.197	3.271	.001
298.196	3.247	-.008	298.211	3.260	-.003	298.197	3.270	.000
298.196	3.250	-.005	303.193	4.373	.007	298.197	3.270	.000
298.196	3.250	-.005	303.193	4.370	.004	303.177	4.372	.001
303.176	4.345	-.011	303.193	4.364	-.002	303.177	4.372	.001
303.176	4.348	-.008	303.193	4.364	-.002	303.177	4.373	.003
303.176	4.349	-.007	308.215	5.798	.006	308.200	5.792	-.003
308.198	5.781	-.000	308.215	5.795	.004	308.200	5.795	.001
308.199	5.783	.002	308.215	5.793	.001	308.200	5.796	.001
308.199	5.783	.001	308.215	5.792	.000	310.213	6.468	-.001
310.212	6.460	.002	310.227	6.464	-.004	310.213	6.471	.002
310.212	6.459	.002	310.227	6.463	-.005	310.212	6.471	.002
310.212	6.458	.001	310.228	6.464	-.004	311.220	6.823	-.009*
311.213	6.820	.001	311.230	6.827	-.002	311.213	6.826	-.003
311.213	6.820	.002	311.228	6.825	-.004	311.213	6.825	-.004
311.213	6.819	.001	311.228	6.826	-.003	312.214	7.208	.001
311.214	6.818	-.001	312.230	7.212	.005	312.214	7.208	.001
312.215	7.198	.001	312.230	7.212	.004	312.215	7.208	.000
312.215	7.198	.001	312.229	7.211	.004	313.186	7.589	-.002
312.215	7.200	.003	313.202	7.591	-.001	313.186	7.590	-.001
313.187	7.583	.002	313.202	7.592	-.000	313.186	7.591	-.000
313.187	7.585	.003	313.202	7.592	-.001	315.197	8.443	.001
313.187	7.585	.004	315.212	8.437	-.008	315.197	8.443	.001
315.195	8.433	.001	315.211	8.442	-.003	315.196	8.444	.002
315.196	8.433	.000	315.212	8.441	-.004	318.207	9.867	-.003
315.195	8.432	-.001	318.222	9.877	.001	318.207	9.869	.000
318.206	9.859	-.003	318.222	9.883	.007	318.207	9.871	.001
318.206	9.862	-.000	318.222	9.881	.006	323.188	12.691	-.000
318.206	9.863	.001	323.204	12.704	-.001	323.189	12.692	.000
323.187	12.687	-.002	323.204	12.704	-.001	323.189	12.692	.000
323.188	12.688	-.001	323.204	12.704	-.001			
323.188	12.688	-.001						

Tablica E-1. (c.d.)

mw1104			mw1417			mw1772		
293.185	2.393	.001	293.193	2.401	.002	293.189	2.413	.002
293.186	2.390	-.002	293.192	2.401	.002	293.189	2.412	.000
293.186	2.392	.001	293.192	2.401	.002	293.188	2.413	.001
298.208	3.252	.004*	298.214	3.254	-.001	293.189	2.412	.000
298.209	3.251	.003	298.213	3.254	-.001	298.215	3.267	-.001
298.209	3.247	-.001	298.214	3.255	.000	298.211	3.269	.002
303.192	4.348	-.002	303.196	4.351	-.004	298.212	3.268	.000
303.192	4.349	-.001	303.196	4.352	-.004	303.194	4.368	-.000
303.193	4.352	.001	303.196	4.352	-.004	303.195	4.364	-.004
308.215	5.776	-.000	308.221	5.781	.001	303.195	4.364	-.004
308.214	5.776	-.000	308.221	5.786	.006	308.218	5.791	.000
308.214	5.776	-.000	308.220	5.781	.002	308.218	5.787	-.003
310.227	6.452	.000	308.220	5.781	.001	308.218	5.790	-.001
310.227	6.452	.000	310.232	6.454	-.000	308.218	5.790	-.001
310.227	6.452	-.001	310.231	6.466	.012*	310.230	6.467	.002
311.228	6.814	.000	310.231	6.460	.006	310.229	6.465	.000
311.228	6.813	-.000	310.231	6.456	.002	310.230	6.463	-.002
311.228	6.814	.000	310.231	6.445	-.009	310.229	6.466	.001
312.230	7.192	.001	310.231	6.451	-.003	311.231	6.830	.005
312.230	7.192	.000	310.231	6.449	-.005	311.231	6.830	.005
312.231	7.192	.000	310.231	6.452	-.002	311.231	6.829	.004
313.202	7.576	-.000	311.232	6.816	.002	312.232	7.200	-.002
313.202	7.576	-.000	311.232	6.816	.001	312.232	7.200	-.002
313.202	7.577	.000	311.232	6.814	-.001	312.231	7.200	-.001
315.211	8.427	-.001	312.234	7.194	.002	313.204	7.585	-.001
315.212	8.427	-.001	312.233	7.196	.005	313.204	7.584	-.002
315.211	8.428	.000	312.233	7.191	-.001	313.204	7.586	.000
318.222	9.859	.001	312.233	7.190	-.002	315.213	8.434	-.001
318.221	9.857	-.000	313.205	7.577	.002	315.214	8.435	.000
318.222	9.859	.001	313.205	7.577	.002	315.215	8.438	.002
323.205	12.684	-.001	313.205	7.575	-.000	318.225	9.857	-.004
323.204	12.684	-.000	315.215	8.430	.004	318.225	9.862	.000
323.204	12.685	.001	315.215	8.426	-.000	318.224	9.863	.001
			315.215	8.427	.001	323.206	12.682	.001
			318.225	9.851	-.003	323.207	12.680	-.001
			318.225	9.851	-.002	323.207	12.682	.000
			318.226	9.851	-.002			
			323.208	12.676	-.000			
			323.209	12.678	.001			
			323.209	12.678	.001			

Tablica E-1. (c.d.)

mw1933			mw2139			mw2163		
293.164	2.398	.001	293.165	2.410	.000	293.188	2.400	-.001
293.164	2.396	-.001	293.165	2.411	.001	293.190	2.404	.003
293.163	2.396	-.001	293.165	2.410	.000	293.189	2.402	.001
298.188	3.249	-.001	298.189	3.264	.001	298.214	3.256	-.000
298.188	3.252	.001	298.189	3.263	.000	298.214	3.255	-.001
298.188	3.251	.001	298.189	3.263	.000	298.214	3.253	-.004
303.168	4.348	.001	303.169	4.359	-.001	303.195	4.359	.004
303.168	4.349	.001	303.169	4.358	-.001	303.195	4.356	.001
303.168	4.349	.001	303.169	4.360	.000	303.195	4.359	.004
308.191	5.767	-.001	308.191	5.777	-.001	308.217	5.776	-.001
308.191	5.767	-.001	308.193	5.781	.002	308.218	5.775	-.002
308.191	5.767	.000	308.192	5.780	.001	308.218	5.775	-.002
310.203	6.438	-.002	310.205	6.448	-.003	310.230	6.450	-.002
310.204	6.438	-.003	310.205	6.450	-.001	310.230	6.450	-.002
310.204	6.439	-.001	310.205	6.448	-.002	310.230	6.450	-.001
311.204	6.800	.001	311.205	6.810	.000	311.231	6.811	-.000
311.205	6.800	-.000	311.205	6.810	.000	311.231	6.811	-.000
311.204	6.801	.001	311.205	6.810	.001	311.231	6.810	-.002
312.205	7.177	.000	312.206	7.186	.000	312.232	7.187	-.001
312.205	7.177	.000	312.206	7.185	-.001	312.232	7.186	-.002
312.205	7.177	.000	312.206	7.185	-.001	312.232	7.188	-.001
313.177	7.557	-.002	313.179	7.570	.002	313.205	7.571	-.001
313.177	7.559	-.000	313.178	7.569	.000	313.204	7.574	.002
313.178	7.558	-.001	313.179	7.570	.002	313.204	7.572	-.000
315.188	8.407	.000	315.188	8.415	-.001	315.213	8.426	.004
315.187	8.408	.001	315.188	8.416	.001	315.214	8.424	.002
315.187	8.409	.002	315.187	8.417	.002	315.213	8.424	.002
318.197	9.832	.001	318.198	9.838	.000	318.224	9.848	-.001
318.198	9.831	.000	318.197	9.840	.002	318.224	9.851	.003
318.198	9.831	.000	318.200	9.838	-.001	318.224	9.849	.001
323.180	12.645	.000	323.180	12.649	-.002	323.206	12.669	-.001
323.180	12.645	-.001	323.180	12.651	.000	323.206	12.670	.000
323.181	12.645	-.000	323.180	12.651	-.000	323.207	12.668	-.002

Tablica E-1. (c.d.)

mw2334			mw2374			mw2399		
293.180	2.413	.010*	293.205	2.420	.004	203.168	2.396	.001
293.179	2.403	.001	293.205	2.418	.001	293.166	2.393	-.002
293.178	2.403	.001	293.204	2.421	.005	293.165	2.395	-.000
298.204	3.256	-.001	298.226	3.268	-.005	298.190	3.249	.001
298.203	3.259	.002	298.226	3.269	-.004	298.190	3.249	-.000
298.203	3.257	.000	298.225	3.269	-.004	298.190	3.249	.000
303.185	4.354	-.001	303.201	4.352	-.020*	303.171	4.347	.001
303.185	4.355	-.000	303.201	4.350	-.022*	303.171	4.347	.001
303.184	4.354	-.002	303.201	4.348	-.024*	303.170	4.346	.001
306.199	5.165	-.001	308.223	5.797	.002	306.184	5.154	-.001
306.199	5.166	-.001	308.223	5.795	.000	306.184	5.154	-.001
306.199	5.166	-.001	308.223	5.797	.002	306.184	5.156	.001
308.207	5.773	-.003	310.234	6.472	.003	308.191	5.761	-.003
308.207	5.777	.001	310.234	6.470	.002	308.192	5.761	-.003
308.208	5.778	.002	310.234	6.472	.004	308.191	5.763	-.001
309.212	6.108	.004	311.236	6.828	-.001	309.170	6.084	.001
309.213	6.102	-.002	311.236	6.828	-.001	309.171	6.084	.000
309.213	6.104	-.000	311.236	6.827	-.002	309.171	6.084	.001
310.220	6.448	-.001	311.235	6.831	.002	310.205	6.440	.003
310.220	6.448	-.001	312.236	7.203	-.003	310.204	6.438	.002
310.220	6.448	-.001	312.236	7.203	-.003	310.205	6.438	.002
310.739	6.633	.000	312.236	7.203	-.003	310.684	6.606	-.000
310.739	6.632	-.001	313.208	7.587	-.002	310.684	6.606	-.000
310.739	6.633	.000	313.208	7.587	-.002	310.684	6.607	.000
311.216	6.808	.001	313.208	7.588	-.001	311.195	6.790	-.002
311.216	6.808	.001	315.217	8.437	-.001	311.195	6.792	-.000
311.215	6.807	.001	315.218	8.440	.001	311.195	6.792	.000
311.376	6.866	.000	315.218	8.438	-.000	311.358	6.853	.001
311.376	6.864	-.001	318.228	9.867	.003	311.358	6.855	.003
311.376	6.864	-.001	318.229	9.867	.002	311.358	6.854	.002
311.749	7.005	.000	318.228	9.865	.001	311.624	6.950	-.001
311.749	7.006	.001	323.210	12.682	-.001	311.625	6.951	.000
311.749	7.006	.001	323.212	12.682	-.001	311.625	6.951	.000
312.206	7.178	-.001	323.211	12.683	.000	312.189	7.165	-.001
312.206	7.181	.002	311.309	6.858	.002	312.189	7.167	.001
312.205	7.181	.002				312.189	7.165	.000
313.178	7.563	.001				313.127	7.534	.000
313.178	7.563	.002				313.128	7.534	.000
313.178	7.560	-.001				313.128	7.532	-.002
314.184	7.978	.002				314.167	7.959	-.003
314.184	7.975	-.000				314.167	7.961	-.000
314.184	7.973	-.002				314.167	7.960	-.002
315.187	8.407	-.001				316.173	8.846	-.000
315.187	8.409	.000				316.173	8.846	.000
315.187	8.407	-.001				316.173	8.846	-.000
318.198	9.831	.001				318.180	9.813	-.002
318.198	9.831	.001				318.181	9.816	.002
318.198	9.830	.000				318.181	9.816	.001
323.180	12.638	-.002				323.162	12.621	-.001
323.180	12.640	.000				323.162	12.623	-.000
323.180	12.641	.000				323.162	12.625	.002

Tablica E-1. (c.d.)

mw2556			mw2656			mw2823		
293.180	2.407	.000	293.147	2.389	-.000	293.210	2.412	.004
293.180	2.410	.003	293.148	2.388	-.001	293.182	2.406	.002
293.187	2.410	.002	293.147	2.390	.000	293.183	2.404	.001
298.202	3.259	-.001	298.173	3.244	.001	298.205	3.259	.002
298.202	3.261	-.000	298.172	3.243	.001	298.206	3.258	.000
298.202	3.260	-.001	298.174	3.244	.001	298.206	3.259	.002
303.183	4.358	-.001	303.154	4.339	.001	303.186	4.347	-.008
303.183	4.356	-.003	303.154	4.338	.000	303.186	4.348	-.007
303.184	4.356	-.003	303.154	4.338	.001	303.186	4.348	-.007
308.206	5.775	-.003	308.175	5.744	-.011*	308.208	5.775	.001
308.206	5.777	-.001	308.176	5.746	-.009	308.208	5.774	-.001
308.206	5.777	-.001	308.176	5.749	-.007	308.208	5.775	.001
310.223	6.457	.005	310.188	6.431	.003	310.221	6.445	-.003
310.222	6.456	.004	310.188	6.431	.003	310.220	6.450	.003
310.222	6.454	.003	310.188	6.430	.002	310.220	6.448	.001
311.223	6.811	-.000	311.189	6.785	-.001	311.222	6.807	-.000
311.223	6.811	-.000	311.188	6.786	.000	311.222	6.810	.002
311.223	6.811	.000	311.188	6.786	-.000	311.222	6.810	.002
312.224	7.187	.000	312.190	7.161	-.001	312.223	7.187	.003
312.223	7.187	.000	312.189	7.162	.000	312.222	7.185	.001
312.224	7.188	.001	312.190	7.162	-.000	312.223	7.187	.003
313.195	7.570	.001	313.163	7.547	.002	313.196	7.566	-.001
313.195	7.567	-.002	313.163	7.546	.001	313.196	7.569	.002
313.195	7.567	-.002	313.162	7.546	.002	313.195	7.569	.002
315.204	8.416	.000	315.171	8.391	.001	315.206	8.413	-.002
315.205	8.417	.000	315.172	8.391	-.000	315.206	8.415	.000
315.204	8.418	.002	315.173	8.393	.001	315.205	8.413	-.002
318.216	9.838	-.002	318.182	9.812	-.000	318.215	9.835	-.002
318.216	9.839	-.000	318.182	9.813	.000	318.214	9.838	.001
318.217	9.840	.001	318.182	9.813	.001	318.215	9.838	.001
323.198	12.650	-.000	323.163	12.619	-.002	323.197	12.650	-.000
323.199	12.650	-.001	323.163	12.620	-.000	323.198	12.650	-.001
323.198	12.650	.001	323.163	12.621	.001	323.197	12.650	-.000

Tablica E-1. (c.d.)

mw2987			mw3146			mw3322		
293.150	2.398	.004	293.180	2.407	.002	293.152	2.390	.004
293.151	2.396	.002	293.180	2.407	.002	293.151	2.388	.002
293.151	2.393	-.001	293.180	2.406	.002	293.150	2.388	.002
298.175	3.244	-.003	298.204	3.259	-.002	298.175	3.236	-.004
298.175	3.244	-.003	298.204	3.259	-.001	298.175	3.236	-.004
298.175	3.243	-.003	298.204	3.259	-.002	298.175	3.238	-.002
303.155	4.341	-.000	303.185	4.359	.000	303.155	4.334	-.000
303.155	4.342	.001	303.185	4.358	-.001	303.155	4.333	-.002
303.155	4.341	-.000	303.185	4.358	-.000	303.155	4.334	-.001
308.177	5.760	.002	308.208	5.777	-.002	308.177	5.752	-.000
308.177	5.760	.002	308.207	5.777	-.002	308.177	5.753	.001
308.177	5.759	.001	308.207	5.779	.000	308.177	5.752	-.000
310.190	6.430	.001	310.221	6.450	-.002	310.190	6.424	.001
310.190	6.429	.000	310.221	6.450	-.002	310.189	6.427	.003
310.190	6.431	.001	310.221	6.451	-.001	310.189	6.428	.005
311.190	6.787	-.000	311.221	6.812	.002	311.190	6.782	.000
311.190	6.788	.000	311.220	6.812	.002	311.190	6.782	.001
311.190	6.788	.000	311.221	6.811	.000	311.190	6.780	-.001
312.192	7.165	.001	312.222	7.187	-.001	312.193	7.157	-.001
312.191	7.166	.003	312.222	7.187	.000	312.192	7.159	.002
312.192	7.165	.002	312.223	7.188	.001	312.192	7.158	.000
313.164	7.544	-.001	313.194	7.572	.003	313.164	7.538	-.001
313.164	7.546	.001	313.194	7.570	.000	313.164	7.541	.002
313.164	7.542	-.003	313.194	7.569	.000	313.163	7.539	.000
315.173	8.387	-.004	315.205	8.420	.003	315.173	8.383	-.001
315.173	8.389	-.001	315.205	8.416	-.001	315.173	8.382	-.002
315.172	8.389	-.001	315.204	8.416	.000	315.173	8.383	-.001
318.182	9.809	-.001	318.215	9.838	.000	318.185	9.803	-.001
318.182	9.810	.001	318.215	9.838	.001	318.184	9.802	-.001
318.182	9.809	-.001	318.215	9.837	-.000	318.184	9.803	.000
323.164	12.614	.000	323.197	12.643	.000	323.166	12.606	.001
323.164	12.614	.001	323.197	12.643	-.000	323.166	12.604	-.001
323.164	12.614	.001	323.197	12.642	-.001	323.166	12.606	.001

Tablica E-1. (c.d.)

mw3533			mw3672			mw3994		
293.177	2.403	.000	293.150	2.412	-.000	293.180	2.400	.000
293.177	2.404	.001	293.149	2.405	-.006	293.180	2.398	-.002
293.177	2.404	.001	293.150	2.404	-.008*	293.180	2.398	-.003
298.202	3.258	-.000	298.169	3.264	-.001	298.204	3.256	-.001
298.202	3.258	-.000	298.173	3.265	-.000	298.203	3.257	.001
298.202	3.258	-.000	298.172	3.264	-.001	298.204	3.257	.001
298.202	3.258	-.000	303.155	4.363	.001	303.183	4.356	.001
303.182	4.356	-.001	303.155	4.364	.002	303.182	4.356	.001
303.182	4.357	.000	303.155	4.364	.001	303.182	4.356	.002
303.183	4.356	-.000	308.151	5.769	-.002	308.205	5.773	-.001
308.206	5.775	-.001	308.154	5.770	-.001	308.205	5.776	.003
308.205	5.775	-.001	308.177	5.778	-.001	308.205	5.776	.003
308.205	5.777	.001	310.190	6.450	.001	310.218	6.446	.001
310.219	6.447	-.001	310.190	6.451	.002	310.218	6.445	.000
310.218	6.448	.000	310.190	6.450	.001	310.218	6.445	.000
310.218	6.449	.001	311.190	6.806	-.001	311.220	6.804	.000
311.219	6.808	.001	311.190	6.808	.001	311.221	6.804	.001
311.219	6.806	-.001	311.190	6.807	.000	311.221	6.803	-.001
311.219	6.808	.001	312.192	7.181	-.001	312.221	7.179	.000
312.221	7.184	.001	312.192	7.182	.000	312.221	7.179	.001
312.221	7.185	.002	312.191	7.182	.000	312.221	7.179	.001
312.221	7.185	.002	313.164	7.563	.001	313.193	7.556	-.004
313.192	7.565	.001	313.164	7.565	.002	313.193	7.561	.001
313.192	7.565	.000	313.163	7.564	.001	313.193	7.558	-.002
313.192	7.565	.001	315.172	8.403	-.003	315.202	8.396	-.007*
315.202	8.408	-.002	315.173	8.407	.000	315.203	8.400	-.004
315.203	8.407	-.003	315.174	8.405	-.001	315.202	8.401	-.002
315.203	8.411	.000	318.184	9.818	-.003	318.213	9.818	.001
318.213	9.831	.002	318.184	9.820	-.001	318.213	9.818	.000
318.214	9.828	-.001	318.183	9.821	.000	318.213	9.816	-.002
318.212	9.830	.001	323.165	12.616	.002	323.194	12.610	.003
323.195	12.631	.002	323.165	12.616	.001	323.194	12.607	.000
323.195	12.629	.000	323.165	12.613	-.001	323.194	12.607	.000
323.196	12.627	-.002	293.152	2.414	.003			
			293.152	2.414	.002			

Tablica E-1. (c.d.)

mw4445			mw5008			mw5707		
293.176	2.406	.004	293.176	2.400	.001	293.176	2.420	.000
293.175	2.401	-.001	293.175	2.396	-.003	293.177	2.419	-.001
293.179	2.400	-.002	293.176	2.397	-.002	293.176	2.418	-.002
293.178	2.400	-.002	298.202	3.250	.000	293.176	2.418	-.002
298.201	3.254	-.002	298.202	3.247	-.003	298.201	3.268	.005
298.201	3.255	-.001	298.202	3.246	-.004	298.200	3.268	.005
298.201	3.255	-.002	303.183	4.341	.001	298.201	3.267	.004
303.182	4.354	.002	303.183	4.344	.004	303.183	4.340	.000
303.182	4.354	.002	303.183	4.344	.004	303.183	4.337	-.003
303.182	4.352	.000	308.205	5.750	.006	303.183	4.337	-.003
308.205	5.769	.003	308.205	5.749	.004	308.204	5.722	-.002
308.205	5.766	.000	308.205	5.746	.002	308.205	5.723	-.002
308.204	5.767	.001	310.217	6.409	.001	308.204	5.723	-.002
310.218	6.440	.005	310.217	6.408	-.000	310.216	6.377	-.001
310.217	6.435	.000	310.216	6.408	-.000	310.217	6.378	-.001
310.217	6.436	.001	311.217	6.761	-.002	310.217	6.377	-.002
311.219	6.792	.000	311.217	6.759	-.003	311.219	6.728	.001
311.218	6.792	.001	311.217	6.762	-.001	311.218	6.730	.003
311.218	6.792	.001	312.219	7.133	-.001	311.218	6.729	.002
312.219	7.165	.000	312.219	7.133	-.001	312.220	7.093	.001
312.218	7.162	-.003	312.218	7.132	-.001	312.219	7.093	.001
312.218	7.164	-.001	313.191	7.510	-.000	312.219	7.090	-.001
313.190	7.543	-.001	313.190	7.514	.004	313.193	7.462	-.000
313.190	7.543	-.001	313.190	7.512	.002	313.192	7.461	-.001
313.191	7.542	-.002	315.199	8.340	-.003	313.192	7.463	.000
315.201	8.381	-.003	315.200	8.342	-.002	315.201	8.282	.001
315.201	8.381	-.003	315.200	8.341	-.002	315.201	8.281	-.000
315.200	8.381	-.003	318.212	9.737	-.003	315.201	8.281	-.000
318.211	9.793	.002	318.212	9.738	-.002	318.213	9.652	-.000
318.211	9.794	.002	318.212	9.738	-.002	318.213	9.653	.001
318.211	9.793	.001	323.189	12.489	.002	318.212	9.654	.003
323.194	12.569	.002	323.189	12.489	.001	323.195	12.349	-.000
323.195	12.567	-.000	323.188	12.489	.002	323.194	12.346	-.003
323.194	12.566	-.001				323.194	12.351	.002



Tablica E-1. (c.d.)

mw6601			mw6890			mw7614		
293.175	2.392	.015*	293.170	2.387	.016*	293.175	2.262	.003
293.176	2.388	.010	293.169	2.375	.004	293.174	2.260	.000
293.175	2.377	-.001	293.169	2.371	.000	293.174	2.262	.002
293.175	2.373	-.005	293.170	2.370	-.001	298.198	3.024	-.002
298.199	3.196	-.002	293.169	2.370	-.001	298.199	3.023	-.003
298.200	3.198	-.001	298.194	3.189	.000	298.199	3.024	-.001
298.199	3.198	-.001	298.194	3.189	.000	303.180	3.996	-.000
303.180	4.243	.000	298.196	3.188	-.001	303.180	3.996	-.000
303.180	4.243	-.000	298.197	3.188	-.001	303.180	3.996	-.000
303.181	4.242	-.001	303.175	4.228	-.001	308.202	5.231	.000
308.203	5.583	.001	303.174	4.229	-.000	308.202	5.229	-.002
308.203	5.584	.002	303.175	4.230	.001	308.202	5.231	-.000
308.203	5.583	.001	308.196	5.562	-.000	310.214	5.810	.000
310.215	6.213	.001	308.196	5.562	-.000	310.214	5.812	.002
310.215	6.214	.002	308.197	5.561	-.002	310.214	5.812	.002
310.215	6.213	.001	310.209	6.189	-.001	311.217	6.115	-.004
311.217	6.543	-.005	310.209	6.188	-.002	311.217	6.117	-.001
311.217	6.547	-.001	310.209	6.189	-.001	311.217	6.118	-.000
311.218	6.543	-.005	311.210	6.526	.002	312.218	6.441	.001
312.219	6.900	-.000	311.210	6.526	.002	312.217	6.443	.003
312.220	6.898	-.001	311.211	6.527	.002	312.217	6.440	.000
312.219	6.898	-.002	312.212	6.873	-.001	313.189	6.765	-.001
313.191	7.257	.001	312.212	6.871	-.003	313.189	6.764	-.001
313.191	7.257	.002	312.212	6.871	-.003	313.189	6.766	.001
313.191	7.256	.000	313.184	7.230	.001	315.199	7.485	.001
315.200	8.041	-.002	313.184	7.231	.002	315.198	7.486	.002
315.200	8.044	.002	313.184	7.230	.001	315.199	7.484	.001
315.200	8.044	.001	315.194	8.016	.004	318.165	8.660	-.001
318.210	9.361	.003	315.193	8.014	.002	318.166	8.661	-.001
318.210	9.360	.002	315.193	8.016	.005	318.165	8.661	.000
318.210	9.359	.002	318.204	9.315	-.005	323.193	11.015	.000
323.193	11.936	-.002	318.203	9.316	-.003	323.193	11.015	-.001
323.193	11.938	-.000	318.204	9.318	-.002	323.192	11.015	.000
323.193	11.938	-.000	323.185	11.889	.004			
			323.185	11.884	-.001			
			323.186	11.884	-.001			

Tablica E-1. (c. d.)

mw8420			mw8882			3-mopn		
293.174	2.119	-.002	293.174	1.836	-.011	293.174	.193	.003
293.171	2.120	-.000	293.175	1.837	-.010	293.173	.191	.000
293.171	2.123	.003	293.174	1.838	-.009	293.173	.190	-.000
293.171	2.121	.001	298.198	2.463	.010	298.196	.266	.002
298.194	2.825	.002	298.198	2.463	.009	298.195	.264	.000
298.194	2.825	.001	298.198	2.461	.008	298.195	.264	.000
298.194	2.823	-.001	303.181	3.217	.005	303.175	.361	-.000
303.174	3.707	-.002	303.181	3.214	.002	303.175	.360	-.001
303.174	3.709	.000	303.181	3.219	.007	303.174	.362	.000
303.174	3.711	.002	308.170	4.156	-.003	308.195	.489	-.001
308.196	4.831	.001	308.174	4.159	-.001	308.195	.489	-.001
308.197	4.828	-.002	308.176	4.162	.002	308.195	.489	-.001
308.197	4.828	-.002	310.215	4.610	.001	313.181	.655	-.003
310.209	5.355	.001	310.215	4.609	-.001	313.181	.656	-.003
310.209	5.349	-.005	310.215	4.609	-.001	313.181	.656	-.003
310.209	5.349	-.005	311.216	4.848	.004	318.200	.875	-.001
311.210	5.630	-.002	311.216	4.845	.001	318.200	.876	-.001
311.210	5.630	-.001	311.216	4.842	-.002	318.201	.876	-.001
311.211	5.628	-.004	312.217	5.087	-.001	323.184	1.155	.001
312.212	5.924	.001	312.217	5.087	-.001	323.184	1.154	-.001
312.211	5.924	.001	312.217	5.089	.001	323.183	1.157	.002
312.211	5.924	.001	313.191	5.334	-.002	328.199	1.520	.010*
313.182	6.215	-.001	313.191	5.332	-.004	328.199	1.518	.008
313.182	6.215	-.000	313.190	5.335	-.001	328.199	1.516	.006
313.182	6.216	.001	315.201	5.877	-.002	333.177	1.960	.003
315.191	6.866	.005	315.201	5.878	-.001	333.177	1.960	.003
315.191	6.867	.005	315.200	5.877	-.002	333.177	1.960	.003
315.191	6.866	.004	318.209	6.775	-.002	293.174	.198	.008
318.202	7.936	.001	318.208	6.775	-.002	293.173	.197	.007
318.202	7.936	.000	318.209	6.774	-.003	293.172	.201	.010*
318.202	7.935	-.000	323.191	8.514	.003	298.198	.266	.002
323.185	10.020	-.002	323.191	8.513	.002	298.198	.267	.003
323.184	10.021	-.001	323.191	8.514	.003	298.198	.267	.003
323.183	10.021	-.001				303.179	.360	-.001
						303.179	.360	-.001
						303.178	.360	-.002
						308.201	.490	-.001
						308.201	.492	.001
						308.200	.492	.001
						313.187	.656	-.003
						313.187	.656	-.002
						313.187	.657	-.002
						318.205	.874	-.003
						318.207	.874	-.003
						318.207	.879	.002
						323.190	1.150	-.005
						323.191	1.150	-.005
						323.190	1.151	-.004

Tablica E-1. (c.d.)

mw8420	mw8882	3-mopn	
		328.208	1.509 -.002
		328.208	1.510 -.001
		328.207	1.511 -.000
		333.189	1.958 .000
		333.189	1.957 -.001
		333.188	1.956 -.002
		338.203	2.521 -.001
		338.203	2.519 -.002
		338.204	2.521 .000
		343.203	3.220 -.000
		343.203	3.219 -.001
		343.202	3.218 -.002

## ZAŁĄCZNIK F

Tablica F-1. podane na następnej i kolejnych stronach zawiera zestawienie najważniejszych układów dwuskładnikowych badanych pod kątem zjawisk w otoczeniu punktu krytycznego mieszalności. Przedstawione tutaj informacje nie stanowią kompletu bibliografii dla podanych układów do początku lat 90-tych, lecz stanowi obraz bogactwa zagadnień badanych w tej dziedzinie. W kolumnie 3 podane są temperatury krytyczne, które jak widać, stanowią raczej wąski zakres stwierdzonych eksperymentalnie CST dla dużo więcej układów dwuskładnikowych (Francis, 1963); wynika to z wymogów badań CST podanych we wstępie tej pracy. W kolumnie 4 podano identyfikatory własności badanych w okolicy tego punktu. Znaczenie ich jest następujące:

- cpex - ciepło właściwe pod stałym ciśnieniem;
- cxc - krzywa współistnienia i związane z nią wykładniki  $\alpha$  i  $\beta$ ;
- diff - współczynnik dyfuzji;
- elect - własności elektryczne t. j. NDE czy efekt Kerra;
- expan - oznaczanie współczynnika rozszerzalności termicznej;
- gamm - rozpraszanie i dyfrakcja promieniowania gamma;
- hex - entalpia mieszania;
- nmr - badania za pomocą JRM;
- nucl - badania krzywej spinodalnej;
- refr - współczynnik refrakcji;
- scat - badania rozpraszania światła;
- sound - pochłanianie ultradźwięków;
- visc - lepkość;
- vex - nadmiarowa objętość mieszania, objętość molowa;
- vle - pomiary prężności pary, ewaluacja  $G^E$ ;
- wett - zjawisko anomalnej zwilżalności;

W kolumnie 5 podane są numery odnośników, których lista podana jest bezpośrednio za tablicą F-1. Niektóre pozycje pokrywają się z wymienionymi w spisie literatury lecz ten system pozwala utrzymać niniejszy załącznik jako integralną całość.

Tablica F-1.

Nr	Układ	T <sup>c</sup> / K	Własn.	Literatura
1	2	3	4	5
1	Woda + 3-metoksypropionitryl	311.143	cxc hex vex visc vle	58,93 93 58,59 59 93
2	+ eter izobutyłowy glikolu etylenowego	298.95	cxc	78
3	+ kwas izobutyłowy (masłowy)	299.536 318.05†	cpex cxc  elect hex nucl scat  vex visc	46,72,73 23,44,49,83 29,30 45 19 39,101,102 6,34,48,69, 104 24,47 44
4	+ 2,4-dwumetylopirydyna	296.12	vex	99
5	+ 2,6-dwumetylopirydyna	306.522	cxc nucl scat visc wett	35,37 51,84,92 64,71 35,91 74
6	+ tetrahydrofuran	336.9	cxc vex vle	57 57 57
7	+ butanol-2		cxc	9
8	+ trojetyloamina	291.51	cpex cxc diff hex refr sound vex visc	8 28,56 98 72,73 52 105 56,72,73 52,98
9	+ N,N-dwumetylobutyloamina	≈313.	hex vle	118 118
10	anilina + heksan	330.05	cxc hex vex	112 112 112
11	metanol + heksan	315.55	vle	22,103

Tablica F-1. (c.d.)

1	2	3	4	5
12	metanol + cykloheksan	318.624	cxc hex scat	1, 33, 41, 50, 87, 96 20, 21 33, 50
13	+ heptan	323.88	cpex cxc	46 88
14	+ dwusiarzeczek wegla	307.431	cxc	70
15	etanol + heksadekan	325.25	hex vex vle	113 113 113
17	nitrometan + dwusiarzeczek wegla	335.133	cxc	28, 32, 102
18	nitroetan + heksan		cxc hex	68 89
19	+ 2-metylopentan	299.85	hex vex	36 36
20	+ 3-metylopentan	299.65	cxc diff scat sound vex visc	100 54 10, 11, 40 15, 25 77 54, 90
21	+ cykloheksan	296.47	hex sound	63 81
22	+ 2,2,3-trojmetrylopentan	303.18	cxc scat sound	5 106 62
23	nitrobenzen + pentan	297.16	visc	80
24	+ heksan	293.11	cxc hex scat sound visc	12, 89 68 79 62 18, 65
25	+ cykloheksan		scat	79
26	+ heptan	292.18	gamm visc	2 18, 80
27	+ 2,2,3-trojmetrylopentan	302.31	sound	43

Tablica F-1. (c.d.)

1	2	3	4	5
28	nitrotoluen + alkany	---	elect	94
29	2-nitrofenol + alkany	---	cxc	114
30	3-metoksypropionitryl + węglowodory C5	---	cxc	109
31	N-metylopirolidon + cyklooktan	286.95	cxc	117
32	N-metylopirolidon + nonan	337.45	cxc	117
33	3-fenylopropanol-1 + heksan	294.1	elect	60,75
34	alkohol benzytowy + metylocykloheksan	276.9	elect	76
35	alkohol decylowy + acetonitryl	297.10	elect	76
36	+ nitroetan	295.00	elect	76
37	+ fenylacetonyl	287.20	elect	76
38	+ ftalan dwumetylowy	297.55	elect	76
39	+ dwuacetał etylenu	291.6	elect	76
40	+ rozpuszczalniki polarne	---	elect	61
41	acetonitryl + dwusiarczek węgla	323.4	cpex cxc	27 88
42	+ cykloheksan		cxc wett	97 97
43	2-metoksyetanol + alkany	---	cxc	115
44	anilina + cykloheksan	302.65	hex nmr visc	68 3 16
45	bezwodnik octowy + cykloheksan	325.718	cxc expan	32,88 66
46	+ heptan	341.672	cxc	67,88
47	chlorowcopochodne węglowodorów + węglowodory		cxc vle	119 119
48	perfluorometan + metan	98.01	vle	85,86

Tablica F-1. (c.d.)

1	2	3	4	5
49	perfluoroheksan + heksan	295.8	cxc vex	4 7,26
50	perfluoroheptan + heptan		scat	13
51	+ czterochlorek węgla	330.84	cxc	42
52	perfluorometylocykloheksan + metylocykloheksan	319.28	cxc nucl vex vle	38 38,39 53,111 38
53	+ alkany	---	cxc	116
54	+ czterochlorek węgla	330.86	cpex cxc scat vex	72,82 95,107 107 72
55	perfluorobenzonitryl + cykloheksan		vex	55
56	+ 2,2,3-trojmetylopentan	291.860	expan vex	110 110
57	perfluorocyclooxide + czterochlorek węgla		scat	14
58	+ heptan		scat	14
59	polistyren + cykloheksan	295.59	cxc expa visc	31 31 17
62	+ trans-dekalina		hex vex	108 108

Literatura:

1. Aizpiri A.G., Rubio R.G., Diaz Pena .; J.Chem.Phys., 1989, **88**, 1934
2. Alexandropulos N.G.; Phys.Lett.A, 1984, **100**, 169
3. Anderson J.E., Gerritz W.H.; J.Chem.Phys., 1970, **53**, 2584
4. Bedford R.G., Dunlap R.D.; J.Am.Chem.Soc. 1958, **80**, 282
5. Beysens D., J.Chem.Phys.; 1979, **71**, 2557
6. Beysens D., Bourgon A., Clametts P.; Phys.Rev.A, 1982, **26**, 3589
7. Block T.E., Judd N.T., McLure I.A., Knobler C.M., Scott R.L.; J.Phys.Chem., 1981, **85**, 3282



8. Bloemen E., Thoen J., Van Dael W.; *J. Chem. Phys.*, 1980, **73**, 4628
9. Bozdag O., Lamb J. A.; *J. Chem. Thermodyn.*, 1983, **15**, 165
10. Burstyn H. C., Sengers J. V.; *Phys. Rev. A*, 1983, **27**, 1071
11. Chang R. F., Burstyn H., Sengers J. W.; *Phys. Rev. A*, 1979, **19**, 866
12. Chen S-H.; *Phys. Rev. A*, 1983, **27**, 1086
13. Chu B.; *J. Am. Chem. Soc.*, 1964, **86**, 3557
14. Chu B.; *J. Phys. Chem.*, 1965, **69**, 2329
15. Clerke E. A.; *Phys. Rev. A*, 1983, **27**, 3140
16. D'Arrigo G., Mistura L., Tartaglia P.; *J. Chem. Phys.*, 1977, **66**, 80
17. Debye P., Chu B., Woermann D.; *J. Polym. Sci. A*, 1963, **1**, 249
18. Dega-Dałkowska A.; *Acta Phys. Polon. A*, 1980, **58**, 31
19. Draber E., Woermann D.; *Fluid Phase Equilib.*, 1989, **49**, 211
20. Ewing M. B., Johnson K. A., McGlashan M. L.; *J. Chem. Thermodyn.*, 1985, **17**, 513
21. Ewing M. B., Johnson K. A., McGlashan M. L.; *J. Chem. Thermodyn.*, 1985, **18**, 979
22. Ferguson J. B.; *J. Phys. Chem.*, 1932, **36**, 1123
23. Gansen P., Janssen T., Schoen W., Woermann D.; *Ber. Bunsenges. Phys. Chem.*, 1980, **84**, 1149
24. Gansen P., Woermann D.; *Ber. Bunsenges. Phys. Chem.*, 1984, **88**, 626
25. Garland C. W., Sanchez G.; *J. Chem. Phys.*, 1983, **79**, 3090
26. 199 Gaw W. J., Scott R. L.; *J. Chem. Thermodyn.*, 1971, **3**, 335
27. Govindarajan K., Viswanathan K., Gopal E. S. R.; *J. Chem. Thermodyn.*, 1973, **5**, 73
28. Green W. J.; *J. Chem. Eng. Data*, 1979, **24**, 92
29. Greer S. C.; *Phys. Rev. A*, 1976, **14**, 1770
30. Greer S. C.; *Ber. Bunsenges. Phys. Chem.*, 1977, **81**, 1079
31. Greer S. C., Jacobs D. T.; *J. Phys. Chem.*, 1980, **84**, 2888
32. Greer S. C., Das B. K., Kumar A., Gopal E. S. R.; *J. Chem. Phys.*, 1983, **79**, 4545
33. Guenoun P., Gastand R., Perrot F., Beysens D.; *Phys. Rev. A*, 1987, **36**, 4876
34. Gulari E., Chu B., Woermann D.; *J. Chem. Phys.*, 1980, **73**, 2480
35. Gulari E., Collins A. F., Schmidt R. L., Pings C. J.; *J. Chem. Phys.* 1972, **56**, 6169
36. Handa Y. P., Knobler C. M., Scott R. L.; *J. Chem. Thermodyn.*, 1977, **9**, 451
37. Handschy M. A., Mockler R. C., O'Sullivan W. J.; *Chem. Phys. Lett.*, 1980, **76**, 172
38. Heady R. B., Cahan J. W.; *J. Chem. Phys.*, 1973, **58**, 896
39. Howland R. G., Wong N-C., Knobler C. M.; *J. Chem. Phys.*, 1980, **73**, 522
40. Ishida Y., Hazada Y.; *Japan J. Appl. Phys.*, 1980, **19**, 1563

41. Jacobs D. T. , Anthony D. J. , Mockler R. C. , O'Sullivan W. J. ; Chem. Phys. , 1977, **20**, 219
42. Jacobs D. T. ; J. Phys. Chem. , 1982, **86**, 1895
43. Jaschull G. , Dunker H. , Woermann D. , Ber. Bunsenges. Phys. Chem. , 1984, **88**, 630
44. Kalbskof B. , Woermann D. , Chu B. , Gulari I. ; J. Chem. Phys. , 1981, **74**, 5842
45. Kim M. W. , Chou Y-C. , Goldberg W. I. , Kumar A. ; Phys. Rev. A, 1980, **22**, 2139
46. Klein H. , Woermann D. ; Ber. Bunsenges. Phys. Chem. , 1975, **79**, 1180
47. Klein H. , Woermann D. ; Ber. Bunsenges. Phys. Chem. , 1977, **81**, 1081
48. Knobler C. M. , Wong N-C. ; J. Phys. Chem. , 1981, **85**, 1972
49. Knobler C. M. , Scott R. L. ; J. Chem. Phys. , 1982, **76**, 2606
50. Kopelman R. B. , Gammon R. W. , Moldover M. R. ; Phys. Rev. A, 1984, **29**, 2048
51. Krishnamurthy S. , Goldberg W. I. ; Phys. Rev. A, 1980, **22**, 2147
52. Krivokhizha S. V. , Lugovaya B. A. , Charkov L. L. ; Opt. Spectroscopia, 1984, **56**, 381
53. Kumaran M. K. ; J. Chem. Thermodyn. , 1981, **13**, 789
54. Leister H. M. , Allegra J. C. , Allen G. F. ; J. Chem. Phys. , 1969, **51**, 3701
55. Leong C. Y. , Jones D. E. , Fenby D. V. ; J. Chem. Thermodyn. 1974, **6**, 609
56. Letcher T. M. , Spitieri W. ; J. Chem. Thermodyn. , 1983, **15**, 965
57. Leycek P. ; J. Chem. Thermodyn. , 1975, **7**, 927
58. Łuszczuk M. ; J. Chem. Thermodyn. , 1988, **20**, 29
59. Łuszczuk M. , Stryjek R. ; Bull. Pol. Acad. Sci. , 1978, **26**, 459
60. Majgier-Baranowska H. ; Chem. Phys. Lett. , 1980, **73**, 362
61. Majgier-Baranowska H. , Pyżuk W. , Jeule W. , Zioło J. ; J. Chem. Eng. Data, 1981, **26**, 51
62. Manukharov Yu. , S. ; Akust. Spektrosk. , Kvant. Akust. , 1978, str. 245
63. Marsh K. N. , Rogers H. ; J. Chem. Thermodyn. , 1989, **21**, 211
64. Mayer W. , Woermann D. ; J. Phys. Chem. , 1980, **92**, 2036
65. Miyake Y. , Izumi Y. , Kono R. ; Phys. Rev. A, 1977, **15**, 2065
66. Nagarajan N. ; J. Chem. Thermodyn. , 1980, **12**, 907
67. Nagarajan N. , Kumar A. , Gopal E. S. R. , Greer S. C. ; J. Phys. Chem. , 1980, **84**, 2803
68. Nicolaidis G. L. , Eckert C. A. ; J. Chem. Eng. Data, 1978, **23**, 152
69. Oswald V. , Belkoura L. , Jungk M. , Woermann D. ; Ber. Bunsenges. Phys. Chem. 1984, **88**, 635
70. Oswald V. , Woermann D. ; Ber. Bunsenges. Phys. Chem. , 1983, **87**, 654
71. Pancirov R. , Brunberg H. ; J. Am. Chem. Soc. , 1964, **86**, 3562
72. Pelger M. , Klein H. , Woermann D. ; Ber. Bunsenges. Phys. Chem. , 1981, **85**, 356
73. Pelger M. , Klein H. , Woermann D. ; J. Chem. Phys. , 1981, **74**, 2505
74. Pohl D. W. , Goldberg W. I. ; Phys. Rev. Lett. 1982, **48**, 1111

75. Pyżuk W., Majgier-Baranowska H.; Chem. Phys. Lett., 1979, **63**, 184
76. Pyżuk W., Majgier-Baranowska H., Zioło J.; Acta Phys. Polon. A, 1980, **58**, 659
77. Reeder J., Block T.E., Knobler C.M.; J. Chem. Thermodyn., 1976, **8**, 133
78. Rudd F.P., Widom B.; J. Chem. Phys., 1960, **33**, 1816
79. Sabirov L.M.; Akust. Spektrosk., Kvant. Akust., 1978, str, 230
80. Sada E., Takahashi K., Hamada M.; J. Chem. Eng. Data, 1977, **22**, 279
81. Sanchez G., Garland C.W.; J. Chem. Phys., 1983, **79**, 3100
82. Schmidt H., Jura G., Hildebrandt J.H.; J. Phys. Chem., 1959, **63**, 297
83. Schneider R., Belkoura L., Schalten J., Woermann D., Chu B.; Phys. Rev. B, 1980, **22**, 5507
84. Schwartz A.J., Krishnamurthy S., Goldberg W.I.; Phys. Rev. A, 1980, **21**, 1313
85. Simon M., Knobler C.M.; J. Chem. Thermodyn., 1971, **3**, 657
86. Simon M., Fanin A.A., Knobler C.M.; Ber. Bunsenges. Phys. Chem., 1972, **76**, 321
87. Singh R.R., Van Hook W.A.; J. Chem. Phys., 1987, **87**, 6097
88. Sivaraman A., Tiwaru M.K., Jyothi S., Gopal E.S.R.; Ber. Bunsenges. Phys. Chem., 1980, **84**, 196
89. Snyder R.B., Eckert C.A.; J. Chem. Eng. Data, 1973, **18**, 282
90. Stein A., Allegra J.C., Allen G.F.; J. Chem. Phys., 1971, **55**, 4265
91. Stein A., Davidson S.J., Allegra J.C., Allen G.F.; J. Chem. Phys., 1972, **56**, 6164
92. Strey R., Wagner J., Woermann D.; Ber. Bunsenges. Phys. Chem., 1982, **86**, 306
93. Stryjek R., Rogalski M., Treszczanowicz T., Łuszczuk M.; Bull. Pol. Acad. Sci., 1978, **26**, 327
94. Śliwińska-Bartkowiak M.; Pozn. Tow. P.N., Prace Komisji F.D.R., 1977, **9**, 39
95. Thompson D.R., Rice O.K.; J. Am. Chem. Soc., 1964, **86**, 3547
96. Tveekrem J.L., Jacobs D.T.; Phys. Rev. A, 1983, **27**, 2773
97. Vani V., Guha S., Gopal E.S.R., Madhusudana R.; Phys. Lett. A, 1984, **99**, 441
98. Vitagliano V., Saratorio R., Chiaravalle E., Ortona O.; J. Chem. Eng. Data, 1980, **25**, 121
99. Widom B., Khoshla M.P.; J. Chem. Soc. Faraday Trans. I 1980, **76**, 2043
100. Wims A.M., McIntire D., Hynne F.; J. Chem. Phys., 1969, **50**, 616
101. Woermann D., Sarholz W.; Ber. Bunsenges. Phys. Chem., 1965, **69**, 319
102. Woermann D.; Ber. Bunsenges. Phys. Chem., 1976, **80**, 958
103. Wolff H., Hoppel H.E.; Ber. Bunsenges. Phys. Chem., 1968, **72**, 710
104. Wong N-C., Knobler C.M.; Phys. Rev. A, 1981, **24**, 3204
105. Yun S.S.; J. Chem. Phys., 1970, **52**, 5200

106. Zelczer G., Beysens D.; J. Chem. Phys., 1980, 72, 348
107. Zimm B. H.; J. Phys. Coll. Chem., 1950, 54, 1360
108. Macromol. Chem., 1977, 178, 1819
109. Łuszczak M., Stryjek R.; Bull. Pol. Acad. Sci., 1984, 32, 371
110. Miller B. C., Clerke E. A., Greer S. C.; J. Phys. Chem., 1983, 87, 1063
111. Kumaran M. K., McGlashan M. L.; Aust. J. Chem., 1980, 33, 1909
112. Keyes D. B., Hildebrandt J. H.; J. Am. Chem. Soc., 1917, 39, 2126
113. French H. T., Richards A., Stokes R. H.; J. Chem. Thermodyn., 1979, 11, 671
114. Książczak A., Jodzewicz W.; Pol. J. Chem., 1981, 55, 1889
115. Bijl H., De Loos Th. W., Lichtenthaler R. N.; Fluid Phase Equil., 1983, 14, 157
116. Hurle R. H., Toczylkin L., Young C. L.; J. Chem. Soc., Faraday Trans. 2, 1977, 73, 618
117. Bittrich H. J., Feix G., Lempe D., Reinhardt K.; Fluid Phase Equil., 1989, 51, 161
118. Davison R. R., Smith W. N.; Chem. Eng. Sci., 1969, 24, 1589
119. Croll I. M., Scott R. L.; J. Phys. Chem. 1964, 68, 3853



B 297/92

Biblioteka Instytutu Chemii Fizycznej PAN

**F-B.297/1992**



60000000000682